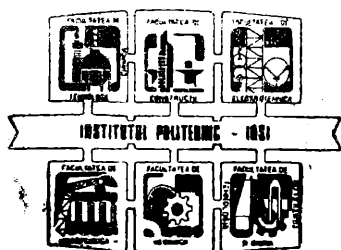


INSTITUTUL POLITEHNIC IAȘI

FACULTATEA DE TEHNOLOGIE CHIMICĂ



Alexandru Stancu

Florin Vitan

OPERAȚII ȘI UTILAJE ÎN INDUSTRIA MATERIALELOR DE CONSTRUCȚII

Biblioteca T. I.M.C

Pentru uzul studenților

— 1980 —

I N T R O D U C E R E

PROCES CHIMIC SI PROCES FIZIC INDUSTRIAL

În natură, datorită formelor de mișcare a materiei, se petrec fenomene după legi cunoscute sau încă necunoscute de către om. Un ansamblu de fenomene care se petrec la scară microscopică poate să se manifeste macroscopic ca un proces unitar, numit proces fundamental sau proces macroscopic elementar. De exemplu, dacă se introduce în apă un cristal de clorură de sodiu se observă că dimensiunile cristalului se micșorează pînă la dispariția acestuia. Acest proces unitar este cunoscut sub numele de dizolvare. El este manifestarea macroscopică a unor fenomene care au loc la scară moleculară sau submoleculară cum ar fi: modificarea echilibrului în rețeaua cristalului, difuzia ionilor de clor și sodiu în masa lichidului, formarea unor noi legături chimice etc.

Procesele macroscopice elementare se împart în :

- procese macroscopice elementare de transformare de masă (schimbarea stării de agregare, dizolvarea, reacția chimică, formarea și creșterea de germeni cristalini, adsorbția) ;
 - procese macroscopice de transformare de energie (transformarea energiei luminoase în energie chimică sau invers, transformarea energiei mecanice în energie termică sau electrică etc.) ;
 - procese macroscopice elementare de transfer.
- Acestea din urmă pot fi :

- a) de transfer de substanță ;
- b) de transfer de energie termică sau de căldură ;
- c) de transfer de impuls sau de cantitate de mișcare.

Un ansamblu de procese macroscopice elementare formează procesul fizic industrial sau procesul chimic industrial. Termenul "industrial" sugerează scara la care se desfășoară cele două procese, deși ele pot avea loc și la scară de laborator sau la scară semiindustrială.

Procesul tehnologic chimic este la rândul lui un ansamblu de procese fizice și chimice și poate fi reprezentat, cel mai general, prin schema din figura 1.

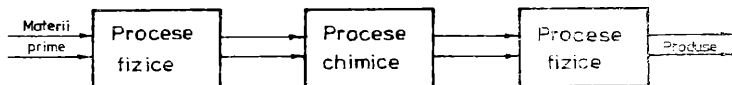


Fig. 1.

Schema procesului tehnologic chimic.

Clasificarea proceselor fizice sau a operațiilor

În literatura de specialitate termenul de proces fizic este înlocuit cu cel de operație ; deoarece aceleași operații pot fi comune mai multor procese tehnologice ele au fost numite, generic, "operații de bază", "operații tip" sau "operații unitare".

Clasificarea operațiilor se face cel mai general după procesul macroscopic elementar determinant din structura lor. În schema de mai jos se dă clasificarea principalelor operații din procesele tehnologice specifice industriei materialelor de construcții :

	Depozitarea materialelor solide
	Transportul materialelor solide
	Mărunțirea materialelor solide
Operații mecanice	Clasarea și sortarea materialelor solide
	Dozarea materialelor solide
	Amestecarea materialelor solide
	Amestecarea în mediu lichid. (agitarea)
	Separarea sistemelor neomogene gazoase
Operații cu transfer de impuls	Separarea sistemelor neomogene lichide
	Transportul lichidelor
Operații cu transfer de căldură	Comprimarea și transportul gazelor
	Încălzirea, răcirea
Operații cu transfer de substanță	Fierberea, condensarea
	Uscarea materialelor
	Adsorbția

Obiectul cursului de "Operații și utilaje în industria materialelor de construcții" îl constituie tratarea aspectelor teoretice ale proceselor macroscopice elementare sau fundamentale implicate în operații, descrierea utilajelor^{*)} în care se desfășoară operațiile și prezentarea normelor de exploatare și întreținere a utilajelor.

*) Se adoptă următoarea terminologie :

- aparat : utilaj static, fără organe principale în mișcare;
- mașină : utilaj cu organe principale în mișcare ;
- instalație : ansamblul utilajelor și a conexiunilor dintre ele într-un proces tehnologic.

PARTEA I-II

PROCESE DE TRANSFER

Capitolul 1. TRANSFER DE IMPULS

1.1. FLUIDE SI MODELE DE FLUIDE

Fluidele sînt medii omogene caracterizate prin mobilitate mare, rezistență la rupere practic nulă și deformare ușoară (lipsa unei forme proprii) ; ultima caracteristică este o consecință a primelor două. Drept fluide se consideră lichidele și gazele deși, în anumite condiții de temperatură și presiune, și corpurile solide pot lua caracteristicile fluidelor. Pentru studierea gazoasă se face deosebirea între gazele permanente - gazele necondensabile în condiții obișnuite de temperatură și presiune - și vaporii unei substanțe. Vaporii de apă sînt utilizați în practica industrială sub denumirea de abur.

La studierea fenomenelor care au loc în fluide se utilizează modele care simplifică proprietățile fluidelor practice. Cel mai utilizat este modelul de fluid ideal numit și fluid perfect sau pascalian, considerat ca mediu omogen, fără viscozitate (fără interacțiuni între molecule) și necompresibil. Fluidul real este tot un model de fluid considerat ca mediu omogen cu viscozitate și compresibilitate. Ambele modele de fluide se consideră supuse atracției gravitaționale.

Denumirea fluidelor de medii omogene nu este valabilă decât la scară macroscopică ; pentru studiul fenomenelor în fluide la scară microscopică trebuie să se ia în considerare fluidul practic cu toate proprietățile sale, inclusiv structura sa moleculară.

Particula fluidă. Studiul mișcării unui fluid se face, ca în cele mai multe probleme ale fizicii, pornind de la ecuațiile diferențiale ale mișcării și făcând ipoteza că fluidul este format dintr-o infinitate de particule infinit mici care se mențin în contact prin acțiunea și reacțiunea unor forțe. O astfel de particulă numită particulă fluidă este formată dintr-un număr mare de molecule, totuși ea este suficient de mică pentru a fi considerată în calcule ca un element infinit mic ; această ultimă caracteristică a particulei fluide permite aplicarea principiului continuității materiei și integrarea ecuațiilor diferențiale ale mișcării fluidelor. Forma particulei în calcule și demonstrații este arbitrară și - după cum este mai comod - se admit particule în formă de paralelipiped, sferă, cilindru etc.

Traietorie a particulei. Pentru descrierea curgerii se definește în cinematică drept traietorie a particulei linia urmată de o particulă unitară de fluid în mișcare într-o anumită durată de timp. Traietoria unei particule poate fi materializată de exemplu printr-o particulă de cărbune din fumul ce se ridică dintr-un coș sau de dîra lăsată de o particulă de colorant antrenată într-un curent de lichid.

Linia de curent. Este linia direcțiilor instantanee ale vectorilor viteză ai unei serii de particule ale fluidului. Linia de curent nu este în general identică cu traietoria particulei ; în timp ce traietoria particulei se referă la drumul parcurs de o particulă unitară de fluid, linia de curent este o reprezentare instantanee a direcțiilor vitezelor unui ansamblu de particule. În figura 1.1 se arată cum se reprezintă linia de curent într-un punct dat A_0 din interiorul fluidului în mișcare : particula m_0 care la momentul t trece prin punctul A_0 parcurge în intervalul de timp dt distanța elementară A_0A_1 . În același interval de timp o altă particulă m_1 , care se află în

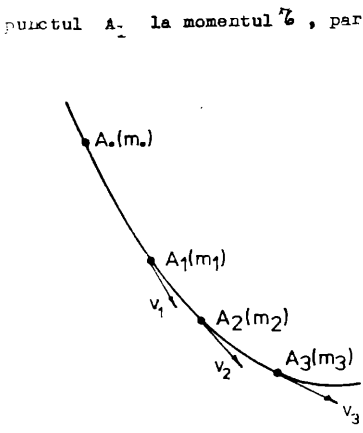


Fig. 1.1.
Linia de curent.

intervalul de timp dt particula m_2 , care se afla la momentul t în A_2 parcurge distanța elementară A_2A_3 etc. Reprezentăm vectorii viteze pentru particulele m_0, m_1, m_2 etc. în punctele A_0, A_1, A_2 etc., aceștia sînt tangenți la curba care trece prin $A_0A_1A_2$ etc., care este linia de curent. Mărimea și direcția vectorilor viteze poate varia de-a

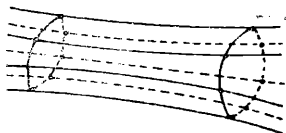
lungul liniei de curent ; dacă nici direcția, nici mărimea vectorilor viteze nu variază, linia de curent se suprapune peste traiectoria particulei.

Din definiția liniilor de curent rezultă următoarele proprietăți :

- liniile de curent vin de la infinit și pleacă la infinit ;
- liniile de curent nu se intersectează (ceea ce ar însemna ca într-un singur punct - cel de intersecție - să existe două viteze diferite ca mărime și direcție) ;
- liniile de curent se aștern pe un corp în mișcare în interiorul fluidului.

Tub de curent și fir de curent. Dacă într-un fluid în mișcare se consideră o curbă închisă și se reprezintă liniile de curent care trec la un moment dat prin toate punctele acestei curbe, se formează un tub de lungime nedefinită numit "tub de

curent" (fig. 1.2) prin care fluidul curge în acel moment ca și



cum tubul ar avea pereți rigizi. Dealtfel tot tub de curent sau tub de curgere poate fi numită o conductă rigidă prin care curge un fluid.

Fig. 1.2.

Tub de curent.

Dacă se reduce secțiunea

tubului de curent la un ele-

ment foarte mic, tubul se reduce la un "fir de curent" sau fir de curgere.

1.2. STATICA FLUIDELOR

Statica fluidelor sau hidrostatica este o ramură a hidrodinamicii în care se studiază condițiile de echilibru a fluidelor, acțiunea lor asupra suprafețelor rigide cu care vin în contact și condițiile de stabilitate a corpurilor plutitoare sau imersate. În continuare se tratează doar aspectele staticii fluidelor cu aplicații în operațiile prezentate în cadrul cursului.

1.2.1. Echilibrul fluidelor în câmp gravitațional.

Presiune hidrostatică

Starea de repaus sau de echilibru a fluidelor se definește prin absența vitezelor în masa fluidului față de pereții recipientului în care se află. Chiar în această situație, există forme de mișcare ale materiei la scară moleculară și consecința acestor forme de mișcare poate să se manifeste macroscopic. De

exemplu, ca urmare a mișcărilor moleculare în masa unui fluid se produc ciocniri între molecule ; efectele ciocnirilor dintre moleculele fluidului se anulează statistic. Ciocnirile moleculelor fluidului cu o suprafață aflată în interior sau cu pereții recipientului dau naștere la o forță ; această forță împreună cu forțele de masă (greutatea sau forța centrifugă) dă o rezultantă F . Acțiunea rezultantei F asupra unei suprafețe A (o suprafață aflată în interiorul fluidului sau suprafața pereților recipientului) produce o presiune p numită presiune hidrostatică :

$$p = \frac{F}{A} \quad (1.1.)$$

Cînd suprafața este curbă sau cînd presiunea hidrostatică este variabilă se consideră elementul de suprafață dA asupra căruia acționează rezultanta dF :

$$p = -\frac{dF}{dA} \quad (1.2.)$$

Valoarea presiunii hidrostatice într-un punct oarecare din fluid nu depinde de direcție ; cu alte cuvinte, oricum s-ar duce un plan prin punctul considerat valoarea presiunii pe acest plan este aceeași. Presiunea hidrostatică variază însă cu coordonatele spațiale, adică : $p = f(x,y,z)$.

1.2.2. Ecuatiile de echilibru ale lui Euler

Pentru a afla forma funcției $p = f(x,y,z)$ în cazul unui fluid aflat în echilibru se consideră din volumul fluidului o particulă fluidă de formă paralelipipedică de volum $dV = dx.dy.dz$. Particula aleasă poate fi considerată ca un corp solid (cu pereți rigizi) aflat în interiorul fluidului. Pe toate fețele paralelipipedului se exercită forțele de presiune și forța de masă ; aceasta din urmă se consideră că se exercită

numai după direcția axei z (v.fig.1.3). Se presupune sensul

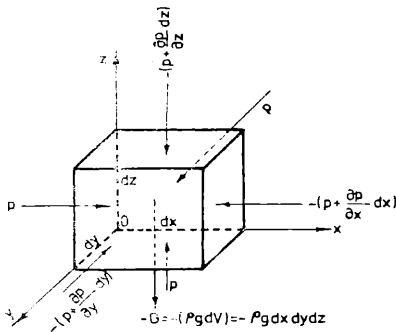


Fig. 1.3.

Pentru deducerea ecuațiilor de echilibru ale lui Euler.

Pe fața de arie, paralelă cu planul yOz și aflată la distanța dx de aceasta, se exercită forța $-[p + (\partial p / \partial x) dx] \cdot dy dz$.

După celelalte două axe se obține, asemănător :

- după axa y : $p \cdot dx \cdot dz - [p + (\partial p / \partial y) dy] \cdot dx \cdot dz$;
- după axa z : $p \cdot dx \cdot dy - [p + (\partial p / \partial z) dz] \cdot dx \cdot dy - \rho \cdot g \cdot dx \cdot dy \cdot dz$

Condiția de echilibru impune ca suma (rezultanta) forțelor care acționează asupra elementului de volum să fie nulă, adică :

$$- \frac{\partial p}{\partial x} dx \cdot dy \cdot dz = 0$$

$$- \frac{\partial p}{\partial y} dy \cdot dx \cdot dz = 0$$

$$- \frac{\partial p}{\partial z} dz \cdot dx \cdot dy - \rho \cdot g \cdot dx \cdot dy \cdot dz = 0$$

Observând că $dx \cdot dy \cdot dz = dV \neq 0$ și schimbând semnele, ultimele ecuații se pot scrie în forma :

$$\frac{\partial p}{\partial x} = 0 \quad (1.3)$$

$$\frac{\partial p}{\partial y} = 0 \quad (1.4)$$

pozitiv al forțelor în sensul axelor de coordonate și se însumează forțele care se exercită asupra elementului de volum dV după cele trei direcții x, y, z :

- după axa x pe fața de arie $dy dz$, din planul yOz , se exercită forța $p \cdot dy \cdot dz$, iar pe fa-

$$\partial p / \partial z + \rho \cdot g = 0 \quad (1.5)$$

Ecuațiile (1.3) - (1.5) reprezintă ecuațiile diferențiale de echilibru ale lui Euler, pentru fluide. Derivatele parțiale $\partial p / \partial x$, $\partial p / \partial y$, $\partial p / \partial z$ reprezintă variația presiunii într-un punct pe direcția celor trei axe ; acest punct ar putea fi punctul 0 din figura 1.3. Dacă punctul se află în echilibru (este imobil) variația presiunii pe direcția axelor x și y este nulă iar variația pe direcția axei z este egală și de semn contrar cu forța de greutate pe unitatea de volum.

1.2.3. Ecuația fundamentală a hidrostaticii

Condiția de echilibru a fluidului din elementul de volum dV impune ca variația forțelor de presiune și a forței de masă (greutatea) pe lungimea muchiilor elementului de volum să fie nulă, adică :

$$\frac{\partial p}{\partial x} dx = 0 \quad (1.6)$$

$$\frac{\partial p}{\partial y} dy = 0 \quad (1.7)$$

$$\frac{\partial p}{\partial z} dz + \rho \cdot g \cdot dz = 0 \quad (1.8)$$

Din adunarea ecuațiilor (1.6) - (1.8) rezultă :

$$dp + \rho \cdot g \cdot dz = 0 \quad (1.9)$$

unde dp este diferențiala totală a presiunii iar $\rho \cdot g \cdot dz$ variația forței specifice de masă (greutatea specifică) pe distanța dz . Prin integrarea ecuației (1.9) se obține soluția:

$$p = \rho \cdot g \cdot z = \text{const.} \quad (1.10)$$

Ecuația (1.10) este forma funcției $p = f(x, y, z)$ căutată; ea exprimă condiția de echilibru într-un fluid aflat în câmp gravitațional și se numește ecuația fundamentală a hidrostaticii. Conform acestei ecuații, la un fluid aflat în echilibru suma

presiunii hidrostatice și a variației forței specifice de masă este constantă în oricare punct considerat din fluid (punctele sînt diferențiate prin cota z).

1.2.4. Aplicații ale ecuației fundamentale a hidrostaticii

Valorile constantei de integrare din ecuația (1.10) se determină din condiții de limită convenabil alese. Astfel, prezintă interes practic deosebit modelul din figura 1.4 unde s-a

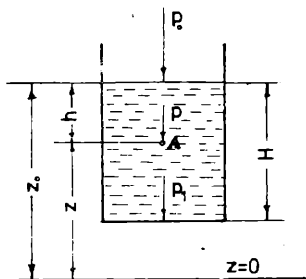


Fig. 1.4.

Aplicație a ecuației fundamentale
a hidrostaticii.

representat un rezervor în care se află lichid. Distanța de la un plan de referință ($z=0$) până la nivelul lichidului în rezervor este z_0 , iar distanța până la un punct oarecare (A) în interiorul lichidului este z . La suprafața lichidului se exercită presiunea p_0 (dacă rezervorul este deschis p_0 este egală cu presiunea barometrică).

Pentru un punct oarecare de la suprafața lichidului (de la cota z_0) condiția de echilibru se scrie :

$$p_0 + \rho \cdot g \cdot z_0 = \text{const.} \quad (1.11)$$

iar pentru punctul A :

$$p + \rho \cdot g \cdot z = \text{const.} \quad (1.12)$$

Introducînd în ecuația (1.12) valoarea constantei de

integrare din ecuația (1.11) și rezolvînd în raport cu p se obține

$$p = p_0 + \int_0^z \rho \cdot g(z_0 - z) \quad (1.13.a)$$

sau, conform notațiilor din figura 1.4 :

$$p = p_0 + \rho \cdot g \cdot h \quad (1.13.b)$$

Ecuația (1.13.b) permite calculul presiunii p care se exercită după oricare direcție asupra punctului A , aflat la cota Z în interiorul lichidului. Se vede, că această presiune este egală cu presiunea p_0 exercitată la suprafața lichidului la care se adaugă presiunea $\rho \cdot g \cdot h$ a coloanei hidrostatice de lichid.

Conform celor demonstrate anterior aceeași presiune p se exercită la cota Z și asupra pereților recipientului în interiorul căruia se află lichidul.

Cunoscînd aria secțiunii pe care se exercită presiunea se calculează forța de presiune. Aceasta trebuie să fie mai mică sau cel mult egală cu forța de rezistență a materialului din care se confecționează recipientul. Din această condiție se determină natura materialului și, eventual, grosimea pereților sau modul de execuție (sudură, nituire, lipire etc.). Calculul se face pentru situația cea mai critică, respectiv pentru înălțimea maximă H a coloanei de lichid, cînd presiunea exercitată pe pereți este :

$$p_1 = p_0 + \rho \cdot g \cdot H$$

Dacă aria secțiunii pe care se exercită presiunea p_1 este A , forța de presiune va fi :

$$F = p_1 \cdot A \leq G \cdot A$$

unde G este rezistența la rupere a materialului.

1.3. DINAMICA FLUIDELOR

Spre deosebire de hidrostatică, dinamica fluidelor sau hidrodinamica studiază legile de mișcare (curgere) a fluidelor ideale și reale.

1.3.1. Legea de frecare a lui Newton ; viscozitatea fluidelor

Acțiunea forțelor de presiune și a forței de greutate se manifestă în același mod atât la fluidele ideale cât și la cele reale, la starea de echilibru. Dacă însă prin acțiunea unor forțe externe echilibrul unui fluid este modificat, se poate pune în evidență existența unor forțe interne care deosebesc fluidul real de cel ideal și anume, forțele de atracție dintre molecule - (coeziunea). Pentru a ilustra cele spuse se consideră un paralelipiped de volum ΔV din volumul unui fluid real (fig. 1.5),

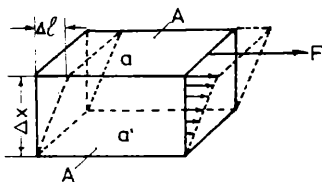


Fig. 1.5.
Deformarea fluidului real sub acțiunea unei forțe tangențiale. indicat pe figură, moleculele din planul feței a vor fi antrenate în mișcare cu o viteză w , în sensul forței F ; datorită existenței forțelor de atracție

paralelipipedul se consideră ca fiind format din mai multe straturi monomoleculare suprapuse. Cele două fețe opuse a și a' au aria egală, notată cu A și sînt situate la distanța Δx . Dacă în planul feței a acționează o

forță externă F în sensul

dintre molecule (forțele de coeziune), moleculele din stratul a antrenează în mișcare moleculele din stratul imediat inferior. Acesta însă se va deplasa cu o viteză mai mică decât w deoarece, la rândul lui, este supus forțelor de atracție a moleculelor din stratul al treilea. Fenomenul se manifestă în mod asemănător pînă la moleculele din planul feței inferioare a'. Dacă forța F este suficient de mare pentru a realiza deplasarea tuturor straturilor de molecule dintre fețele a și a', atunci paralelipipedul se deformează ca în figură și cele două fețe se vor deplasa cu o diferență de viteză Δw .

Prin raționament empiric Newton a stabilit că "Forța F necesară pentru a menține deplasarea (curgerea) tuturor straturilor dintre fețele a și a' este direct proporțională cu scăderea vitezei pe distanța normală dintre cele două fețe și cu suprafața straturilor în contact" :

$$F = \eta \cdot A \cdot \frac{\Delta w}{\Delta x} ,$$

sau, trecînd la limite :

$$F = \eta \cdot A \cdot \frac{dw}{dx} \quad (1.14)$$

Relația (1.14) poartă denumirea de legea lui Newton pentru viscozitate. Coeficientul de proporționalitate η se numește viscozitate dinamică iar

$$\lim_{\Delta x \rightarrow 0} \frac{\Delta w}{\Delta x} = \frac{dw}{dx} = \text{grad. } w,$$

se numește gradient de viteză.

Viscozitatea dinamică η depinde de natura fluidului, de temperatură și presiune. În sistemul internațional de unități (SI) η se exprimă în N.s.m⁻² sau Kg.m⁻¹.s⁻¹. În sistemul de unități C.G.S., η se exprimă în poise (P) și submultiplii săi ;
 1 P = 1 g.cm⁻¹.s⁻¹ = 10² cP (centipoise).

Viscozitatea dinamică relativă η_r , a unui fluid oarecare este raportul dintre viscozitatea dinamică a acelui fluid și

viscozitatea dinamică a unui fluid de referință ; pentru lichide se ia ca lichid de referință apa iar pentru gaze, aerul.

Viscozitatea cinematică ν a unui fluid este raportul dintre viscozitatea dinamică a fluidului și densitatea sa :

$$\nu = \frac{\eta}{\rho} \quad (1.15)$$

- în sistemul internațional ν se exprimă în $\text{m}^2 \cdot \text{s}^{-1}$;
- în sistemul C.G.S., ν se exprimă în stokes (St) și submultiplii săi ; $1 \text{ St} = 1 \text{ cm}^2 \cdot \text{s}^{-1} = 10^2 \text{ c St (centistokes)}$.

Dependența de temperatură a viscozității

Fiind o manifestare a forțelor de interacțiune a moleculelor, viscozitatea este funcție de starea de agitație termică a moleculelor, deci de temperatură. La lichide viscozitatea dinamică scade mult cu temperatura ; la gaze dimpotrivă, viscozitatea dinamică crește cu temperatura.

Dependența de presiune a viscozității

Viscozitatea dinamică a lichidelor crește cu presiunea numai din momentul în care compresibilitatea lichidelor nu mai poate fi neglijată. Apa face excepție de la această regulă : la temperaturi joase viscozitatea apei scade cu presiunea ; (la circa 1000 ata viscozitatea apei este mai mică cu 10 % decât la presiune normală și la aceeași temperatură). La gaze viscozitatea dinamică nu variază cu presiunea în limitele ei obișnuite. La presiuni extrem de mici, când drumul liber mijlociu al moleculelor este de același ordin de mărime ca și dimensiunile spațiului în care se află gazul (de exemplu diametrul conductei)

sau la presiuni extrem de mari cind volumul ocupat de moleculele gazului ocupă o fracțiune importantă din volumul aparatului, viscozitatea dinamică a gazelor crește cu presiunea.

Viscozitatea cinematică a lichidelor ca și cea dinamică, nu depinde de presiune, în limitele sale uzuale. Viscozitatea cinematică a gazelor scade însă cu presiunea.

În tabelul 1.1. se arată variația viscozității dinamice și cinematice a fluidelor cu temperatura și cu presiunea.

Tabelul 1.1.

Natura fluidului	Variația viscozității dinamice η		Variația viscozității cinematice ν	
	cu tempe- ratura	cu presiu- nea	cu tempe- ratura	cu presiu- nea
Gaze (vapori)	crește	nu variază	crește	scade
Lichide	scade	crește	scade	crește

Calculul viscozității dinamice a lichidelor

Pentru rezolvarea problemelor practice viscozitatea gazelor și lichidelor se poate calcula cu relații, cel mai adesea empirice, sau se ia din nomograme și tabele (de exemplu din manualul inginerului chimist, International Critical Tables etc.).

Calculul viscozității unui lichid la temperaturi diferite de cele pentru care viscozitatea este dată în tabele sau nomograme se face pe baza legii generale a liniarității funcțiilor fizico - chimice a lui Pavlov, aplicată de Porter. Premisa acestei legi o constituie univocitatea funcțiilor fizico - chimice. Referitor la viscozitatea dinamică a unui lichid, condiția de univocitate se explică în felul următor :

- scriind $\eta = f(t)$, f este o funcție univocă dacă, și numai dacă, fiecărei valori a temperaturii t îi corespunde o singură valoare a viscozității. Notînd mulțimea valorilor temperaturii lichidului a cărui viscozitate se calculează cu t și mulțimea valorilor pe care le ia viscozitatea cu η , condiția de univocitate este arătată în figura 1.6.

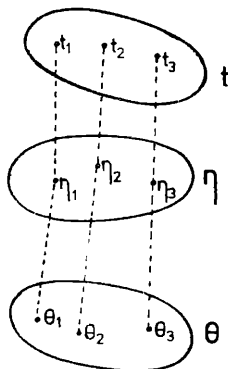


Fig. 1.6.

Correspondența univocă între viscozitate și temperatură.

Pentru un alt lichid, numit lichid de referință (de obicei un lichid la care viscozitatea este cunoscută pentru o gamă largă de temperaturi), există alte valori ale temperaturii ($\theta_1, \theta_2 \dots$) din mulțimea θ (evident $t < \theta$) la care el are aceleași viscozități $\eta_1, \eta_2 \dots$ ca ale lichidului pentru care se urmărește calculul viscozității dinamice. În baza premisei de univocitate s-a stabilit că o variație a viscozității unui lichid de la η_1 la η_2 are loc pentru o variație $\Delta t = t_{\eta_1} - t_{\eta_2}$ a temperaturii lichidului. Aceeași variație a viscozității lichidului

de referință are loc pentru o variație $\Delta \theta = \theta_{\eta_1} - \theta_{\eta_2}$ a temperaturii acestuia. Între cele două variații de temperatură Δt și $\Delta \theta$ există o dependență liniară dată sub forma :

$$\frac{t_{\eta_1} - t_{\eta_2}}{\theta_{\eta_1} - \theta_{\eta_2}} = \frac{t_{\eta_2} - t_{\eta_3}}{\theta_{\eta_2} - \theta_{\eta_3}} = \dots = K \quad (1.16)$$

Analitic regula liniarității se aplică în felul următor : se presupun cunoscute viscozitățile η_1 și η_2 ale unui lichid

la temperaturile t_{η_1} și t_{η_2} și se cere să se afle viscozitatea η_3 la temperatura t_{η_3} ; se caută în tabele sau nomograme temperaturile θ_{η_1} și θ_{η_2} pentru care lichidul de referință are aceleași viscozități η_1 și η_2 . Se calculează K în relația (1.16) și apoi temperatura θ_{η_3} . Se citește în tabele sau nomograme viscozitatea lichidului de referință la temperatura θ_{η_3} ; această viscozitate va fi egală cu aceea necunoscută a lichidului, la temperatura t_{η_3} .

Regula liniarității se aplică mai expeditiv prin utilizarea graficului din figura 1.7, unde pe ordonata din dreapta este re-

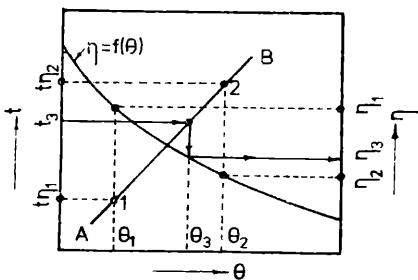


Fig. 1.7.

Calculul viscozității dinamice a lichidelor.

Calculele se fac ca mai înainte, adică t_{η_1} și t_{η_2} și η_1 și η_2 se citește pe diagramă θ_1 și θ_2 . Se observă că ecuația (1.16) este o dreaptă de pantă egală cu K și care trece prin cele două puncte 1 (θ_1, t_{η_1}) și 2 (θ_2, t_{η_2}). Se trasează această dreaptă (dreapta AB). La temperatura t_3 la care urmează să se afle viscozitatea η_3 a lichidului se citește temperatura θ_3 la care lichidul de referință are aceeași viscozitate η_3 ; se citește pe curbă această valoare a viscozității.

prezentată viscozitatea lichidului de referință iar pe abscisă temperatura sa. Curbă din figură reprezintă variația viscozității lichidului de referință cu temperatura.

Pe ordonata din stînga este reprezentată temperatura lichidului a cărui viscozitate trebuie calculată. Pornind

de la aceleași date cunoscute ca mai înainte, adică t_{η_1} și t_{η_2} și η_1 și η_2 se citește pe diagramă θ_1 și θ_2 . Se observă că ecuația (1.16) este o dreaptă de pantă egală cu K și care trece prin cele două puncte 1 (θ_1, t_{η_1}) și 2 (θ_2, t_{η_2}). Se trasează această dreaptă (dreapta AB). La temperatura t_3 la care urmează să se afle viscozitatea η_3 a lichidului se citește temperatura θ_3 la care lichidul de referință are aceeași viscozitate η_3 ; se citește pe curbă această valoare a viscozității.

1.3.2. Elemente de reologie. Fluide newtoniene
și newtoniene

Legea lui Newton pentru viscozitate exprimată prin relația (1.14) poate fi scrisă și sub forma :

$$\frac{P}{A} = \zeta = \eta \cdot \text{grad.} w \quad (1.14.a)$$

unde ζ se numește tensiune de forfecare sau efort de forfecare ; uneori este numit și efort tangențial sau tensiune tangențială

Primul stadiu în elaborarea teoriei dinamicii fluidelor s-a bazat pe modelul de fluid ideal sau perfect definit mai înainte ; acest model de fluid s-a numit lichidul lui Pascal sau lichidul pascalian. Curgerea unui asemenea fluid este complet lipsită de frecare deoarece tensiunea sa de forfecare este nulă.

Relații matematice pentru descrierea curgerii fluidelor ideale sînt multe dar aplicarea lor la studiul curgerii fluidelor reale a fost destul de restrînsă pînă la introducerea de către Prandtl a conceptului de "strat limită". În esență teoria lui Prandtl limitează efectele de frecare (sau rezistența la curgere), care se manifestă în curgerea fluidelor reale, la un strat subțire de fluid, aflat în imediata vecinătate a suprafeței solide și denumit "strat limită" sau "strat laminar" sau "film". Curgerea în afara acestui strat poate fi considerată fără frecare (fără rezistență) și, prin urmare, în acest domeniu pot fi aplicate relațiile matematice deduse pentru curgerea fluidelor ideale.

Pe baza conceptului lui Prandtl a fost dezvoltat al doilea stadiu al dinamicii fluidelor în care s-au stabilit relații aplicabile la descrierea matematică a curgerii pentru o clasă simplă de fluide reale, așa numite newtoniene sau normal viscoase. Acestea sînt fluidele la care viscozitatea dinamică η rămîne

constantă pentru orice raport între tensiunea tangențială și gradientul de viteză. Ca fluide newtoniene se comportă în general gazele și lichidele omogene nepolimere.

Al treilea stadiu în dezvoltarea teoriei dinamicii fluide-
lor este acela care se elaborează astăzi ; acest stadiu a fost
impus de utilizarea tot mai largă în industrie a materialelor a
căror comportare în curgere nu poate fi descrisă de relațiile ca-
caracteristice fluidelor newtoniene. Materiale cu comportare
nenewtoniană se întâlnesc în domenii extrem de variate, cum ar fi:
industria cauciucului, a maselor plastice și fibrelor sintetice,
a petrolului, a săpunului și detergenților, cosmetică și farmaceu-
tică, industria cimentului, industria alimentară, a lacurilor și
vopselelor, a hârtiei. Comportare nenewtoniană manifestă de
exemplu și curgerea fluidelor biologice sau a suspensiilor de
thoriu sau uraniu în reactoarele nucleare etc.

Una din direcțiile de cercetare a acestor materiale este
aceea așa numită reologică, abordată în cadrul reologiei. Reolo-
gia - sau știința curgerii - este ramura de știință care se ocupă
cu studiul materialelor din punctul de vedere al comportării lor
la deformarea continuă (sub acțiunea unor eforturi tangențiale).
Solidul euclidian și lichidul pascalian nu formează obiectul reo-
logiei ; reologia se ocupă cu acele corpuri a căror comportări
sînt cuprinse între aceste două extreme.

Premisa de bază în reologie este aceea că tuturor corpuri-
lor reale le corespunde o ecuație reologică comună în care pre-
siunea izotropă sau hidrostatică p este corelată cu dilatarea
cubică, elastică sau deformarea volumetrică γ_v sub forma :

$$- p = k \cdot \gamma_v \quad (1.17)$$

unde k este un coeficient de proporționalitate ; corpurile
reale se deosebesc unele de altele prin modul cum se comportă sub
acțiunea unui efort tangențial sau de forfecare. După acest

criteriu se pot defini trei proprietăți reologice esențiale caracterizând modele de corpuri reale ; aceste proprietăți sînt : elasticitatea, plasticitatea și viscozitatea iar modelele de corpuri, definite pe baza lor, sînt : solidul lui Hooke, plasticul St. Venant și lichidul lui Newton. Pentru aceste trei modele de corpuri, legătura între tensiunea de forfecare și deformare se exprimă prin ecuațiile :

- pentru solidul elastic sau solidul lui Hooke :

$$\zeta = G \cdot \gamma \quad (1.18)$$

unde γ este gradientul recuperabil al deformării, iar G este modul de elasticitate. Solidul elastic suferă deformarea γ sub acțiunea efortului tangențial ζ iar după îndepărtarea acestuia, corpul își revine la forma (deformarea se recuperează) ;

- pentru lichidul lui Newton :

$$\zeta = \eta \cdot \dot{\gamma} \quad (1.19)$$

unde $\dot{\gamma}$ este gradientul nerecuperabil al deformării sau gradientul de viteză iar η coeficientul de viscozitate. Deformarea $\dot{\gamma}$ sau gradientul de viteză poate fi scrisă și sub forma (v.fig.1.5) :

$$\dot{\gamma} = \frac{\partial}{\partial x} \left(\frac{\partial l}{\partial t} \right)$$

unde t este timpul ;

l = lungimea maximă a deformației ;

$\partial l / \partial t$ = viteza.

Dacă se schimbă variabilele în raport cu care se face derivarea se obține :

$$\dot{\gamma} = \frac{\partial}{\partial t} \left(\frac{\partial l}{\partial x} \right)$$

În ultima relație $\partial l / \partial x$ reprezintă deformarea locală iar derivata ei în raport cu timpul este viteza de deformare. Prin urmare se poate afirma că $\dot{\gamma}$ reprezintă viteza de deformare sau de forfecare sub acțiunea unui efort tangențial. Lichidul lui Newton se deformează ireversibil (curge) sub acțiunea tensiunii tangen-

țiale τ :

- pentru plasticul St.Venant :

$$\tau = \tau_0 \quad (1.20)$$

Plasticul St.Venant se comportă pînă la pragul de tensiune τ_0 ca un solid euclidian (corp complet nedeformabil) iar apoi ca un lichid pascalian.

Din punct de vedere reologic solidul euclidian este descris de ecuația :

$$\gamma = 0$$

adică pentru $0 \leq \tau \leq \infty$ deformarea este nulă . Lichidul pascalian este descris de ecuația

$$\tau = 0$$

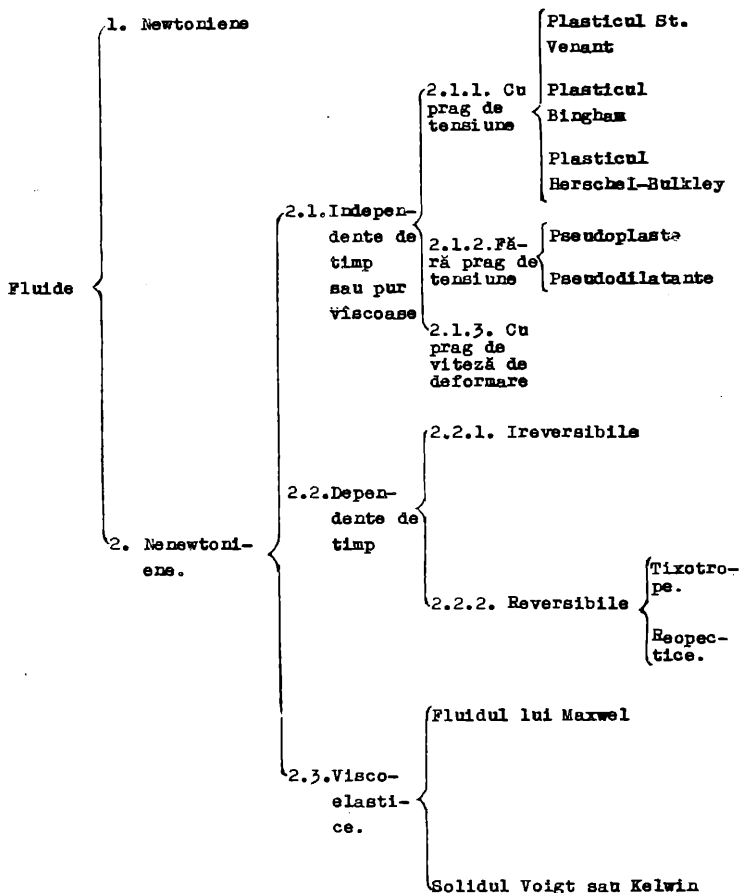
deoarece pentru eforturi tangențiale >0 deformarea poate lua valori între 0 și ∞ .

1.3.3. Clasificarea corpurilor fluide

Funcție de comportarea lor la eforturile de forfecare fluidele se pot clasifica după schema de mai jos (pg. 23).

Fluidele dependente de timp sînt acelea pentru care viteza de forfecare într-un punct dat este exclusiv dependentă de tensiunea de forfecare din acel punct și nu depinde de durata aplicării ei, $[\dot{\gamma} = f(\tau)]$. Aceste fluide sînt uneori denumite fluide nenewtoniene viscoase sau pur viscoase. In fig. 1.8 se dă o clasificare a lor pe baza lipsei sau existenței unui prag de tensiune sau a unui prag de viteză de deformare.

Fluidele cu prag de tensiune (curbele 1, 2, 3) se comportă peste pragul de tensiune τ_0 ca : un lichid newtonian (plasticul Bingham - curba 2) ; un fluid pseudoplastic (curba 1) ; un lichid pseudodilatant (plasticul Herschel-Bulkley-curba 3) ; plasticul



Clasificarea corpurilor fluide.

St.Venant. O astfel de comportare se explică prin structura internă tridimensională care este capabilă de a împiedeca deformarea (curgerea) pentru valori ale eforturilor tangențiale mai mici decât pragul τ_0 .

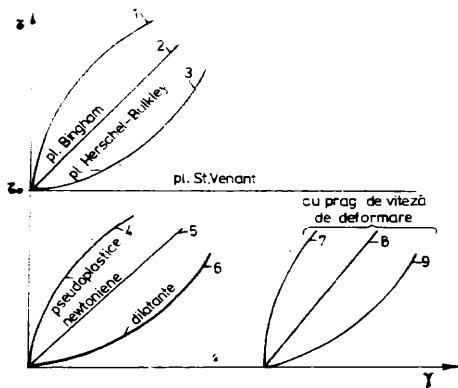


Fig. 1.8.

Clasificarea fluidelor newtoniene independente de timp.

Fluidele fără prag de tensiune (curbele 4, 5, 6) reprezintă comportarea reologică a majorității fluidelor reale. Curbele lor de curgere sînt caracterizate prin liniaritate la viteze mici de forfecare și uneori, la viteze foarte mari. Panta porțiunilor liniare se notează cu η_0 și se numește viscozitate la viteză de forfecare nulă și η_∞ și se numește viscozitate la viteză de forfecare infinită. După cum este arătat pe figură, din categoria fluidelor fără prag de tensiune fac parte fluidele pseudoplastice și cele dilatante; la cele pseudoplastice viscozitatea scade cu creșterea vitezei de forfecare (raportul $\tau/\dot{\gamma}$ scade) iar la fluidele dilatante viscozitatea crește cu creșterea vitezei de forfecare. La fluidele newtoniene, care pot fi considerate ca un caz particular al celorlalte două, viscozitatea rămîne constantă.

Comportări de pseudoplaste manifestă: adezivii, unele soluții de cauciuc, soluții sau topituri de polimeri, grăsimile, suspensiile de amidon, soluțiile utilizate în industria fibrelor,

maioneza, suspensiile de detergenți, săpunul etc.

Comportări de materiale dilatante manifestă : unele suspensii apoase de TiO_2 , praful de piatră în soluții de zahăr, guma arabică în soluții de borax, amidonul, silicatul de potasiu, nisipul umed, soluțiile de pigmenți cu conținut mare de fază dispersă (mică, cuarț) etc.

Fluidele cu prag de viteză de deformare (curbele 7, 8, 9) sînt cazuri izolate și nu se referă propriu-zis la fluide ; la unele materiale (exemplu unele paste din argilă, aluatul) prin solidificare cresc tensiunile interne. Aceste tensiuni sînt cauza unor deformări ("curgeri") care conduc la modificarea formei obiectului.

Fluidele dependente de timp. Sînt acelea pentru care viteza de forfecare este funcție atît de mărimea cît și de durata aplicării tensiunii de forfecare $[\gamma = f(\tau, t)]$. Dependența de timp poate fi reversibilă sau ireversibilă. Din categoria fluidelor a căror comportare reologică depinde reversibil de timp fac parte fluidele tixotrope și cele reopectice.

Tixotropia este definită ca o transformare reversibilă soluție - gel - soluție.

Fluidele tixotrope prezintă o descreștere reversibilă în timp a tensiunii tangențiale la o viteză de forfecare constantă și la o temperatură fixată. Tensiunea tangențială poate, în timp, să se apropie de unele valori limită, în conformitate cu echilibrul structural corespunzător vitezei de forfecare, și apoi să scadă (fig. 1.9). Dacă valoarea tensiunii de forfecare este măsurată într-o singură experiență în care viteza de forfecare crește continuu de la zero la valoarea maximă și apoi, imediat, descrește continuu la zero, se va obține o curbă "histerezis" (fig. 1.10). Alături de curbele este valabilă pentru o anumită valoare a creșterii și descreșterii vitezei de forfecare ; la

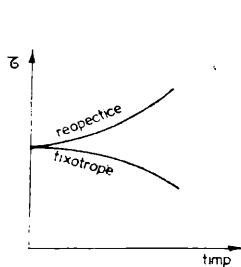


Fig. 1.9.

Variația în timp a tensiunii tangențiale.

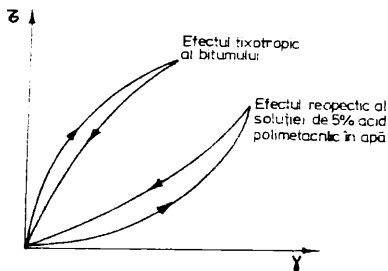


Fig. 1.10.

Efectul tixotropie și reopectiv.

alte astfel de valori, conturul curbelor va fi altul.

Efectul tixotropie este caracteristic pentru majoritatea suspensiilor de argilă. De exemplu, dacă o suspensie apoasă de montmorilonit este vărsată într-un tub și este ținută un timp în repaus, ea se transformă într-un gel rigid și nu curge chiar dacă tubul este răsturnat; lovirea ușoară a tubului este însă suficientă pentru ca gelul să devină fluid. Această experiență se poate repeta de mai multe ori.

Efecte tixotrope manifestă, de asemenea, guma arabică, cărbunii, oxizii de fier, unele substanțe organice etc.

Fluidele reopectice, numite și antitixotropice, se întâlnesc mai rar. Ele manifestă o creștere reversibilă a efortului de forfecare în condiții izoterme. Și la aceste fluide se obține un ciclu "histerezis" (v.fig.1.10), dar variația efortului de forfecare este opusă celeia a materialelor tixotrope.

Fluidele viscoelastice. Așa cum le arată și numele, fluidele viscoelastice manifestă atât proprietăți viscoase cât și proprietăți elastice. În contrast cu fluidele pur viscoase, fluidele viscoelastice se deformează ("curg") când sunt supuse la eforturi de forfecare însă o parte din deformare este recuperată

după îndepărtarea efortului. Un efect viscoelastic apare, de exemplu, la extrudarea fibrelor sintetice (nylonul) prin orificii fine ; secțiunea transversală a fibrei obținute este mai mare ca aceea a filierei de extrudare, ca urmare a recuperării parțiale a elasticității materialului.

Proprietăți viscoelastice mai manifestă : bitumurile, făina de aluat, napalmul, polimerii în soluții sau topituri etc.

1.3.4. Mărimi caracteristice în curgere. Debit, viteză medie de curgere

În practică, sub acțiunea unei energii, fluidele se deplasează prin conducte și aparate de secțiuni diferite ca formă și mărime (cel mai adesea secțiunea transversală este circulară).

Se numește debit volumic cantitatea de fluid, exprimată în unități de volum, care curge printr-o secțiune în unitatea de timp. Debitul volumic este notat cu V la care se afectează un indice inferior care arată unitățile în care este exprimat timpul :

$$\left[V_s \right]_{S.I.} = m^3/s ; \left[V_h \right] = m^3/h$$

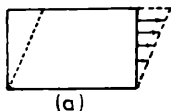
Debitul masic G_s reprezintă cantitatea de fluid, exprimată în unități de masă, care curge printr-o secțiune în unitatea de timp. În S.I. debitul masic se exprimă în Kg/s.

Corelarea debitului volumic cu cel de masă se face prin intermediul densității ρ a fluidului :

$$G_s = V_s \cdot \rho \quad (1.21)$$

Viteza medie volumică, w . La definirea viscozității s-a arătat că nu toate straturile de fluid se deplasează cu aceeași viteză ci, există o variație a vitezei straturilor de fluid, reprezentată în fig. 1.5 ca o variație proporțională. În realitate

această proporționalitate nu este respectată pentru o gamă largă de fluide și ea se manifestă după o curbă, după cum se arată în figura 1.11 (b). Pentru că practic este greu să se stabilească exact distribuția vitezelor (ecuația curbei), în calcule se folosește o viteză medie volumică, definită ca reprezentând raportul



(a)



(b)

Fig. 1.11.

Variația vitezei straturilor de fluid de la un perete solid spre interiorul fluidului: (a)-variație proporțională cu distanța de la perete; (b)-variația după o curbă.

teza masică se mai numește și debit masic specific sau flux de masă unitar.

Din relațiile (1.22) și (1.23) se stabilește corelația între viteza medie volumică și viteza medie masică :

$$w_m = w \cdot \rho \quad (1.24)$$

dintre volumul de fluid care curge în unitatea de timp și aria secțiunii transversale de curgere S :

$$w = \frac{V_s}{S} , \text{ m/s} \quad (1.22)$$

În legătură cu debitul masic G_s se definește viteza medie masică w_m ca raportul dintre masa de fluid care curge în unitatea de timp și aria secțiunii transversale de curgere :

$$w_m = \frac{G_s}{S} , \text{ Kg/m}^2 \cdot \text{s} \quad (1.23)$$

Reprezentînd debitul masic pe unitatea de secțiune de curgere, vi-

1.3.5. Caracterul curgerii fluidelor prin conducte sau canale

Există mai multe criterii pentru a clasifica curgerea unui fluid ; din acestea, două sînt mai importante :

1. - după desfășurarea în timp sau după variația în timp a proprietăților fluidului ;
2. - după structura fizică a mișcărilor particulelor fluidului.

Primul criteriu permite deosebirea a două tipuri de curgeri: curgerea în regim staționar și curgerea în regim nestaționar.

La curgerea în regim staționar, sau staționară, într-un anumit punct determinat în fluid, totalitatea mărimilor fizice ale fluidului și parametrii curgerii (debit, viteză, presiune, temperatură) rămîn constante în timp. Dacă se simbolizează prin u o mărime fizică a fluidului sau un parametru al curgerii, condiția de curgere staționară se exprimă prin relația :

$$\frac{du}{dt} = 0 \quad (1.25)$$

La curgerea în regim nestaționar, sau nestaționară, toate mărimile care caracterizează curgerea sînt funcție atât de timp cît și de coordonatele spațiului :

$$\frac{du}{dt} \neq 0 \quad (1.26)$$

După al doilea criteriu se deosebesc trei regimuri de curgere : în regim laminar, în regim intermediar și în regim turbulent sau, mai scurt, curgere laminară, intermediară și turbulentă.

Sub aspect calitativ regimul de curgere a unui fluid poate fi pus în evidență prin experiența efectuată pe instalația din figura 1.12. Instalația constă dintr-un rezervor cu lichid la

care se racordează lateral un tub din sticlă prevăzut cu robinetul R_2 la capătul liber. Curgerea lichidului prin acest tub

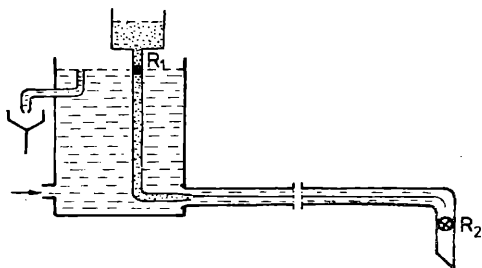


Fig. 1.12.

Instalație pentru determinarea regimului de curgere.

trebuie să fie în regim staționar, în care scop rezervorul este prevăzut cu o conductă de preaplin ; nivelul lichidului în rezervor, respectiv energia coloanei hidrostatice de lichid sub acțiunea căreia are loc curgerea, se menține în acest fel constant (evident rezervorul este alimentat continuu). Dintr-un mic rezervor se scurge un colorant prin tubul subțire prevăzut cu robinetul R_1 ; capătul tubului subțire pătrunde coaxial în tubul prin care curge lichidul de cercetat.

Dacă diametrul tubului de sticlă nu este prea mare și, de asemenea, dacă viteza de curgere a lichidului nu este mare (robinetul R_2 este numai puțin deschis), lichidul din tub se deplasează în straturi paralele, traiectoriile particulelor nu se intersectează între ele ; firul de colorant se menține drept și subțire pe toată lungimea tubului de curgere, ceea ce dovedește absența amestecării straturilor de lichid. Această curgere în straturi paralele poartă denumirea de curgere laminară de la

cuvîntul latinesc "lamina" - strat. Uneori curgerea laminară se mai numește curgere în regimul lui Poiseuille - medic francez care a studiat-o.

Dacă robinetul R_2 este deschis mai mult, viteza lichidului crește și la un moment dat firul de colorant se îndoaie, se îngroașă și, la viteze suficient de mari, se destramă în mai multe șuvițe care se încrucișează, se întretaie iar, după un timp scurt, masa lichidului din tub se colorează în întregime. Curgerea are în acest caz un caracter dezordonat, sub forma unor turbioane sau vîrtejuri care se amestecă atât în plan transversal cît și în cel longitudinal. Această curgere se numește turbulentă sau în regim turbulent. De menționat că în practica industrială curgerea fluidelor prin aparate este aproape întotdeauna în regim turbulent pentru că în acest regim de curgere procesele de transfer de căldură și de masă se desfășoară cu viteze mari.

Între cele două regimuri, considerate extreme, există evident un regim de tranziție numit regim intermediar.

Profilul vitezelor în curgere. Caracterul curgerii fluidelor poate fi stabilit și după distribuția vitezelor. De exemplu la curgerea laminară (v.fig. 1.13), cînd particulele de fluid

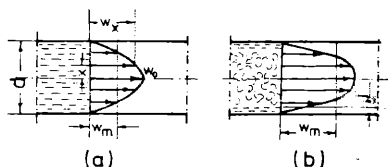


Fig. 1.13.

Profilul vitezelor în curgerea fluidelor prin conducte : (a) - curgere laminară ; (b) - curgere turbulentă.

se deplasează în straturi paralele, viteza particulelor este maximă în axul conductei și scade spre margini, la început încet apoi din ce în ce mai repede ; la perete, datorită forțelor de adeziune, viteza particulelor este nulă. Din măsurători experimentale s-a constatat că distribuția vitezelor în curgerea laminară se face după un paraboloid de revoluție ; într-un plan care trece prin axul conductei această distribuție apare sub forma unei parabole. În figura 1.13 s-au notat următoarele mărimi: w_0 - vectorul vitează în axul conductei ; w_x - vectorul vitează la distanța x față de ax ; w_m - viteza medie, considerată în calcule ; d - diametrul interior al conductei.

La curgerea turbulentă distribuția vitezelor apare în planul care trece prin axul conductei tot ca o parabolă dar această este deformată (o parabolă aplatizată) ; în apropierea peretelui conductei există un strat de grosime δ în care are loc o scădere aproximativ liniară a vitezei pînă la valoarea zero. În acest strat, numit strat laminar, strat limită, sau film, curgerea își păstrează caracterul laminar, chiar dacă în volumul principal de fluid curgerea este în regim turbulent. Stratul limită sau stratul laminar a fost utilizat, după cum s-a menționat mai înainte, de Prandtl la descrierea matematică a proceselor de curgere. Grosimea δ a stratului laminar nu este definită dar se știe că ea depinde de proprietățile fluidului (în special de viscozitate), de asperitățile conductei și de viteza de curgere a fluidului.

Legătura între viteza w_x a fluidului, considerată la distanța x de la axul conductei, și viteza medie w_m se stabilește prin următoarele relații :

- pentru curgerea laminară :

$$w_x = 2 w_m \left[1 - \left(\frac{2x}{d} \right)^2 \right] \quad (1.27)$$

care, pentru $x = 0$ devine $w_x = w_0 = 2 w_m$. Prin urmare în cazul curgerii laminare viteza medie de curgere folosită în calcule se ia 0,5 din viteza maximă (viteza la axul conductei).

- pentru curgerea turbulentă :

$$w_x = 1,19 w_m \left[1 - \left(\frac{2x}{d} \right)^{1,25} \right]^{1/7} \quad (1.28)$$

În acest caz pentru $x = 0$ se obține $w_x = w_0 = 1,19 w_m$, sau $w_m = (1/1,19)w_0$.

Prin cercetări experimentale asupra proceselor de curgere Osborne Reynolds (1883) a stabilit că regimul de curgere a unui fluid depinde sub aspect cantitativ, de trei factori principali : viteza medie volumică, diametrul interior al conductei și viscozitatea fluidului. Corelarea acestor factori a condus la formularea unui număr criterial, adimensional, notat cu Re și numit numărul sau criteriul lui Reynolds :

$$Re = \frac{w \cdot d}{\nu} \quad (1.29)$$

sau, folosind viscozitatea dinamică η în locul viscozității cinematice ν :

$$Re = \frac{w \cdot d \cdot \rho}{\eta} \quad (1.29.a)$$

În cazul curgerii fluidelor prin conducte sau canale delimitarea regimurilor de curgere este următoarea :

- curgere laminară : $Re < 2320$;
- curgere intermediară : $2320 < Re < 10.000$;
- curgere turbulentă : $Re > 10.000$.

Diametru echivalent. Când curgere fluidului se face prin conducte sau canale a căror secțiune de curgere nu este cilindrică, în calculul criteriului Reynolds se utilizează așa-numitul diametru echivalent al secțiunii de curgere care este egal cu patru raze hidraulice :

$$d_{\text{ech.}} = 4 r_L \quad (1.30)$$

Raza hidraulică reprezintă raportul între secțiunea liberă de curgere și perimetrul udât de fluid :

$$r_h = \frac{S}{P} \quad (1.31)$$

De exemplu, pentru o conductă de secțiune pătratică cu latura a , diametrul echivalent va fi :

$$d_{\text{ech.}} = 4 r_h = 4 \cdot \frac{S}{P} = \frac{4 \cdot a^2}{4 \cdot a} = a$$

Lungimea de stabilizare a curgerii. La ieșirea unui fluid dintr-un rezervor sau aparat, respectiv la intrarea sa în conductă cu care acesta este în legătură, curgerea are pe o anumită distanță un caracter diferit de cel de pe traseul conductei. De exemplu structura fizică a mișcărilor particulelor de fluid și distribuția vitezelor acestora dată în figura 1.13, este valabilă la distanța l de la intrarea fluidului în conductă. Această distanță, după care curgerea se consideră stabilizată, se numește lungime de pornire sau lungime de stabilizare a curgerii. Este recomandabil ca instrumentele de măsură (debit-metre, termometre, termocupluri etc), să se monteze pe conducte după lungimea de stabilizare a curgerii; în cazul curgerii turbulente lungimea de stabilizare se consideră de aproximativ 40 de ori diametrul interior al conductei.

Pe baza factorilor calitativi și cantitativi prezentați se pot defini alte două moduri sau modele idealizate de curgere : curgere cu deplasare ideală și curgere cu amestecare ideală sau cu amestecare perfectă.

În curgerea cu deplasare ideală se presupune că straturile de fluid se deplasează paralel (este exclusă posibilitatea amestecării straturilor) și cu aceeași viteză pe toată secțiunea transversală de curgere. Acest tip de curgere se mai numește

și curgere cu front plan de viteze sau curgere tip piston.

În curgerea cu amestecare ideală, după cum o arată și numele, se consideră că se face o amestecare perfectă a particulelor, cu alte cuvinte pe lângă viteza de înaintare particulele mai au o viteză de deplasare într-un plan perpendicular pe direcția de curgere. Acest tip de curgere conduce la omogenizarea tuturor proprietăților fluidului în planul secțiunii de curgere.

Cele două modele de curgere, cu deplasare ideală și cu amestecare ideală, sînt utile la proiectarea reactoarelor industriale.

1.3.6. Ecuațiile fundamentale ale dinamicii fluidelor

Procesul de curgere este descris din punct de vedere matematic de sistemul de ecuații alcătuit din ecuațiile diferențiale de bilanț de masă, de impuls sau cantitate de mișcare și de energie mecanică.

1.3.6.1. Legea conservării masei aplicată în curgere. Ecuații de continuitate

Aplicarea legii conservării masei la curgerea nestaționară a unui fluid permite stabilirea ecuației diferențiale de bilanț de masă. Pentru aceasta se consideră din fluidul în curgere o particulă fluidă de volum $dV = dx \cdot dy \cdot dz$ unde dx , dy și dz reprezintă lungimea muchiilor într-un sistem rectangular de axe (fig. 1.14).

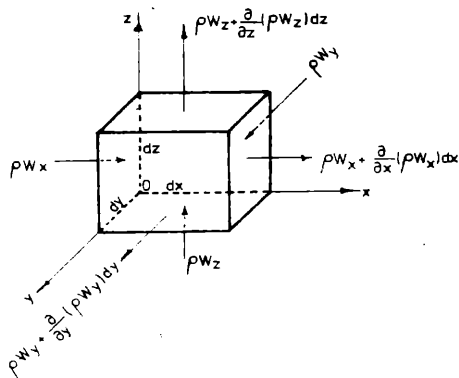


Fig. 1.14.

Stabilirea ecuației diferențiale de bilanț de masă.

Conform principiului conservării masei, variația în timp a masei elementului de volum sau acumularea trebuie să fie egală cu diferența între cantitățile intrate și cele ieșite :

$$m_a = (\sum m_i)_{\text{intrate}} - (\sum m_i)_{\text{ieșite}} \quad (1.32)$$

unde : m_a reprezintă masa acumulată în elementul de volum dV ;

$(\sum m_i)_{\text{intrate}}$ - suma cantităților intrate ;

$(\sum m_i)_{\text{ieșite}}$ - suma cantităților ieșite.

După cum se vede din figura 1.14, după direcțiile axelor x , y și z , intră pe fețele elementului de volum debitele masice specifice sau fluxurile unitare de masă $\rho \cdot w_x$, $\rho \cdot w_y$ și $\rho \cdot w_z$; w_x , w_y și w_z reprezintă componentele vectorului vitezei medii volumice w . Prin ρ s-a notat densitatea fluidului.

Fluxurile ieșite după cele trei direcții sînt egale cu fluxurile intrate la care se adaugă variațiile corespunzătoare:

$$\text{ - după axa } x : \rho \cdot w_x + \frac{\partial}{\partial x}(\rho \cdot w_x) ;$$

$$\text{ - după axa } y : \rho \cdot w_y + \frac{\partial}{\partial y}(\rho \cdot w_y) ;$$

$$\text{ - după axa } z : \rho \cdot w_z + \frac{\partial}{\partial z}(\rho \cdot w_z) .$$

Fluxurile unitare înmulțite cu secțiunile corespunzătoare de curgere și cu timpul dau cantitățile de fluid intrate și ieșite din elementul de volum :

$$(\sum m_1)_{\text{intrate}} = \rho \cdot w_x \cdot dy \cdot dz \cdot d\bar{t} + \rho \cdot w_y \cdot dx \cdot dz \cdot d\bar{t} + \rho \cdot w_z \cdot dx \cdot dy \cdot d\bar{t} \quad (1.33)$$

$$(\sum m_1)_{\text{ieșite}} = \rho \cdot w_x \cdot dy \cdot dz \cdot d\bar{t} + \frac{\partial}{\partial x}(\rho \cdot w_x) dy \cdot dz \cdot dx \cdot d\bar{t} + \rho \cdot w_y \cdot dx \cdot dz \cdot d\bar{t} + \frac{\partial}{\partial y}(\rho \cdot w_y) dx \cdot dz \cdot dy \cdot d\bar{t} + \rho \cdot w_z \cdot dx \cdot dy \cdot d\bar{t} + \frac{\partial}{\partial z}(\rho \cdot w_z) dx \cdot dy \cdot dz \cdot d\bar{t} \quad (1.34)$$

Dacă fluidul este necompresibil ($dV = \text{constant}$), masa acumulată m_a este egală cu variația în timpul $d\bar{t}$ a masei elementului de volum :

$$m_a = \frac{\partial m}{\partial \bar{t}} = \frac{\partial \rho}{\partial \bar{t}} d\bar{t} \cdot dV \quad (1.35)$$

Prin intermediul ecuațiilor (1.33) - (1.35), ecuația (1.32) devine :

$$\frac{\partial \rho}{\partial \bar{t}} = - \left[\frac{\partial}{\partial x}(\rho \cdot w_x) + \frac{\partial}{\partial y}(\rho \cdot w_y) + \frac{\partial}{\partial z}(\rho \cdot w_z) \right] \quad (1.36)$$

Prin derivarea în raport cu cele trei direcții a produselor $\rho \cdot w_x$, $\rho \cdot w_y$ și $\rho \cdot w_z$ și după gruparea convenabilă a termenilor ecuația (1.36) se poate scrie sub forma :

$$\frac{\partial \rho}{\partial \bar{t}} + \frac{\partial \rho}{\partial x} w_x + \frac{\partial \rho}{\partial y} w_y + \frac{\partial \rho}{\partial z} w_z = - \rho \cdot \left(\frac{\partial w_x}{\partial x} + \frac{\partial w_y}{\partial y} + \frac{\partial w_z}{\partial z} \right) \quad (1.37)$$

Termenii din stînga din ecuația (1.37) reprezintă derivata totală a densității $D\rho/d\bar{t}$ iar termenii din paranteză reprezintă divergența vitezei simbolizată prin $\nabla \cdot w$. Prin urmare ecuația

(1.37) se scrie restrîns :

$$\frac{D\rho}{dt} = - \rho \cdot \nabla \cdot \mathbf{w} \quad (1.38)$$

Ecuatia (1.38) reprezintă ecuația diferențială de bilanț de masă pentru curgerea nestaționară a unui fluid. Ea este cunoscută în literatură de specialitate și sub denumirea de ecuația diferențială a continuității curentului, sau ecuația de continuitate.

Forme ale ecuației de continuitate :

- Pentru fluide necompresibile în curgere izotermă, staționară $D\rho/dt = 0$ și ecuația (1.38) se reduce la expresia :

$$\rho \cdot \nabla \cdot \mathbf{w} = 0 \quad (1.39)$$

sau, pentru că $\rho \neq 0$:

$$\nabla \cdot \mathbf{w} = 0 \quad (1.39.a)$$

Relația (1.39.a) reprezintă, prin urmare, ecuația diferențială de bilanț de masă pentru curgerea fluidelor necompresibile și în regim staționar.

Ecuația bilanțului macroscopic de masă în curgerea staționară a unui fluid

Dacă curgerea este unidimensională, de exemplu numai după direcția axei x , componentele w_y și w_z ale vitezei se anulează și ecuația (1.39.a) se transformă într-o ecuație diferențială ordinară de forma :

$$\frac{d w_x}{dx} = 0 \quad (1.40)$$

Înmulțind ecuația (1.40) cu $\rho \cdot dV$ (masa elementului de volum) și integrînd se obține :

$$\begin{aligned} \rho \cdot dV \cdot d\left(\frac{w_x}{x}\right) &= 0 \\ \rho \cdot dV \cdot \frac{w_x}{x} &= C \end{aligned} \quad (1.41)$$

În ecuația (1.41) termenul din stînga reprezintă debitul masic G_s al fluidului în curgere iar C este o constantă de integrare. Prin urmare se poate scrie :

$$G_s = C \quad (1.41.a)$$

Ecuația (1.41.a) reprezintă forma macroscopică a bilanțului de masă pentru curgerea staționară izotermă, a unui fluid necomprimibil. Ea poartă, de asemenea, denumirea de ecuație de continuitate. O aplicație a acestei ecuații rezultă din figura 1.15 în

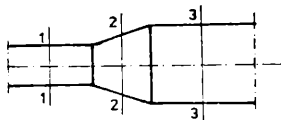


Fig. 1.15.

Aplicație a ecuației de continuitate.

masic de fluid prin cele trei secțiuni este același. Pe baza ecuațiilor (1.21) și (1.22) afirmația de mai sus se transformă în relația :

$$\rho_1 \cdot w_1 \cdot S_1 = \rho_2 \cdot w_2 \cdot S_2 = \dots = C$$

sau, dacă densitatea nu variază de la o secțiune la alta :

$$w_1 \cdot S_1 = w_2 \cdot S_2 = \dots = V_s, \text{ m}^3/\text{s} \quad (1.42)$$

Ecuația (1.42) reprezintă forma ecuației de continuitate în cazul curgerii staționare a unui fluid a cărui densitate este constantă. Ea se folosește în calculul vitezei de curgere sau a secțiunii atunci cînd este dat debitul volumic de fluid.

care s-a reprezentat un traseu de curgere, o conductă, prin 1-1, 2-2 și 3-3 s-au notat trei secțiuni diferite de curgere S_1 , S_2 și S_3 . Dacă curgerea fluidului este izotermă și în regim staționar, conform ecuației (1.41.a) debitul

1.3.6.2. Legea conservării impulsului aplicată în curgere. Ecuațiile diferențiale ale lui Euler și ecuațiile Navier - Stokes

Se reamintește din fizica elementară că produsul între o forță F și durata ei de aplicare τ asupra unui corp în mișcare se numește cantitate de mișcare.

Produsul între viteza imprimată unui corp prin aplicarea unei forțe și masa corpului se numește impuls.

Dimensional impulsul și cantitatea de mișcare se exprimă identic, deși cele două noțiuni au un sens fizic diferit.

Pentru scrierea ecuațiilor diferențiale de bilanț de impuls se recurge la modelul din figura 1.16. Spre deosebire de cazul când fluidul se află în echilibru (v, fig. 1.3), suma forțelor

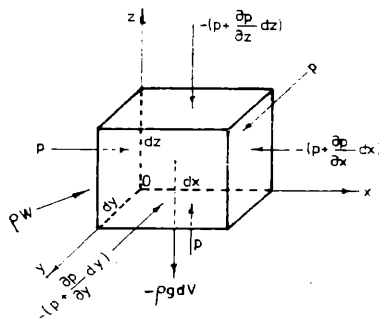


Fig. 1.16.
Stabilirea ecuațiilor diferențiale ale bilanțului de impuls.

care acționează asupra elementului de volum nu mai este nulă ci, egală cu masa elementului de volum înmulțită cu accelerația după direcția axei respective. Prin urmare ecuațiile (1.3) - (1.5) devin :

$$-\frac{\partial p}{\partial x} = \rho \cdot \frac{dw_x}{dt} \quad (1.43)$$

$$-\frac{\partial p}{\partial y} = \rho \cdot \frac{dw_y}{dt} \quad (1.44)$$

$$-\frac{\partial p}{\partial z} - \rho \cdot g = \rho \cdot \frac{dw_z}{dt} \quad (1.45)$$

în care termenii de forma $\frac{dw_i}{dt}$, ($i=x,y,z$)

reprezintă accelerațiile imprimate elementului de volum după direcția axelor x , y și z .

Semnificația fizică a ecuațiilor (1.43) - (1.45) poate fi pusă în evidență pe baza următoarelor considerații : dacă regimul de curgere este staționar, viteza de curgere precum și componentele sale w_x , w_y , w_z sînt funcție atît de timp cît și de coordonatele spațiului. Prin urmare diferențiala componentei w_x se va scrie :

$$dw_x = \frac{\partial w_x}{\partial x} dx + \frac{\partial w_x}{\partial y} dy + \frac{\partial w_x}{\partial z} dz + \frac{\partial w_x}{\partial t} dt \quad (1.46)$$

iar accelerația după direcția x :

$$\frac{dw_x}{dt} = \frac{\partial w_x}{\partial x} \cdot \frac{dx}{dt} + \frac{\partial w_x}{\partial y} \cdot \frac{dy}{dt} + \frac{\partial w_x}{\partial z} \cdot \frac{dz}{dt} + \frac{\partial w_x}{\partial t} \quad (1.47)$$

Rapoartele de forma di/dt ($i=x,y,z$) reprezintă tocmai componentele vitezei, (w_x , w_y , w_z). Cu această mențiune, se înlocuiește expresia accelerației din ecuația (1.47) în ecuația (1.43) și se grupează termenii, după cum se vede în ecuația (1.48):

$$-\frac{\partial p}{\partial x} - \left(\rho \cdot w_x \cdot \frac{\partial w_x}{\partial x} + \rho \cdot w_y \cdot \frac{\partial w_x}{\partial y} + \rho \cdot w_z \cdot \frac{\partial w_x}{\partial z} \right) = \rho \cdot \frac{\partial w_x}{\partial t} \quad (1.48)$$

S-a reamintit la începutul acestui paragraf că produsul

între masă și viteză reprezintă impulsul ; produsul între impuls și variația vitezei dă variația impulsului. Făcînd abstracție de semnul algebric, ecuația (1.48) se poate citi astfel :

$$\left(\begin{array}{c} \text{variația im-} \\ \text{pulsului for-} \\ \text{ței de presiune} \end{array} \right) + \left(\begin{array}{c} \text{variația im-} \\ \text{pulsului} \\ \text{convectiv} \end{array} \right) = \left(\begin{array}{c} \text{variația în timp} \\ \text{a impulsului pe} \\ \text{direcția axei } x \end{array} \right)$$

În concluzie ecuația (1.48) reprezintă bilanțul impulsului după direcția axei x . În mod asemănător se transformă și ecuațiile (1.44) și (1.45) obținîndu-se :

$$-\frac{\partial p}{\partial y} - \left(\rho \cdot w_x \frac{\partial w_y}{\partial x} + \rho \cdot w_y \frac{\partial w_y}{\partial y} + \rho \cdot w_z \frac{\partial w_y}{\partial z} \right) = \rho \frac{\partial w_y}{\partial t} \quad (1.49)$$

$$\begin{aligned} -\frac{\partial p}{\partial z} - \rho \cdot g - \left(\rho \cdot w_x \frac{\partial w_z}{\partial x} + \rho \cdot w_y \frac{\partial w_z}{\partial y} + \rho \cdot w_z \frac{\partial w_z}{\partial z} \right) &= \\ = \frac{\partial w_z}{\partial t} &\quad (1.50) \end{aligned}$$

Ecuațiile (1.48) - (1.50) reprezintă bilanțul de impuls alcătuit pentru un fluid în curgere.

Dacă se trec termenii din paranteza ecuațiilor (1.48) - (1.50) în dreapta se obțin derivatele totale ale componentelor vitezei : Dw_x/dt ; Dw_y/dt ; Dw_z/dt

Prin urmare aceste ecuații se pot transcrie și în forma :

$$-\frac{\partial p}{\partial x} = \rho \cdot \frac{Dw_x}{dt} \quad (1.51)$$

$$-\frac{\partial p}{\partial y} = \rho \cdot \frac{Dw_y}{dt} \quad (1.52)$$

$$-\frac{\partial p}{\partial z} - \rho \cdot g = \rho \cdot \frac{Dw_z}{dt} \quad (1.53)$$

Ecuațiile (1.51) - (1.53) sînt numite în literatură ecuațiile diferențiale de curgere ale lui Euler, pentru fluide ideale (fără viscozitate și compresibilitate). Dimensional, fiecare termen din aceste ecuații reprezintă forța pe unitatea de volum de fluid și, prin urmare, se poate spune că ele reprezintă bilanțul forțelor în curgerea nestaționară a unui fluid ideal.

Pentru curgerea staționară a fluidelor ideale ecuațiile

diferențiale ale bilanțului de impuls se reduc la formele :

$$-\frac{\partial p}{\partial x} = \rho \cdot w_x \frac{\partial w_x}{\partial x} + \rho \cdot w_y \frac{\partial w_x}{\partial y} + \rho \cdot w_z \frac{\partial w_x}{\partial z} \quad (1.54)$$

$$-\frac{\partial p}{\partial y} = \rho \cdot w_x \frac{\partial w_y}{\partial x} + \rho \cdot w_y \frac{\partial w_y}{\partial y} + \rho \cdot w_z \frac{\partial w_y}{\partial z} \quad (1.55)$$

$$-\frac{\partial p}{\partial z} = \rho \cdot w_x \frac{\partial w_z}{\partial x} + \rho \cdot w_y \frac{\partial w_z}{\partial y} + \rho \cdot w_z \frac{\partial w_z}{\partial z} \quad (1.56)$$

care au fost stabilite prima dată tot de Euler.

În cazul fluidelor reale (cu viscozitate și compresibilitate) ecuațiile diferențiale ale bilanțului de impuls se obțin din ecuațiile (1.51) - (1.53) la care se mai adaugă câte doi termeni care arată influența celor două proprietăți, compresibilitatea și viscozitatea sau frecarea internă :

$$\rho \cdot \frac{Dw_x}{dt} = -\frac{\partial p}{\partial x} + \eta \left[\nabla^2 w_x + \frac{1}{3} \frac{\partial}{\partial x} (\nabla \cdot w) \right] \quad (1.57)$$

$$\rho \cdot \frac{Dw_y}{dt} = -\frac{\partial p}{\partial y} + \eta \left[\nabla^2 w_y + \frac{1}{3} \frac{\partial}{\partial y} (\nabla \cdot w) \right] \quad (1.58)$$

$$\rho \cdot \frac{Dw_z}{dt} = -\frac{\partial p}{\partial z} - \rho \cdot g + \eta \left[\nabla^2 w_z + \frac{1}{3} \frac{\partial}{\partial z} (\nabla \cdot w) \right] \quad (1.59)$$

Ecuațiile (1.57) - (1.59) sînt numite și ecuațiile diferențiale de curgere Navier - Stokes. Termenii de forma

$\eta \cdot \nabla^2 w_i$ ($i=x,y,z$) țin seama de ^{frecarea} internă a straturilor de fluid în curgere sau de viscozitatea fluidului, iar termenii de forma $(\eta \cdot 1/3) \frac{\partial}{\partial i} (\nabla \cdot w)$ țin seama de compresibilitatea fluidelor reale. Simbolul ∇ (rădă) reprezintă operatorul de derivare al lui Laplace, iar termenii de forma $\nabla^2 w_i$ ($i=x,y,z$) reprezintă sumele derivatelor parțiale de ordinul al doilea ale componentelor vitezei după cele trei axe de coordonate. Termenii de forma $\frac{\partial}{\partial i} (\nabla \cdot w)$ reprezintă variația divergenței vitezei după cele trei axe de coordonate.

În cazul fluidelor reale a căror compresibilitate este neglijabilă (cum sînt lichidele în limite uzuale ale presiunii) termenii care țin seama de compresibilitate se anulează și

ecuațiile (1.57) - (1.59) se simplifică.

1.3.6.3. Legea conservării energiei mecanice aplicată în curgere. Ecuația Bernoulli

În figura 1.17 s-a reprezentat un sistem delimitat de secțiunea de intrare 1 și de ieșire 2 ; fluidul care se deplasează în sistem primește din exterior energia mecanică W_t și energia termică (sau căldura) Q_t și pierde, datorită rezistențelor înțimpinate în curgere, energia E_p .

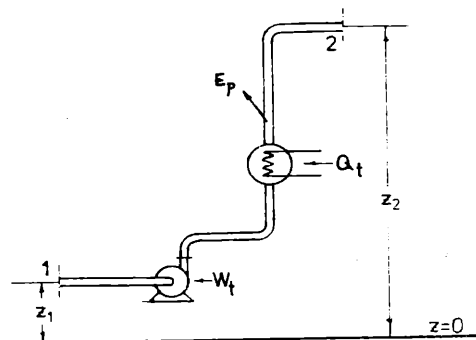


Fig. 1.17.

Stabilirea bilanțului de energie în curgere.

Conform principiului conservării energiei, cantitatea de energie primită de fluid din exterior trebuie să fie egală cu suma variațiilor energiilor fluidului la care se adaugă energia pierdută :

$$Q_t + W_t = \Delta E_c + \Delta E_{pot.} + E_p \cdot J \quad (1.60)$$

ΔE_c reprezintă variația energiei cinetice a masei m de fluid care se deplasează din punctul 1 în punctul 2 :

$$\Delta E_c = m \frac{w_2^2 - w_1^2}{2} ; \quad (1.61)$$

Asemănător, $\Delta E_{pot.}$ reprezintă variația energiei potențiale sau geometrice a fluidului :

$$\Delta E_{pot.} = m \cdot g(z_2 - z_1) \quad (1.62)$$

În ecuația (1.62) z_1 și z_2 reprezintă cotele la intrarea și ieșirea fluidului, considerate față de un plan de referință sau un plan de cotă $z = 0$.

Împărțind ecuația (1.60) prin m - masa totală de fluid care se deplasează în sistem se obține relația :

$$Q + W = \frac{w_2^2 - w_1^2}{2} + g(z_2 - z_1) + e_p, \text{ J/Kg} \quad (1.63)$$

în care toți termenii au semnificația de mai sus dar sînt raportați la unitatea de masă de fluid.

Q se calculează din formularea matematică a principiului întâi al termodinamicii :

$$Q = U_2 - U_1 + \int_1^2 p \cdot dV \quad (1.64)$$

în care U_1 și U_2 reprezintă energia internă a fluidului la intrarea și ieșirea din sistem.

Integrala din ecuația (1.64) poate fi astfel înlocuită :

- se observă că

$$\begin{aligned} \int_1^2 d(pV) &= p_2 \cdot V_2 - p_1 \cdot V_1 = \int_1^2 p \cdot dV + \int_1^2 V dp \\ \int_1^2 p dV &= p_2 V_2 - p_1 V_1 - \int_1^2 V dp \end{aligned} \quad (1.65)$$

și prin urmare ecuația (1.64) se transcrie în forma :

$$Q = U_2 - U_1 + p_2 V_2 - p_1 V_1 - \int_1^2 V dp$$

sau :

$$Q = (U_2 + P_2 V_2) - (U_1 + P_1 V_1) - \int_1^2 v \cdot dp \quad (1.66)$$

Termenii din parantezele ecuației (1.66) reprezintă entalpiile H_1 și H_2 ale fluidului. Pe baza definiției termodinamice a entalpiei variația $H_2 - H_1$ se poate înlocui prin relația:

$$H_2 - H_1 = \int_1^2 \Delta_{RCp} \cdot dT \quad (1.67)$$

unde : Δ_{RCp} reprezintă incrementul capacității calorice iar dT variația temperaturii T a fluidului de la punctul 1 la punctul 2 al sistemului.

Cu această ultimă modificare Q devine :

$$Q = \int_1^2 \Delta_{RCp} \cdot dT - \int_1^2 v \cdot dp \quad (1.68)$$

care introdus în ecuația (1.63) conduce la expresia :

$$W = - \int_1^2 \Delta_{RCp} \cdot dT + \int_1^2 v \cdot dp + \frac{w_2^2 - w_1^2}{2} + g(z_2 - z_1) + e_p, \text{ J/Kg} \quad (1.69)$$

Ecuația (1.69) reprezintă forma macroscopică a bilanțului de energie pentru unitatea de masă de fluid care curge în regim staționar, între secțiunile 1 și 2 (fig. 1.17)

Dacă în timpul curgerii fluidului între secțiunile 1 și 2 temperatura sa nu variază (curgerea este izotermă), atunci $dT = 0$ și primul termen din ecuația (1.69) se anulează. În acest caz se poate scrie :

$$W = \int_1^2 v \cdot dp + \frac{w_2^2 - w_1^2}{2} + g(z_2 - z_1) + e_p, \text{ J/Kg} \quad (1.70)$$

Ecuația (1.70) reprezintă, deci bilanțul macroscopic de energie în curgerea staționară, izotermă a unui fluid. Această ecuație este numită și ecuația Bernoulli.

Forme ale ecuației Bernoulli

a) Pentru gaze perfecte în curgere izotermă, staționară, volumul specific v de sub integrală se calculează din ecuația de stare :

$$v = \frac{R \cdot T}{p}, \text{ m}^3/\text{Kg} \quad (1.71)$$

unde R este constanta universală a gazelor, $\text{J/Kg}^\circ\text{K}$;

T = temperatura absolută, $^\circ\text{K}$;

p = presiunea gazului, N/m^2 .

Înlocuind volumul sub integrală și rezolvînd se obține :

$$w = R \cdot T \ln \frac{p_2}{p_1} + \frac{w_2^2 - w_1^2}{2} + g(z_2 - z_1) + e_p, \text{ J/Kg} \quad (1.72)$$

b) Pentru lichide a căror densitate rămîne constantă, volumul specific v se înlocuiește cu $1/\rho$ și se scoate de sub integrala din ecuația (1.70) obținîndu-se :

$$w = \frac{p_2 - p_1}{\rho} + \frac{w_2^2 - w_1^2}{2} + g(z_2 - z_1) + e_p, \text{ J/Kg} \quad (1.73)$$

Relația (1.73) este valabilă și pentru gaze a căror densitate rămîne constantă în timpul curgerii.

c) Dacă se înmulțește ecuația (1.73) cu ρ - densitatea fluidului - se află :

$$w \cdot \rho = \Delta p_t = p_2 - p_1 + \frac{w_2^2 - w_1^2}{2} \cdot \rho + \rho g(z_2 - z_1) + e_p \cdot \rho, \text{ J/m}^3 \quad (1.74)$$

în care toți termenii exprimă energii pe unitatea de volum de fluid care se deplasează. Deoarece dimensional energia pe unitatea de volum este echivalentă cu presiunea, $1\text{J/m}^3 = 1\text{N/m}^2$, se obișnuiește să se numească relația (1.74) ecuația lui Bernoulli scrisă în termeni de presiune :

$$\Delta P_t = \Delta P_s + \Delta P_d + \Delta P_g + \Delta P_p, N/m^2 \quad (1.74.a)$$

unde :

$\Delta P_s = P_2 - P_1$ reprezintă variația presiunii statice a fluidului între secțiunile 2 și 1 ;

$$\Delta P_d = [(w_2^2 - w_1^2)/2] \cdot \rho = \text{variația presiunii dinamice ;}$$

$$\Delta P_g = \rho \cdot g (z_2 - z_1) = \text{variația presiunii geometrice ;}$$

$\Delta P_p = e_p \cdot \rho =$ pierderea de presiune datorată rezistențelor în curgerea fluidului ;

$\Delta P_t =$ variația totală a presiunii, sau echivalentul în presiune al energiei consumate din exterior.

În primul și ultimul termen al ecuației (1.74.a) simbolul Δ este convențional ; el nu reprezintă propriu-zis o variație ci un consum.

d) Împărțind ecuația (1.73) prin g - accelerația gravitațională - se obține o altă formă a ecuației Bernoulli :

$$\frac{w}{g} = H_m = \frac{P_2 - P_1}{\rho \cdot g} + \frac{w_2^2 - w_1^2}{2g} + (z_2 - z_1) + \frac{e_p}{g}, m \quad (1.75)$$

Dimensional, fiecare termen al ecuației (1.75) reprezintă lungimi sau înălțimi. H_m se numește înălțime manometrică și este o caracteristică a sistemului în care se deplasează fluidul ; Asemănător, ceilalți termeni se notează cu :

$$\Delta h_s = \frac{P_2 - P_1}{\rho \cdot g}, \text{ variația înălțimii statice ;}$$

$$\Delta h_d = \frac{w_2^2 - w_1^2}{2g}, \text{ variația înălțimii dinamice ;}$$

$$\Delta h_g = z_2 - z_1, \text{ variația înălțimii geometrice ;}$$

$\Delta h_p = e_p/g$ - pierderea de energie, exprimată în înălțime coloană de fluid în curgere.

Ca sens fizic, H_m reprezintă înălțimea coloanei din fluidul care se deplasează în sistem, a cărei energie potențială este egală cu energia W consumată din exterior.

1.3.6.4. Aplicații ale ecuației Bernoulli

În general ecuația Bernoulli se utilizează pentru calculul energiei mecanice W , transferată fluidului din exterior prin intermediul unei mașini (pomă, ventilator, compresor). Această energie este convertită apoi în presiune statică, energie cinetică și potențială. De asemenea, o parte din ea servește pentru compensarea pierderilor de energie datorate rezistențelor întâmpinate de fluid.

În figura 1.18 se dau elementele pentru o altă aplicație

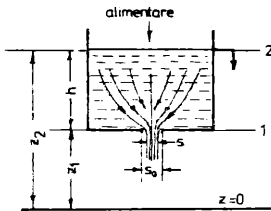


Fig.1.18.

Scurgerea staționară a unui lichid
sintr-un rezervor.

a ecuației Bernoulli și anume
calculul debitului de lichid
care se scurge în regim sta-
ționar dintr-un rezervor.

Rezervorul este alimentat
continuu cu lichid a cărui
nivel se menține constant la
înălțimea h , prin interme-
diul unui preaplin. Secțiunea
orificiului de scurgere este
 S_0 . Lichidul se scurge din

rezervor numai sub acțiunea

energiei potențiale $m \cdot g \cdot h$, unde m este masa de lichid. Această
energie servește pentru a imprima lichidului viteza de scurgere
 w_0 și pentru învingerea rezistențelor în orificiu ; pentru un
lichid ideal rezistențele în curgere sînt nule și scriind ecuația
Bernoulli între secțiunea 1 (la baza rezervorului) și secțiunea
2 (la nivelul superior al lichidului) se obține (v.ec.1.75) :

scrie sub forma :

$$\Delta P_p = \left(\lambda \cdot \frac{l}{d_e} + \sum_{i=1}^n \xi_i \right) \cdot \Delta P_d \quad (1.99)$$

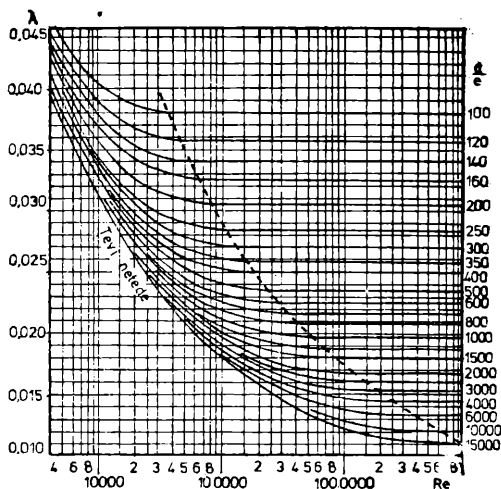


Fig. 1.22.
Dependența lui λ de Re și de $\frac{1}{\epsilon}$

ΔP_d se calculează în funcție de viteza fluidului la intrarea și ieșirea din traseul pentru care se calculează pierderile de presiune. Dacă viteza variază se utilizează în calcule o valoare medie a vitezei.

Uneori în locul coeficienților de rezistență locală ξ_i se folosește în calculul pierderii de presiune prin rezistențe locale așa numita lungime echivalentă. Pentru o rezistență locală 1 lungimea echivalentă este porțiunea de conductă dreaptă prin care pierderea de presiune prin frecare este egală cu aceea prin rezistența locală. În cazul unui cot cu raza de curbură R și cu unghiul α lungimea echivalentă este :

respectiv debitul de fluid, acesta are tendința atât de a disloca granulele din strat, pentru a-și mări secțiunea de curgere, cât și de a antrenă particulele în sensul curgerii. Dacă se măsoară pierderea de presiune la curgerea gazului prin strat (cauzată de frecarea între gaz și particule și între gaz și perete) se constată că ea crește cu viteza dar rămâne mai mică decât forța de presiune echivalentă greutateii materialului din strat. La o anumită viteză a gazului pierderea de presiune devine egală cu presiunea calculată din raportarea greutateii materialului din strat la secțiunea coloanei. Această situație caracterizează începutul fluidizării când granulele nu se mai sprijină unele pe altele ci ajung într-o stare de planare sau de plutire. Mărind în continuare viteza gazului are loc expandarea stratului, particulele solide încep să se deplaseze, la început în plan orizontal aranjându-se astfel încât rezistența la curgerea gazului să fie minimă. Această stare a sistemului se numește fluidizare omogenă sau liniștită. La viteze mai mari a gazului mișcarea particulelor devine din ce în ce mai intensă și, deoarece pierderea de presiune datorată frecării gazului cu particulele, depășește presiunea calculată din greutatea stratului, granule individuale sau un ansamblu de granule sînt antrenate în sensul curgerii gazului. Granulele care ajung într-un spațiu cu secțiunea mai mare, unde viteza locală a gazului este mai mică, cad din nou în strat. Privită din exterior mișcarea granulelor în strat are în acest moment aspectul unui lichid în fierbere și, de aceea, stratul poartă denumirea de strat în fierbere sau strat fluidizat. În figura 1.26 este dată variația pierderii de presiune Δp în funcție de viteza fictivă a gazului, w . Valoarea maximă a pierderii de presiune corespunde situației când ea devine egală cu presiunea calculată din

Din împărțirea ultimului termen al relației (1.88) la primul rezultă criteriul lui Reynolds (v. rel. 1.29.a) :

$$Re = \frac{w \cdot l \cdot \rho}{\eta}$$

Din punct de vedere fizic criteriul lui Reynolds arată raportul între intensitatea cu care se face amestecarea pe seama fluxului convectiv de masă față de aceea pe seama forțelor de frecare internă sau de viscozitate.

În toate criteriile l este dimensiunea care caracterizează geometria curgerii, de exemplu la curgerea unui fluid printr-o conductă circulară în secțiune l reprezintă tocmai diametrul interior al conductei iar dacă conducta are în secțiune altă formă geometrică, l reprezintă diametrul echivalent. În cazul deversării unui lichid dintr-un preaplin într-o conductă prin care se scurge sub forma unei pelicule, l reprezintă perimetrul interior al conductei.

Pentru stabilirea celor trei criterii de similitudine (Eu, Re, Fr) a fost suficientă numai o singură ecuație diferențială; dacă se ia în considerare întreg sistemul de ecuații diferențiale care descriu fenomene similare se obțin toate criteriile de similitudine cu ajutorul cărora se scrie apoi funcția criterială, valabilă pentru întreaga clasă de fenomene (procese) similare. De exemplu pentru întreaga clasă de procese hidrodinamice (sau procese de curgere) în regim staționar, funcția criterială are forma :

$$f(Eu, Re, Fr \frac{l_1}{l}, \frac{l_2}{l} \dots \frac{l_n}{l}) = 0 \quad (1.90)$$

în care $l_1/l, l_2/l \dots l_n/l$ reprezintă criterii geometrice sau simplecși (raportul între două mărimi geometrice, cum ar fi lungimea și diametrul unei conducte).

Funcția criterială se explicitază în raport cu criteriul ce conține mărimea care trebuie calculată și se obține astfel

în întreaga masă a fluidelor. În vecinătatea peretelui, unde curgerea este întotdeauna laminară, temperaturile nu se uniformizează.

În straturile limită ale celor două fluide, căldura se transmite atât prin conductivitate cât și prin convecție, dar participarea convecției este practic nulă în fluidul adiacent peretelui și crește cu distanța la perete pînă la valoarea corespunzătoare mișcării masei principale a fluidului. Dacă se consideră filmele de fluid 1 și 2 ca niște medii imobile, se poate scrie, prin analogie cu pereții solid, pentru căldura transmisă prin straturile limită :

$$Q = \underbrace{\frac{A(t_1 - t_{p1})}{\frac{\delta_1}{\lambda_1}}}_{\text{pentru filmul 1}} \quad \text{respectiv} \quad Q = \underbrace{\frac{A(t_{p2} - t_2)}{\frac{\delta_2}{\lambda_2}}}_{\text{pentru filmul 2}}$$

în care : δ_1 este grosimea filmului 1 ; λ_1 este conductivitatea termică a filmului 1, δ_2 este grosimea filmului 2, iar λ_2 conductivitatea termică a filmului 2.

Calcularea cantității de căldură cu aceste relații nu este posibilă, deoarece δ_1 și δ_2 nu au valori constante pe întreaga suprafață de transfer de căldură A, de asemenea datorită variației temperaturii prin filme, variază și λ_1 și λ_2 . Grosimea filmului și profilul temperaturii în film depind de numeroși factori și anume : proprietățile fizice ale fluidului, regimul hidrodinamic, geometria suprafeței peretelui etc.

Pentru transferul complex al căldurii prin stratul limită, Newton a propus o relație de forma :

$$Q = \alpha \cdot A(t_f - t_p), \text{ pentru } t_f > t_p, \text{ sau} \quad (2.30)$$

$Q = \alpha \cdot A(t_p - t_f), \text{ pentru } t_p < t_f, \text{ în care } \alpha \text{ se numește}$
coeficient individual de transfer de căldură prin film și este

transfer menționat se numește transfer de căldură prin conductivitate termică. El se desfășoară pînă la egalizarea temperaturilor (echilibru termic) între cele două puncte. Tot prin conductivitate termică se realizează transferul între două corpuri puse în contact, cu condiția să existe o diferență între temperaturile celor două corpuri.

b) Transferul căldurii prin convecție

Prin convecție căldura se transferă ca efect al deplasării porțiunilor macroscopice de fluid, adică al transportului de substanță în interiorul aceleiași faze sau între faze diferite. Așa, spre exemplu, în interiorul unui fluid porțiuni ale acestuia se deplasează cu viteze diferite și, cel mai adesea, și după direcții diferite. În timpul cît o porțiune de fluid cu temperatura mai ridicată rămîne în contact cu una cu temperatura mai mică are loc transferul de căldură între cele două porțiuni macroscopice de fluid. Trebuie subliniat că la transferul de căldură prin conductivitate termică propriu-zisă nu este necesară o deplasare aparentă de substanță, în timp ce, condiția sinequanon la transferul de căldură prin convecție este existența acestei deplasări. După modul cum se realizează deplasarea porțiunilor de fluid din masa fluidului se deosebește : convecția naturală (liberă) și convecția forțată.

Convecția naturală. În acest caz transmiterea căldurii se realizează prin deplasarea naturală a unor porțiuni de fluid sub acțiunea unei diferențe de densitate ce apare în masa fluidului (de exemplu, aerul cald încălzit la partea inferioară a unei încăperi formează curenți ascendenți care transferă căldură porțiunilor mai reci de aer, aflate la par-

1.3.7.1. Analiza dimensională. Teorema π

Metodele bazate pe analiza dimensională servesc la stabilirea ecuațiilor analitice de calcul a proceselor fizice atunci când nu se cunoaște ecuația sau sistemul de ecuații diferențiale care descrie procesul dar se presupun cunoscute mărimile fizice și parametrii implicați în proces. Premiza de bază a analizei dimensionale consideră că fenomenele fiind o realitate obiectivă pot fi exprimate matematic prin funcții dimensional omogene, de forma :

$$f_1(a_1, a_2 \dots a_n) = 0 \quad (1.82)$$

în care $a_1, a_2 \dots a_n$ sînt mărimile fizice sau parametrii implicați în proces.

În baza acestei premise teorema π , (formulată de Buckingham în 1914), se enunță astfel : "dacă o funcție de mai multe mărimi este dimensional omogenă, ea poate fi redusă totdeauna la o funcție de un număr mai mic de variabile sau grupuri adimensionale". Astfel dacă cele n mărimi pot fi exprimate dimensional prin n_1 unități fundamentale dintr-un sistem de unități convenabil ales, funcția (1.82) se reduce la

$$f_2(\pi_1, \pi_2 \dots \pi_{n-n_1}) = 0 \quad (1.83)$$

unde $\pi_1, \pi_2 \dots$ sînt variabile sau grupuri adimensionale. Fiecare grup π reprezintă un produs din cele n mărimi luate la anumiți exponenți. Alegerea mărimilor pentru formarea grupurilor este în principiu arbitrară însă, cel mai adesea, ea se face astfel încît să rezulte grupuri cunoscute din cercetarea altor procese, cu avantajul că se pot face generalizări. După formarea grupurilor se scrie dimensional fiecare grup, exprimînd mărimile fizice care-l formează prin unitățile fundamentale ; condiția ca grupul

împărțirea ecuației diferențiale, omogene, la unul din termenii ei.

Pentru exemplificare se consideră ecuația diferențială Navier - Stokes după axa z pentru curgerea staționară a unui fluid real necompresibil ($\rho = \text{ct}$; $\nabla \cdot \mathbf{w} = 0$) :

$$\rho \cdot \left(\frac{\partial w_z}{\partial x} w_x + \frac{\partial w_z}{\partial y} w_y + \frac{\partial w_z}{\partial z} w_z \right) = - \frac{\partial p}{\partial z} - \rho \cdot g + \eta \cdot \left(\frac{\partial^2 w_z}{\partial x^2} + \frac{\partial^2 w_z}{\partial y^2} + \frac{\partial^2 w_z}{\partial z^2} \right) \quad (1.85)$$

și se aplică primul procedeu pentru stabilirea criteriilor de similitudine. Se presupune că ecuația scrisă descrie fenomenul ce se petrece într-un aparat (instalație) de laborator. Se presupune, de asemenea, că fenomenul la scară industrială este similar (asemănător) cu cel de la scară de laborator. Una din teoremele formulate în teoria similitudinii afirmă că "dacă două fenomene sînt similare, ele vor fi descrise de ecuații diferențiale de aceeași structură". Cum structura ecuației diferențiale nu depinde de scara mărimilor fizice care intervin în ea, se poate presupune că trecînd de la fenomenul ce se petrece la scară de laborator la cel industrial fiecare mărime se multiplică de un număr de ori, de exemplu :

$$\begin{aligned} w_1 &= a_w \cdot w \\ \rho_1 &= a_\rho \cdot \rho \\ l_1 &= a_l \cdot l \end{aligned}$$

Mărimile care au afectat indicele 1 se referă la fenomenul la scară industrială iar cele fără indice la fenomenul la scară de laborator. Mărimile a_w , a_ρ , a_l etc. se numesc constante de similitudine. Prin urmare ecuația diferențială care descrie fenomenul la scară industrială va avea aceeași structură cu aceea care descrie fenomenul la scară de laborator, dar fiecare mărime va fi înmulțită cu constantele de similitudine :

2.2. MODURILE DE TRANSMITERE A CALDURII

Transferul de căldură în interiorul unui corp sau de la un corp la altul este rezultatul unor procese ce se desfășoară la scara particulelor elementare (molecule, radicali, atomi, ioni, electroni etc.). Subliniem că prin "corpuri" înțelegem aici fluide (lichide, gaze, vapori) sau solide. Transferul de căldură se poate realiza prin trei moduri diferite și anume : prin conductivitate, prin convecție și prin radiație. Transferul căldurii se poate realiza simultan prin toate mecanismele enumerate, dar sînt și situații cînd numai unul sau numai două din aceste mecanisme sînt determinante.

a) Transferul căldurii prin conductivitate termică

La scara particulelor elementare se manifestă diferite forme de mișcare a materiei cum ar fi : deplasarea electronilor liberi, vibrația atomilor, deplasarea haotică a moleculelor, migrația ionilor etc. Existența acestor fenomene de mișcare este caracterizată prin starea energetică a corpurilor, prin "căldura" lor. Intensitatea cu care se manifestă aceste fenomene de mișcare este caracterizată prin temperatura corpului. Dacă în interiorul unui corp există două puncte cu stări energetice diferite, deci cu temperaturi diferite, atunci are loc un transfer spontan de energie de la punctul cu temperatura mai ridicată la punctul cu temperatura mai scăzută. Acest transfer se realizează "din aproape în aproape" de la particulă la particulă ; particulele cu energie mai mare ciocnesc particulele cu energie mai mică cedîndu-le o parte din energie. Procesul de

curgerea prin strat fix. Pentru umpluturi de formă geometrică definită, cum sînt de exemplu inelele Raschiș, se definesc o serie de mărimi caracteristice ; dintre acestea se dau în continuare cele mai importante.

Volumul liber al umpluturii, V_l reprezintă volumul golurilor dintr-un metru cub de strat de umplutură ; el se poate exprima prin aceeași relație ca și aceea pentru porozitatea stratului fix (v.rel.(1.104))

Suprafața specifică σ este suprafața tuturor elementelor de umplutură dintr-un metru cub de strat de umplutură.

Diametrul echivalent al secțiunii medii libere se calculează cu o relație asemănătoare ca pentru stratul fix :

$$d_e = 4 \frac{V_l}{\sigma} \quad (1.121)$$

în care : V_l este volumul liber al umpluturii, exprimat în m^3/m^3 , iar σ este suprafața specifică, exprimată în m^2/m^3 .

Viteza fictivă w_f se definește în legătură cu faza continuă care este de obicei un gaz sau vapori și reprezintă, prin urmare, viteza cu care curge gazul singur (sau vaporii) prin coloana fără umplutură.

Legătura între viteza fictivă și viteza reală se stabilește prin intermediul volumului liber al umpluturii :

$$w_f = w_o \cdot V_l \quad (1.122)$$

Diametrul coloanei cu umplutură se calculează cu aceeași relație ca în cazul curgerii unui fluid prin strat fix [v.rel.(1.111)]. Debitul volumic de gaz, V_s se consideră pentru condițiile de la intrarea gazului în coloană.

Regimul de curgere a gazului prin umplutură se calculează pornind de la expresia generală a criteriului Reynolds :

și ecuația (1.84) devine :

$$V_g = \alpha \cdot S_0 \cdot \sqrt{2 \cdot g \cdot h} ,$$

identică cu ecuația (1.79) ; $\alpha = \varphi \cdot \xi$ este coeficientul de debit.

În cazul cînd numărul mărimilor n care intervin în proces, precum și numărul unităților fundamentale n_1 este prea mare ($n > 6$; $n_1 > 3$), rezolvarea sistemelor de ecuații pentru aflarea exponenților devine dificilă și de aceea se recurge la alte metode din teoria ecuațiilor algebrice lineare, de exemplu la calculul matriceal.

1.3.7.2. Similitudinea hidrodinamică

Grupurile sau variabilele adimensionale sînt numite și criterii și se notează prin simboluri compuse din literele inițiale ale cercetărilor care le-au stabilit prima dată, de exemplu criteriul lui Reynolds este simbolizat Re .

Teoria similitudinii sau teoria modelelor studiază metodele pentru deducerea și folosirea criteriilor de similitudine în scopul de a transpune la altă scară, mai mare sau mai mică, a rezultatelor obținute pe un model experimental.

Cea mai răspîndită metodă de stabilire a criteriilor de similitudine pornește de la ecuațiile diferențiale care descriu un proces ; în cadrul acestei metode se disting trei procedee :

1. - stabilirea criteriilor de similitudine plecînd de la observația că o ecuație diferențială este independentă față de variația scărilor mărimilor fizice care intervin în ecuație ;

2. - determinarea criteriilor de similitudine prin aducerea ecuației diferențiale la forma ei adimensională ;

3. - determinarea criteriilor de similitudine prin

particulelor de fluid au un caracter dezordonat (se formează turbioane și vîrtejuri). La viteze foarte mari, zona moartă se prelungește formînd o diră.

Forța activă care provoacă curgerea fluidului sau deplasarea corpului în fluid poate fi forța de greutate, forța centrifugă sau forța dată de un cîmp electric.

Forța care se opune mișcării este cauzată de frecarea între fluid și corp. Expresia ei este dată de legea de frecare a lui Newton :

$$F_R = \xi \cdot \frac{w^2}{2} \cdot \rho_f \cdot S, \quad N \quad (1.126)$$

în care w este viteza relativă a corpului față de fluid, m/s ;

ρ_f - densitatea fluidului, Kg/m³ ;

S - suprafața proiecției conturului corpului pe un plan perpendicular pe direcția de deplasare, m² ;

ξ - coeficient de rezistență depinzînd de regimul de curgere, de forma și starea suprafeței sau rugozitatea corpului. Pentru sfere netede dependența coeficientului de rezistență de numărul Reynolds este dată în figura 1.29. După cum se vede există trei domenii de variație a lui ξ de Re . În primul domeniu, în care se consideră regimul de curgere laminară, ξ scade linear cu Re , (diagrama din fig. 1.28 este logaritmică). Primul domeniu de curgere mai este denumit domeniul lui Stokes. În domeniul al doilea, considerat în regim intermediar, ξ variază după o curbă iar în domeniul al treilea, în care curgerea se consideră în regim turbulent, ξ rămîne aproximativ constant .

În cazul curgerii în jurul unui corp numărul Reynolds se calculează cu expresia :

Pe de altă parte căldura acumulată determină variația căldurii sensibile a elementului de volum, dV , de masă $dm = dV$, în care este densitatea medie a corpului.

Variația căldurii sensibile în timp, se poate exprima prin relația :

$$\frac{\partial Q}{\partial t} = \frac{\partial (\bar{\rho} \cdot \bar{c}_p \cdot t)}{\partial t} dV$$

Folosind valorile medii pentru densitate și căldură specifică, adică $\bar{\rho}$ și \bar{c}_p se poate scrie :

$$\bar{\lambda} \left(\frac{\partial^2 t}{\partial x^2} + \frac{\partial^2 t}{\partial y^2} + \frac{\partial^2 t}{\partial z^2} \right) dV = \bar{\rho} \cdot \bar{c}_p \frac{\partial t}{\partial t} dV, \text{ sau}$$

$$\frac{\bar{\lambda}}{\bar{\rho} \cdot \bar{c}_p} \cdot \left(\frac{\partial^2 t}{\partial x^2} + \frac{\partial^2 t}{\partial y^2} + \frac{\partial^2 t}{\partial z^2} \right) = \frac{\partial t}{\partial t} \quad (2.4)$$

Relația (2.4) reprezintă ecuația diferențială a distribuției temperaturilor într-un mediu imobil. În această relație mărimea $a = \bar{\lambda} / \bar{\rho} \cdot \bar{c}_p$ se numește difuzivitate termică și caracterizează inerția termică a corpului, adică proprietatea lui de a se încălzi sau răci mai repede sau mai încet. Unitatea de măsură pentru a , în sistemul internațional este : $[a]_{SI} = m^2/s$.

Expresia din paranteza membrului stâng a relației (2.4) este operatorul lui Laplace și se notează cu simbolul $\nabla^2 t$.

Cu aceste notații ecuația (2.4) devine :

$$\frac{\partial t}{\partial t} = a \cdot \nabla^2 t \quad (2.5)$$

Ecuația de mai sus poartă denimirea și de ecuația diferențială a lui Fourier. În regim staționar temperatura își păstrează în timp valoarea în toate punctele sistemului, adică :

$\partial t / \partial t = 0$. Pentru regim staționar ecuația (2.5) ia forma :

$$\nabla^2 t = 0 \quad (2.6)$$

Relația (2.6) exprimă faptul că în regim staționar temperatura este o funcție numai de coordonate și este independentă de timp.

$$H_m = (z_2 - z_1) + \frac{w_2^2 - w_0^2}{2g} = 0 \Rightarrow$$

$$z_2 - z_1 = h = - \frac{w_2^2 - w_0^2}{2g} \quad (1.76)$$

În rezervor lichidul este într-o stare de cvasiechilibru și, prin urmare, $w_2 \sim 0$ iar ecuația (1.76) rezolvată în raport cu w_0 conduce la :

$$w_0 = \sqrt{2 \cdot g \cdot h}$$

care este formula lui Toricelli pentru căderea corpurilor în vid. Debitul volumic de lichid ideal scurs din rezervor va fi :

$$V_g = S_0 \cdot w_0 = S_0 \cdot \sqrt{2 \cdot g \cdot h} \quad , \quad m^3/s \quad (1.77)$$

Debitul volumic de lichid real va fi mai mic, din următoarele cauze : la ieșirea prin orificiu vîna de lichid se contractă, își micșorează secțiunea la valoarea S , ($S < S_0$) și, totodată, se manifestă forțele de frecare. Raportul între secțiunea reală S a vînei de lichid și secțiunea S_0 a orificiului se numește coeficient de comprimare (sau de contracție) a vînei, ξ :

$$\xi = \frac{S}{S_0} \quad (1.78)$$

Influența forțelor de frecare se ia în considerare prin factorul φ și expresia debitului de lichid real se scrie :

$$V_g = \varphi \cdot \xi \cdot S_0 \cdot \sqrt{2 \cdot g \cdot h} \quad , \quad m^3/s \quad (1.79)$$

în care produsul $\varphi \cdot \xi = \alpha$, se numește coeficient de debit. Pentru apă sau aer, $\alpha = 0,62 \div 0,63$ dar, în general el depinde de regimul de curgere.

Ecuația (1.79) este valabilă și pentru cazul cînd orificiul de scurgere este plasat lateral însă în acest caz înălțimea h se consideră numai pînă la axul orificiului.

Tot pe baza ecuației Bernoulli se poate calcula timpul de golire a unui rezervor. În figura 1.19 s-a notat cu h_1 înălțimea lichidului în rezervor la momentul $t = 0$ și cu h_2 înălțimea după

$$\xi = \frac{e}{d_e} \quad (1.98)$$

unde :

e - înălțimea medie a rugozității absolute ;

d_e - diametrul echivalent.

În figura 1.21 se prezintă un eșantion de conductă al cărei perete interior este rugos (prezintă neregularități sau asperități) ; cu e_{\max} s-a notat înălțimea maximă a asperităților sau rugozitatea absolută

maximă iar cu e s-a notat

înălțimea medie a rugozității absolute.

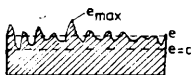


Fig. 1.21.

Eșantion de conductă cu asperități.

În figura 1.22 se arată dependența coeficientului de frecare λ de criteriul Reynolds și de starea suprafeței conduc-

tei ; pentru a se evita scrierea unor numere cu multe zecimale, pe ordonata din dreapta s-a notat inversa rugozității relative ξ .

În relația (1.94) ξ_1 se numește coeficient de rezistență locală și se ia de obicei din tabele date în literatură. De exemplu, pentru coturi rotunjite la diferite unghiuri α (v.fig.1.20) coeficientul de rezistență locală are valorile din tabelul 1.2.

Tabelul 1.2.

Coeficientul de rezistență locală pentru coturi

α	30	45	60	90
Tevi netede	0,13	0,24	0,47	1,13
Tevi rugoase	0,17	0,32	0,58	1,26

După ce s-au aflat valorile tuturor coeficienților de rezistență locală aceștia se însumează și se introduc în relația (1.94). Cu precizările care s-au făcut, relația (1.92) se poate

atit prin secțiunea S - secțiunea liberă a coloanei - cit și prin secțiunea S_0 - secțiunea medie liberă a golurilor dintre bucățile materialului din strat.

Viteza fictivă w_f este viteza cu care ar curge fluidul prin coloana fără strat de umplutură.

Viteza reală w_0 este viteza cu care curge fluidul prin secțiunea medie liberă S_0 . Corelația între viteza fictivă și viteza reală de curgere a fluidului se face pe baza ecuației

$$w_f = \frac{w_0 \cdot S_0}{S}, \text{ m/s} \quad (1.103)$$

Porozitatea ξ a stratului de material sau fracția de goluri reprezintă raportul dintre volumul total al golurilor $V-V_0$ și volumul stratului V :

$$\xi = \frac{V - V_0}{V} \quad (1.104)$$

În relația (1.104) V_0 reprezintă volumul tuturor particulelor din strat iar V - volumul stratului.

Porozitatea stratului ξ se poate calcula aproximativ cu relația:

$$\xi = 1 - \frac{\rho_v}{\rho} \quad (1.105)$$

în care ρ_v este densitatea aparentă a stratului de material iar ρ - densitatea materialului monolit.

Dacă membrul din dreapta relației (1.103) se înmulțește și se împarte cu H - înălțimea stratului, se observă că $S_0 \cdot xH$ reprezintă volumul golurilor, $S \cdot xH$ reprezintă volumul stratului iar raportul lor este tocmai porozitatea ξ . Prin urmare corelația între viteza fictivă a fluidului și viteza reală devine acum:

$$w_f = w_0 \cdot \xi \quad (1.106)$$

Suprafața specifică σ reprezintă suprafața tuturor particulelor dintr-un metru cub de strat granular:

$$a_p \cdot \frac{a_w^2}{a_l^2} \rho \left(\frac{\partial w_x}{\partial x} w_x + \frac{\partial w_y}{\partial y} w_y + \frac{\partial w_z}{\partial z} w_z \right) = \frac{a_p}{a_l^2} \left(- \frac{\partial p}{\partial z} \right) +$$

$$+ a_p \cdot a_g (-\rho \cdot g) + a_\gamma \cdot \frac{a_w}{a_l^2} \gamma \left\{ \frac{\partial^2 w_x}{\partial x^2} + \frac{\partial^2 w_y}{\partial y^2} + \frac{\partial^2 w_z}{\partial z^2} \right\} \quad (1.86)$$

Pe de altă parte se știe că dacă două ecuații diferențiale au aceeași structură, coeficienții de proporționalitate ai termenilor asemenea sînt egali. Pe baza acestei teoreme pentru ecuațiile (1.85) și (1.86) se poate scrie :

$$\frac{a_p \cdot a_w^2}{a_l^2} = 1 ; \frac{a_p}{a_l^2} = 1 ; a_p \cdot a_g = 1 ; \frac{a_\gamma \cdot a_w}{a_l^2} = 1$$

sau :

$$\frac{a_p \cdot a_w^2}{a_l^2} = \frac{a_p}{a_l^2} = a_p \cdot a_g = \frac{a_\gamma \cdot a_w}{a_l^2} \quad (1.87)$$

Împărțind pe rînd fiecare termen din expresia (1.87) la primul termen se obține :

$$\frac{a_p}{a_p \cdot a_w^2} = 1 ,$$

sau, ținînd cont de definiția constantelor de similitudine :

$$\frac{P_1}{\rho_1 \cdot w_1^2} = \frac{P_2}{\rho_2 \cdot w_2^2} = \dots = \frac{P}{\rho \cdot w^2} = Eu \quad (1.88)$$

Grupul adimensional $p/\rho \cdot w^2$ simbolizat Eu se numește criteriul lui Euler. Dacă se înmulțește și se împarte criteriul lui Euler cu V - volumul de fluid și se observă că dimensional $p \cdot V$ exprimă o energie, se poate afirma că criteriul lui Euler arată cantumul de energie dată din exterior convertită în energie cinetică.

În mod asemănător se obțin din relația (1.87) și alte criterii de similitudine. Din împărțirea celui de al treilea termen la primul se obține criteriul lui Froude :

$$Fr = \frac{w^2}{X \cdot g} \quad (1.89)$$

În hidrodinamică criteriul lui Froude arată cantumul de energie cinetică consumată pentru învingerea forțelor de gravitație.

tea superioară și care avînd densitate mai mare, coboară la partea inferioară a încăperii).

Convecția forțată. La convecția forțată transmiterea căldurii se realizează prin deplasarea "forțată" a unui fluid cu consum de energie mecanică din exterior (pompare, agitare, crearea unei coloane hidrostatice etc.).

c) Transferul de căldură prin radiație

Prin radiație căldura se transmite sub forma undelor electromagnetice (radiații) emise de un corp încălzit. Radiațiile emise, întîlnind un alt corp se transformă parțial în energie termică (căldură). Un exemplu este încălzirea pămîntului cu razele solare.

2.2.1. Transferul de căldură prin conductivitate termică, Legea Fourier

Pentru înțelegerea mai ușoară a legii care guvernează transmiterea căldurii prin conductivitate termică se fac unele precizări asupra unor mărimi cu ajutorul cărora se exprimă această lege.

Se definește noțiunea de cîmp de temperatură ca fiind totalitatea valôrilor instantanee ale temperaturii în punctele din interiorul corpului.

Locul geometric al tuturor punctelor de aceeași temperatură dintr-un corp (mediu) poartă numele de suprafață izotermă. Suprafețele izoterme nu se ating, nu se intersectează și sînt suprafețe închise (în interiorul corpului) sau deschise (cu conturul pe suprafața corpului) așa cum se poate observa și din fig. 2.1.

2.2.2.1. Ecuația diferențială a distribuției
temperaturilor în fluide în mișcare.
Ecuația Fourier - Kirchhoff

Oa și în cazul căldurii transmise prin conductivitate, ecuația diferențială a distribuției temperaturilor în fluide în mișcare se stabilește scriind bilanțul energiei termice pentru un volum elementar, delimitat dintr-un fluid în mișcare (fig. 2.6).

Ecuația generală a bilanțului termic este și în acest caz :

$$[\text{Căldură acumulată}] = [\text{Căldură intrată}] - [\text{Căldură ieșită}]$$

Cantitatea de căldură care intră în timpul $d\tau$, prin fața perpendiculară pe axa x , situată la distanța x de originea sistemului de coordonate, este :

$$Q_x = \rho_w c_p t \cdot dy \cdot dz \cdot d\tau + (-\lambda \frac{\partial t}{\partial x}) dy \cdot dz \cdot d\tau \quad (2.16)$$

Primul termen din membrul drept al ecuației (2.16) reprezintă cantitatea de căldură ce intră prin convecție prin suprafața $dy \cdot dz$, iar al doilea termen reprezintă căldura transferată elementului de volum prin suprafața $dy \cdot dz$ prin conductivitate termică. Cantitatea de căldură ieșită în timpul $d\tau$ prin fața elementului de volum, perpendiculară pe axa x , situată la distanța $x+dx$ de originea sistemului de coordonate este dată de cantitatea de căldură intrată în elementul de volum la care se adaugă variația acesteia pe direcția axei x :

$$Q_{x+dx} = \rho_w c_p t \cdot dy \cdot dz \cdot d\tau + (-\lambda \frac{\partial t}{\partial x}) dy \cdot dz \cdot d\tau + \frac{\partial}{\partial x} \left[\rho_w c_p t \cdot dy \cdot dz \cdot d\tau + (-\lambda \frac{\partial t}{\partial x}) dy \cdot dz \cdot d\tau \right] \cdot dx \quad (2.17)$$

de substanță între fluide, de exemplu condensarea vaporilor prin contact direct cu apa de răcire sau vaporizarea unui lichid în contact cu aerul cald.

Ecuatia de calcul a cantității de căldură transmisă, printr-un perete solid, de la un fluid cald (1) la un fluid rece (2), se deduce pe baza modelului fizic prezentat în figura (2.7).

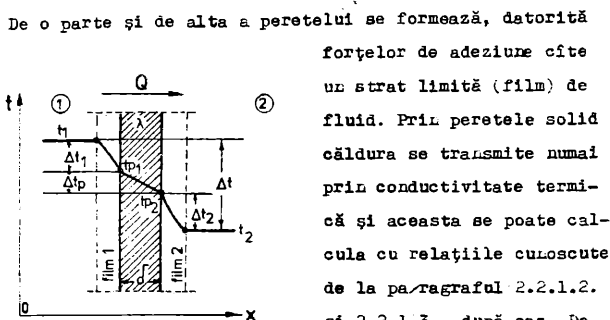


Fig. 2.7.

Modelul fizic la transmiterea căldurii de la fluidul 1 la fluidul 2 prin intermediul unui perete solid.

De o parte și de alta a peretelui se formează, datorită forțelor de adeziune cîte un strat limită (film) de fluid. Prin peretele solid căldura se transmite numai prin conductivitate termică și aceasta se poate calcula cu relațiile cunoscute de la paragraful 2.2.1.2. și 2.2.1.3., după caz. De exemplu căldura transmisă prin peretele solid al modelului prezentat în fig. 2.7 se calculează cu relația :

$$Q = \frac{A(tp_1 - tp_2)}{\frac{d}{\lambda}} \quad (2.29)$$

Utilizarea acestei relații necesită cunoașterea temperaturilor tp_1 și tp_2 , care, de obicei, nu se cunosc. Ceea ce se cunoaște sînt temperaturile t_1 și t_2 (măsurate în volumul principal de fluid 1 și 2). Într-o anumită secțiune, se consideră că aceste temperaturi, datorită turbulenței, au valoare constantă

λ este coeficientul de proporționalitate, numit coeficient de conductivitate termică sau, mai simplu, conductivitate termică.

Unitatea de măsură pentru λ , în sistemul internațional, se obține prin explicitarea ecuației (2.2) în raport cu λ :

$$[\lambda]_{\text{S.I.}} = \frac{\text{J.m}}{\text{s.m}^2.\text{grad}} = \frac{\text{W}}{\text{m.grad}}$$

Coeficientul de conductivitate termică este o mărime fizică ce depinde de natura substanței și de temperatură.

Pentru cele mai multe materiale solide (nemetale), λ crește cu temperatura. Pentru metale, cu excepția cuprului și aluminului, λ scade cu creșterea temperaturii. La gaze, λ crește cu temperatura, iar la lichide, cu excepția apei și glicerinei, λ scade cu temperatura.

Indiferent de starea de agregare variația coeficientului de conductivitate cu temperatura este aproximativ liniară:

$$\lambda_t = \lambda_0 + b t \quad (2.3)$$

unde b este o constantă caracteristică substanței și are valori pozitive sau negative.

După valorile medii ale coeficienților de conductivitate termică materialele solide se împart astfel:

- materiale termoizolante $\lambda = 0,023 - 0,12 \text{ W/m.grad}$
- materiale de construcție $\lambda = 0,58 - 3,5 \text{ W/m.grad}$
- metale $\lambda = 8,72 - 458 \text{ W/m.grad}$

Calculul coeficientului de conductivitate termică se face fie pe baza unor relații teoretice fie pe baza unor relații empirice. În manuale și îndrumare sînt tabelate valorile lui λ pentru materialele cu utilitate practică.

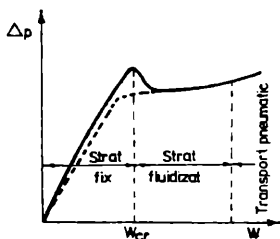


Fig. 1.26.

Pierdere de presiune în funcție de viteza fictivă a gazului.

greutatea materialului.

Dacă se măsoară pierdere de presiune la trecerea de la stratul fluidizat la stratul fix se constată că legea de variație este aceeași, dar valoarea căderii de presiune este tot timpul mai mică, (curba punctată în fig. 1.26).

Viteza critică a gazului, w_{cr} este viteza la care pierdere de presiune prin strat Δp_s devine egală cu greutatea stratului raportată la secțiunea coloanei. Pentru un strat din particule sferice de același diametru, viteza critică se determină din valoarea critică a numărului Reynolds :

$$w_{cr} = \frac{Re_{cr} \cdot \nu_f}{d_p} \quad (1.112)$$

unde : ν_f este viscozitatea cinematică a fluidului, m^2/s ;

d_p - diametrul particulei sferice, m.

Re_{cr} se calculează în funcție de criteriul lui Archimede :

$$Re_{cr} = \frac{Ar}{1400 + 5,22 \sqrt{Ar}} \quad (1.113)$$

Criteriul lui Archimede este un criteriu derivat :

$$Ar = \frac{Re^2}{Fr} (\rho - \rho_f) \cdot g = \frac{d_p^3 (\rho - \rho_f) g \cdot \rho_f}{\eta_f^2} \quad (1.114)$$

În relația (1.114) ρ este densitatea materialului din care provin particulele, Kg/m^3 ;

ρ_f - densitatea agentului de fluidizare, Kg/m^3 ;

η_f - viscozitatea dinamică a agentului de fluidizare,

ξ - porozitatea stratului fluidizat.

Pierderea de presiune la curgerea fluidului prin stratul fluidizat se calculează cu relația :

$$\Delta p = (\rho - \rho_f) g (1 - \xi) \cdot h, \text{ Nm}^2 \quad (1.120)$$

În relația (1.120) termenul $h(1 - \xi)$ se înlocuiește cu $h_0(1 - \xi_0)$, pe baza relației (1.119).

1.3.8.2.3. Curgerea a două faze prin aparate cu umplutură

În unele operații ca absorbția, extracția, distilarea, spălarea gazelor, prin stratul de umplutură curg două fluide avînd stări de agregare diferite, (lichid - lichid ; lichid - vapori ; lichid - gaz). Lichidul curge de obicei descendent și se distribuie sub formă unei pelicule pe suprafața tuturor elementelor de umplutură. Gazul sau vaporii circulă prin spațiul rămas liber din golurile umpluturii.

În figura 1.27 este reprezentată schematic o coloană

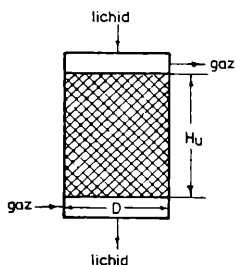


Fig. 1.27

Coloană cu umplutură străbătută de două faze fluide.

cu umplutură străbătută de două faze fluide.

H_u reprezintă înălțimea stratului de umplutură iar D - diametrul interior al coloanei. În calculele hidrodinamice ale aparatelor cu umplutură se folosesc mărimi asemănătoare cu cele de la

să fie adimensional impune ca exponenții fiecărei unități fundamentale să fie nuli. De aici rezultă un sistem de ecuații algebrice din a cărui rezolvare se află exponenții mărimilor care formează grupul.

Pentru a exemplifica aplicarea analizei dimensionale și a teoremei π se propune să se afle ecuația de calcul a debitului volumic de lichid care se scurge staționar dintr-un rezervor. Presupunind necunoscută ecuația diferențială care descrie acest proces se va utiliza metoda analizei dimensionale pentru a afla ecuația de calcul a debitului volumic.

Se consideră că mărimile implicate în proces sînt, (v.fig. 1.18) : înălțimea h , a lichidului în rezervor, secțiunea S_0 a orificiului de scurgere, debitul volumic V_g și accelerația gravitațională g . Prin urmare numărul mărimilor implicate în proces este $n = 4$, iar funcția (1.82) este :

$$f_1(V_g, S_0, h, g) = 0$$

Scriind dimensional cele n mărimi se constată că sînt necesare două unități fundamentale din sistemul S.I., deci :

$n_1 = 2$. Funcția (1.82) este :

$$f_2(\pi_1, \pi_2) = 0$$

Se formează grupurile π_1 și π_2 astfel : se iau două mărimi, numite comune pentru că vor apare în ambele grupuri, și se atașează pe rînd cîte una din celelalte mărimi :

$$\pi_1 = g^{x_1} \cdot h^{x_2} \cdot S_0^{x_3} ;$$

$$\pi_2 = g^{x_4} \cdot h^{x_5} \cdot V_g^{x_6}$$

Se scriu dimensional grupurile :

$$[\pi_1] = \left(\frac{m}{s^2}\right)^{x_1} \cdot (m)^{x_2} \cdot (m^2)^{x_3} \Leftrightarrow$$

$$[\pi_1] = m^{(x_1+x_2+2x_3)} \cdot s^{(-2x_1)}$$

$$\frac{\partial t}{\partial \xi} = a \cdot \nabla^2 t$$

care nu este alta decît ecuația diferențială a lui Fourier, care dă distribuția temperaturilor la transmiterea căldurii prin medii imobile. În cazul regimului staționar : $\partial t / \partial \xi = 0$ și ecuația (2.26) devine :

$$w_x \frac{\partial t}{\partial x} + w_y \frac{\partial t}{\partial y} + w_z \frac{\partial t}{\partial z} = a \cdot \nabla^2 t \quad (2.27)$$

Se mai observă că suma termenilor din membrul drept al ecuației (2.26) definesc derivata substanțială a temperaturii, și ecuația (2.26) se mai poate scrie :

$$\frac{Dt}{d\xi} = a \cdot \nabla^2 t \quad (2.28)$$

Ecuația (2.26), respectiv ecuația (2.28) este întâlnită în literatura de specialitate sub numele de ecuația diferențială Fourier - Kirchhoff.

2.2.2.2. Căldura transmisă prin conductivitate termică și convecție. Coeficienți individuali de transfer de căldură și coeficientul global de transfer termic

În aproape toate cazurile practice, transmiterea căldurii se face de la un fluid mai cald printr-un perete despărțitor la un fluid mai rece ; de exemplu încălzirea unui lichid dintr-un cazan cu ajutorul gazelor de ardere, răcirea aerului dintr-o încăpere de către aerul rece din exterior, prin intermediul pereților. Uneori nu există perete despărțitor și transmiterea căldurii se face direct prin contactul între cele două fluide; în aceste cazuri, transmisia căldurii este însoțită de schimb

Pentru întocmirea bilanțului termic se consideră un volum elementar $dv = dx \cdot dy \cdot dz$ din mediul prin care se transferă căldură prin conductivitate termică. Ecuația generală de bilanț se scrie astfel :

$$\left[\begin{array}{l} \text{Debit de căldură intrat} \\ \text{în elementul de volum} \end{array} \right] - \left[\begin{array}{l} \text{Debit de căldură ieșit} \\ \text{din elementul de volum} \end{array} \right] = \left[\begin{array}{l} \text{Debitul de căldură acumulat} \\ \text{în elementul de volum} \end{array} \right]$$

Pentru transferul căldurii după direcția x se poate scrie :

- Debitul de căldură, intrată pe fața perpendiculară pe axa x , situată la distanța x de originea sistemului de coordonate cartezian

$$Q_x = -\lambda dy \cdot dz \cdot \frac{\partial t}{\partial x} \quad W$$

- Debitul de căldură ieșită pe fața perpendiculară pe axa x , situată la distanța $x+dx$ de originea sistemului de coordonate :

$$Q_{x+dx} = \left[-\lambda dy \cdot dz \cdot \frac{\partial t}{\partial x} + \frac{\partial}{\partial x} (-\lambda dy \cdot dz \cdot \frac{\partial t}{\partial x}) dx \right]$$

Debitul de căldură acumulată după direcția x este :

$$dQ_x = Q_x - Q_{x+dx} = \bar{\lambda} \frac{\partial^2 t}{\partial x^2} dx \cdot dy \cdot dz$$

În această expresie s-a notat cu $\bar{\lambda}$, valoarea medie a coeficientului de conductivitate termică, ținând cont de variația temperaturii pe direcția x .

Ecuațiile pentru debitul de căldură acumulat se stabilesc similar și pentru celelalte două direcții, obținându-se pentru acumularea totală :

$$dQ_x + dQ_y + dQ_z = \bar{\lambda} \cdot \left(\frac{\partial^2 t}{\partial x^2} + \frac{\partial^2 t}{\partial y^2} + \frac{\partial^2 t}{\partial z^2} \right) dx \cdot dy \cdot dz$$

$$dq = \frac{\partial(\rho \cdot c_p \cdot t)}{\partial \xi} \cdot d\xi = \frac{\partial(\rho \cdot c_p \cdot t)}{\partial \xi} \cdot dv \cdot d\xi \quad (2.22)$$

Din egalarea ecuațiilor (2.21) și (2.22) rezultă :

$$- \left[\frac{\partial(\rho \cdot w_x \cdot c_p \cdot t)}{\partial x} + \frac{\partial(\rho \cdot w_y \cdot c_p \cdot t)}{\partial y} + \frac{\partial(\rho \cdot w_z \cdot c_p \cdot t)}{\partial z} \right] + \bar{\lambda} \cdot \nabla^2 t = \frac{\partial(\rho \cdot c_p \cdot t)}{\partial \xi} \quad (2.23)$$

Dacă se folosesc pentru densitatea, căldura specifică și conductivitatea termică a fluidului valorile medii, considerate constante, ele se scot de sub diferențială și ecuația (2.23) devine:

$$- \bar{\rho} \cdot \bar{c}_p \left[\frac{\partial(w_x \cdot t)}{\partial x} + \frac{\partial(w_y \cdot t)}{\partial y} + \frac{\partial(w_z \cdot t)}{\partial z} \right] + \bar{\lambda} \cdot \nabla^2 t = \bar{\rho} \cdot \bar{c}_p \cdot \frac{\partial t}{\partial \xi} \quad (2.24)$$

După efectuarea derivatelor $\frac{\partial}{\partial \xi}(w_i \cdot t)$, {unde $i = x, y, z$ } din membrul stâng al ecuației (2.24) și după împărțirea membrului stâng și drept al ecuației prin $\bar{\rho} \cdot \bar{c}_p$ se obține :

$$- \left[t \left(\frac{\partial w_x}{\partial x} + \frac{\partial w_y}{\partial y} + \frac{\partial w_z}{\partial z} \right) + w_x \frac{\partial t}{\partial x} + w_y \frac{\partial t}{\partial y} + w_z \frac{\partial t}{\partial z} \right] + a \cdot \nabla^2 t = \frac{\partial t}{\partial \xi} \quad (2.25)$$

Se observă că termenul din paranteza rotundă din membrul stâng al ecuației (2.25) reprezintă divergența vitezei, care pentru fluide necomprimibile este egală cu zero, și ecuația (2.25) se reduce la forma :

$$a \cdot \nabla^2 t = \frac{\partial t}{\partial \xi} + w_x \frac{\partial t}{\partial x} + w_y \frac{\partial t}{\partial y} + w_z \frac{\partial t}{\partial z} \quad (2.26)$$

Ecuația (2.26) reprezintă ecuația diferențială a distribuției temperaturilor în fluide în mișcare.

În cazul unor medii imobile, termenii ce conțin viteza, din ecuația (2.26) se anulează și ecuația (2.26) se reduce la forma :

$$\Delta p_p = \Delta p_{fr} + \Delta p_{r.l.}, \text{ N/m}^2 \quad (1.92)$$

unde :

p_p este pierderea totală de presiune ;

p_{fr} - pierderea de presiune datorată rezistențelor de frecare ;

$p_{r.l.}$ - pierderea de presiune datorată rezistențelor locale.

Simbolul Δ sugerează surplusul de energie cheltuită din exterior pentru a compensa pierderile.

Ambii termeni din dreapta ecuației (1.92) se exprimă ca părți din presiunea dinamică (v. și ec. 1.74.a) :

$$\Delta p_{fr} = \xi \cdot \Delta p_d \quad (1.93)$$

$$p_{r.l.} = \Delta p_d \cdot \sum_{i=1}^n \xi_i \quad (1.94)$$

În relația (1.93) ξ se numește coeficient de rezistență prin frecare. Pentru porțiunile drepte ale traseului de conducte sau canale ξ se calculează cu relația :

$$\xi = f(Re) \cdot \frac{l}{d_0} \quad (1.95)$$

unde : l este lungimea porțiunilor drepte ale traseului, m ;

d_0 - diametrul echivalent, m ;

Funcția $f(Re)$ este notată cu λ și se numește coeficient de frecare. Pentru conducte sau canale netede λ se calculează în funcție de Reynolds cu ajutorul unor relații stabilite empiric.

De exemplu, pentru curgerea izotermă staționară :

$$\lambda = \frac{64}{Re}, \text{ pentru } Re < 2320 ; \quad (1.96)$$

și

$$\lambda = \frac{0,3164}{Re^{0,25}}, \text{ pentru } 3 \cdot 10^3 < Re < 1 \cdot 10^5 \quad (1.97)$$

Pentru conducte a căror perete prezintă neregularități λ depinde atât de Reynolds cât și de starea suprafeței peretelui, caracterizată prin rugozitatea relativă ξ :

1.3.8.2. Curgerea unui fluid printr-un strat granular sau printr-un strat de umplutură

În multe operații fluidul străbate un strat format din bulgări, granule, pulberi sau, un strat constituit din corpuri de umplere, numit strat de umplutură. Un astfel de proces de curgere are loc de exemplu la trecerea gazului prin stratul de bulgări la arderea calcarului, trecerea unui fluid printr-un strat de catalizator, trecerea prin straturi filtrante sau prin straturi de schimbători de ioni etc. Divizarea materialului în formă de bulgări sau de bucăți de forme geometrice regulate se face cu scopul măririi suprafeței de contact între fluid și solid ; suprafața de contact mare asigură productivitatea mare a aparatului.

Umpluturi sau corpuri de umplere

O bună umplutură trebuie să satisfacă următoarele condiții:

- să aibă suprafață specifică mare ;
- porozitatea sau fracția de goluri să fie mare ;
- să opună rezistență mică la trecerea fluidului prin strat ;
- să aibă rezistență mecanică și chimică mare ;
- să fie ieftină și ușor de procurat.

După forma lor, materialele din care se constituie straturile sînt de trei categorii :

- materiale de formă neregulată ;
- corpuri de umplere sau umpluturi de formă geometrică definită ;

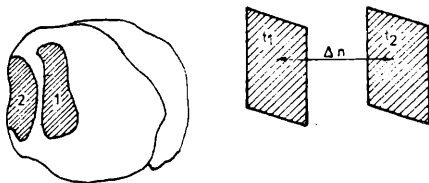


Fig. 2.1.

Suprafețe izoterme : 1 - suprafață închisă ;
2 - suprafață deschisă.

Gradientul de temperatură se definește ca limita raportului dintre diferența temperaturilor a două suprafețe izoterme, Δt și distanța normală, Δn dintre aceste suprafețe (fig. 2.1.) când $\Delta n \rightarrow 0$. Deci :

$$\text{grad. } t = \lim_{\Delta n \rightarrow 0} \frac{\Delta t}{\Delta n} = \frac{dt}{dn} \quad (2.1)$$

Gradientul de temperatură se exprimă deci printr-o diferență de temperatură pe unitatea de lungime. El exprimă intensitatea cu care se realizează transferul de căldură.

Transferul de căldură prin conductivitate termică se face în direcția normalei la suprafețele izoterme și în sensul scăderii temperaturii.

Legea Fourier. Descrie transferul de căldură prin conductivitate și a fost dedusă printr-un raționament empiric. Conform acestei legi, fluxul de căldură transferat prin conductivitate termică este proporțional cu aria suprafeței și cu gradientul de temperatură :

$$Q = -\lambda \cdot A \frac{dt}{dn} \quad \left[\frac{J}{s} \right] \equiv W \quad (2.2)$$

în care : A este suprafața de transfer de căldură în m^2 ,

$$Re = \frac{w_0 \cdot d_e \cdot \rho_f}{\eta_f} = \frac{4 \cdot w_f \cdot \rho_f}{\eta_f \cdot \sigma} \quad (1.123)$$

În relația (1.123) w_f este viteza fictivă a gazului, ρ_f și η_f sînt densitatea respectiv viscozitatea dinamică a fluidului iar σ este suprafața specifică a umpluturii.

Pierderea de presiune la curgerea gazului prin umplătură uscată se calculează cu relația :

$$\Delta P_p = \lambda \cdot \frac{H_u}{d_e} \cdot \frac{w_0^2}{2} \rho_f, \text{ N/m}^2 \quad (1.124)$$

în care diametrul echivalent, d_e și viteza reală w_0 se înlocuiesc cu expresiile lor din relațiile (1.121) și (1.122).

Coefficientul de frecare λ se calculează cu aceleași relații ca la stratul fix. Delimitarea regimului de curgere se face de asemenea ca la stratul fix.

Pierderea de presiune prin umplutura udă va fi mai mare deoarecepe lângă învingerea frecării dintre gaz și lichid o parte din energie se consumă pentru antrenarea parțială a lichidului în sensul curgerii :

$$\Delta P_{pud.} = \Delta P_p \cdot k \quad (1.125)$$

Coefficientul k ținea seama de creșterea rezistenței la curgerea gazului prin umplutura udă și are valoarea cuprinsă între 1 și 3.

1.3.8.2.4. C u r g e r e a î n j u r u l u n u i c o r p . C u r g e r e a e x t e r n ă

În cadrul acestui tip de curgere pot surveni următoarele situații :

- se deplasează corpul iar fluidul stă în nemiscare

un timp ζ . Calculul timpului ζ se face pe baza următoarelor considerații :

- debitul de lichid după timpul ζ este :

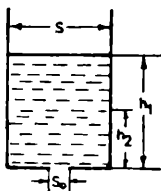


Fig. 1.19.

Elemente pentru calculul timpului de golire a unui rezervor.

$V_s = V/\zeta$ unde V este volumul de lichid care se mai află în rezervor ; sub formă diferențială se poate scrie : $dV = V_s \cdot d\zeta$ iar $dV = -S \cdot dh$ unde S este secțiunea rezervorului. Ținând cont și de ecuația (1.79) se poate scrie :

$-S \cdot dh = \alpha S_0 \sqrt{2g} \cdot h^{1/2} \cdot d\zeta$, care după separarea variabilelor se aduce la forma :

$$\int_0^{\zeta} d\zeta = - \frac{S}{\alpha S_0 \sqrt{2g}} \int_{h_1}^{h_2} h^{-1/2} \cdot dh \quad (1.80)$$

cu care se poate calcula durata de golire a rezervorului, cînd $h_2 = 0$:

$$\zeta = \frac{2 S \sqrt{h_1}}{\alpha \cdot S_0 \cdot \sqrt{2g}} \quad (1.81)$$

1.3.7. Similitudine și analiză dimensională

Nu totdeauna se poate stabili ecuația diferențială sau sistemul de ecuații diferențiale care descriu un proces fizic și, uneori chiar cînd sînt cunoscute ecuațiile diferențiale, acestea nu pot fi integrate prin metode matematice obișnuite.

În astfel de situații, ^{pentru} stabilirea ecuațiilor analitice de calcul a proceselor fizice se recurge la metode semiempirice bazate pe teoria similitudinii și pe analiza dimensională.

ecuația criterială :

$$Eu = C \cdot Re^m \cdot Fr^n \cdot \left(\frac{l_1}{l}\right)^o \dots \left(\frac{l_n}{l}\right)^q \quad (1.91)$$

Constanta C și exponenții criteriilor trebuie determinați experimental. Pentru un anumit proces concret unele criterii pot să nu aibă influență ; pentru acele criterii exponentul are valoarea zero și ecuația criterială capătă o formă mai simplă.

1.3.8. Procese de curgere

1.3.8.1. Curgerea prin conducte și canale. Rezistențe în curgere

După cum s-a văzut în oricare din formele ecuației Bernoulli apare un termen care se referă la pierderi. Acest termen ține seama de rezistențele care se opun deplasării (curgerii fluidului). În cazul curgerii prin conducte sau canale se deosebesc trei feluri de rezistențe :

- rezistențe de frecare ;
- rezistențe locale ;
- rezistențe de inerție.

Rezistențele de frecare sînt efectul atît a forțelor de frecare între straturile de fluid, numite forțe de frecare internă, cît și a forțelor de frecare între fluid și pereții conductei, numite forțe de adeziune.

Rezistențele locale sînt cauzate de obstacolele situate pe traseul prin care curge fluidul, cum ar fi : coturi, teuri, ventile, îngustări sau lărgiri ale secțiunii de curgere etc. În fig. 1.20 sînt date cîteva tipuri de rezistențe locale.

$Re < 40$ - curgere laminară ;

$Re > 40$ - curgere turbulentă.

Diametrul aparatului în care se introduce stratul de material se calculează cu ecuația debitului volumic de fluid :

$$D = \sqrt{\frac{4 \cdot \dot{V}_s}{\pi \cdot w_f}} , \text{ m} \quad (1.111)$$

unde w_f este viteza fictivă a fluidului, m/s.

1.3.8.2.2. F l u i d i z a r e a

Un contact pe o suprafață mare și mereu reînnoită între fluid și solid se realizează atunci când particulele solide dintr-un strat sînt aduse în starea de fluidizare. În figura 1.25 se dă schița de principiu a unui aparat în care se realizează stratul fluidizat. Materialul solid dispersat în granule este alimentat continuu sau discontinuu într-o coloană ; în

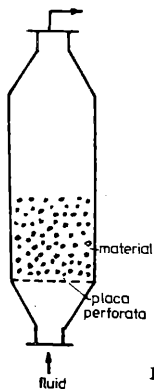


Fig. 1.25.

Principiul fluidizării.

coloană materialul se sprijină pe o placă perforată sau pe o sită metalică. Agentul de fluidizare (un gaz sau chiar un lichid) este adus pe la partea inferioară a coloanei și se distribuie prin orificiile plăcii sau sitei. La viteze mici fluidul curge prin spațiul liber dintre granulele stratului care se menține fix. Mărinând viteza,

2.2.2. Transferul de căldură prin convecție

În masa unui fluid, transferul de căldură se realizează simultan prin conductivitate termică și convecție liberă sau forțată. Ponderea unuia sau a altuia din aceste mecanisme depinde de modul în care este încălzit fluidul și de sensul și intensitatea curenților care apar în interiorul său.

Spre exemplu, dacă într-un cilindru cu apă se introduce o bucată de gheață (care avînd densitatea mai mică, plutește la suprafața apei) și se încălzește la partea inferioară, gheața se topește repede, în această situație convecția liberă (naturală) are o pondere importantă în transmiterea căldurii - curenții calzi din apropierea locului de încălzire a cilindrului urcă spre partea superioară și transmit căldura gheții. Dacă gheața este ținută pe fundul cilindrului și încălzirea se face la partea superioară, gheața se topește mult mai încet, deoarece participarea convecției libere la transferul de căldură este neglijabilă, și căldura se transmite de la partea superioară a cilindrului, aproape numai prin conductivitate termică. Dacă în această din urmă situație, apa din cilindru se agită se formează curenți de convecție forțată și gheața se topește cel mai repede.

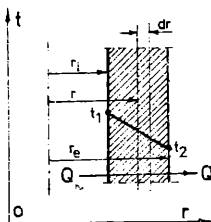


Fig. 2.5.

Modelul fizic la transmiterea
căldurii prin pereți cilindrici.

astfel :

$$Q = - \lambda 2\pi r \cdot l \frac{dt}{dr} \quad (2.13)$$

Separînd variabilele în ecuația (2.13) și integrînd se obține :

$$Q = \frac{2\pi l(t_1 - t_2)}{\frac{1}{\lambda} \ln \frac{r_e}{r_i}} \quad (2.14)$$

Pentru pereți cilindrici
formați din mai multe straturi, căldura transmisă prin
conductivitate se calculează

cu relația :

$$Q = \frac{2\pi l(t_1 - t_2)}{\sum_{i=1}^n \frac{1}{\lambda_i} \ln \frac{r_{ext,i}}{r_{int,i}}} \quad (2.15)$$

în care $r_{ext,1}$ este raza exterioară a stratului 1, iar $r_{int,i}$ este raza interioară a stratului i; cu n s-a notat numărul straturilor.

Relația de calcul a fluxului de căldură transmisă prin pereți plani poate fi folosită și pentru căldura transmisă prin pereți cilindrici, dacă este îndeplinită condiția $d_e/d_i \leq 2$. Eroarea care se face prin utilizarea ecuației pentru pereți plani în locul celei pentru pereți cilindrici este de 4 %. La aparatele cilindrice și țevile utilizate frecvent în construcția aparatelor de transfer de căldură, de obicei, condiția $d_e/d_i \leq 2$ este îndeplinită.

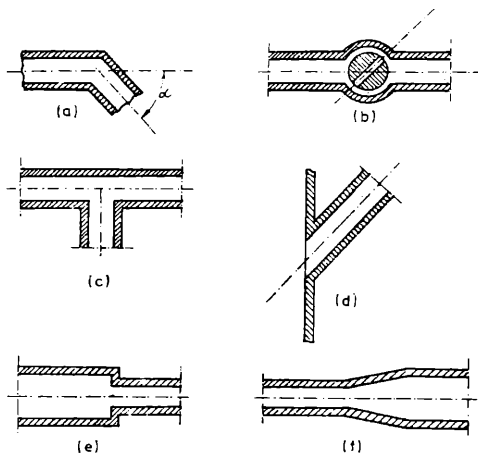


Fig. 1.20.

Tipuri de rezistențe locale : a - cot ; b - robinet cu cep ; c - teu ; d - racord ; e - îngustare de secțiune ; f - lărgire de secțiune.

Rezistențele de inerție sînt efectul curgerii neregulate a fluidului ; ele se manifestă, de exemplu, la curgerea prin conductele de aspirație și de refulare ale pompelor cu piston, al căror debit este pulsatoriu. În general, rezistențele de inerție au pondere importantă la viteze mari de curgere și nu vor fi luate în considerare la vitezele uzuale de curgere prin conducte sau canale.

Rezistențele în curgere duc la scăderea vitezei fluidului, respectiv a energiei sale cinetice. Deoarece energia cinetică calculată pentru masa unității de volum de fluid este echivalentă dimensional cu o presiune, s-a convenit să se calculeze rezistențele în curgere în termeni de presiune :

- grătare.

Materialele de formă neregulată folosite ca umpluturi sînt : bucăți de coas, de cărămidă, pietriș, talaș, surcele de lemn etc. Aceste materiale sînt ieftine, ușor de procurat și au rezistență mecanică și chimică bună. Mărimea lor neregulată duce însă la rezistențe mari la curgerea fluidului și chiar la infundări ale spațiului de curgere. Acest dezavantaj este parțial înlăturat prin sortarea prealabilă a materialelor.

Corpurile de umplere de formă geometrică definită sau umpluturile propriu-zise sînt cele mai răspîndite. Ele se execută din materiale ceramice sau din oțel. În figura 1.23 sînt prezentate umpluturile cele mai utilizate în practica industrială. Umpluturile pot fi așezate în aparat regulat, bucată cu bucată sau neregulat (turnate pur și simplu). Așezarea regulată are avantajul că evită formarea unor canale neuniforme de curgere și opune o rezistență mai mică la curgerea fluidului. Cînd

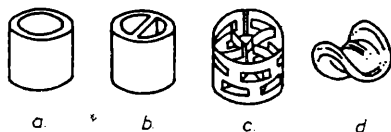


Fig. 1.23.

Tipuri de umpluturi : a. - inel Raschig ; b. - inel Lessing ; c. - inel Pall ; d. - șea Berl.

$$\sigma = \frac{P_o \times H}{V}, \text{ m}^2/\text{m}^3 \quad (1.107)$$

în relația (1.107) P_o este perimetrul mediu al tuturor particulelor dintr-un metru cub de strat.

Uneori suprafața specifică se exprimă în raport cu unitatea de masă și se dă în m^2/Kg .

Diametrul echivalent d_e se exprimă pe baza relațiilor (1.30) și (1.31) :

$$d_e = \frac{4 \cdot S_o}{P_o} = \frac{4 \cdot S_o \times H/V}{P_o \times H/V} = 4 \frac{\varepsilon}{\sigma}, \text{ m} \quad (1.108)$$

Regimul de curgere a fluidului prin stratul de particule se calculează pe baza relației :

$$Re = \frac{w_o \cdot d_e \cdot \rho_f}{\eta_f} \quad (1.109)$$

în care : ρ_f este densitatea fluidului, Kg/m^3 ;

η_f - viscozitatea dinamică a fluidului, Ns/m^2 ;

w_o - viteza reală, m/s ;

d_e - diametrul echivalent, m .

Pierderea de presiune la curgerea fluidului prin strat se calculează cu mai multe relații empirice dintre care cea mai simplă este sub forma :

$$\Delta p_p = \lambda \cdot \frac{H}{d_e} \cdot \frac{w_f^2}{2} \cdot \rho_f \cdot \varepsilon, \text{ N}/\text{m}^2 \quad (1.110)$$

unde λ este coeficientul de frecare calculat funcție de regimul de curgere a fluidului prin strat :

$$\lambda = \frac{140}{Re} \quad \text{pentru curgerea laminară ;}$$

$$\lambda = \frac{16}{Re^{0.2}} \quad \text{pentru curgerea turbulentă.}$$

Delimitarea regimului de curgere a fluidului prin strat se face astfel :

$n \cdot s/m^2$;

g - accelerația gravitațională, m/s^2 ;

d_p - diametrul particulei, m .

Pentru un strat polidispers (care conține particule sferice de diametre diferite) se calculează diametrul echivalent cu relația :

$$d_e = \frac{1}{\sum_{i=1}^n \frac{x_i}{d_i}} \quad (1.115)$$

în care n este numărul de fracții granulometrice ;

d_i - dimensiunea medie a sitei, adică media între dimensiunile ochiurilor a două site consecutive pentru fracția i ;

x_i - conținutul în părți de masă a fracției i .

Viteza de fluidizare w se calculează în funcție de viteza critică și un factor de fluidizare $k \sim 1,7$:

$$w = w_{cr} \cdot k, \quad m/s \quad (1.116)$$

Viteza reală w_r a gazului prin stratul fluidizat se calculează ținând cont de porozitatea stratului fluidizat ξ :

$$w_r = \frac{w}{\xi}, \quad m/s \quad (1.117)$$

Porozitatea stratului fluidizat se calculează funcție de criteriile Reynolds și Arhimedea :

$$\xi = \left(\frac{18 Re + 0,36 Re^2}{Ar} \right)^{0,21} \quad (1.118)$$

Înălțimea h a stratului fluidizat se calculează cu relația aproximativă :

$$h = \frac{1 - \xi_0}{1 - \xi} h_0 \quad (1.119)$$

în care ξ_0 este porozitatea stratului fix ;

h_0 - înălțimea stratului fix ;

așezarea se face neregulat se umple mai întâi aparatul cu apă și apoi se toarnă umplutura pentru a se atenua șocurile mecanice în cădere și a evita spargerea umpluturii. În aparat, umplutura este susținută pe un suport în forma unei plăci perforate sau a unui grătar din metal sau alt material rezistent, mecanic și chimic.

Umplutura din grătare constă din mai multe grătare din lemn, oțel, materiale ceramice, care se suprapun pînă la înălțimea calculată. Grătarele au avantajul că produc o pierdere de presiune mică la curgerea fluidului, se montează și se demontează ușor.

1.3.8.2.1. Relații caracteristice stratului și curgerii
fluidului prin strat

În figura 1.24 este reprezentat schematic un aparat de tip coloană cu diametrul interior D , în care se află un strat de înălțime H . Fluidul (în general gaze sau vapori), curge

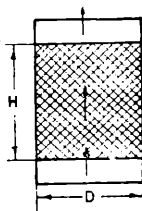


Fig. 1.24.

Coloană cu strat fix
străbătut de un fluid.

$$\frac{Q}{A} \cdot \frac{\delta_3}{\lambda_3} = t_{23} - t_2$$

Adunând aceste relații, membru cu membru, se obține:

$$\frac{Q}{A} \left(\frac{\delta_1}{\lambda_1} + \frac{\delta_2}{\lambda_2} + \frac{\delta_3}{\lambda_3} \right) = t_1 - t_2, \text{ de unde :}$$

$$Q = \frac{1}{\frac{\delta_1}{\lambda_1} + \frac{\delta_2}{\lambda_2} + \frac{\delta_3}{\lambda_3}} \cdot A(t_1 - t_2) \quad (2.11)$$

În relația (2.11) fiecare raport δ_i/λ_i poartă denumirea de rezistență termică specifică la transferul căldurii prin conductivitate și are dimensiunile $m^2 \cdot \text{grad/W}$.

$$R_1 = \frac{\delta_1}{\lambda_1} \quad \text{iar} \quad R_t = \sum_{i=1}^n \frac{\delta_i}{\lambda_i}$$

este rezistența termică totală.

Inversa rezistenței termice totale reprezintă coeficientul de transfer de căldură.

Pentru un perete plan format din n straturi, căldura care se transferă prin conductivitate termică în regim staționar se calculează cu relația :

$$Q = \frac{A(t_1 - t_2)}{\sum_{i=1}^n \frac{\delta_i}{\lambda_i}} \quad W \quad (2.12)$$

2.2.1.3. Căldura transferată prin conductivitate termică, în regim staționar prin pereți cilindrici

În cazul peretelui cilindric, cele două suprafețe între care se face schimbul de căldură prin conductivitate, nu mai sînt egale, ci depind de rază. Modelul fizic pentru această situație este prezentat în fig. 2.5. Legea Fourier se scrie

2.2.1.2. Căldura transferată prin conductivitate
termică în regim staționar prin pereți
plani - paraleli

Printr-un perete plan a cărui lungime și lățime sînt mult mai mari în comparație cu grosimea sa, transferul de căldură se face unidimensional, perpendicular pe fețele lui. Ecuația (2.6) se reduce în acest caz la forma :

$$\frac{d^2 t}{dx^2} = 0 \quad (2.7)$$

Ecuația (2.7) se integrează de două ori, obținîndu-se :

$$t = C_1 \cdot x + C_2 \quad (2.8)$$

Constantele de integrare se determină din condițiile limită :

$$\begin{aligned} & - \text{pentru } x = 0 ; t = t_1 \text{ și deci } C_2 = t_1 \\ & - \text{pentru } x = \delta ; t = t_2 \text{ și deci } C_1 = \frac{t_2 - t_1}{\delta} \end{aligned}$$

Introducînd valoarea constantelor C_1 și C_2 în ecuația (2.8) se obține :

$$t = \frac{t_2 - t_1}{\delta} x + t_1 \quad (2.9)$$

În cazul în care t_1 și t_2 sînt constante, relația (2.9) este ecuația unei drepte (fig. 2.3). Cantitatea de căldură transferată în unitatea de timp prin conductivitate termică se calculează din legea Fourier:

$$Q = -\lambda A \cdot \frac{dt}{dx}$$

în care gradientul de temperatură se obține prin derivarea în raport cu x a ecuației (2.9) :

$$\frac{dt}{dx} = \frac{t_2 - t_1}{\delta} \quad \text{și deci :}$$

$$Q = -\lambda A \frac{t_2 - t_1}{\delta} \quad \text{sau :}$$

$$Q = \frac{\lambda}{\delta} A (t_1 - t_2) \quad \text{W} \quad (2.10)$$

Ecuatia (4.8) reprezintă relația de calcul a fluxului de căldură transferată prin conductivitate termică printr-un perete cu fețe plane.

În cazul pereților formați din mai multe straturi paralele (fig. 2.4), prin care se transferă căldură prin conductivitate termică în regim staționar se poate scrie :

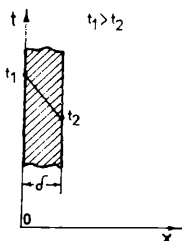


Fig. 2.3.

Modelul fizic la transmiterea căldurii prin pereți plani - paraleli.

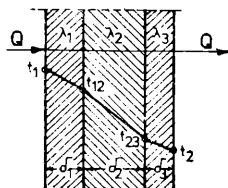


Fig. 2.4.

Modelul fizic la transmiterea căldurii prin pereți plani formați din mai multe straturi.

$$Q = \frac{\lambda_1}{\delta_1} A (t_1 - t_{12})$$

$$Q = \frac{\lambda_2}{\delta_2} A (t_{12} - t_{23})$$

$$Q = \frac{\lambda_3}{\delta_3} A (t_{23} - t_2) \quad \text{sau :}$$

$$\frac{Q}{A} \cdot \frac{\delta_1}{\lambda_1} = t_1 - t_{12}$$

$$\frac{Q}{A} \cdot \frac{\delta_2}{\lambda_2} = t_{12} - t_{23}$$

cum este cazul deplasării navelor pe o mare liniștită ;

- se deplasează fluidul iar corpul stă pe loc (curgerea apei în jurul pilonilor unui pod) ;

- se deplasează atât corpul cât și fluidul dar cu viteze diferite. Acesta este cazul cel mai general.

În figura 1.28 sînt reprezentate liniile de curent ale fluidului, în jurul unui corp scufundat în interiorul său. Se

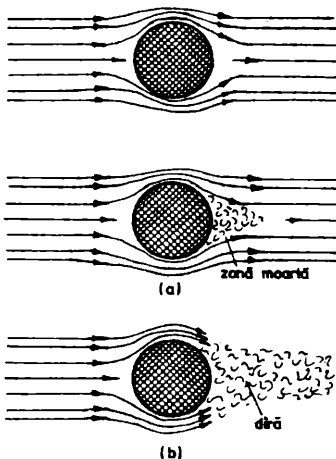


Fig. 1.28.

Liniile de curent la curgerea în jurul unui corp.

observă că liniile de curent înconjoară corpul, densitatea lor fiind maximă în jurul acestuia. La viteze mari în spatele corpului se formează o așa-zisă zonă moartă în care traiectoriile

Pentru ca grupul π_1 să fie adimensional este necesar ca exponentul unităților fundamentale pentru lungime și pentru timp să fie nuli :

$$\begin{aligned}x_1 + x_2 + 2 x_3 &= 0 \\- 2 x_1 &= 0\end{aligned}$$

Sistemul de două ecuații cu trei necunoscute admite o infinitate de soluții, una din ele (cea mai simplă) se află dînd unaia dintre necunoscute valoarea unu, de exemplu $x_3 = 1$. Soluția sistemului este acum :

$$\begin{aligned}x_1 &= 0 \\x_2 &= - 2 \\x_3 &= 1\end{aligned}$$

Grupul π_1 se scrie acum :

$$\pi_1 = h^{-2} \cdot S_0.$$

În mod asemănător se găsește :

$$\pi_2 = \frac{V_s}{h^2 \sqrt{g \cdot h}}$$

Se scrie funcția (1.83) cu expresiile grupurilor adimensionale :

$$f_2\left(\frac{S_0}{h^2}, \frac{V_s}{h^2 \sqrt{g \cdot h}}\right) = 0,$$

și se explicitează în raport cu grupul adimensional care conține mărimea ce trebuie calculată :

$$\frac{V_s}{h^2 \sqrt{g \cdot h}} = C \cdot \left(\frac{S_0}{h^2}\right)^x \quad (1.84)$$

La acest rezultat se opresc posibilitățile analizei adimensionale. Valoarea constantei C și a exponentului x din ecuația (1.84) se determină experimental. În exemplul discutat, dacă lichidul este apă, s-a aflat prin experimentare :

$$\begin{aligned}x &= 1 \\C &= \alpha \cdot \sqrt{2}\end{aligned}$$

Capitolul 2. TRANSFERUL DE CĂLDURĂ

2.1. CONSIDERAȚII GENERALE

În urma studiului termodinamic și cinetic se stabilesc parametrii de lucru care trebuie menținuți în reactoarele industriale (modul de contactare a reactanților, regimul hidrodinamic, presiunea, temperatura, compoziția etc.), astfel încît să fie asigurată obținerea produselor finite în cantitatea și puritatea impusă, la un preț de cost cît mai scăzut. Aducerea reactanților la parametri prestabiliți se face fie în reactor, cînd acest lucru este posibil, fie în afara reactorului, în aparate numite, după operația fizică respectivă, încălzitoare, răcitoare, amestecătoare, compresoare, utilaje de purificare etc.

În acest capitol se prezintă mecanismul și viteza proceselor de transfer de căldură a căror rezultat este schimbarea (creșterea sau scăderea) temperaturilor reactanților.

2.2.1.1. Ecuația diferențială a distribuției
temperaturilor într-un mediu imobil
Ecuația Fourier

Pentru a calcula efectiv, cu ecuația (2.2), fluxul de căldură ce se transferă prin conductivitate termică trebuie să se cunoască expresia gradientului de temperatură, adică derivata funcției $t = f(x, y, z, \tau)$ în raport cu coordonata care indică direcția după care se face transferul.

Forma funcției $t = f(x, y, z, \tau)$ se află prin integrarea ecuației diferențiale a distribuției temperaturilor într-un mediu imobil. Această ecuație diferențială reprezintă bilanțul de energie termică pentru un volum elementar, delimitat dintr-un mediu imobil prin care căldura se transferă prin conductivitate termică (fig. 2.2).

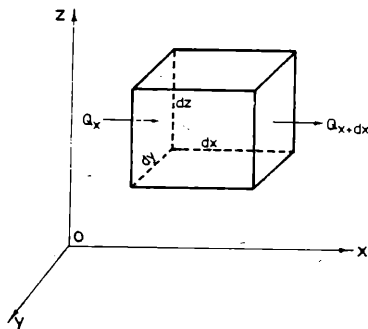


Fig. 2.2.

Elementul de volum pentru deducerea ecuației lui
Fourier.

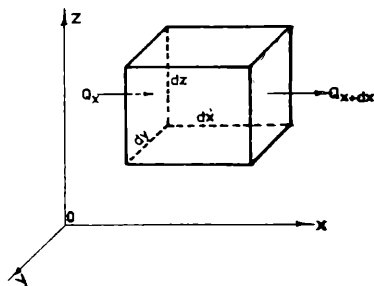


Fig. 2.6.

Elementul de volum pentru deducerea ecuației
Fourier - Kirchhoff

Căldura acumulată pe direcția axei x este :

$$dQ_x = Q_x - Q_{x+dx} = \left[- \frac{\partial(\rho \cdot w_x \cdot c_p \cdot t)}{\partial x} + \lambda \frac{\partial^2 t}{\partial x^2} \right] \cdot dV \cdot d\tau \quad (2.18)$$

Similar se găsește pentru căldura acumulată pe direcția axei
 y și z :

$$dQ_y = \left[- \frac{\partial(\rho \cdot w_y \cdot c_p \cdot t)}{\partial y} + \frac{\partial^2 t}{\partial y^2} \right] \cdot dV \cdot d\tau \quad (2.19)$$

$$dQ_z = \left[- \frac{\partial(\rho \cdot w_z \cdot c_p \cdot t)}{\partial z} + \frac{\partial^2 t}{\partial z^2} \right] \cdot dV \cdot d\tau \quad (2.20)$$

Acumularea totală : $dQ = dQ_x + dQ_y + dQ_z$:

$$dQ = \left\{ - \left[\frac{\partial(\rho \cdot w_x \cdot c_p \cdot t)}{\partial x} + \frac{\partial(\rho \cdot w_y \cdot c_p \cdot t)}{\partial y} + \frac{\partial(\rho \cdot w_z \cdot c_p \cdot t)}{\partial z} \right] + \lambda \cdot \left(\frac{\partial^2 t}{\partial x^2} + \frac{\partial^2 t}{\partial y^2} + \frac{\partial^2 t}{\partial z^2} \right) \right\} dV \cdot d\tau \quad (2.21)$$

Pe de altă parte căldura acumulată în elementul de volum duce
la variația căldurii sensibile a acestuia :

$$l_e = \frac{2 \pi \cdot R \cdot \alpha}{360}, \text{ m} \quad (1.100)$$

iar coeficientul de rezistență locală al cotului se poate exprima sub forma :

$$\zeta_{\text{cot}} = \lambda \cdot \frac{l_e}{d_e} \quad (1.101)$$

unde :

d_e - diametrul echivalent, considerat ca și pentru conducta dreaptă ;

l_e - lungimea echivalentă a cotului, m ;

λ - coeficientul de frecare calculat ca și pentru conducta dreaptă.

Cînd se utilizează lungimile echivalente tuturor rezistențelor locale ecuația (1.99) devine :

$$\Delta p_p = \frac{\lambda}{d_e} \cdot \left[l + \sum_{i=1}^n (l_e)_i \right] \cdot \Delta p_d \quad (1.102)$$

În cazul curgerii neizoterme a fluidelor, vîscozitatea și, respectiv, numărul Re variază. În această situație valorile coeficientului de frecare λ , calculate funcție de numărul Re trebuie corectate cu factori care țin cont de influența variației temperaturii.

$$Re = \frac{w \cdot d_p \cdot \rho_f}{\eta_f} \quad (1.127)$$

în care w este viteza relativă a corpului față de fluid,

m/s ; ρ_f - densitatea fluidului, Kg/m^3 ;

η_f - viscozitatea dinamică a fluidului, $N.s/m^2$;

d_p - diametrul corpului sau al particulei, m ; pentru particule a căror formă se abate de la forma sferică se folosește așa-numitul diametru mediu de volum d_v , care este diametrul unei sfere al cărei volum este egal cu volumul particulei V_p :

$$d_v = \sqrt[3]{\frac{6}{\pi} \cdot V_p} = 1,25 \sqrt[3]{V_p} \quad (1.128)$$

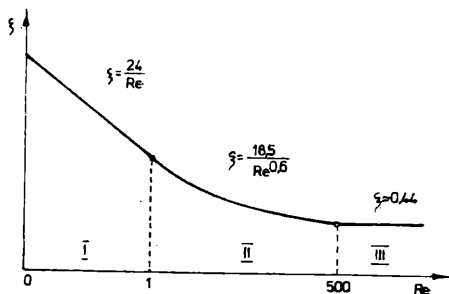


Fig. 1.29.

Dependența coeficientului de rezistență de numărul Reynolds.

În ecuația (2.71) q reprezintă solicitarea termică a peretelui definită ca fiind cantitatea de căldură ce se transmite în unitatea de suprafață de schimb de căldură.

Într-un lichid încălzit se observă următoarele fenomene când temperatura suprafeței încălzite crește progresiv. Atâta timp cât temperatura suprafeței încălzite, t_p este mai mică decât temperatura de fierbere a lichidului t_f , lichidul se încălzește și se evaporă fără să fiarbă. Când temperatura suprafeței încălzitoare t_p este mai mare decât temperatura de fierbere, t_f , lichidul începe să fiarbă, intensitatea fierberii fiind cu atât mai mare cu cât $\Delta t = t_p - t_f$ este mai mare.

Intensitatea fierberii crește pînă la atingerea unui maxim când între suprafața încălzită și lichid apare un film de vaporii, ca rezultat al unirii bulelor de vaporii ce se formează într-un număr foarte mare pe suprafața încălzită. Acest film de vaporii are conductivitatea termică relativ mică, fapt care determină scăderea intensității fierberii. Dacă temperatura suprafeței încălzite continuă să crească, grosimea filmului de vaporii crește și intensitatea fierberii scade foarte mult, deoarece lichidul este încălzit prin intermediul stratului de vaporii. Se poate vorbi, așadar, de o situație critică la care valoarea lui α este maximă, notată cu α_c . În această situație $q = q_c$ și $\Delta t = \Delta t_c$, așa cum se poate observa și în fig. (2.11).

Pentru valori ale lui $\Delta t < \Delta t_c$, între perete și lichid, bulele formate sînt dispersate în lichid fără a forma un film continuu și fierberea se numește cu bule. Pentru $\Delta t > \Delta t_c$, α scade datorită formării filmului de vaporii prin unirea bulelor. Aceasta este fierberea în film (peliculară).

Factorii care influențează fierberea. Cei mai importanți factori care influențează intensitatea fierberii sînt :

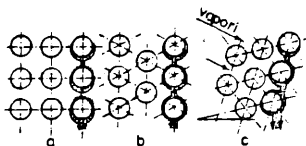


Fig. 2.14.

Aranjamente ale fasciculuului de țevi
orizontale : a-țevi nedecalate ;
b-țevi decalate ; c-țevi dispuse
după Ginabert.

Valoarea lui α în acest
caz este mai mare și
datorită faptului că va-
porii pătrund între țevi
pe direcția în care gro-
simea filmului este mi-
nimă.

Factorii care influențează coeficientul individual
de transfer de căldură la vaporii în condensare

1. Viteza, direcția și turbulența curentului de vaporii
influențează mult valoarea coeficientului individual de transfer
de căldură ; la viteze a vaporilor de peste 10 m/s, pelicula
de condensat este antrenată în curgere cu o viteză mai mare și
prin aceasta își micșorează grosimea și deci rezistența ter-
mică. Aceasta este valabil în cazul când vaporii și pelicula
curg în același sens, altfel curgerea vaporilor frânează curge-
rea filmului de condensat, grosimea acestuia crește și deci
crește și rezistența lui termică.

2. Starea suprafeței de condensare. Asperitățile, stratul
de rugină sau alte depuneri măresc grosimea filmului și pot
micșora valoarea lui α cu până la 30 %. Pe lângă aceasta, de-
punerile constituite ele însele rezistențe termice importante
care trebuie evitate.

3. Gazele necondensabile, în special aerul, care se află
aproape totdeauna în vaporii se acumulează în spațiul de circu-
lație a vaporilor dacă nu sînt evacuate (continuu sau periodic).
Prezența lor micșorează mult valoarea coeficientului individual
de transfer de căldură, α .

curentului de difuzie N_a prin ambele faze :

$$N_a []_g = k_g (C_{a []_g} - C_{a []_{g,i}}) \quad (3.15)$$

$$N_a []_l = k_l (C_{a []_{l,i}} - C_{a []_l}) \quad (3.16)$$

În figura 3.1 este reprezentat modelul fizic al transferului componentului a din faza gazoasă în faza lichidă. Linia

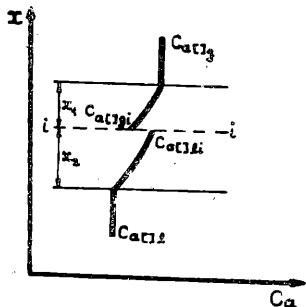


Fig. 3.1.

Variația concentrației componentului a în cele două faze.

În aceste straturi : în stratul limită gazos, de grosime x_1 , concentrația scade în urma transferului de la valoarea $C_{a []_g}$, în volumul fazei gazoase, la valoarea $C_{a []_{g,i}}$ la interfața de partea fazei gazoase ; în stratul limită de lichid, de grosime x_2 , concentrația componentului solubil a scade de la

$C_{a []_{l,i}}$, cât este la interfață, la valoarea $C_{a []_l}$, cât este volumul lichidului. Variația concentrației în cele două straturi limită se produce ca urmare a transferului componentului a prin difuzie. Dacă se consideră regimul de transfer staționar, atunci $N_a []_g = N_a []_l = N_a$ și cele două ecuații de transfer (3.15) și (3.16) se pot combina în vederea calculării fluxului de component a care se transferă dintr-o fază în alta. Pentru a le

punctată 1-1 reprezintă limita de separare dintre cele două faze sau interfața.

Prin punerea în contact a celor două faze se presupune că de o parte și de alta a interfeței se formează câte un strat limită în care este concentrată rezistența la transferul de masă și, drept urmare, concentrația compo-

nentului a variază numai în

Dacă numărul fazelor este $f=2$ (cazul frecvent în transferul de masă) și, de exemplu, $n = 2$ atunci din relația (3.1) se obține : $g = 2$. În concordanță cu aceasta echilibrul sistemului este determinat de doi parametri care pot fi variați independent. Funcția de stare a unui astfel de sistem va fi :

$$f(P, t, x, y) = 0 \quad (3.2)$$

unde : P este presiunea totală în sistem ;

t - temperatura ;

x, y - concentrația în fracții molare a unuia din componenți în cele două faze (prin x se va nota concentrația în faza lichidă iar prin y în faza gazoasă sau în vapori).

Corelarea celor doi parametri independenți pentru starea de echilibru se face sub forma unor relații analitice numite relații de echilibru sau sub forma unor construcții grafice numite diagrame de echilibru. Exemple de astfel de diagrame pot fi :

- diagrama $p-x$, când $t = \text{const.}$, numită izoterma de echilibru ;

- diagrama $t-x$ când $P = \text{const.}$, numită izobara de echilibru ;

- diagrama $y-x$, când $t = \text{const.}$; $P = \text{const.}$, numită diagrama compozițiilor la echilibru.

Legea lui Henry. Se referă la echilibrul în sistemele ideale lichid - gaz. Sînt considerate ideale acele sisteme în care nu se manifestă interacțiuni între speciile moleculare ale sistemului. Se presupune existența a două faze, gazoasă și lichidă, în care se află distribuiți toți componenții (toate speciile moleculare) care alcătuiesc sistemul. Conform legii lui Henry presiunea de vapori a unui component i din faza lichidă este direct proporțională cu fracția sa molară în lichid:

$$p_i = H x_i \quad (3.3)$$

În această relație d este diametrul exterior al țevii, iar celelalte mărimi au aceeași semnificație ca și în relația (2.77).

O situație foarte des întâlnită în practica industrială este condensarea pe un fascicul de țevi orizontale. Când sînt dispuse mai multe rînduri de țevi pe aceeași verticală, coeficientul individual de transfer de căldură, α , scade, deoarece cu cît o țeavă se găsește pe un rînd mai inferior, cu atît stratul de condensat care curge de pe țevile superioare este mai gros (și deci rezistența termică este mai mare).

În acest caz se calculează un coeficient de transfer mediu :

$$\alpha_n = \alpha_c \cdot \sqrt[4]{n} \quad (2.79)$$

în care α_c se referă la o singură țeavă orizontală, iar n este numărul de țevi situate pe aceeași verticală.

O altă metodă pentru determinarea coeficientului individual de transfer de căldură la condensarea pe țevi orizontale, bazată pe rezultate experimentale, este folosirea diagramei din figura (2.13). În figura (2.14) sînt cîteva posibilități de dispunere a țevilor într-un fascicul.

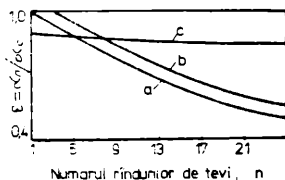


Fig. 2.13.

Coeficientul pentru : a.-țevi dispuse nedecalat; b.-țevi decalate; c.-țevi dispuse după Ginabert.

Așa cum se observă în fig. 2.13, cel mai avantajos este aranjamentul Ginabert, în care țevile sînt astfel dispuse încît condensatul de pe țevile superioare cade aproximativ tangențial la țeava inferioară și prin urmare, țeava inferioară este acoperită în cea mai

mare parte numai de condensatul format chiar pe această țeavă.

căldură, este variabilă de-a lungul suprafeței de transfer de căldură. De exemplu la curgerea apei printr-o conductă încălzită din exterior, temperatura apei crește de la o valoare pe care o are la intrarea în conductă, t_{21} , la o valoare t_{22} , la ieșirea din țevă (fig. 2.15).



Fig. 2.15.

Variația temperaturilor la încălzirea apei într-o țevă în regim staționar.

($\rho, c_p, \gamma, \lambda, w, t \dots$). Prin urmare temperatura apei variază continuu de la intrarea la ieșirea din țevă, dar în condițiile regimului staționar într-o secțiune 1 sau 2 a țevii, temperatura este constantă în timp, adică : $t_1 \neq t_1''$ dar $dt_1/d\tau = 0$ și $dt_2''/d\tau = 0$. Evident că țeava poate fi încălzită în exterior cu un alt fluid mai cald. Dacă acesta din urmă nu își modifică starea de agregare, temperatura acestuia se va modifica și ea de-a lungul suprafeței de schimb de căldură (fig. 2.17).

Cu alte cuvinte în cazurile practice cele mai frecvente, forța motoare a procesului de transfer de căldură nu mai rămâne constantă în lungul suprafeței de transfer de căldură, și în acest caz trebuie calculată o valoare medie a potențialului transferului termic.

Stabilirea expresiei matematice pentru calculul forței motoare medii, este legată de cunoașterea modului de circulație a celor două fluide prin aparat.

Regimul termic staționar, trebuie înțeles în același sens în care a fost definit regimul staționar în hidrodinamică, adică : $du/d\tau = 0$, unde u reprezintă o mărime fizică sau un parametru implicat în proces

picături în diferite puncte ale acestora (condensare în picături).

Condensarea în picături se produce pe suprafețe impurificate cu substanțe care fac ca lichidul rezultat prin condensare să nu ude suprafața (uleiuri, grăsimi etc.).

Condensarea peliculară se realizează pe suprafețe curate și cînd condensatul provenit din vaporii uide suprafața respectivă.

La viteze mari a vaporilor condensarea este totdeauna peliculară, deoarece picăturile formate sînt antrenate de curentul de vaporii și se întind pe suprafața formînd o peliculă continuă.

Coeficientul individual de transmitere a căldurii de la vaporii la suprafața mai rece este mai mare la condensarea în picături decît la cea peliculară, totuși în aparatele industriale condensarea este totdeauna peliculară, datorită vitezei mari a vaporilor, determinată de productivitatea mare a utilajului. Viteza mare a vaporilor prin aparatele industriale face ca grosimea filmului de condensat să scadă și prin aceasta scade și rezistența termică a filmului.

Ecuații de calcul a coeficientului individual de transfer de căldură la vaporii în condensare

Pentru determinarea ecuațiilor de calcul ale coeficientului individual de transfer de căldură, Nusselt a pornit de la următorul model fizic :

Se consideră condensarea peliculară a vaporilor saturați pe o suprafață verticală. Pelicula de condens este un film descendent (gravitațional). Se consideră egalitatea fluxului de căldură transferat prin film cu fluxul de căldură latentă de condensare.

gazos, lichid sau chiar solid. El se exprimă în $\frac{m}{s}$,² depinde de presiune, temperatură și natura componentilor. Coeficientul de difuziune moleculară se determină experimental sau se calculează cu relații semiempirice.

Difuziunea turbulentă

Un component se poate deplasa dintr-un punct în altul în interiorul unui amestec și cu ajutorul turbidănelor sau vorturilor care apar în mișcarea turbulentă. Deși nu este un proces de difuziune propriu-zis, totuși această deplasare, prin analogie cu difuziunea moleculară, s-a numit difuziune turbulentă. Debitul molar specific transferat prin difuziune turbulentă se exprimă tot prin legea lui Fick în care se utilizează, în locul coeficientului D_{ab} de difuziune moleculară, un coeficient D_t de difuziune turbulentă :

$$N_{at} = - D_t \frac{dc_a}{dx} + y_a(N_a + N_b) \quad (3.11)$$

Debitul molar specific, transferat prin cele două mecanisme de difuziune se exprimă prin relația :

$$N_a = - D_e \frac{dc_a}{dx} + y_a(N_a + N_b) \quad (3.12)$$

în care $D_e = D_{ab} + D_t$ se numește coeficient efectiv de difuziune.

Difuziunea convectivă

Acest caz reprezintă procesul complex în care migrarea, deplasarea, unui component în interiorul unui fluid se produce, pe lângă difuziunea moleculară sau turbulentă, și prin deplasarea cu viteze diferite în sensul curgerii a unor porțiuni macroscopice de fluid. Pe intervalul de timp cât două astfel de porțiuni rămân în contact, se produce difuziunea moleculară. Trebuie subliniat că difuziunea convectivă este însoțită totdeauna

$$Gr = \frac{K \cdot l^3}{\gamma^2} \cdot \beta \cdot \Delta t \quad (2.53)$$

Acest criteriu devine important numai în cazul convecției libere, când mișcarea fluidului este determinată de diferența de densitate, cauzată la rândul ei de o diferență de temperatură care apare în masa fluidului.

În concluzie funcția criterială a proceselor de transfer termic va putea fi scrisă cel mai general sub forma :

$$f(Nu, Fo, Pr, Gr, Re, l_1/l_0, \dots, l_n/l_0) = 0 \quad (2.54)$$

Pentru regimul staționar funcția criterială este de forma :

$$f(Nu, Pr, Gr, Re, l_1/l_0 \dots l_n/l_0) = 0 \quad (2.55)$$

Funcția criterială se poate explicita în raport cu criteriul Nusselt, obținându-se o dependență de celelalte criterii de forma generală :

$$Nu = C \cdot \xi \cdot Re^m \cdot Pr^n \cdot Gr^p \cdot (Pr/Pr_p)^q \quad (2.56)$$

În ecuația (2.56), ξ înlocuiește criteriile geometrice, fiind tabelat în literatură pentru diferite valori ale rapoartelor l_n/l_0 . Raportul Pr/Pr_p caracterizează variația proprietăților fizice în stratul limită. Pr_p se calculează cu aceeași relație ca și Pr doar că proprietățile fizice ale fluidului trebuie considerate la temperatura peretelui.

Ecuația (2.56) servește pentru calculul criteriului Nu , din care apoi se calculează coeficientul individual de transfer de căldură, α , folosit apoi în relația de calcul a coeficientului global de transfer termic, K .

Ecuația (2.56), valabilă pentru întreaga clasă de procese de transfer de căldură prin convecție, are forme particulare pentru diferitele moduri de transmitere a căldurii prin convecție. În literatura de specialitate clasa de procese termice este subîmpărțită după următoarea schemă :

3.1.1. Relații de echilibru în transferul de masă

Echilibrul de fază. Procesele de transfer de masă au loc după cum s-a menționat în sistem polifazic. Acesta constituie un sistem închis și izolat format din f faze și n componente distribuite în toate cele f faze. Pentru tratarea echilibrului de fază se consideră că în sistem nu au loc transformări prin reacție chimică. Între faze pot avea loc transferuri de căldură de energie mecanică și de masă sau de substanță. Fazele constitutive ale sistemului sînt considerate așadar, una în raport cu alta ca sisteme deschise. Dacă sistemul în ansamblu este în echilibru atunci transferurile între faze au un caracter reversibil (se realizează un echilibru dinamic). Pentru a fi îndeplinită această cerință se impun anumite condiții parametrilor de stare ai fazelor coexistente, respectiv presiunii, temperaturii și compoziției.

Numărul parametrilor independenți (sau a gradelor de libertate) a căror valoare poate fi aleasă arbitrar pentru ca starea sistemului să fie determinată se află din regula fazelor dată de Willard Gibbs în 1876. Forma generală a regulii fazelor este :

$$f + g = n + 2 \quad (3.1)$$

în care : f este numărul fazelor sistemului ;

n - numărul total al componentelor ;

g - numărul factorilor externi care pot acționa asupra sistemului (presiunea și temperatura);

f - numărul parametrilor independenți sau numărul gradelor de libertate.

Coeeficientul de proporționalitate H din relația (3.3) poartă numele de constanta lui Henry și depinde de natura componentului. La starea de echilibru între faze presiunea de vapori a componentului i devine egală cu presiunea parțială a aceluiași component în faza gazoasă. Aceasta din urmă poate fi exprimată prin una din legile lui Dalton sub forma :

$$P_i = P \cdot y_i \quad (3.4)$$

unde P este presiunea totală în sistem, iar y_i - fracția molară a componentului i în faza gazoasă.

Din combinarea legii Henry exprimată prin relația (3.3) cu relația (3.4) se obține relația între concentrațiile componentului i în cele două faze la echilibru :

$$y_i = \frac{H}{P} x_i \quad (3.5)$$

Legea lui Henry se aplică și la sistemele reale pentru concentrații mici a componentilor dizolvați în lichid.

Legea lui Raoult. Se referă la echilibrul în sistemele ideale lichid - vapori. Conform acestei legi presiunea de vapori a unui component i din lichid este direct proporțională cu fracția sa molară în lichid :

$$P_i = P_i^* \cdot x_i \quad (3.6)$$

Coeeficientul de proporționalitate P_i^* reprezintă presiunea de vapori a componentului i pur, considerată la temperatura amestecului.

Dacă vaporii în echilibru cu faza lichidă pot fi asimilați cu un gaz perfect se poate combina relația (3.4) cu (3.6) și se obține :

$$y_i = \frac{P_i^*}{P} x_i \quad (3.7)$$

care este relația între concentrațiile componentului i în faza vapori și în faza lichidă, la echilibru.

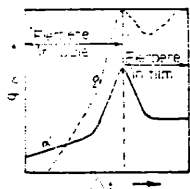


Fig. 2.11.

Variația lui α și q în funcție de Δt la fierberea lichidelor.

De asemenea, coeficientul individual de transfer de căldură, α . Crustele (depuneri de reziduuri solide de săruri insolubile, rugină etc.), filmele de grăsimi și uleiuri scad foarte mult valoarea lui α . Pentru a diminua depunerile se evită impurificarea lichidelor în fierbere sau se introduc dispozitive de agitare care, pe lângă faptul că distrug filmul de vapori, care se poate forma între masa de lichid și perete, mențin în suspensie substanțele solide insolubile, împiedicând astfel depunerea lor pe pereții vasului în care are loc fierberea lichidului.

c) Presiunea influențează asupra lui α în sensul că valoarea acestuia scade în general cu creșterea presiunii. Dar odată cu creșterea presiunii crește și temperatura de fierbere și, prin aceasta, crește viteza unor transformări calitative ale substanțelor supuse fierberii; (fierberea alimentelor, de exemplu, se face mai repede în vase acoperite).

În general, ecuațiile criteriale, care descriu fierberea, au forme diferite, funcție de domeniul de solicitare termică, în care are loc fierberea, funcție de presiune etc.

a) Natura lichidului influențează, prin proprietățile sale, coeficientul individual de transfer de căldură la fierbere, α . În general pentru fierberea lichidelor organice și pentru soluțiile apoase de săruri

$$\alpha < \alpha_{\text{apă}}$$

b) Natura, rugozitatea și starea de curățenie a suprafeței de încălzire influențează,

2.2.2.3. Similitudine termică. Ecuații criteriale
pentru calculul coeficienților indivi-
duali de transfer termic

Calculul coeficientului global de transfer de căldură implică cunoașterea coeficienților individuali de transfer α_1 și α_2 . Determinarea acestora este partea cea mai dificilă din teoria procesului de transfer de căldură. Dificultatea constă în stabilirea unor relații care să țină seama de multitudinea factorilor de care depind aceștia.

Prin metodele matematice obișnuite nu s-a ajuns, pînă în prezent, la relații analitice generale cu care să se poată calcula coeficienții individuali de transfer de căldură într-un caz dat. Pe de altă parte nu este posibil nici să se recurgă la determinări experimentale pentru fiecare caz în parte.

Singura soluție este găsirea unor metode de corelare cu ajutorul cărora să se generalizeze rezultatele experimentale. Teoria similitudinii și analiza dimensională constituie astfel de metode. În cele ce urmează ne vom referi la metoda similitudinii care se va aplica transferului de căldură în aceeași manieră în care s-a aplicat la curgerea fluidelor.

Sistemul de ecuații diferențiale care descrie matematic procesul de transfer de căldură prin convecție și conductivitate este format din :

1) Ecuația diferențială a distribuției temperaturilor în fluide în mișcare (Ecuația Fourier - Kirchhoff) ;

$$\frac{\partial t}{\partial \tau} + v_x \frac{\partial t}{\partial x} + v_y \frac{\partial t}{\partial y} + v_z \frac{\partial t}{\partial z} = a \cdot \left(\frac{\partial^2 t}{\partial x^2} + \frac{\partial^2 t}{\partial y^2} + \frac{\partial^2 t}{\partial z^2} \right) \quad (2.41)$$

C_1, C_2 - constante ; $C_1 = 3,68 \cdot 10^{-16} \text{ W/m}^2$;

$C_2 = 1,44 \cdot 10^{-2} \text{ m} \cdot ^\circ\text{K}$.

Reprezentînd grafic dependența $E_{0\lambda} - \lambda$ (fig. 2.23), pentru

diferite temperaturi, se observă că intensitatea de radiație a corpului absolut negru crește cu λ , atinge un maxim și apoi scade tinzînd asimptotic la zero pentru $\lambda \rightarrow \infty$

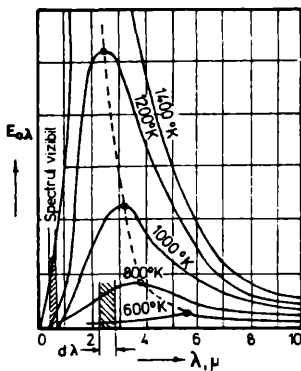


Fig. 2.23.

Distribuția energiei radiante funcție de lungimea de undă și de temperatură.

Se observă, de asemenea, că odată cu creșterea temperaturii corpului, maximum intensității de radiație se deplasează spre valori mai mari de lungimi de undă.

2) Legea lui Wien

Se formulează astfel :

locul geometric al punctelor de maxim a intensității de radiație este o curbă (linia punctată în fig. 2.23) care satisface ecuația :

$$\lambda_{\max} \cdot T = 2,9 \cdot 10^{-3} \text{ m} \cdot ^\circ\text{K} \quad (2.101)$$

3) Legea Stefan - Boltzmann

Stefan și Boltzmann au rezolvat integrala din relația (2.99) folosind forma funcției $E_{0\lambda}$, propusă de Planck (relația (2.100) :

$$E_0 = \int_0^{\infty} E_{0\lambda} d\lambda = \int_0^{\infty} \frac{C_1 \cdot \lambda^{-5} d\lambda}{e^{\frac{C_2}{\lambda \cdot T}}} = K_0 T^4 \quad (2.102)$$

2.2.2.6. Transferul de căldură la contactul direct între fluide

În practică sînt cazuri cînd fluidele, avînd temperaturi diferite, sînt puse în contact direct și prin urmare se realizează un transfer de căldură între ele. Acest transfer este condiționat în primul rînd de intensitatea de amestecare a celor doua fluide. Datorită complexității procesului de transfer, în acest caz, nu există relații de calcul pentru coeficientul individual de transfer de căldură, stabilite pe considerente teoretice. Relațiile întîlnite în literatură sînt stabilite experimental și prin urmare au o valabilitate limitată.

2.2.2.7. forța motoare medie a transferului de căldură în regim staționar

La stabilirea ecuației de calcul a debitului de căldură transferat de la fluidul mai cald (1) la fluidul mai rece (2), prin intermediul unor pereți plani sau cilindrici, temperaturile celor două fluide (t_1 și t_2) au fost considerate constante în lungul suprafeței de transfer. Aceasta înseamnă că forța motoare a procesului era considerată constantă.

În cazurile practice această situație este întîlnită mai rar, de exemplu la fierberea unui lichid cu ajutorul căldurii cedate de vapori saturați în condensare (situație întîlnită la evaporare, la fierbătoarele din blazul coloanelor de distilare etc.). De regulă, cel puțin temperatura unuia din fluidele care circulă prin utilajul în care are loc schimbul de

Pentru sistemele reale care se abat mult de la idealitate în relația (3.6) presiunea de vapori p_i se calculează ținând cont de coeficientul de activitate γ_i :

$$p_i = P_i \cdot \gamma_i \cdot x_i \quad (3.8)$$

Legea lui Raoult are aplicații pentru calculul echilibrului în procesul de distilare.

3.2. MECANISMUL PROCESELOR DE TRANSFER DE MASA.

DIFUZIUNEA

Difuziunea este fenomenul de interpătrundere, de migrare a moleculelor. Dacă fenomenul de interpătrundere este datorat agitației termice a moleculelor, difuziunea se numește moleculară; dacă interpătrunderea este datorată deplasării porțiunilor macroscopice (sau curenților) de fluid, difuziunea se numește convectivă.

Difuziunea moleculară

Se consideră un gaz oarecare constituit dintr-o singură specie de molecule. Acestea se află într-o continuă mișcare după direcții și cu viteze diferite și, drept urmare, se ciocnesc unele de altele. Efectul numărului mare de ciocniri între molecule nu este altul decât deplasarea acestora după o direcție anumită cât, mai ales modificarea continuă a poziției lor. Prin aceasta se explică amestecarea continuă dar lentă a moleculelor gazului. Dacă însă, în cazul considerat, într-un punct în interiorul gazului temperatura, presiunea sau concentrația (numărul de molecule pe unitatea de volum) este mai mare poate apărea, ca urmare a mișcării moleculare descrise, un transfer rezultat.

te, Q_D , difuzează (trece prin corp); așa cum este cazul prezentat schematic în figura 2.21 și deci :

$$Q_0 = Q_A + Q_R + Q_D \quad (2.94)$$

În figura 2.21, n este normala la suprafața corpului.

Împărțind ecuația (2.94) prin

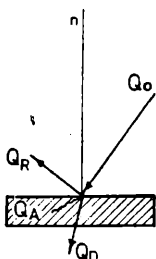
Q_0 se obține :

$$\frac{Q_A}{Q_0} + \frac{Q_R}{Q_0} + \frac{Q_D}{Q_0} = 1 \quad (2.95)$$

Raportul $Q_A/Q_0 = A$, reprezintă puterea de absorbție a corpului, raportul $Q_R/Q_0 = R$, reprezintă puterea de reflexie a corpului iar raportul $Q_D/Q_0 = D$ este puterea de penetrație a corpului.

Cu aceste notații se poate

Fig. 2.21.



Caldura absorbită, reflectată scrie :
și difuzată de un corp.

$$A + R + D = 1 \quad (2.96)$$

Dupa valorile mărimilor A , R și D , corpurile se impart în :

1. corpuri absolut negre : $A = 1$; $R = D = 0$;
2. corpuri absolut albe : $R = 1$; $A = D = 0$;
3. corpuri absolut penetrante (transparente) $D = 1$;
 $A = R = 0$;
4. corpuri cenușii (reale).

Cu precizările de mai sus, se poate defini puterea efectivă de emisie E_{ef} și anume, dacă se consideră două corpuri cu temperaturile T_1 și T_2 ($T_1 > T_2$), corpul (1) are puterea de emisie proprie, E_1 pe care o emite constant spre corpul (2); la rândul lui corpul (2), emite constant spre corpul (1) energia E_2 , din care o parte ($E_2 A_1$) este absorbită de corpul (1) iar cealaltă parte $E_2(1-A_1)$ este reflectată înapoi spre corpul (2).

și ținând cont de relația (2.105) rezultă că :

$$A_1 = \frac{C_1}{C_0} = \varepsilon_1$$

sau prin generalizare :

$$A = \xi \quad (2.107)$$

Cu alte cuvinte puterea de absorbție a unui corp este egală ca valoare cu gradul său de negru.

5) Legea lui Lambert. Prin aplicarea acestei legi se determină valoarea energiei radiante emise de o suprafață după o direcție dată și raportul dintre energia radiată după normală și radiația totală a suprafeței. Pentru formularea acestei legi se considera un element de suprafață, da_1 , din suprafața corpului mai cald și un element da_2 , din suprafața corpului mai rece, care face parte dintr-o suprafață sferică cu centrul în centrul suprafeței A_1 (fig. 2.24).

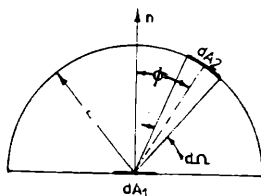


Fig. 2.24.

Modelul fizic pentru prezentarea legii lui Lambert.

Modelul fizic pentru prezentarea legii lui Lambert. Căldura transmisă prin radiație de la da_1 la da_2 este dată de ecuația :

$$dQ_\phi = dQ_n \cdot d\Omega \cdot \cos \phi \quad (2.108)$$

Ecuația (2.108) este formula-rea matematică a legii lui Lambert care se enunță astfel: căldura radiată de un element de suprafață da_1 către un element de suprafață da_2 este egală cu căldura dQ_n ,

radiată după normala la elementul radiant (da_1), înmulțită cu unghiul solid, $d\Omega$, și cu cosinusul unghiului plan ϕ , dintre normală și linia care unește centrele suprafețelor da_1 și da_2 .

Integrarea ecuației diferențiale (2.108) conduce la soluția:

Acest transfer se realizează spontan de la punctele în care concentrația este mai mare în punctele cu concentrație mai mică și continuă pînă la egalizarea concentrației în întreg volumul de gaz. Transferul spontan se produce, după cum s-a menționat, și datorită diferenței de presiune sau de temperatură dar în continuare va fi luat în considerare numai transferul cauzat de o diferență de concentrație.

Transferul de masă sau de substanță se produce prin difuziune moleculară chiar dacă gazul este constituit din specii moleculare diferite.

3.3. LEGEA LUI FICK. COEFICIENTUL DE DIFUZIUNE

Legea lui Fick definește viteza cu care se face transferul de substanță prin difuzie moleculară într-o singură fază și a fost stabilită prin următorul raționament empiric :
Dacă două gaze, unul format din specia moleculară a și celălalt din specia moleculară b, sînt puse în contact ele formează un amestec (o soluție gazoasă) prin difuzia reciprocă a celor două specii moleculare. Variația concentrației componentului a pe distanța x în direcția în care se face transferul componentului a este dată de următoarea relație :

$$- \frac{dC_a}{dx} = \beta \cdot C_a \cdot C_b (v_a - v_b) \quad (3.9)$$

în care : C_a și C_b reprezintă concentrațiile componentilor a și b în soluția gazoasă, moli/m³ ;

β - un coeficient caracteristic sistemului ;

x - distanța pe care se produce transferul componentului a , m ;

exprimat în sistemul internațional în : $[\alpha]_{SI} = W/m^2 \cdot grad.$

Coefficientul individual este o funcție complexă de factorii menționați anterior :

$$\alpha = f(c_p, \rho, \lambda, \gamma, w, l_0, l_1)$$

în care c_p este căldura specifică a fluidului, ρ este densitatea fluidului, λ este conductivitatea termică a fluidului, γ este viscozitatea dinamică a fluidului, w este viteza fluidului, iar l_0, l_1 sînt mărimi geometrice caracterizînd geometria curgerii.

Ecuația procesului global de transmitere a căldurii de la fluidul mai cald (1), prin intermediul peretelui solid, la fluidul mai rece (2) se obține pornind de la condiția ca în regim staționar debitul de căldură transmis de la fluidul cald la peretele despărțitor, prin convecție, este egal cu debitul de căldură care se transmite prin peretele solid prin conductivitate și egal cu debitul de căldură care se transmite de la perete la fluidul mai rece, prin convecție. Dacă temperatura fluidelor rămîne constantă de o parte și de alta a peretelui despărțitor se poate scrie pentru :

- Căldura transmisă, prin convecție, de la primul fluid la perete :

$$Q = \alpha_1 A (t_1 - t_{p1}) \quad (2.31)$$

- Căldura transmisă, prin conductivitate, prin peretele despărțitor :

$$Q = \frac{A(t_{p1} - t_{p2})}{\frac{\delta}{\lambda}} \quad (2.32)$$

- Căldura transmisă, prin convecție, de la perete la al doilea fluid.

$$Q = \alpha_2 A (t_{p2} - t_2) \quad (2.33)$$

Ecuația (2.102) este cunoscută sub numele de legea lui Stefan - Boltzmann, după care:puterea de emisie a corpului absolut negru depinde numai de temperatură, fiind proporțională cu puterea a patra a temperaturii absolute. In relația (2.102), K_0 este constanta de radiație a corpului absolut negru și are valoarea : $K_0 = 5,72 \cdot 10^{-8} \text{ W/m}^2(^{\circ}\text{K})^4$.

Ecuația (2.102) poate fi retranscrisă în forma :

$$E_0 = C_0 \left(\frac{T}{100} \right)^4 \quad (2.103)$$

în care C_0 se numește coeficientul de radiație a corpului absolut negru și are valoarea : $C_0 = 5,72 \text{ W/m}^2(^{\circ}\text{K})^4$.

Relația (2.103) a fost extinsă de Stefan și pentru corpurile cenușii (reale) :

$$E = C \left(\frac{T}{100} \right)^4 \quad (2.104)$$

în care C reprezintă coeficientul de radiație a corpului cenușiu. Din raportul relațiilor (2.104) și (2.103) se obține:

$$\frac{E}{E_0} = \frac{C}{C_0} = \xi \quad (2.105)$$

în care ξ definește gradul de negru al corpului. Valorile gradului de negru ξ sînt cuprinse între 0 și 1.

4) Legea lui Kirchhoff, stabilește legătura între puterea de emisie și puterea de absorbție a unui corp. Conform acestei legi raportul între puterea de emisie și puterea de absorbție a unui corp este constant și egal (pentru toate corpurile) cu puterea de emisie a corpului absolut negru :

$$\frac{E_1}{A_1} = \frac{E_2}{A_2} = \dots = \frac{E_0}{A_0} = E_0 \quad (\text{pentru corpul absolut negru } A_0 = 1) \quad (2.106)$$

Aplicînd regula proporțiilor în relația (2.106) se obține :

$$\frac{E_1}{E_0} = \frac{A_1}{A_0}$$

$$Nu = 0,018 \cdot \xi_\ell \cdot Re^{0,8} \quad (2.62)$$

f) Transmiterea căldurii prin convecție la curgerea fluidului perpendicular pe un fascicul de țevi.

Criteriul Nusselt pentru transferul de căldură la curgerea fluidului perpendicular pe un fascicul de țevi așezate nedecalat, pentru rândul al treilea și următoarele, este dat de relația :

$$Nu = 0,23 \cdot \xi_\varphi \cdot Re^{0,65} \cdot Pr^{0,33} \cdot (Pr/Pr_p)^{0,25} \quad (2.63)$$

La curgerea perpendiculară pe un fascicul de țevi așezate decalat, pentru rândul al treilea și următoarele, ecuația de calcul a lui Nusselt are forma :

$$Nu = 0,41 \cdot \xi_\varphi \cdot Re^{0,6} \cdot Pr^{0,33} \cdot (Pr/Pr_p)^{0,25} \quad (2.64)$$

În relațiile (2.63) și (2.64), ca dimensiune geometrică determinantă se ia diametrul exterior al țevelor ; viteza fluidului,

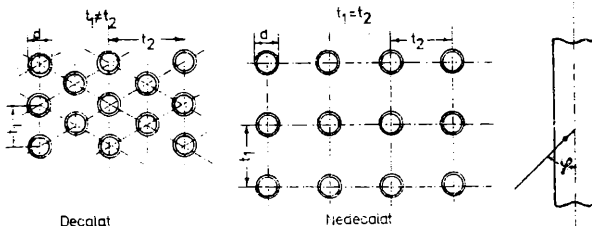


Fig. 2.9.

Dispunerea țevelor într-un fascicul.

necesară în criteriul Reynolds, se calculează pentru secțiunea cea mai îngustă a fasciculului. φ este unghiul de atac, iar ξ_φ este un parametru care arată influența unghiului de atac, valorile lui fiind tabelate funcție de φ . Fig. 2.9. prezintă modul de dispunere a țevelor într-un fascicul cu țevi așezate decalat

2.2.2.5. Transferul de căldură prin convecție cu schimbarea stării de agregare

2.2.2.5.1. Fierberea lichidelor

Cînd procesul de transmitere a căldurii este însoțit de schimbarea stării de agregare a fluidului, stabilirea relațiilor de calcul pentru coeficientul individual de transfer de căldură, α , este mult mai dificilă. Un lichid monocomponent (format dintr-o singură substanță) fierbe teoretic la o temperatură constantă, t_s , numită temperatură de saturație, determinată de natura substanței și presiunea la care are loc fierberea. Experimental s-a dovedit însă că temperatura reală de fierbere, t_f , este ceva mai mare decît temperatura de saturație și diferența dintre ele depinde de condițiile în care se face fierberea, pentru apă $(t_f - t_s) = 0,6^\circ - 0,8^\circ\text{C}$.

Cînd grosimea stratului de lichid în fierbere nu este prea mare, temperatura t_f se menține constantă în cea mai mare parte a volumului de lichid și crește repede în stratul din vecinătatea suprafeței de încălzire (fig. 2.10).

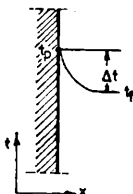


Fig. 2.10.

Variația temperaturii în vecinătatea suprafeței de încălzire.

Coeficientul parțial de transmitere a căldurii de la perete la lichidul în fierbere, este definit tot cu ajutorul ecuației lui Newton :

$$Q = \alpha \cdot A (t_p - t_f) = \alpha \cdot A \cdot \Delta t \quad (2.70)$$

care explicitată în raport cu devine:

$$\alpha = \frac{Q}{A(t_{p1} - t_f)} = \frac{q}{\Delta t} \left[\frac{\text{W}}{\text{m}^2 \cdot \text{grad.}} \right] \quad (2.71)$$

U_a, U_b - vitezele lineare de deplasare a moleculelor de a și b, m/s.

Pentru modificarea relației (3.9) se fac următoarele observații :

a) concentrația totală C , a soluției gazoase rămâne constantă respectiv : $C = C_a + C_b$;

b) produsul între concentrația totală C și fracția molară a componentului a este egal cu concentrația C_a :
 $C \cdot y_a = C_a$. Similar : $C \cdot y_b = C_b$ sau $C \cdot (1 - y_a) = C_b$. De asemenea rezultă că $C \cdot dy_a = dC_a$;

c) produsul $C_a \cdot U_a = N_a$ și $C_b \cdot U_b = N_b$, unde N_a și N_b reprezintă debitele molare ale component a și b raportate la unitatea de suprafață pe care se face transferul.

Pe baza observațiilor a, b și c relația (3.9) se modifică astfel :

$$\begin{aligned} - \frac{dC_a}{dx} &= \beta [C_b \cdot N_a - C_a \cdot N_b] = \beta [C(1 - y_a) \cdot N_a - C \cdot y_a \cdot N_b] = \\ &= \beta \cdot C [N_a - y_a(N_a + N_b)] \end{aligned}$$

Din ultima egalitate rezultă :

$$N_a = - \frac{1}{\beta \cdot C} \cdot \frac{dC_a}{dx} + y_a(N_a + N_b)$$

sau, notînd : $(1/\beta \cdot C) = D_{ab}$:

$$N_a = - D_{ab} \cdot \frac{dC_a}{dx} + y_a(N_a + N_b) \quad (3.10)$$

Ecuția (3.10) poartă numele de legea a I-a a lui Fick. Semnul

(-) arată că transferul spontan prin difuziune moleculară se realizează în sensul scăderii concentrației. Raportul

dC_a / dx reprezintă gradientul de concentrație a componentului a.

D_{ab} poartă denumirea de coeficient de difuziune a componentului a în b. Cu sens fizic, coeficientul de difuziune moleculară exprimă capacitatea de migrare a unui component într-un mediu

2) Ecuația transmiterii căldurii prin conductivitate termică (Legea Fourier)

$$dQ = -\lambda \cdot A \cdot \frac{dt}{dx} \quad (2.42)$$

3) Ecuația transmiterii căldurii prin convecție (Ecuația lui Newton)

$$dQ = \alpha \cdot A \cdot \Delta t \quad (2.43)$$

Acesteor ecuații diferențiale li se mai adaugă ecuațiile diferențiale care descriu curgerea fluidului. Curgerea fluidelor este un factor important care influențează transferul de căldură, fapt evidențiat de aceea că în funcțiile criteriale ale transferului de căldură sînt prezente și criterii hidrodinamice (dintre care criteriul Reynolds este determinant).

Din ecuațiile (2.42) și (2.43), aplicînd metoda similitudinii, se obține un criteriu important al transferului de căldură, și anume criteriul Nusselt.

$$\lambda \frac{\Delta t}{\Delta l} = \alpha \cdot \Delta t \text{ sau } \alpha_{\lambda} \frac{a_t}{a_l} \implies \frac{\alpha l}{\lambda} = \text{idem} = Nu \quad (2.44)$$

în care : α este coeficientul individual de transfer termic, λ este conductivitatea termică a fluidului iar l este dimensiunea geometrică determinantă pentru transferul de căldură.

Pentru interpretarea semnificației fizice a criteriului Nusselt ecuația (2.44) se transcrie în forma :

$$Nu = \frac{\alpha \cdot A \cdot \Delta t}{\frac{\lambda}{l} A \cdot \Delta t} \quad (2.44.a)$$

Din relația (2.44.a) se observă că acest criteriu exprimă raportul dintre cantitatea de căldură transmisă real prin convecție și cantitatea de căldură care s-ar transmite numai prin conductivitate termică.

Deoarece criteriul Nusselt conține pe α , el este un

$$Q = K A \cdot \Delta t_m \quad (2.91)$$

b) Circulația fluidelor în contracurent

La circulația în contracurent un fluid intră în aparat pe la un capăt iar celălalt fluid pe la capătul opus (fig. 2.17).

În această situație forța motoare medie se calculează tot cu media logaritmică a diferenței dintre temperaturile celor două fluide la capetele aparatului, ținând însă cont

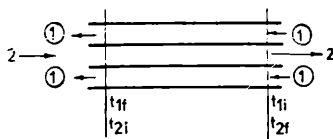


Fig. 2.17.

Circulația fluidelor în contracurent.

forța motoare medie se calculează cu aceeași relație cu care se calculează pentru contracurent care se corectează cu un factor de corecție f (dat în literatură sub formă de tabele sau diagrame)

$$\Delta t_m = \Delta t_{m_c} \cdot f \quad (2.92)$$

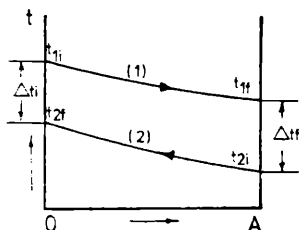


Fig. 2.18

Variația temperaturilor pe suprafața de transfer la circulația în contracurent a fluidelor.

că în acest caz :

$$\Delta t_i = t_{1i} - t_{2f} \text{ iar}$$

$$\Delta t_f = t_{1f} - t_{2i} \text{ (fig. 2.18).}$$

c) În cazul curentului mixt și încrucișat, prezentate în fig. (2.19),

forța motoare medie se

calculează cu aceeași relație cu care se calculează pentru

contracurent care se corectează cu un factor de corecție f

(dat în literatură sub formă de tabele sau diagrame)

d) În practică sînt frecvente cazurile cînd temperatura unuiu dintre fluide rămîne constantă pe suprafața de transfer de căldură (de exemplu încălzirea unui lichid cu vapori care condensează sau răcirea unui fluid cu un gaz lichefiat care se evaporă). Variația temperaturii celor două

$$Q_n = \frac{Q \phi}{\pi} \quad (2.109)$$

deci cantitatea de căldură emisă prin radiație după direcția normală la suprafața radiantă este de π ori mai mică decât cantitatea de căldură emisă prin radiație de toată suprafața.

2.2.3.3. Căldura transferată între corpuri prin radiație. Coeficientul individual de transmitere a căldurii prin radiație

Pe baza relației de definiție a puterii de emisie ($E = Q/A$) și a relației lui Stefan (ec. 2.104) se poate scrie, pentru două corpuri de temperatură T_1 și T_2 , ($T_1 > T_2$) care radiază căldură :

$$Q_1 = C_1 \left(\frac{T_1}{100} \right)^4 \cdot A_1 \quad (2.110)$$

$$Q_2 = C_2 \left(\frac{T_2}{100} \right)^4 \cdot A_2 \quad (2.111)$$

în care Q_1 este fluxul de căldură radiată de corpul (1) cu suprafața A_1 , iar Q_2 este fluxul de căldură radiată de corpul (2) cu suprafața A_2 ; C_1 și C_2 sînt coeficienții de radiație exprimați în $W/m^2(^{\circ}K)^4$.

Dacă cele două corpuri nu sînt prea depărtate atunci radiațiile emise de corpul (1) întîlnesc corpul (2) și invers. Dacă suprafața pe care se produce incidența radiațiilor se notează cu A , se va putea scrie pentru fluxul de căldură rezultat între cele două corpuri, relația :

$$Q = Q_1 - Q_2 = A \left[C_1 \left(\frac{T_1}{100} \right)^4 - C_2 \left(\frac{T_2}{100} \right)^4 \right] \quad (2.112)$$

Decarece în relația (2.112) suprafața de incidență, A , apare ca un parametru nedeterminat, aplicînd legea lui Lambert

corespunzătoare unor benzi de lungime de undă (spectru) caracteristice fiecărui gaz. Totodată la gaze radiația sau absorbția energiei se face în volum. Dintre gazele cu importanță tehnică, vaporii de apă, CO_2 , NH_3 , SO_2 , HCl , vaporii de alcool, hidrocarburile, absorb și emit radiații calorice în benzi caracteristice. He, H_2 , O_2 , N_2 etc., nu prezintă benzi importante de absorbție în infraroșu.

Capitolul 3. TRANSFER DE MASA

3.1. NOTIUNI FUNDAMENTALE

Procesele de transfer de masă se caracterizează prin transport de substanță. Acest transport se realizează de obicei dintr-o fază în alta, de aceea pentru procesele de transfer de masă este caracteristică prezența a cel puțin două faze.

Forța motoare a proceselor de transfer de masă se consideră diferența de concentrație, calculată pentru o concentrație dată și concentrația de echilibru.

Echilibrul sistemului polifazic este starea limită spre care evoluează acesta. La starea de echilibru există o egalitate a potențialelor componentilor distribuite între faze și nu o egalitate a concentrațiilor. În cazul particular când concentrațiile sînt exprimate prin presiuni parțiale se poate vorbi de o egalitate a acestora la starea de echilibru.

2.2.2.4. Transferul de căldură prin convecție fără schimbarea stării de agregare

2.2.2.4.1. C o n v e c ȋ i a f o r ȣ a ȣ ă

Pentru obținerea unor valori mari ale coeficienților individuali de transfer de căldură deplasarea fluidelor prin utilajele cu transfer se face forțat (pompare, agitare, comprimare etc.).

În cele ce urmează sînt prezentate cele mai importante situații întîlnite în calcule practice.

a) Transmiterea căldurii la curgerea puternic turbulentă prin țevi drepte ($Re > 10.000$).

În acest caz formula de calcul a criteriului Nusselt este dată de relația :

$$Nu = 0,021 \cdot \xi_l \cdot Re^{0,8} Pr^{0,43} (Pr/Pr_p)^{0,25} \quad (2.57)$$

Dimensiunea geometrică determinantă, necesară calculării criteriilor Nu și Re este diametrul echivalent ($l = d_{ech.}$) al secțiunii de curgere. Mărimile fizice ce apar în criteriile Re și Pr se iau la temperatura medie a fluidului. Pentru calculul criteriului Pr_p , proprietățile fizice sînt considerate la temperatura peretelui în contact cu fluidul. Parametrul ξ_l este funcție de raportul dintre lungimea țevii și diametrul echivalent și pentru $L/d_{ech.} \geq 50$, $\xi_l = 1$

b) Transmiterea căldurii prin convecție forțată în regim laminar ($Re < 2300$), în conducte drepte.

Pentru calculul criteriului Nusselt, în această situație, M.A. Miheev recomandă următoarea formulă aproximativă (pentru

Prin integrarea ecuației transferului de impuls, adoptată pentru modelul curgerii în film subțire se obține distribuția vitezelor și viteza medie în film. Datele hidrodinamice corelate cu transferul de căldură în film l-au condus, în final, pe Nusselt la următoarea relație de calcul pentru α :

$$\alpha = 1,15 \sqrt[4]{\frac{\lambda^3 \cdot \rho^2 \cdot r \cdot g}{\eta \cdot H \cdot \Delta t}} \quad \text{W/m}^2 \cdot \text{grad} \quad (2.77)$$

Marimile fizice din relația (2.77) au următoarea semnificație :

λ - coeficientul de conductivitate termică a condensatului ;

ρ - densitatea condensatului ;

η - viscozitatea dinamică a condensatului ;

r - căldura latentă de condensare a vaporilor ;

H - înălțimea peretei (țevii) pe care se face condensarea ;

$\Delta t = t_v - t_p$, °C (vezi fig. 2.12) ;

g - constanta accelerației universale.

În relația 77) mărimile : λ , ρ și η se consideră la temperatura medie în pelicula de condensat, definită astfel:

$$t_{m.pel.} = \frac{t_v + t_p}{2}$$

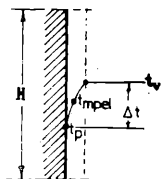


Fig. 2.12

La condensarea peliculară a vaporilor pe o țevă orizontală calculul variației temperaturii în filmul de condensat. Coeficientului individual de transfer de căldură se face cu relația :

$$\alpha = 0,72 \sqrt[4]{\frac{\lambda^3 \cdot \rho^2 \cdot r \cdot g}{d \cdot \eta \cdot \Delta t}} \quad \text{W/m}^2 \cdot \text{grad} \quad (2.78)$$

Coeficientul individual de transmitere a
căldurii prin radiație

Deoarece în cazul schimbului de căldură între gaze sau vapori și un perete solid are o pondere importantă atât radiația cât și convecția s-a introdus și pentru radiație, în analogie cu convecția un coeficient individual de transfer de căldură prin radiație, α_r .

Pentru schimbul de căldură prin radiație între un perete solid și un fluid (gaz sau vapori) ecuația (2.113) se scrie în forma :

$$Q_r = C_{p,f} \cdot A_p \cdot \left[\left(\frac{T_p}{100} \right)^4 - \left(\frac{T_f}{100} \right)^4 \right] \cdot \phi \quad (2.117)$$

sau printr-un artificiu matematic (înmulțirea și împărțirea ecuației 2.116, prin $(t_p - t_f)$:

$$Q_r = \frac{C_{p,f} \left[\left(\frac{T_p}{100} \right)^4 - \left(\frac{T_f}{100} \right)^4 \right] \phi}{t_p - t_f} \cdot A_p (t_p - t_f) \quad (2.118)$$

Fracția din membrul drept a ecuației (2.118) se notează cu α_r și se obține :

$$Q_r = \alpha_r \cdot A_p (t_p - t_f) \quad (2.119)$$

care este o relație asemănătoare cu cea întâlnită la transferul de căldură prin convecție.

Pentru transferul de căldură simultan prin convecție și radiație se poate scrie :

$$Q = Q_r + Q_c = (\alpha_r + \alpha_c) A_p (t_p - t_f)$$

sau notînd cu $\alpha = \alpha_r + \alpha_c$:

$$Q = \alpha \cdot A_p (t_p - t_f) \quad (2.120)$$

în care α este coeficientul individual de transfer termic prin radiație și convecție.

Transmiterea simultană a căldurii prin radiație și convecție este destul de frecvent întâlnită în practică. Astfel

$$\epsilon_{1e} = \epsilon_{e2} = \frac{1}{2} \epsilon_{12} \left[\left(\frac{T_1}{100} \right)^4 - \left(\frac{T_2}{100} \right)^4 \right] \phi A = \frac{1}{2} Q \quad (2.125)$$

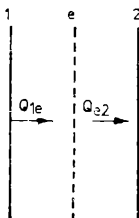


Fig. 2.25.

Ecranul termic.

În demonstrația de mai sus s-a considerat coeficientul de emisie a ecranului egal cu cel al suprafeței mai calde, dar de obicei, ecranele au coeficienți de emisie mici așa că reduce și mai mult căldura care ajunge la suprafața rece.

Efectul izolanț al ecranelor este folosit în numeroase situații practice :

- protecția muncitorilor care lucrează în fața cup-toarelor, cu perdele de lanțuri ;
- micșprarea pierderilor de căldură prin ușile focarelor, printr-un ecran din fontă montat pe fața interioară a ușilor.

2.2.3.5. Radiația gazelor

La corpurile solide emisia și absorbția radiațiilor se face pe suprafață și pe toată gama lungimilor de undă.

Spre deosebire de corpurile solide, gazele nu absorb și nu emit toate radiațiile calorice, ci numai pe acelea

suprafețele încălzite ale aparatelor transmit căldura mediului ambiant (aerului) atât prin convecție cît și prin radiație. Pentru cazul cînd temperatura peretelui ajunge pînă la 150°C, coeficientul individual de transfer de căldură prin convecție și radiație se poate calcula cu relația aproximativă :

$$\alpha = 9,74 + 0,07(t_p - t_f) \quad (2.121)$$

2.2.3.4. Ecrane termice

Cînd trebuie să se micșoreze căldura radiată de o suprafață caldă, există două posibilități :

- se acoperă suprafața radiantă cu o vopsea potrivită, se metalizează (argintează) etc. ;

- se interpune între suprafața radiantă și mediul înconjurător niște obstacole numite ecrane termice.

Efectul ecranului termic se poate demonstra ușor astfel :

- Căldura schimbată între două corpuri prin radiație, în absența ecranului este :

$$Q = C_{12} \left[\left(\frac{T_1}{100} \right)^4 - \left(\frac{T_2}{100} \right)^4 \right] \cdot A \cdot \phi \quad (2.122)$$

- Prin interpunerea între corpurile (1) și (2) a unui ecran (e) - fig. 2.25, căldura transmisă de la corpul (1) la ecran este :

$$Q_{1e} = C_{12} \left[\left(\frac{T_1}{100} \right)^4 - \left(\frac{T_e}{100} \right)^4 \right] \cdot \phi \cdot A \quad (2.123)$$

iar căldura transmisă de la ecran la corpul (2) este :

$$Q_{e2} = C_{12} \left[\left(\frac{T_e}{100} \right)^4 - \left(\frac{T_2}{100} \right)^4 \right] \cdot \phi \cdot A \quad (2.124)$$

În regim staționar $Q_{1e} = Q_{e2}$ și eliminînd pe T_e din relațiile (2.123) și (2.124) se obține :

a) Circulația fluidelor în echicurent (curent paralel)

În acest caz ambele fluide intră pe la același capăt al aparatului cu temperaturile t_{1i} , pentru fluidul mai cald și cu t_{2i} , pentru fluidul mai rece și ies pe la capătul opus cu temperaturile t_{1f} și t_{2f} . Variația temperaturilor celor două fluide pe suprafața de schimb de căldură este prezentată în figura 2.16. În această figură $\Delta t_1 = t_{1i} - t_{2i}$, reprezintă

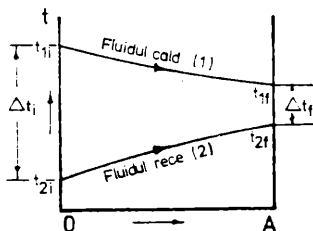


Fig. 2.16.

Variația temperaturilor pe suprafața de transfer la circulația în echicurent a fluidelor. astfel :

$$m = \frac{1}{G_1 c_{p1}} + \frac{1}{G_2 c_{p2}} \quad (2.81)$$

în care G_1 și G_2 sînt debitele masice ale celor două fluide. Revenind la relația (2.80) se precizează că în această relație K este coeficientul global de transfer de căldură iar A este suprafața de transfer. Prin logaritmare a ecuației (2.80) se obține :

$$\ln \Delta t_f = \ln \Delta t_1 - mKA \quad (2.82)$$

care se retranscrie astfel :

forța motoare la intrarea în aparat ($A = 0$), iar $\Delta t_f = t_{1f} - t_{2f}$, reprezintă forța motoare la ieșirea din aparat ($A = A$). Se demonstrează că între forțele motoare la capetele aparatului există relația :

$$\Delta t_f = \Delta t_1 e^{-mKA} \quad (2.80)$$

În relația (2.80) parametrul m este definit

- Pentru apă la presiunea atmosferică, coeficientul individual de transfer termic se calculează cu relația :

$$\alpha = 1100 + 0,90 \cdot q, \text{ W/m}^2\text{grad} \quad (2.72)$$

- Pentru apa la presiuni diferite de presiunea atmosferică, se utilizează următoarea relație :

$$\alpha = 0,0325 \cdot p^{0,58} (\Delta t)^{2,33}, \text{ W/m}^2\text{grad} \quad (2.73)$$

În relația (2.73), p este presiunea la care are loc fierberea, în N/m^2 , iar $\Delta t = t_p - t_f$, în $^{\circ}\text{C}$.

- Pentru un lichid oarecare, cel mai adesea se utilizează o relație de forma :

$$\alpha = \alpha_a \cdot \varphi \quad (2.74)$$

unde α_a este coeficientul individual de transfer la fierberea apei în aceleași condiții în care are loc fierberea lichidului dat, iar φ este o funcție de proprietățile fizice relative ale lichidului respectiv și de intensitatea fierberii. Astfel :

- pentru fierberea lentă ($q < 16.500 \text{ W/m}^2$) :

$$\frac{\alpha}{\alpha_a} = \left(\frac{\lambda}{\lambda_a}\right)^{0,75} \left(\frac{\rho}{\rho_a}\right)^{0,5} \left(\frac{\beta}{\beta_a}\right)^{0,25} \left(\frac{c_p}{c_{p_a}}\right)^{0,25} \left(\frac{\eta}{\eta_a}\right)^{-0,25}$$

- pentru fierberea intensă ($q > 16.500 \text{ W/m}^2$) :

$$\frac{\alpha}{\alpha_a} = \left(\frac{\lambda}{\lambda_a}\right)^{0,75} \left(\frac{\rho}{\rho_a}\right)^{0,7} \left(\frac{c_p}{c_{p_a}}\right)^{0,12} \left(\frac{\eta}{\eta_a}\right)^{-0,94} \quad (2.76)$$

2.2.2.5.2. Condensarea vaporilor

Dacă vaporii saturați ai unui lichid sînt în contact cu o suprafața a carei temperatură este mai mică decît temperatura de saturație a vaporilor, ei condensează, formînd pe suprafața mai rece fie un film de condensat (condensare peliculară) fie

2.2.3. Transferul de căldură prin radiație

2.2.3.1. Noțiuni fundamentale

Energia radiantă este rezultatul unor excitații intraatomice și se produce pe seama altor energii, în special a celei calorice. Un corp încălzit emite în jurul său un flux de radiații care sînt rezultatul transformării energiei termice în energie radiantă. Fenomenul se numește radiație iar reciproca lui se numește absorbția radiațiilor.

Radiația energiei termice este analoagă cu radiația luminii și deci legile de propagare a luminii (reflecția, refracția) rămîn valabile și pentru radiația termică, deosebirea constînd doar în lungimea de undă a radiațiilor:

$$\begin{aligned}\lambda &= 0,4 - 0,8 \mu. && \text{ - pentru radiații luminoase} \\ \lambda &= 0,8 - 40 \mu. && \text{ - radiații termice (infraroșii)}\end{aligned}$$

Puterea de emisie, E_e , reprezintă cantitatea de energie emisă în unitatea de timp de unitatea de suprafață a unui corp cu temperatura $T, ^\circ K$, în mediul înconjurător, considerat ca avînd temperatura de $0^\circ K$

$$E = \frac{Q}{A \cdot \tau} \quad W/m^2 \quad (2.93)$$

Puterea efectivă de emisie E_{ef} . Admițînd ca pe suprafața unui corp ajunge o cantitate de căldură Q_0 și ținînd cont de proprietățile radiațiilor termice (aceleași ca ale radiațiilor luminoase), urmează că o parte din aceasta este absorbită de corp (Q_A), o parte, Q_R , va fi reflectată și o par-

de rezistență termică a fiecărui strat :

$$K = \frac{1}{\frac{1}{\alpha_1} + \sum_{i=1}^n \frac{d_i}{\lambda_i} + \frac{1}{\alpha_2}} \quad (2.37)$$

Așa cum se poate observa din relațiile (2.31), (2.32) și (2.33), la deducerea ecuației (2.34) suprafața de transfer de căldură s-a considerat constantă, ipoteză deplin justificată în cazul pereților plani.

Pentru transmiterea căldurii prin convecție și conducție, în regim staționar, între două fluide despărțite printr-un perete cilindric, format din n straturi, în condițiile în care temperaturile celor două fluide rămân constante pe suprafața de transfer de căldură, se deduce ușor relația :

$$Q = \frac{2\pi l}{\frac{1}{\alpha_1 r_1} + \sum_{i=1}^n \frac{1}{\lambda_i} \cdot \ln \frac{(r_{ext.})_i}{(r_{int.})_i} + \frac{1}{\alpha_2 r_e}} (t_1 - t_2) \quad (2.38)$$

în care l este lungimea peretelui cilindric, r_1 este raza interioară a primului strat cilindric, r_e este raza exterioară a ultimului strat cilindric. Expresia :

$$K_R = \frac{2\pi}{\frac{1}{\alpha_1 r_1} + \sum_{i=1}^n \frac{1}{\lambda_i} \cdot \ln \frac{(r_{ext.})_i}{(r_{int.})_i} + \frac{1}{\alpha_2 r_e}} \quad (2.39)$$

se numește coeficient global de transfer de căldură între două fluide separate prin pereți cilindrici. Deci ecuația (2.38) se poate scrie astfel :

$$Q = K_R \cdot l(t_1 - t_2) = K_R \cdot l \cdot \Delta t \quad (2.40)$$

Și în acest caz, dacă este îndeplinită condiția $d_e/d_1 \leq 2$, se poate folosi pentru calculul căldurii prin pereți cilindrici, relația de calcul pentru pereți plani paraleli (ec.2.36), care are avantajul că este mai ușor de folosit.

$$Pr = \frac{P\theta}{Re} = \frac{\frac{w \cdot l}{a}}{\frac{w \cdot l \cdot \rho}{\eta}} = \frac{\eta}{\rho \cdot a} = \frac{c_p \cdot \eta}{\lambda} \quad (2.49)$$

Fiind raportul între un criteriu hidrodinamic și un criteriu termic, criteriul Prandtl exprimă raportul între intensitatea cu care se realizează amestecarea curenților de fluid și intensitatea cu care se egalizează temperaturile (intensitatea transferului de căldură).

Criteriul de similitudine Grashof, pentru convecția liberă, reprezintă o combinație de criterii în care apare forța ascensională :

$$\frac{1}{Fr} \cdot Re^2 = \frac{w^2 \cdot l^2 \cdot \rho^2}{\eta^2 \cdot \frac{w^2}{l \cdot g}} = g \frac{l^3}{\nu^2} \quad Ga \text{ (criteriul Galilei)} \quad (2.50)$$

Prin înmulțirea criteriului Galilei cu simplexul $(\rho_1 - \rho_2)/\rho_2$ în care ρ_1 și ρ_2 sînt densitățile în două puncte diferite ale fluidului, se obține criteriul lui Arhimede :

$$Ar = Ga \frac{\rho_1 - \rho_2}{\rho_2} = g \frac{l^3}{\nu^2} \cdot \frac{\rho_1 - \rho_2}{\rho_2} \quad (2.51)$$

În expresia lui Arhimede $g(\rho_1 - \rho_2)$ este o măsură a forței ascensionale. Din ecuația care descrie variația densității unui fluid cu temperatura :

$$\rho_1 = \rho_2(1 + \beta \cdot \Delta t)$$

se poate exprima raportul $(\rho_1 - \rho_2)/\rho_2$ funcție de coeficientul de dilatare volumică a fluidului, β și funcție de diferența de temperatură între punctele de densitate ρ_1 și ρ_2 din fluid, notată cu Δt .

$$\frac{\rho_1 - \rho_2}{\rho_2} = \beta \cdot \Delta t \quad (2.52)$$

Înlocuind expresia (2.52) în criteriul lui Arhimede, dat de relația (2.51), se obține criteriul Grashof :

$$\ln \frac{\Delta t_1}{\Delta t_r} = m K A \quad (2.83)$$

Pe baza principiului conservării energiei, căldura transmisă de fluidul mai cald (1) care își modifică temperatura cu dt_1 , este egală cu căldura primită de fluidul mai rece (2) care își modifică temperatura cu dt_2 , deci :

$$dQ = - G_1 C_{p1} dt_1 \quad (2.84)$$

(semnul minus indică descreșterea temperaturii fluidului mai cald)

$$dQ = G_2 C_{p2} dt_2 \quad (2.85)$$

Cele două ecuații de mai sus se pot integra, ținând cont că prin schimbarea cantității de căldură Q , între cele două fluide, temperaturile celor două fluide variază de la t_{1i} la t_{1f} respectiv de la t_{2i} la t_{2f} , obținându-se :

$$Q = G_1 C_{p1} (t_{1i} - t_{1f}) \quad (2.86)$$

$$Q = G_2 C_{p2} (t_{2f} - t_{2i}) \quad (2.87)$$

Din relațiile (2.86) și (2.87) se obține :

$$m = \frac{1}{G_1 C_{p1}} + \frac{1}{G_2 C_{p2}} = \frac{(t_{1i} - t_{2i}) - (t_{1f} - t_{2f})}{Q} = \frac{\Delta t_1 - \Delta t_r}{Q} \quad (2.88)$$

În ecuația (2.88) combinată cu ecuația (2.83) se obține :

$$\ln \frac{\Delta t_1}{\Delta t_r} = K.A \frac{\Delta t_1 - \Delta t_r}{Q} \quad (2.89)$$

care se retranscrie în forma :

$$Q = K.A \frac{\Delta t_1 - \Delta t_r}{\ln \frac{\Delta t_1}{\Delta t_r}} \quad (2.90)$$

În ecuația (2.89), expresia $(\Delta t_1 - \Delta t_r) / \ln \Delta t_1 / \Delta t_r$ este media logaritmică a diferenței dintre temperaturile celor două fluide la capetele aparatului; ea se notează cu Δt_m și se numește forța motoare medie a procesului de transfer de căldură. Cu această notație ecuația (2.90) se poate scrie restrîns :

de difuzie moleculară. Curgerea fluidului contribuie la intensificarea acestei difuziuni.

3.4. COEFICIENT INDIVIDUAL SI GLOBAL DE TRANSFER

DE MASA

Legea a I-a a lui Fick dată sub forma ecuației (3.10) a fost dedusă pentru difuzia într-un mediu gazos dar, apoi, a fost extinsă și la difuzia unui component într-un mediu lichid sau solid.

Integrarea ecuației (3.12) este posibilă prin metode matematice obișnuite doar pentru cazuri simple de difuzie. De exemplu, dacă se consideră un mediu mobil constituit din speciile moleculare a și b care difuzează reciproc în condiția

$N_a = - N_b$ se obține :

$$N_a = - D_e \frac{dC_a}{dx} \quad (3.13)$$

Pentru regimul staționar se poate considera N_a și D_e constante și, după separarea variabilelor și integrarea ecuației (3.13) rezultă :

$$N_a = \frac{D_e}{x} \cdot (C_{a1} - C_{a2}) \quad (3.14)$$

în care: $D_e/x = k$ se numește coeficient individual sau parțial de transfer de masă. El exprimă ca sens fizic viteza cu care se realizează transferul componentului a prin difuzie ;

$(C_{a1} - C_{a2})$ - forța motoare a procesului de transfer de masă.

Dacă se consideră un sistem eterogen constituit din două faze, de exemplu una gazoasă și una lichidă, iar componentul a este solubil în faza lichidă, se poate scrie ecuația

Relațiile (2.31), (2.32) și (2.33) se transcriu astfel:

$$\frac{Q}{A} \cdot \frac{1}{\alpha_1} = t_1 - t_{p1} \quad (2.31.a)$$

$$\frac{Q}{A} \cdot \frac{\delta}{\lambda} = t_{p1} - t_{p2} \quad (2.32.a)$$

$$\frac{Q}{A} \cdot \frac{1}{\alpha_2} = t_{p2} - t_2 \quad (2.33.a)$$

Prin adunarea relațiilor (2.31.a), (2.32.a) și (2.33.a) se obține :

$$\frac{Q}{A} \left(\frac{1}{\alpha_1} + \frac{\delta}{\lambda} + \frac{1}{\alpha_2} \right) = t_1 - t_2$$

care se poate scrie în forma :

$$Q = \frac{1}{\frac{1}{\alpha_1} + \frac{\delta}{\lambda} + \frac{1}{\alpha_2}} A (t_1 - t_2) \quad W \quad (2.34)$$

În relația (2.34) expresia $\frac{1}{\frac{1}{\alpha_1} + \frac{\delta}{\lambda} + \frac{1}{\alpha_2}}$ se notează cu K

și poartă numele de coeficient global de transfer de căldură.

Unitatea de măsură pentru K în sistemul internațional este $[K]_{SI} = W/m^2 \cdot \text{grad}$. Inversul coeficientului global de transfer de căldură se numește rezistența termică totală :

$$\frac{1}{K} = R = \frac{1}{\alpha_1} + \frac{\delta}{\lambda} + \frac{1}{\alpha_2} \quad (2.35)$$

În relația de mai sus, fiecare termen, reprezintă o rezistență termică parțială. Diferența de temperatură $\Delta t = t_1 - t_2$, din ecuația (2.34) reprezintă forța motoare a procesului de transfer de căldură. Cu aceste notații ecuația (2.34) se poate scrie în forma :

$$Q = K \cdot A \cdot \Delta t \quad (2.36)$$

În cazul în care peretele solid care desparte fluidul mai cald de cel mai rece este format din mai multe straturi plane paralele, ecuația (2.36) nu își modifică forma, dar în expresia coeficientului global de transfer de căldură se inclu-

$10 < Re < 2300$).

$$Nu = 0,15 \cdot \xi_l \cdot Re^{0,33} \cdot Pr^{0,43} \cdot Gr^{0,1} (Pr/Pr_p)^{0,25} \quad (2.58)$$

c) Transmiterea căldurii prin convecție în regim intermediar în conducte drepte ($2300 < Re < 10.000$).
Datorită faptului că nu există relații exacte pentru acest domeniu, se recomandă să se calculeze criteriul Nusselt din grafice de forma celui din fig. (2.8).

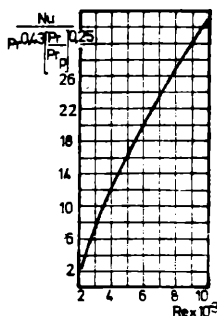


Fig. 2.8.
Variația expresiei $Nu/Pr^{0,43} \cdot (Pr/Pr_p)^{0,25}$, funcție de Re ,
în regim intermediar.

d) La curgerea prin serpentine, valoarea lui α pentru țevi drepte se înmulțește cu un coeficient α , care ținse seama de curbura serpentinei :

$$\alpha_s = \alpha \quad (2.59)$$

$$\alpha = 1 + (3,54 \cdot d/D) \quad (2.60)$$

În relația (2.60) d este diametrul interior al țevii serpentinei iar D este diametrul spirelor serpentinei.

e) Pentru gaze, criteriul Prandtl este o constantă care nu depinde de temperatură și de presiune și prin urmare relația de calcul a lui Nusselt, de exemplu pentru regimul turbulent devine :

$$Nu = C \cdot \xi_l \cdot Re^{0,8} \quad (2.61)$$

iar pentru aer :

criteriu nedeterminat. Din acest motiv el se va exprima printr-o funcție de criteriile determinate ale procesului de transfer de căldură și va servi, apoi, pentru determinarea coeficientului individual de transfer de căldură, C_c .

Celelalte criterii de similitudine termică se deduc aplicînd metoda similitudinii ecuației diferențiale Fourier - Kirchhoff (ec. 2.41)

$$\begin{aligned} \frac{a_t}{a_l^2} \cdot \frac{\partial t}{\partial \tau} + a_w \cdot \frac{a_t}{a_l} (w_x \frac{\partial t}{\partial x} + \dots) &= \\ (1) \quad (2) \\ = a_a \frac{a_t}{a_l^2} \cdot a \left(\frac{\partial^2 t}{\partial x^2} + \dots \right) & \quad (2.45) \\ (3) \end{aligned}$$

sau :

$$\begin{aligned} \frac{a_t}{a_l^2} &= \frac{a_t}{a_l} a_w = a_a \cdot \frac{a_t}{a_l^2} & (2.46) \\ (1) \quad (2) \quad (3) \end{aligned}$$

Din egalitatea termenului (1) cu termenul (3) din ecuația (2.46) se obține :

$$\frac{\tau a}{l^2} = \text{idem} = Fo \quad (2.47)$$

Acest criteriu, conținînd timpul τ , va fi un criteriu caracteristic regimului nestacionar, de aceea în descrierea proceselor termice staționare criteriul Fourier nu apare.

Din egalitatea termenului (2) cu termenul (3) din ecuația (2.46) se obține :

$$\frac{w \cdot l}{a} = \text{idem} = Péc \quad (2.48)$$

numit criteriul Péclet.

Criteriul Péclet raportat la criteriul Reynolds, conduce la un alt criteriu important în transferul de căldură, și anume la criteriul Prandtl :

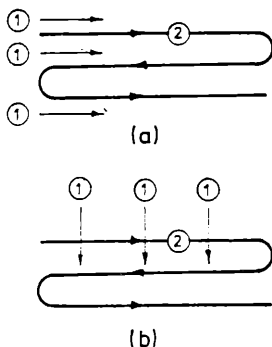


Fig. 2.19.

Circulația fluidelor în curent mixt (a) și în curent încrucișat (b).
Circulația fluidelor prin aparat, valoarea forței motoare medii este aceeași în toate cazurile.

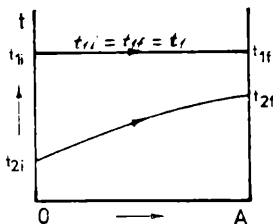


Fig. 2.20.

Variația temperaturii fluidelor pe suprafața de transfer în cazul $t_{1i} = t_{1f} = t_1 = \text{const.}$

fluide pe suprafața de transfer, în cazul cînd fluidul mai cald este cel care își păstrează temperatura constantă este prezentată în fig.

(2.20). În această situație Δt_m se calculează cu relația cunoscută :

$$\Delta t_m = \frac{\Delta t_1 - \Delta t_f}{\ln \frac{\Delta t_1}{\Delta t_f}}$$

$$\Delta t_1 = t_1 - t_{2i} \text{ iar}$$

$$\Delta t_f = t_1 - t_{2f}$$

Trebuie subliniat, că în această situație, indiferent de modul de circula-

Observație. Pentru ca-

zul în care raportul dintre forțele motoare la capetele aparatului $(\Delta t_1 / \Delta t_f) \leq 2$, se poate

înlocui media logaritmică cu media aritmetică:

$$\Delta t_m = \frac{\Delta t_1 + \Delta t_f}{2},$$

eroarea fiind mai mică de 4 %.

- fig. 2.22. Deci emisia efectivă a corpului (1) este :

$$E_{ef} = E_1 + E_2(1 - A_1) \quad (2.97)$$

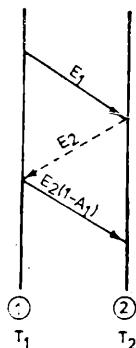


Fig.2.22.

Emisia energiei termice
între două corpuri cu
temperaturile T_1 și T_2 .

2.2.3.2. Legile radiației

1) Legea lui Planck

Puterea de emisie definită anterior
se referă la energia radiată de un
corp în unitatea de timp, de unitatea
de suprafață, pentru toate lungimile
de undă λ , de la $\lambda = 0$ la $\lambda = \infty$,
adică :

$$E = \int_0^{\infty} E_{\lambda} \cdot d\lambda \quad (2.98)$$

E_{λ} - este o funcție de distribuție
a radiației și depinde de λ și T :

$E_{\lambda} = f(\lambda, T)$ și se numește intensitate de radiație.

Pentru corpul absolut negru relația (2.98) se scrie :

$$E_0 = \int_0^{\infty} E_{0\lambda} \cdot d\lambda \quad (2.99)$$

în care $E_{0\lambda}$ este intensitatea de radiație a corpului absolut
negru : $E_{0\lambda} = f(\lambda, T)$.

Planck a arătat că pentru corpul absolut negru forma
funcției $E_{0\lambda}$ este :

$$E_{0\lambda} = \frac{c_1 \cdot \lambda^{-5}}{c_2 \cdot \lambda \cdot T} \quad (2.100)$$

în care :

λ - lungimea de undă ;

T - temperatura absolută ;

$$N_a = \frac{1}{\frac{1}{K_g} + \frac{1}{K_f} \frac{H.M. \{1\}}{H.T. \{1\}}} (C_{atlg} - C_{atlg}^*) \quad (3.22)$$

Expresia $\frac{1}{\frac{1}{K_g} + \frac{1}{K_f} \frac{H.M. \{1\}}{H.T. \{1\}}} = K_g$

reprezintă coeficientul global de transfer de masă. Se vede că forma sa este asemănătoare cu coeficientul global de transfer de căldură [v.ec. (2.37)].

Termenii de la numitor reprezintă rezistențele care se opun transferului de masă.

Înlocuind termenul fracționar din dreapta ecuației (3.22) cu K_g ea se scrie restrîns sub forma :

$$N_a = K_g \cdot (C_{atlg} - C_{atlg}^*) \quad (3.23)$$

care este ecuația vitezei globale a procesului de transfer a componentului a din faza gazoasă în faza lichidă.

Din combinarea ecuației vitezei procesului cu ecuația bilanțului de materiale se obține ecuația de proiectare a aparatului în care se realizează procesul de transfer de masă. Pentru calcularea coeficientului global de transfer se calculează mai întîi coeficienții individuali de transfer. Ca și la transferul de căldură, coeficienții individuali de transfer se calculează pe baza ecuațiilor criteriale ale transferului de masă.

se obține relația :

$$Q = C_{12} A_1 \cdot \left[\left(\frac{T_1}{100} \right)^4 - \left(\frac{T_2}{100} \right)^4 \right] \cdot \phi \quad (2.113)$$

care servește pentru calculul căldurii schimbate prin radiație termică între cele două corpuri.

În relația (2.113) C_{12} se numește coeficient total de radiație, iar ϕ este un factor care depinde de poziția relativă în spațiu a celor două corpuri.

Cîteva valori ale parametrului ϕ sînt prezentate în continuare, pentru cîteva cazuri :

a) Pentru un corp aflat în interiorul celuiilalt (de ex. o sursă de căldură într-o cameră), $\phi = 1$ și C_{12} se calculează cu relația :

$$C_{12} = \frac{1}{\frac{1}{C_1} + \frac{A_1}{A_2} \left(\frac{1}{C_2} - \frac{1}{C_0} \right)} \quad (2.114)$$

b) Pentru corpuri cu suprafețe suficient de apropiate, avem :

$$A_1 = A_2 ; \phi = 1 \text{ iar :}$$

$$C_{12} = \frac{1}{\frac{1}{C_1} + \frac{1}{C_2} + \frac{1}{C_0}} \quad (2.115)$$

c) Pentru corpuri așezate într-o poziție arbitrară unul față de altul :

$$\phi = \iint_{A_1 A_2} \frac{\cos \phi_1 \cdot \cos \phi_2}{r^2} dA_1 \cdot dA_2 \quad (2.116)$$

$$\text{iar } C_{12} = \frac{C_1 \cdot C_2}{C_0}$$

În relația de mai sus, ϕ_1 și ϕ_2 sînt unghiurile plane față de normala la suprafața de radiație.

și nădecalat.

2.2.2.4.2. C o n v e c Ț i a l i b e r ă

Pentru convecția liberă a gazelor și lichidelor într-un volum mare, ca efect al unei diferențe de densitate, ecuația (2.56) se reduce la forma :

$$Nu = C \cdot Gr^m \cdot Pr^n \quad (2.65)$$

în care coeficienții C , m și n au valori ce depind de produsul $Gr \cdot Pr$.

- dacă $Gr \cdot Pr < 1 \cdot 10^{-3}$ (regim pelicular) :

$$Nu = \text{constant} = 0,5 \quad (2.66)$$

- dacă $Gr \cdot Pr = 1 \cdot 10^{-3} - 500$ (regim intermediar) :

$$Nu = 1,18(Gr \cdot Pr)^{0,125} \quad (2.67)$$

- dacă $Gr \cdot Pr = 500 + 2 \cdot 10^7$ (regim laminar) :

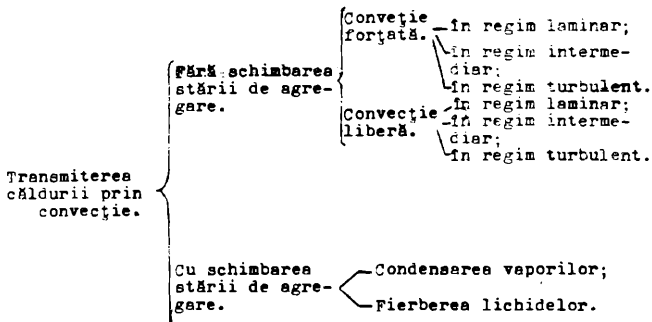
$$Nu = 0,54(Gr \cdot Pr)^{0,25} \quad (2.68)$$

- dacă $Gr \cdot Pr > 2 \cdot 10^7$ (regim turbulent) :

$$Nu = 0,135 (Gr \cdot Pr)^{0,33} \quad (2.69)$$

În aceste relații pentru țevile orizontale, dimensiunea geometrică determinantă este diametrul lor, iar pentru țevile și plăcile verticale este înălțimea lor.

Dacă suprafața care cedează căldura este îndreptată în sus, atunci valoarea lui α calculată cu una din relațiile (2.66) - (2.69) se mărește cu 30 %, iar dacă suprafața care cedează căldura este îndreptată în jos, valoarea lui α se micșorează cu 30 %.



În cadrul acestei clasificări generale există și alte subîmpărțiri, de exemplu fierberea în regim pelicular, fierberea cu bule, condensarea vaporilor pe pereți verticali sau orizontali etc.

Pentru fiecare tip de proces se găsesc date în literatură, forme concrete de calcul a ecuației criteriale. Din acest motiv înainte de a căuta ecuația criterială de calcul a criteriului Nusselt, va trebui, în urma unei analize, să se concretizeze tipul de proces termic pentru care trebuie calculat coeficientul individual de transfer de căldură și apoi să se treacă efectiv la calcularea criteriului Nusselt.

în care: R este constanta universală a gazelor, în J/mol.^oK

T - temperatura sistemului, ^oK ;

H - constanta lui Henry pentru componentul a ;

$C_{a[g]}$, $C_{a[l]}$ - concentrația componentului a în gaz și lichid, mol/m³; $M[l]$, $\rho_{[l]}$ - masa molară, respectiv densitatea lichidului.

Relația (3.17) este identică cu relația (3.3) dacă se observă că :

$$p_a = \frac{n_a}{V} R.T = C_{a[g]} R.T \quad \text{și}$$

$$x_{a[l]} = C_{a[l]} \cdot \frac{M[l]}{\rho[l]}$$

Prin intermediul relației (3.17) concentrațiile $C_{a[l]}$ și $C_{a[l],i}$ din relația (3.16) se pot scrie :

$$C_{a[l]} = C_{a[g]}^* \cdot \frac{RT}{H} \cdot \frac{\rho[l]}{M[l]} \quad \text{și} \quad (3.18)$$

$$C_{a[l],i} = C_{a[g],i} \cdot \frac{RT}{H} \cdot \frac{\rho[l]}{M[l]} \quad (3.19)$$

Se transcriu ecuațiile (3.15) și (3.16) sub forma :

$$\frac{N_a}{K_g} = C_{a[g]} - C_{a[l],i} \quad (3.20)$$

$$\frac{\frac{N_a}{K_g} \cdot \frac{RT}{H} \cdot \frac{\rho[l]}{M[l]}}{1} = C_{a[g],i} - C_{a[g]}^* \quad (3.21)$$

Din adunarea relațiilor (3.20) și (3.21) se obține :

185/1-73 sînt indicate liniile și culorile convenționale pentru reprezentarea în desen a conductelor.

Pentru indicarea fluidului transportat și a parametrilor de lucru STAS 4724 - 73 prescrie culorile și semnele convenționale care trebuie marcate pe conducte.

Conductele se îmbină între ele sau cu aparatele, fie prin sudare fie prin intermediul unor subansamble ca: " mufe, piulițe olandeze, presetupe, flange.

Mufele sînt lărgirile de la unul din capetele tuburilor din fontă, ciment, gresie, mase plastice sau materiale ceramice; etanșarea se face prin ștemuirea unor materiale ca asbest, cîmpă, fire de plumb, fire sau foi de aluminiu, peste care d se toarnă ciment, asfalt, plumb etc. La conductele din oțel mufele sînt mici cilindri cu filet interior (olandezi) în care se înșurubează capetele țevelor prevăzute cu filet exterior. În figura 4.1 sînt reprezentate cîteva tipuri de îmbinări cu mufă. Legătura prin mufe se folosește în special pentru conductele permanente de gaze și apă încălzite în pămînt. Mufele din oțel, cu filet se utilizează pentru conducte subțiri cu diametrul interior pînă la 75 mm.

Flanșele sînt piese de legătură, formate din două discuri care se fixează rigid sau mobil pe cele două capete ale țevelor care se îmbină ; strîngerea flanșelor se face cu șuruburi iar etanșarea se realizează prin garnituri de cauciuc, asbest, clingherit etc. Ca formă, flanșele se construiesc circulare, pătratic, ovale sau eliptice. Toate dimensiunile flanșelor sînt standardizate. În fig. 4.2 sînt redată trei tipuri de flange.

Armăturile sînt ansamble de piese folosite la închiderea sau deschiderea secțiunilor de trecere a fluidelor, în vederea

se închide robinetul 4 și se deschide robinetul 2 urmărindu-se la un indicator nivelul lichidului în recipient. După umplere se închide robinetul 2 și se deschide robinetul 8 de pe conducta de evacuare 7 și robinetul 5 de pe conducta de aer sau alt gaz comprimat la 3-4 ata ; presiunea gazului în timpul evăcuării lichidului din recipient se urmărește la monovacuumetrul 6.

Montejusul servește în special pentru transportul pe distanțe mici a lichidelor corosive. Lucrează discontinuu și trebuie permanent observat în funcționare. Există și montejușuri - numite pulsometre - la care toate manevrele robinetelor se fac automat.

Pentru transportul lichidelor într-un spațiu în care presiunea este peste cea atmosferică se utilizează injectoare. Funcționarea injectorului se bazează pe folosirea energiei cinetice a unui fluid motor (abur, aer comprimat, apă sub presiune etc.). Ejectoarele au aceeași construcție și funcționare, dar servesc pentru evacuarea unui lichid sau a unui gaz dintr-un recipient.

În figura 4.17 este prezentată construcția și funcționarea unui injector : fluidul motor intră prin duza 1 în care o parte din energia de presiune este transformată în energie cinetică, străbate cu viteză mare ajutorul sau camera de amestec 2, antrenând lichidul de transportat. Amestecul format are energia cinetică maximă în gîtul 3 al ajutorului, energie care la curgerea prin difuzorul 4 este convertită treptat în energie de presiune.

Injectoarele și ejectoarele sînt ieftine, au mare fiabilitate în funcționare și pot fi executate din materiale anticorosive. Au ca dezavantaje consumul ridicat de fluid motor și ran-

- ventilatoare de presiune înaltă: $300 < \Delta P_t < 1000 \text{ mm H}_2\text{O}$.

Debitul ventilatoarelor variază în limite foarte largi: $400 \div 200000 \text{ m}^3/\text{h}$. Randamentul lor este cuprins între 50 și 85% și este foarte mult influențat de direcția și turbulența curentului de gaz în ventilator; este recomandată alegerea poziției de montaj astfel încât să se evite recordările imediat după ieșirea gazului din ventilator. În figura 4.26 sînt date pozițiile de montaj în care se execută ventilatoarele centrifugale. În comenzi poziția de montaj se simbolizează prin litera M urmată de numărul de poziție (de exemplu M3 M12 etc.).

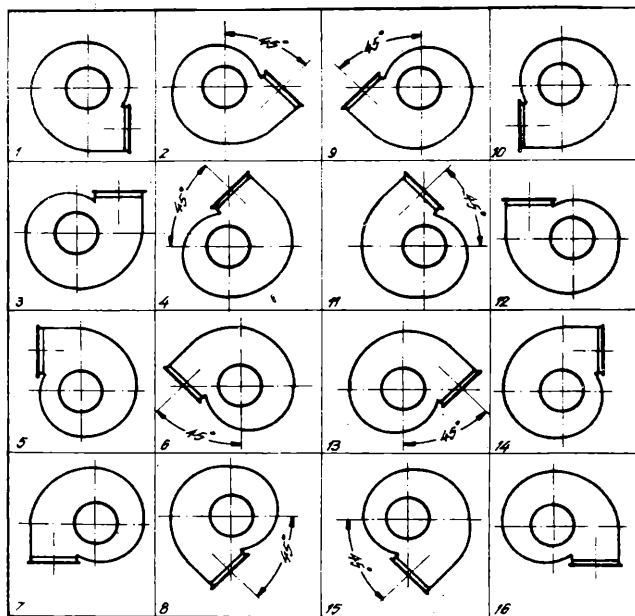


Fig.4.26.Pozițiile de montaj ale ventilatoarelor centrifugale privite dinspre aspirație.

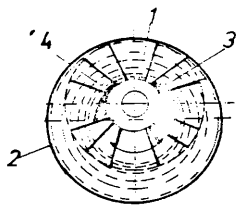


Fig. 4.21.

Compresor cu inel de lichid.

rotorului încreapta față de axa verticală de simetrie, lichidul iese din ce în ce mai mult dintre palete creînd o depresiune care produce aspirația gazului prin cavitatea 3 din peretele frontal al carcasei ; la rotirea rotorului spre stînga, față de axa verticală de simetrie, lichidul pătrunde din ce în ce mai mult între palete realizînd comprimarea gazului și evacuarea sa prin deschiderea 4 din peretele frontal al carcasei.

Lichidul care formează inelul este de exemplu, apă pentru hidrogen, acid sulfuric pentru clor etc.

Mașinile cu inel de lichid au debite pînă la $8000 \text{ m}^3/\text{h}$, raportul de comprimare pînă la 7, presiuni la refulare pînă la 20 at. Presiunea minimă pe conducta de aspirație poate ajunge pînă la 3 mm Hg, ceea ce face posibilă utilizarea mașinilor cu inel de lichid ca pompe de vid ; cu această destinație se folosesc la dezaerarea pastelor crude de cărămizi înainte de presare.

Avantajele mașinilor cu inel de lichid sînt : cîurgerea gazului fără pulsații, lipsa lubrificației, posibilitatea folosirii lor pentru gaze corosive (clor umed) sau explozive (hi-

carcasă circulară în secțiune în interiorul căreia se menține permanent o cantitate de lichid. Rotorul 1, montat excentric față de carcasa 2, antrenează în rotație lichidul care, datorită forței centrifuge, formează un inel de lichid și ocupă spațiul neegale între paletele rotorului. Astfel, la rotirea

4.2. SEPARAREA SISTEMELOR ETEROGENE

Prin sistem se înțelege un corp sau un ansamblu de corpuri limitate ca întindere spațială și conținut de substanță. Ansamblul corpurilor care formează sistemul poate să aibă stări de agregare diferite, astfel încât sistemul este format din mai multe faze. Faza este porțiunea dintr-un sistem, limitată printr-o suprafață de separare și avind proprietăți bine determinate și compoziție omogenă, deosebite de proprietățile și compoziția celorlalte părți ale sistemului.

Sistemele constituite dintr-o singură fază se numesc omogene și, corespunzător, sistemele formate din mai multe faze se numesc neomogene sau eterogene. Acest capitol tratează separarea sistemelor eterogene constituite din două faze : una discontinuă, numită faza dispersă, care se găsește într-o stare de divizare fină într-o a doua fază, numită faza continuă, faza dispersantă sau mediu de dispersie . Sub acest aspect, împărțirea sistemelor în sisteme omogene și neomogene pare, întrucâtva, arbitrară ; în principiu sistemele omogene (soluțiile) sînt și ele formate dintr-o fază continuă și una dispersă (solid, gaz sau lichid), numai ca dispersia se face pînă la dimensiuni de ordinul dimensiunilor moleculelor.

În funcție de starea de agregare a mediului de dispersie se deosebesc sisteme neomogene gazoase și lichide. Diferitele tipuri de sisteme eterogene sînt prezentate în tabelul 4.1.

În ingineria chimică de multe ori este necesară separarea fazei dispersate din mediul de dispersie. Operația de separare este denumită în general purificare, dacă se impun

4.1.3.2. Diagrama de lucru, teoretică și reală a compresorului cu piston

Un compresor cu piston poate fi numit "teoretic" atât din punct de vedere al construcției cât și al funcționării ; din punct de vedere constructiv se neglijează grosimea pistonului și spațiul ocupat de supape astfel că pistonul descrie un volum V_1 egal cu volumul V_0 al cilindrului sau corpului compresorului ; din punct de vedere funcțional se neglijează inerția supapelor și frecările între piston și cilindru și între tije și supapele și ghidaje. În aceste condiții diagrama de lucru a compresorului este cea din figura 4.19-a : aspirația gazului începe din momentul deplasării pistonului spre dreapta și se face la presiunea p_1 egală cu aceea a gazului în spațiul de aspirație. În compresor este aspirat volumul de gaz V egal cu volumul V_1 descris de piston, respectiv cu volumul V_0 al cilindrului compresorului. După terminarea aspirației (1-2) are loc comprimarea izotermă (2-3) sau adiabată (2-3') sau politropă (2-3"). Când presiunea gazului comprimat atinge valoarea p_2 egală cu presiunea gazului în spațiul de refulare - se deschide supapa de evacuare și gazul este evacuat din compresor. La terminarea evacuării pistonul se află în punctul 4 și revine de la sine în punctul 1, apoi ciclul se repetă.

Lucrul mecanic necesar în comprimare este dat de ariile 1-2-3-4 la comprimarea izotermă, 1-2-3'-4 la comprimarea adiabată și 1-2-3"-4 la comprimarea politrop. Se vede că el este minim la comprimarea izotermă și maxim la cea adiabată.

$$H_{m_t} = k \cdot H_{m_1}, \quad m \quad (4.14)$$

unde : H_{m_1} este înălțimea manometrică a unei pompe centrifuge ideale, avînd rotorul cu un număr infinit de palete, infinit de subțiri, cu curgere ideală a lichidului :

$$H_{m_1} = \frac{v_2 \cdot v_{p_2} \cdot \cos \varphi_2}{g} \quad (4.15)$$

În realitate rotorul are un număr finit de palete (6-16) iar circulația lichidului între palete nu este ideală ; consecința cea mai importantă a curgerii neideale este creșterea componentei de debit v_{n_2} în dauna componentei de sarcină v_{t_2} și, drept urmare, energia transferată lichidului este mai mică.

În ecuația (4.14) $k \sim 0,8$ ține seama de componentele de debit ale vitezei absolute și de viteza periferică v_{p_2} , la ieșirea lichidului dintre palete.

Înălțimea manometrică efectivă este legată de cea teoretică prin relația (4.3) unde $\eta_h = 0,6 - 0,85$.

Caracteristicile de lucru ale pompei centrifuge

Se poate demonstra că, teoretic, între debitul real, înălțimea manometrică efectivă, puterea și turația la axul pompei există următoarele dependențe : $V_{s_r} \sim n$; $H_{m_e} \sim n^2$; $P_a \sim n^3$. În practică aceste dependențe sînt numai aproximative și de regulă fiecare tip de pompă se încearcă la bancul de probă pentru a găsi corelația exactă între mărimile amintite. Problema alegerii unei pompe centrifuge se pune în felul următor : înălțimea manometrică a sistemului H_m poate fi considerată pentru o situație fixată ca fiind funcție numai de viteza lichidului sau de debit ; motorul pompei sau sistemul ei de acționare se alege pe alte considerații, încît, de obicei, turația este

va umple sifonul pe porțiunea scufundată în lichid. Stringînd din nou para, lichidul ajunge în ramura descendentă, sifonul fiind amorsat. Sifonul cu saboți (fig. 4.15.c) se folosește în industrie la transvazarea cantităților mari de lichid. Teava îndoită în formă de U cu ramuri egale are extremitățile afundate în două recipiente. Atît tubul cît și cele două recipiente se umplu la început cu lichid ; cînd se coboară sifonul el intră în funcțiune iar cînd se ridică, curgerea lichidului în vasul inferior încetează, dar sifonul și cele două recipiente rămîn pline cu lichid și vor funcționa din nou la o nouă afundare în lichid.

În figura 4.16 este reprezentat un montejus ; acesta este un utilaj static constînd dintr-un recipient cilindric, ori-

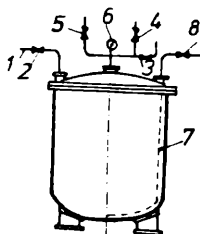
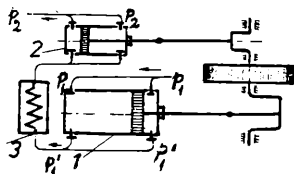


Fig. 4.16.
Montejus.

zontal sau vertical, căptușit cu material anticoroziv. În capacul recipientului sînt practicate racorduri de legătură cu conducta de alimentare, cu conducta de evacuare, cu atmosfera, cu rețeaua de vid și cu rețeaua de aer comprimat. Alimentarea cu lichid se face prin conducta 1 pe care se află robinetul 2 ; dacă lichidul intră prin cădere liberă, robinetul 3 care face

legătura cu atmosfera este deschis. Cînd umplerea se face sub vacuum, se închid mai întîi toate robinetele, în afară de robinetul 4 de pe conducta de vid. Vacuumul realizat se urnărește la monovacuumetrul 6 și cînd a atins valoarea prescrisă

Dacă este necesară o presiune a gazului mai mare de 8 at, comprimarea se face în mai multe trepte, cu răcirea gazului după fiecare treaptă. În figura 4-20 este dată schița unei instalații de comprimare cu două trepte. Gazul de presiune joasă p_1 este aspirat în compresorul 1 și comprimat la presiunea p_1' ; cu



această presiune gazul, după răcire în răcitorul 3, este aspirat în compresorul 2 de presiune ridicată, unde este comprimat la presiunea p_2 . Raportul de comprimare pentru prima treaptă este $z_1 = p_1'/p_1$ iar pentru a doua treaptă: $z_2 = p_2/p_1'$; raportul total este $z = z_1 \cdot z_2 = p_2/p_1$.

Fig. 4.20.

Comprimarea în două trepte.

Puterea necesară în comprimare se calculează înlocuind în expresia lucrului mecanic, volumul V_1 cu debitul de gaz comprimat V_c ; acesta din urmă se calculează cu relația :

$$V_c = \eta'_v \cdot v \cdot n_1, \text{ m}^3/\text{s} \quad (4.32)$$

în care η'_v ține seama de pierderile de gaz la comprimare și evacuare, pierderi datorate neetangităților supapei de refulare și între cilindru și piston; n_1 este turația arborelui de acționare, rot/s; v - volumul efectiv de gaz aspirat.

Din relațiile (4.28) și (4.32) se obține :

$$V_c = \eta'_v \cdot \eta_v \cdot V_1 \cdot n_1, \text{ m}^3/\text{s} \quad (4.33)$$

în care $\eta'_v \cdot \eta_v = \eta_u$ - randamentul de utilizare a compresorului. Înlocuind volumul V_1 descris de piston cu produsul între aria secțiunii pistonului (A) și lungimea cursei pistonului (l), re-

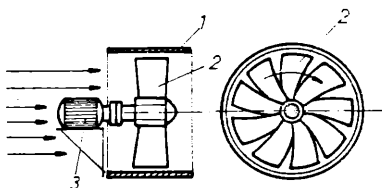


Fig. 4.23.

Ventilator axial.

1 - carcasă ; 2 - rotor ; 3 - electromotor. axiale servesc în special pentru scoaterea aerului dintr-o încălă, numindu-se din acest motiv exhaustoare.

Ventilatoarele centrifugale sau radiale sînt mult mai răspîndite în practica industrială. Principiul lor de funcționare este asemănător cu acela al unei pompe centrifuge cu o singură treaptă : un rotor cu palete antrenează în mișcare gazul care se deplasează între palete de la axul rotorului spre periferia sa iar de aici între rotor și carcasă spre racordul de evacuare.

Ventilatoarele centrifugale se construiesc în numeroase variante. După înclinația paletelor rotorului se deosebesc (v. fig. 4.24) : a) - rotor cu palete orientate înapoi față de sensul de rotație ; b) - rotor cu palete orientate înainte ; c) - rotor cu palete drepte. După felul aspirației se deosebesc ventilatoare centrifugale monoaspirante și dublu aspirante. După cuplarea rotorului se întîlnesc ventilatoare cu rotorul cuplat direct pe arborele motorului, ventilatoare cu rotorul cuplat prin cuplaj elastic cu arborele motorului și ventilatoare

în exterior ; în ambele situații prin rotirea eliceii ia naștere o forță axială care deplasează aerul, paralel cu arborele, dintr-o parte a carcasei spre cealaltă.

Ventilatoarele

seama de pierderile de energie datorate frecării subansamblelor în mișcare (arbore și lagăre, piston și cilindru, supape și ghidaje, rotor și carcasă etc.) ;

- randamentul hidraulic al pompei, $\eta_h = P_g/P_i$, definit prin relația (4.3), ține aici seama de pierderile de energie prin frecările și șecurile lichidului în pompă ;

- randamentul volumic al pompei, $\eta_v = P_u/P_g$, definit prin relația (4.1), ține aici seama de consumul suplimentar de energie pentru a acoperi pierderile de debit ;

- randamentul total al pompei η_p este dat de produsul dintre randamentul volumic, hidraulic și mecanic :

$$\eta_p = \eta_v \cdot \eta_h \cdot \eta_m ;$$

- randamentul total al agregatului sau al instalației de pompare η_t se calculează ca produs între randamentul pompei, randamentul transmisiei și randamentul motorului : $\eta_t = \eta_p \cdot \eta_{tr} \cdot \eta_{mot}.$

Puterea necesară P_n se calculează cu relația :

$$P_n = \frac{H_m \cdot \rho \cdot g \cdot V_s}{1000}, \text{ kW} \quad (4.7)$$

în care : H_m este înălțimea manometrică a sistemului și se calculează cu relația (1.75) ;

V_s - debitul de lichid ce trebuie transportat, m^3/s ;

ρ - densitatea lichidului, Kg/m^3 ;

g - accelerația gravitațională, m/s^2 .

Puterea de antrenare P_a se calculează după ce s-a ales tipul de pompă. De exemplu pentru o pompă care are debitul real V_{s_r} , înălțimea manometrică efectivă H_{m_e} și randamentul η_p :

impusă. În aceste condiții este necesar să se cunoască din încercările la bancul de probă variația înălțimii manometrice efective, a puterii de antrenare și a randamentului pompei, în funcție de debit, la turație constantă. Rezultatele încercărilor sînt trasate într-o diagramă aflată în fișa tehnică a pompei și numită diagrama caracteristicilor de funcționare sau caracteristica de lucru a pompei centrifuge. În figura 4.12 este dată o astfel de diagramă.

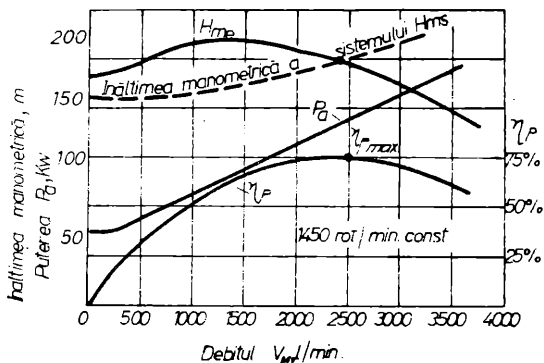


Fig. 4.12.

Diagrama caracteristicilor de funcționare a pompei centrifuge.

Punctul de intersecție a înălțimii manometrice efective a pompei cu înălțimea manometrică a sistemului se numește punct de lucru. Debitul corespunzător acestui punct este debitul maxim al pompei pînă la care ea îndeplinește condiția $H_m \leq H_{m_0}$. Peste acest debit pompa nu mai poate transfera lichidului energia impusă de condițiile sistemului (nu-i mărește suficient presiunea statică sau nu-l ridică pînă la cota geometrică impusă). Pompa este bine aleasă dacă debitul corespunzător

h_{p_a} - pierderile de energie pe porțiunea de aspirație, exprimate în înălțime ;

ρ - densitatea lichidului ;

g - accelerația gravitațională ;

p_a - presiunea statică a lichidului aspirat în pompă ;

w_a - viteza cu care se deplasează lichidul în pompă, la aspirație.

Dacă se rezolvă ecuația (4.4) în raport cu H_a se obține:

$$H_a = \frac{p_1}{\rho \cdot g} - \frac{p_a}{\rho \cdot g} + \frac{w_1^2 - w_a^2}{2 \cdot g} - h_{p_a} , \quad (4.5)$$

Pentru calculul efectiv al înălțimii de aspirație se mai fac următoarele observații :

- în cazul cînd rezervorul de aspirație este deschis, p_1 se înlocuiește cu presiunea barometrică p_b , care depinde de altitudinea locului de amplasare a instalației de pompare ;

- presiunea p_a nu trebuie să fie mai mică decît presiunea de vapori p_v a lichidului la temperatura la care se face aspirația. În caz contrar, o parte din lichidul aspirat se transformă în vapori în interiorul pompei, ceea ce duce la apariția fenomenului de cavitație. Fenomenul de cavitație constă în spargerea bulelor de vapori din masa de lichid, datorită presiunilor locale mai mari decît presiunea de vapori ; lichidul umple spațiul ocupat de bule cu viteze locale foarte mari care au efectul unor lovituri de berbec asupra subansamblor pompei pe care le deteriorează ;

- termenul care conține vitezele în ecuația (4.5) are valoare mică și, în general, se neglijează.

Pe baza considerațiilor făcute, înălțimea de aspirație se calculează din condiția :

unde : D - diametrul pistonului, m ;

l - lungimea cursei pistonului, m ;

n - numărul de rotații pe secundă ale arborelui motor.

Debitul real se calculează prin intermediul relației (4.1) considerând $\eta_v = 0,85 - 0,99$.

Debitul pompelor cu piston cu dublu efect este de două ori mai mare decât al celor cu simplu efect, dacă se neglijează volumul ocupat de tija pistonului la una din cursele de refulare ; dacă însă se ia în considerare acest volum se obține relația :

$$V_{st} = \frac{\eta}{4} (2.D^2 - d^2) . l . n , m^3/s \quad (5.12)$$

unde d este diametrul tijei pistonului, m .

Construcția principalelor părți componente ale pompelor cu piston

Plunjerul este un corp cilindric executat în general din fontă și avînd tija din oțel. El este indicat la pompele utilizate pentru lichide cu fază solidă în suspensie sau pentru nămoluri. Diametrul plunjerului fiind mai mic decât al cilindrului pompei nu au loc frecări între cele două subansamble și, drept urmare uzura lor este mai mică.

Pistonul disc este executat din fontă, bronz de mașini, aluminiu etc. Etanșarea între cilindrul pompei și pistonul disc se realizează prin intermediul unor segmenti din oțel sau cu manșete din gutapercă, cauciuc, piele, introduse în canale practicate pe circumferința pistonului (v.fig. 4.8).

Presetupa este un ansamblu de piese, servind pentru etanșare la ieșirea organelor mobile din spații fixe (de exemplu, la ieșirea tijei pistonului din corpul pompei). O presetupă este formată din corpul 1, inelul de presiune 2, bușele 3 și 4 din

Turbosuflantele de presiuni mici se construiesc cu un singur rotor. Suprapresiunea creată de acestea nu depășește 0,15 at. Pentru presiuni mai mari se construiesc turbosuflante și turbocompresoare cu mai multe trepte. Turbosuflantele cu mai multe trepte au mai multe rotoare, de dimensiuni egale, cuplate pe același arbore ; turbocompresoarele au mai multe rotoare la care diametrul scade iar grosimea paletelor crește spre racordul de evacuare unde presiunea gazului, respectiv, solicitarea mecanică este mai mare.

Presiunea creată de turbosuflantele cu mai multe trepte variază de la 1,3 la 4 ata iar la turbocompresoarele obișnuite 4 - 10 ata și 30 ata la cele de construcție specială.

4.1.3.6. Ventilatoare centrifugale și axiale

Ventilatoarele sînt mașini care transportă gazele la presiunea atmosferică. Suprapresiunea creată de un ventilator servește doar pentru învingerea rezistențelor la curgerea gazului și pentru a imprima acestuia viteza de curgere.

După principiul de funcționare se deosebesc două tipuri de ventilatoare : axiale sau cu elice și centrifugale sau radiale. Un ventilator axial sau cu elice (v. fig. 4.23) constă dintr-o carcasă deschisă la ambele capete în interiorul căreia pe un arbore se află montat un rotor cu palete în formă de elice. Acționarea ventilatorului se face fie prin cuplarea arborelui la un electromotor, fie prin tirajul natural creat de diferența între densitatea aerului într-o incintă și densitatea aerului

Datorită formei melcate a carcasei și amplasării excentrice a rotorului secțiunea spațiului dintre rotor și pereți crește continuu astfel că viteza de curgere a lichidului (energia sa cinetică) scade și ajunge la ieșirea din pompă la 4 - 5 m/s. Are loc în acest fel un proces invers de creștere a presiunii statice a lichidului care este maximă la ieșirea din pompă. Această este convertită apoi, în funcție de cerințele sistemului deservit de pompă, în alte forme de energie (cinetică, potențială etc.).

Pentru o schimbare gradată, fără variații bruște de viteză, a direcției de curgere a lichidului la ieșirea dintre paletele rotorului, pe pereții interiori ai carcasei se assemblează sau se toarnă un așa numit dispozitiv director sau stator. Acesta poate fi cu palete fixe înclinate opus față de cele ale rotorului, sau în forma unor canale inelare sau spirale practicate în pereții carcasei.

Debitul pompelor centrifuge. Debitul volumic teoretic al pompelor centrifuge se calculează cu relația :

$$v_{s_t} = \ell_1 (\pi D_1 - n_p \sigma_p) v_1 \sin \varphi_1 = \frac{\ell_2 (\pi D_2 - n_p \sigma_p) v_2 \sin \varphi_2}{m^3/s} \quad (4.13)$$

Mărimile din ecuația (4.13) reies din figurile 4.10 și 4.11, unde s-a reprezentat mișcarea lichidului în pompă și paralelogramul vitezelor la intrarea și ieșirea dintre paletele rotorului :

w_1, w_2 sînt vitezele relative ale lichidului față de paletă la intrarea și ieșirea din rotor ;

v_{p_1}, v_{p_2} - vitezele periferice cu care lichidul este antrenat în rotație, la intrarea și ieșirea din rotor ;

compresorului ; totodată, datorită inerției supapelor și frecărilor, deschiderea supapei de aspirație se face când presiunea gazului în compresor atinge o valoare corespunzătoare punctului 1' - mai mică decât presiunea p_1 ; gradientul de presiune $p_1 - p_{1'}$, servește pentru învingerea inerției supapei de aspirație și a frecărilor la aspirație. După aspirație are loc comprimarea politropă 2-3" pînă la o presiune $p_{3''}$ mai mare decât presiunea p_2 ; gradientul de presiune $p_{3''} - p_2$ servește pentru învingerea inerției supapei de refulare și a frecărilor la refulare. Cursa de refulare se termină în punctul 4 ; revenirea pistonului în punctul 1' de unde începe o nouă aspirație se face, la compresorul real, printr-o destindere politropă a fracțiunii de gaz ξV_1 care rămîne permanent în corpul compresorului și se numește volumul de gaz din spațiul mort. Mărimea ξ se numește coeficient de spațiu mort și este dată de relația :

$$\xi = \frac{V_0 - V_1}{V_1} \quad (4.27)$$

Volumul de gaz din spațiul mort ocupă în compresor volumul ξV_1 în momentul începerii aspirației gazului din exterior. Rezultă că V - volumul efectiv de gaz aspirat în compresor este mai mic decât V_1 - volumul descris de piston. Raportul V/V_1 se numește grad de umplere a compresorului :

$$\eta_v = \frac{V}{V_1} \quad (4.28)$$

Din figura (4.19.b) se observă că :

$$V = V_1 - (\xi V_1 - x V_1) = V_1(1 - \xi + x)$$

sau :

$$\frac{V}{V_1} = \eta_v = 1 + \xi - x \Rightarrow x = 1 + \xi - \eta_v \quad (4.29)$$

4.1.2.2.1. Pompe cu piston

Pompele cu piston sînt încă mult utilizate în situațiile cînd trebuie transportate debite mici de lichid dar la presiuni (înălțimi manometrice) ridicate.

În principiu o pompă cu piston (v. fig. 4.6) constă din corpul sau cilindrul pompei 1, pistonul 2, cu tija 3, supapele de admisie 4 și de refulare 5 și sistemul de acționare 6. Pistonul execută o mișcare alternativă de "du-te - vine" în interiorul corpului pompei și în timpul acestei mișcări lichidul de transportat este aspirat și evacuat din pompă prin spațiul supapelor. Deschiderea și închiderea supapelor se realizează fie printr-un sistem comandat (de exemplu un ax cu came) fie pe seama presiunii și depresiunii create în interiorul pompei la deplasarea alternativă a pistonului. Pentru lichide care con-

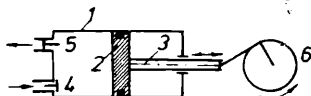


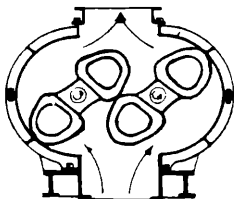
Fig.4.6.

țin fază solidă în suspensie se utilizează pompe cu piston plonjer sau plunjer (v.fig. 4.7). La deplasarea plunjerului 4 spre dreapta se creează o depresiune în

Pompă cu piston disc. corpul 5 al pompei datorită căreia lichidul se ridică prin conducta de aspirație 1 și umple spațiul liber din corpul pompei ; la cursa inversă, datorită presiunii lichidului, se închide supapa 3 și se deschide supapa de refulare 6, lichidul fiind evacuat pe conducta 8. Socurile lichidului asupra corpului pompei sînt atenuate de camerele cu aer, sau domurile, 2 și 7.

drogen, acetilenă). Dezavantaje : gazul iese din mașină saturat cu vaporii lichidului care formează inelul ; randamentul nu depășește 45 %.

În figura 4.22 este reprezentată o suflantă cu doi lobi numită și suflantă cu "pișcoți". Mașina constă dintr-o carcasă aproximativ eliptică în secțiune transversală, în interiorul



căreia se rotesc în sensuri opuse două pistoane având în secțiune forma unor lobi sau a unor pișcoți. Pistoanele se rotesc etanș atât între ele cât și față de carcasă și gazul este transportat dinspre aspirație spre refulare în celulele formate între piston și carcasă.

Fig. 4.22.
Suflantă cu doi lobi .

Suflantele comprimă și transportă gazele la presiuni care nu depășesc 5 at.

4.1.3.5. Turbosuflante și turbocompresoare

Turbosuflantele și turbocompresoarele au principiul de funcționare asemănător cu al pompelor centrifuge : sub acțiunea forței centrifuge gazul este aspirat între paletele unui rotor și apoi comprimat și transportat spre racordul de evacuare. Datorită viscozității mici a gazelor, paletele rotorului sînt subțiri și în număr mai mare față de cele de la rotorul pompei centrifuge ; de asemenea carcasa are diametrul mai mare.

robinetul de reglaj 4. După punerea în funcțiune a motorului care acționează pompa, se deschide treptat robinetul 4 și,

pentru fiecare poziție a sa, se fac citirile la vacuometrul 2 și manometrul 3. Înălțimea manometrică efectivă se calculează cu relația :

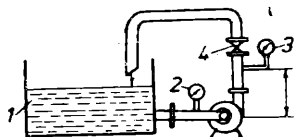


Fig. 4.4.

Determinarea înălțimii manometrice efective a pompelor.

în care :

$$H_{m_e} = \frac{P_{ref} - P_{asp}}{\rho \cdot g} + h_0, \text{ m} \quad (4.2)$$

P_{ref} este presiunea absolută a lichidului pe conducta de refluxare, N/m^2 ;

P_{asp} - presiunea absolută a lichidului pe conducta de aspirație, N/m^2 ;

ρ - densitatea lichidului de încercare, Kg/m^3 ;

g - accelerația gravitațională, m/s^2 ;

h_0 - diferența pe verticală între punctele de fixare a celor două instrumente de măsurare a presiunii, m.

Înălțimea manometrică reprezintă, ca sens fizic, înălțimea unei coloane de lichid a cărei energie potențială este egală cu energia transferată lichidului prin intermediul pompei.

Înălțimea manometrică teoretică a pompei, ține seama și de pierderile de energie datorate frecărilor lichidului în corpul pompei.

Rendamentul hidraulic al pompei η_h , reprezintă raportul dintre înălțimea manometrică efectivă și înălțimea manometrică teoretică a pompei :

$$\eta_h = \frac{H_{m_e}}{H_{m_t}} \quad (4.3)$$

4.1.3.7. Întreținerea și exploatarea compresoarelor și ventilatoarelor. Protecția muncii

În general proiectarea compresoarelor se face astfel încît să se asigure zece ani de funcționare continuă a acestora. În timpul funcționării compresoarelor pot apărea însă unele defecțiuni care, dacă nu sînt depistate și înlăturate se pot transforma în avarii care pot conduce la distrugerea compresorului. Aceste avarii pot apărea în anumite situații și anume :

- depășirea sarcinii la care este dimensionată tija;
- uzura excesivă la piston, cilindri, segmenti și tijă ;
- spargerea supapelor ;
- vibrații excesive.

În timpul funcționării compresorului, întreținerea constă în verificarea presiunii la diferite etaje, verificarea temperaturii gazului comprimat la ieșirea din fiecare cilindru, supravegherea sistemului de răcire a compresorului, supravegherea sistemului de ungere cu ulei, supravegherea elementelor de mișcare alternativă și a lagărelor arborelui cotit.

În timpul opririi compresoarelor (la utilajele ce funcționează discontinuu) se verifică nivelul uleiului în carter, se controlează strîngerea lagărelor reglabile, se demontează și se verifică supapele care prezintă zgomote anormale în timpul funcționării.

În timpul exploatării ventilatoarelor este necesară efectuarea unor verificări cum ar fi :

4.1.2.1. Relații și mărimi caracteristice în transportul lichidelor

Mărimile caracteristice implicate în calcule cu scopul alegerii pompelor se referă la sistem (de exemplu, debitul impus, înălțimea manometrică a sistemului, puterea necesară); la pompă (debitul real al pompei, înălțimea manometrică, randamentul pompei), sau, atât la sistem cât și la pompă (de exemplu, înălțimea de aspirație).

Debitul masic al pompei, reprezintă masa de lichid transportat de pompă în unitatea de timp.

Debitul volumic al pompei, reprezintă volumul de lichid transportat de pompă în unitatea de timp. Se face deosebirea între debitul volumic teoretic V_{st} și debitul volumic real V_{sr} al pompei. Acesta din urmă este mai mic, datorită pierderilor prin neetanșietăți.

Randamentul volumic al pompei η_v , reprezintă raportul dintre debitul volumic real și cel teoretic :

$$\eta_v = \frac{V_{sr}}{V_{st}} \quad (4.1.)$$

Înălțimea manometrică efectivă a pompei este o mărime caracteristică determinată de fabricile constructoare și înscrisă, împreună cu debitul volumic real, pe placa de timbru aplicată pe pompă. Incercările se fac pe un montaj redat schematic în figura 4.4 : pompa aspiră din rezervorul 1 și refulează în același rezervor ; pe conducta de aspirație se află montat vacuometrul 2 iar pe conducta de refulare, manometrul 3 și

După cum s-a văzut, pentru ca sifonul să funcționeze, el trebuie să fie în prealabil umplut cu lichid, să fie amorțat o altă condiție de funcționare impune ca presiunea lichidului în punctul cel mai ridicat al sifonului (punctul 1' în fig. 4.13) să fie mai mare decât presiunea vaporilor saturați ai lichidului, la temperatura de lucru. Presiunea statică p' a lichidului în punctul 1' se calculează aplicând ecuația Bernoulli între secțiunea 1-1 și secțiunea la nivelul punctului 1' :

$$p' = p_1 + \rho \cdot g \left(\Delta H_1 - \frac{w^2}{2 \cdot g} \right) - \Delta p_{f_1} \quad (4.16)$$

În relația (4.16) ΔH_1 este diferența de nivel între punctul 1' și suprafața lichidului din vasul superior, m ;

w - viteza de scurgere a lichidului, m/s ;

p_1 - presiunea care se exercită la suprafața lichidului în vasul superior, N/m² ;

p' - presiunea statică a lichidului în punctul 1', N/m² ;

ρ - densitatea lichidului, Kg/m³ ;

Δp_{f_1} - pierderile de presiune între secțiunile considerate, N/m² ;

g - accelerația gravitațională, m/s².

Viteza de scurgere a lichidului prin sifon se calculează aplicând ecuația Bernoulli între secțiunile 1-1 și 2-2 :

$$g \cdot \Delta H_2 - \frac{w^2}{2} + \frac{p_1 - p_2}{\rho} - \frac{\Delta p_{f_2}}{\rho} = 0 \quad (4.17)$$

sau :

$$w = \sqrt{2 \left(g \cdot \Delta H_2 + \frac{p_1 - p_2}{\rho} - \frac{\Delta p_{f_2}}{\rho} \right)} \quad (4.18)$$

în care : ΔH_2 este diferența de nivel între secțiunile 1-1 și 2-2 ; p_2 - presiunea la ieșirea din sifon ; Δp_{f_2} - pierde-

În procesul izoterm comprimarea se face la temperatură constantă, căldura dezvoltată fiind, integral, eliminată în exterior prin sistemul de răcire al mașinii.

În procesul adiabatic comprimarea gazului se face fără schimb de căldură cu exteriorul și căldura dezvoltată la comprimare servește pentru ridicarea temperaturii gazului.

Cele două procese sînt teoretice, nerealizabile pentru că, pe de o parte, oricît ar fi de perfecționat sistemul de răcire al mașinii există totuși o anumită rezistență la transferul de căldură iar pe de altă parte, nu există posibilitatea unei izolări termice perfecte a compresorului astfel că o parte din căldura dezvoltată la comprimare se pierde în exterior.

În procesul real, comprimarea este politropă, o parte din căldura dezvoltată la comprimare se elimină prin sistemul de răcire al mașinii iar o parte servește pentru ridicarea temperaturii gazului.

În schema din figura 4.18 este prezentat un compresor cu piston, al cărui principiu de funcționare este asemănător cu acela al unei pompe cu piston pentru lichide. Ciclul de lucru al compresorului cuprinde patru faze : aspirația sau admisia

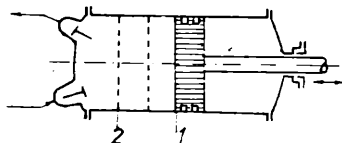


Fig. 4.18.
Compresor cu piston.

cu rotorul cuplat cu arborele motorului prin intermediul unui reductor : transmisia de la motor la reductor se face prin lanț sau curele trapezoidale. În figura 4.25 este prezentat schematic un ventilator centrifugal avînd rotorul cuplat cu arborele motorului printr-un cuplaj elastic.

Ventilatoarele centrifugale au aceleași mărimi caracteristice cu a pompelor centrifuge monoetajate ; înălțimea mano-

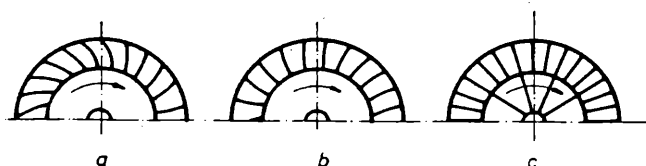


Fig. 4.24.

Rotoare pentru ventilatoare centrifugale.

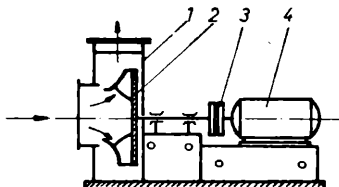


Fig. 4.25.

Ventilator centrifugal cu rotor cuplat prin cuplaj elastic :
1-carcasă; 2-rotor; 3-cuplaj elastic; 4-electromotor.

metrică și puterea se calculează ca la pompele centrifuge. Presiunea totală creată de ventilator se consideră presiunea totală a gazului măsurată pe racordul de ieșire din ventilator. În mod

cu totul convențional ventilatoarele se împart în :

- ventilatoare de joasă presiune : $20 < \Delta p_t < 100 \text{ mm H}_2\text{O}$;
- ventilatoare de presiune

medie : $100 < \Delta p_t < 300 \text{ mm H}_2\text{O}$;

Înainte de punerea în funcțiune a motorului care acționează în rotație arborele și, împreună cu acesta, rotorul, se umple pompa cu lichid ; dacă ea este imersată, umplerea se face de la sine. Se pornește apoi motorul. Lichidul aflat între paletetele rotorului este acționat în mișcare de rotație împreună cu acesta și datorită forței centrifuge se deplasează, între palete, spre periferia rotorului. Cum forța centrifugă crește cu raza de rotație, lichidul se va deplasa de la axul rotorului spre periferie cu o viteză (energie cinetică) din ce în ce mai mare. Creșterea energiei cinetice se face pe seama presiunii statice a lichidului, care scade ; se creează în acest fel o diferență între presiunea lichidului în exteriorul pompei și aceea a lichidului la axul rotorului, datorită căreia lichidul pătrunde continuu din exterior între paletetele rotorului.

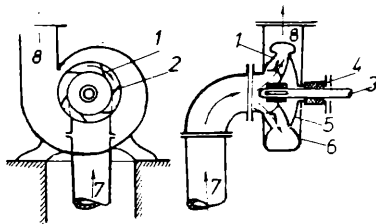


Fig.4.9.

Pompă centrifugă.

La ieșirea dintre paletetele rotorului, cu o viteză de 10-15 m/s, lichidul este proiectat între rotor și pereții interiori ai carcasei și se deplasează în sensul de rotație al rotorului.

deschiderea este executată la momente prestabilite prin calcul de către mecanisme acţionate de arborele motor.

O bună funcţionare a pompei este realizată când supapele satisfac următoarele condiţii :

- închid perfect trecerea lichidului ;
- nu se blochează la deschidere ;
- opun rezistenţă hidraulică cât mai mică ;
- funcţionează fără zgomot ;
- rezistă la acţiunea cerozivă a lichidului.

Supapele se construiesc în multe variante, cum ar fi : supape disc sau plate, supape conice, inelare, sferice, clapete etc. (v. fig. 4.8).

În cazul uzurii nu prea avansate, supapele se pot rectifica în vederea refolosirii lor.

4.1.2.2.2. Pompe centrifuge

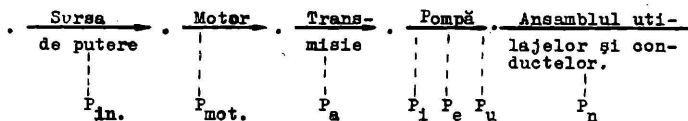
Pompele centrifuge sînt cele mai răspîndite maşini pentru transportul lichidelor. În construcţie clasică, o pompă centrifugă este formată dintr-un rotor 1 (v. fig. 4.9), prevăzut cu paletele 2 şi fixat prin butuc şi canal de pană pe arborele de acţiune 3. Rotorul este amplasat excentric în carcasa 5, sau corpul pompei, care are prevăzut prin turnare spaţiul melcat 6 ; corpul pompei este prevăzut cu racordul axial de aspiraţie 7 şi cu racordul tangenţial de refulare 8. Etanşarea la ieşirea arborelui din corpul pompei se face cu presetupa 4.

Principiul de funcţionare al pompei este următorul :

$$H_a \leq \frac{P_b}{\rho \cdot g} - \frac{P_v}{\rho \cdot g} - h_{p_a}, \text{ m} \quad (4.6)$$

Deoarece ultimii doi termeni în ecuația (4.6) au valoare negativă există posibilitatea ca și înălțimea de aspirație să rezulte cu semn negativ. În astfel de situații pompa va trebui să fie amplasată sub nivelul lichidului din spațiul de aspirație ; pompele care lucrează în aceste condiții se numesc inecate sau imersate. Pentru apă la temperatura de 15°C înălțimea de aspirație este $H_a \leq 6$ m. Dacă temperatura de lucru este mai mare, înălțimea de aspirație scade.

Calculul puterilor în transportul lichidelor. Puterile care se definesc la un agregat de pompare reies din schema de mai jos :



P_{in.} este puterea instalată a sistemului de acționare ;

P_{mot.} - puterea motorului ;

P_a - puterea de antrenare ;

P_i - puterea indicată ;

P_e - puterea efectivă ;

P_u - puterea utilă ;

P_n - puterea necesară.

Raportând două câte două puterile menționate, se pot defini următoarele randamente :

- randamentul transmisiei dintre motor și pompă,

$\eta_{t_x} = P_a / P_{mot.}$ ținând seama de pierderile de energie determinate de sistemul

randamentul mecanic al pompei $= P_e / P_a$ ținând

cu care se calculează lucrul mecanic în procesele de comprimare.

Pentru comprimarea izotermă a unui gaz perfect, corelația între p și V se stabilește pe baza legii Boyle - Mariotte :

$$V = \frac{nRT}{p}, \text{ m}^3$$

cu care se calculează lucrul mecanic :

$$L_{m_{iz}} = n R T \ln \frac{p_2}{p_1}, \text{ J} \quad (4.24)$$

Pentru comprimarea adiabată se scrie :

$$p V^k = p_1 V_1^k = \dots = \text{const.} \quad (4.25)$$

de unde

$$V = \frac{p_1^{1/k} \cdot V_1}{p^{1/k}}$$

care introdus în relația (4.23) conduce la soluția :

$$L_{m_{ad}} = \frac{k}{k-1} p_1 V_1 \cdot \left[\left(\frac{p_2}{p_1} \right)^{\frac{k-1}{k}} - 1 \right], \text{ J} \quad (4.26)$$

Cu ecuația (4.26) se calculează lucrul mecanic la comprimarea adiabatică ; coeficientul adiabatic $k = C_p/C_v$ unde C_p este capacitatea calorică molară a gazului la presiune constantă iar C_v - capacitatea calorică molară la volum constant.

Lucrul mecanic la comprimarea politropă se calculează tot cu relația (4.26) în care, în locul coeficientului adiabatic se folosește un coeficient politropic ; pentru aer coeficientul politropic are valoarea 1,3.

În relațiile pentru calculul lucrului mecanic în comprimare p_1 și V_1 reprezintă presiunea și volumul gazului în compresor după aspirație iar p_2 și V_2 presiunea și volumul gazului în compresor după comprimare.

P A R T E A a I I - a

OPERATII UNITARE

Capitolul 4. O P E R A T I I U N I T A R E C U T R A N S F E R D E I M P U L S

4.1. TRANSPORTUL FLUIDELOR

Fluidele se deplasează prin conducte, canale și aparate sub acțiunea unei energii primite din exterior sau - în cazul lichidelor - sub acțiunea energiei potențiale creată de o diferență de nivel.

Transferul energiei de la o sursă exterioară la fluid se realizează prin intermediul unor utilaje statice sau al mașinilor. În practică atât utilajele statice cât și mașinile sînt denumite cu termeni ca : pompe, ventilatoare, turbocompresoare, injectoare, ejectoare etc. În continuare denumirea de pompă se va referi, în principal, la utilajul utilizat pentru transferul energiei de la o sursă exterioară la un lichid.

Energia consumată din exterior este convertită prin intermediul utilajelor amintite, funcție de cerințe, în energie de presiune, energie potențială și energie cinetică a fluidelor.

Comparație între pompele centrifuge și cele cu piston

Deși pompele centrifuge au un randament cu 10 - 15 % mai mic decât al pompelor cu piston, au față de acestea avantaje incontestabile, din care se amintesc :

- dimensiuni reduse (gabarit redus) și posibilitatea de a fi cuplate direct la electromotor. Aceste aspecte fac ca prețul de cost de investiție, mentare și exploatare să fie mai redus decât al pompelor cu piston ;

- pompele centrifuge sînt convenabile cînd se operează cu debite mari de lichid în sisteme cu înălțimi manometrice mici ;

- sînt indicate pentru transportul lichidelor cu fază solidă în suspensie, deoarece nu au supape care s-ar deteriora în aceste condiții ;

- debitul pompelor centrifuge crește uniform și nu pulsatoriu ca la cele cu piston ; reglarea debitului se face ușor, printr-un simplu robinet montat pe conducta de refulare ;

- subansamblele pompelor centrifuge pot fi executate din materiale rezistente la agenți corosivi (porțelan, sticlă, teflon, materiale ceramice etc.).

4.1.2.2.3. P o m p e r o t a t i v e

La pompele de acest tip, pistoanele se rotesc etanș într-o carcasă fixă. Caracteristicile de bază ale pompelor rotative sînt :

- lipsa supapelor ;

lația (4.33) devine :

$$V_c = \eta_u \cdot A \cdot l \cdot n_1, \text{ m}^3/\text{s} \quad (4.34)$$

În cazul compresorului cu piston cu dublu efect debitul de gaz comprimat se calculează în mod asemănător, dar volumul V_1 - descris de piston la o rotație a sistemului de acționare este :

$$V_1 = (2A - a) \cdot l \cdot \pi^3 \quad (4.35)$$

în care a - secțiunea tijei pistonului.

Înlocuind V_c în relația (4.26) se obține :

$$P = \frac{n}{n-1} P_1 \cdot V_c \cdot \left[\left(\frac{P_2}{P_1} \right)^{n-1/n} - 1 \right] \cdot \frac{1}{1000}, \text{ kW} \quad (4.36)$$

unde: P este puterea necesară în comprimare ;

n - coeficientul politropic introdus în locul coeficientului adiabatic.;

Puterea motorului care acționează compresorul se consideră:

$$P_m = P/\eta \quad (4.37)$$

unde η este randamentul total al instalației de comprimare și are valori cuprinse între 0,45 și 0,65.

4.1.3.4. Compresoare rotative

Pentru comprimarea și transportul gazelor la presiuni nu prea ridicate, în locul compresoarelor cu piston cu mișcare alternativă, se folosesc compresoare la care organul principal în mișcare execută o mișcare rotativă.

În figura 4.21 este prezentat compresorul cu inel de lichid sau mașina cu inel de lichid (M.I.L.). El constă dintr-o

- presiuni mari la refularea lichidului, (pînă la 300 at.) ;
- lubrificația se face cel mai adesea chiar de către lichidul transportat ;
- pot transporta lichide cu vîscozitate foarte mare (de exemplu, tepituri de polimeri), dar complet lipsite de fază solidă.

În figura 4.13 este dată pompa cu roți dințate, cea mai răspîndită varietate de pompă rotativă. Pompa este formată din

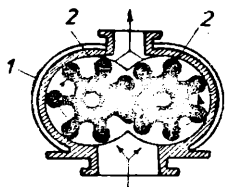


Fig. 4.13.

Pompă cu roți dințate.

pistoanele 2 în forma unor roți dințate care se rotesc în sensuri opuse. Dinții roților se îmbină etanș între ei și tot etanș se deplasează față de carcasa fixă 1, de formă aproximativ eliptică în secțiune transversală. Lichidul este transportat în celulele formate între dinții roților și peretele inte-

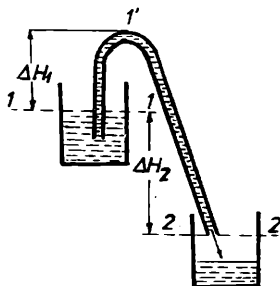
rior al carcasei. Debitul pompelor cu roți dințate variază de la câțiva cm^3 pe minut (la pompele dozatoare) pînă la $20 \text{ m}^3/\text{h}$. Au uzură mare și fac mult zgomot ; randamentul lor este cuprins între 0,6 și 0,7.

4.1.2.2.4. Pompe fără elemente mobile

Pompele din această grupă se caracterizează prin lipsa organelor principale în mișcare. Ele nu servesc propriu-zis pentru transportul lichidelor ci, mai ales, pentru transvazarea sau ridicarea pe verticală a lichidelor corozive.

Ca pompe fără elemente mobile se utilizează sifoanele, monte-jusurile, injectoarele și ejectoarele.

În figura 4.14 este arătat principiul de funcționare al unui sifon : o țeavă îndoită în formă de U este umplută cu



lichid și scufundată cu ramura mai scurtă în lichidul care trebuie transvazat ; lichidul din ramura mai lungă se scurge sub acțiunea forței de gravitație în vasul inferior și creează o depresiune în ramura mai scurtă. Datorită depresiunii create lichidul din vasul superior urcă în ramura scurtă și continuă să se scurgă prin ramura mai lungă până când nivelul lichidului

Fig. 4.14.

Principiul de funcționare al sifonului.

din vasul superior devine mai scăzut decât capătul ramurii scurte a sifonului.

Înălțimea de aspirație este o mărime care se referă atât la pompă cât și la sistemul pe care-l deservește. Cunoașterea înălțimii de aspirație este necesară în vederea amplasării pompei. În schema din figura 4.5 se dau elementele implicate în calculul înălțimii de aspirație : pompa aspiră lichidul

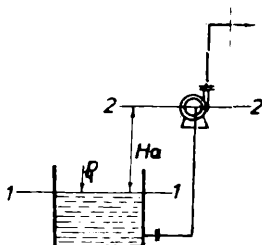


Fig.4.5.

Elemente pentru calculul înălțimii de aspirație.

În curgere pe porțiunea de aspirație. Pentru secțiunile considerate, bilanțul macroscopic de energie (ecuația Bernoulli în termeni de înălțimi) are forma :

$$\frac{P_1}{\rho \cdot g} + \frac{w_1^2}{2g} = H_a + \frac{P_a}{\rho \cdot g} + \frac{w_a^2}{2g} + h_{p_a} \quad (4.4)$$

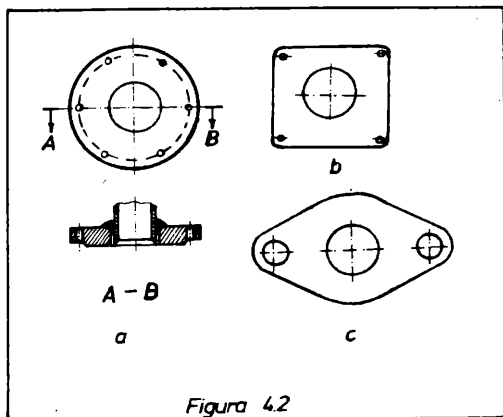
unde :

P_1 este presiunea care se exercită la suprafața lichidului în spațiul din care aspiră pompa ;

w_1 - viteza de golire a rezervorului din care aspiră pompa ;

H_a - înălțimea de aspirație ;

dintr-un rezervor închis sau deschis. Conform principiului conservării energiei, suma energiilor lichidului în secțiunea 1-1 (considerată la suprafața lichidului) este egală cu suma energiilor lichidului în secțiunea 2-2 (considerată la intrarea în pompă), plus energia pierdută, datorită rezistențelor



Tipuri de flanșe : a - circulară ; b - pătratică ;
c - ovală.

scăpări (scurgeri) de fluid și nu permit o reglare precisă.

Robinetele cu ventil sînt formate din corpul robinetului, ventilul propriu-zis, scaunul ventilului, o tijă cu filet și o cutie de etanșare. Deschiderea sau închiderea secțiunii de trecere se realizează prin mișcarea combinată de rotire și de deplasare axială a tijei.

Robinetele cu sertar - pană sau vanele sînt formate din corpul sau carcasa robinetului, un disc în formă de pană, tijă cu filet și cutia de etanșare.

Atît robinetele cu ventil cît și vanele permit o reglare mai bună a debitului și pot fi utilizate și pentru presiuni mari ale fluidului. Nu se pot folosi pentru fluide cu fază solidă în suspensie deoarece se pot înfunda sau gripa (bloca).

În figura 4.3 sînt date schițele de principiu ale celor

4.1.1. Conducte și armături pentru transportul fluidelor

Conducta este un ansamblu de elemente montate pe un traseu determinat prin care se deplasează fluidele (lichide, gaze, vapori) sau amestecuri de aer și pulberi sau granule de materiale solide.

La alegerea unei conducte trebuie să se țină seama în primul rând de natura și debitul fluidului, de presiunea, temperatura și agresivitatea sa chimică. Pentru aceasta se consultă STAS-uri, norme interne (N.I.) și manuale sau îndrumări pentru coroziune.

Traseul conductelor va fi stabilit pe baza următoarelor recomandări :

- traseul cel mai scurt posibil ;
- schimbările de direcție în număr cât mai redus și cu ceteri rotunjite la 90° ;
- conducta să nu stăjenească amplasarea altor utilaje ;
- acces ușor la robinetele de reglare ;
- pe traseu să se amplaseze cât mai puține robinete, fără a deranja însă funcționarea aparatelor sau posibilitatea de a întrerupe intrarea sau evacuarea fluidelor ;
- conductele să nu fie supuse la eforturi străine (să nu susțină sau să sprijine alte utilaje, grinzi, pereți etc.

Pentru a înlesni citirea planșelor și a planurilor de situații, montarea și exploatarea conductelor, prin STAS

4.1.3.3. Comprimarea în mai multe trepte

Considerînd $p_1 \approx p_1$ relația între volumul xV_1 la care începe aspirația și volumul ξV_1 la care se termină refularea se scrie conform transformării politrope :

$$p_1(xV_1)^n = p_2(\xi V_1)^n$$

care, după împărțire prin V_1^n și extragerea rădăcinii de gradul n , devine :

$$p_1^{1/n} \cdot x = p_2^{1/n} \cdot \xi$$

sau, ținînd cont de ecuația (4.29) :

$$p_1^{1/n}(1 + \xi - \eta_v) = p_2^{1/n} \cdot \xi$$

Ultima ecuație rezolvată în raport cu η_v conduce la expresia :

$$\eta_v = 1 - \xi \cdot \left[\left(\frac{p_2}{p_1} \right)^{1/n} - 1 \right] \quad (4.30)$$

Raportul între presiunea p_2 a gazului după comprimare și presiunea p_1 a gazului la aspirație se numește raport de compresie sau raport de comprimare :

$$z = p_2/p_1 \quad (4.31)$$

Din relația (4.30) se vede că, odată cu creșterea raportului de comprimare, gradul de umplere a compresorului scade. Valoarea raportului de comprimare pentru care gradul de umplere devine zero se numește limită de comprimare. În mod obișnuit compresoarele industriale cu o singură treaptă au raportul de comprimare $z = 6-8$, respectiv, dacă $p_1 = 1$ ata, atunci $p_2 = 6-8$ ata.

rile de presiune la curgerea între secțiunile 1-1 și 2-2.

Dacă cele două vase sînt deschise, $p_1 = p_2$ și, neglijînd pierderile, viteza de scurgere prin sifen se calculează cu ecuația pentru căderea liberă :

$$w = \sqrt{2g \cdot \Delta H_2} \quad (4.19)$$

În figura 4.15 sînt arătate cîteva sifoane în care se evită amorsarea directă, cum este în cazul transvazării lichidelor corosive. Sifonul din figura 4.15.a se amorsează aspirînd aerul din tubul lateral, după ce s-a închis robinetul de

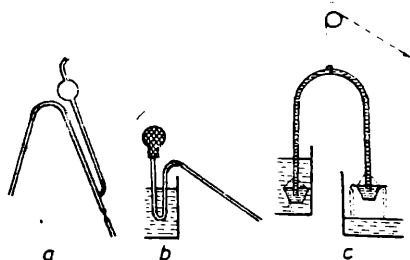


Fig. 4.15.

Sifoane fără amorsare directă : a - cu tub lateral ; b - cu pară de cauciuc ; c - cu saboți.

jos ; cînd lichidul umple ramura din stînga și începe să se scurgă prin cea din dreapta se deschide robinetul de jos, sifonul fiind amorsat. Sifonul din figura 4.15.b se amorsează cu o pară de cauciuc ; cînd se strînge para, aerul iese prin țeava sifonului iar cînd para se destinde, lichidul pătrunde prin orificiul de la baza ramurii îndoită în formă de U și

$$P_a = \frac{H_{m_e} \cdot \rho \cdot g \cdot V_{s_r}}{1000 \cdot \eta_p}, \text{ kW} \quad (4.8)$$

Dacă pompa aleasă nu satisface condiția $H_{m_e} \geq H_m$ și, sau, cerințele de debit $V_{s_r} \geq V_s$, se vor lega în serie, respectiv în paralel mai multe pompe sau se alege alt tip de pompă.

Puterea motorului P_{mot} se calculează luind în considerare randamentul total al agregatului de pompare :

$$P_{mot.} = \frac{H_{m_e} \cdot \rho \cdot g \cdot V_{s_r}}{1000 \cdot \eta_t}, \text{ kW} \quad (4.9)$$

Puterea instalată P_{in} este mai mare decât puterea motorului, pentru a asigura o rezervă la o eventuală supraîncărcare :

$$P_{in} = P_{mot} \cdot \beta, \text{ kW} \quad (4.10)$$

unde β este un factor de instalare.

4.1.2.2. Pompe pentru transportul lichidelor

În instalațiile industriale se utilizează pentru transportul lichidelor o gamă extrem de variată de pompe ; diferențierea între ele se poate face după foarte multe criterii, cum ar fi : principiul de funcționare, caracteristicile constructive, materialul de construcție, debitele și înălțimea manometrică realizate etc. În continuare sînt date tipurile de pompe mai frecvent utilizate.

- stringerea șuruburilor de fundație ;
- coaxialitatea axului ventilatorului cu axul motorului ;
- starea paletelor rotoarelor.

O atenție deosebită trebuie acordată lagărelor ventilatoarelor, deoarece acestea se pot defecta ușor provocând uneori chiar distrugerea rotorului sau a carcasei ventilatorului. De aceea se verifică periodic montarea arborilor în lagăre, încălzirea lagărelor și valoarea jocului dintre fus și lagăr.

Pentru evitarea accidentelor în timpul exploatării compresoarelor și ventilatoarelor trebuie respectate o serie de norme de protecția muncii cum ar fi :

- toate compresoarele și ventilatoarele acționate de electromotoare vor fi dotate cu legături la prizele de pământ;
- compresoarele și ventilatoarele pentru gaze inflamabile vor fi echipate și alimentate antiexploziv ;
- toate organele în mișcare și organele de transmisie vor fi protejate cu apărătoare corespunzătoare ;
- este interzisă amplasarea în aceeași încăpere a două sau mai multe compresoare care lucrează cu gaze incompatibile sau cu gaze toxice și gaze inflamabile diferite.

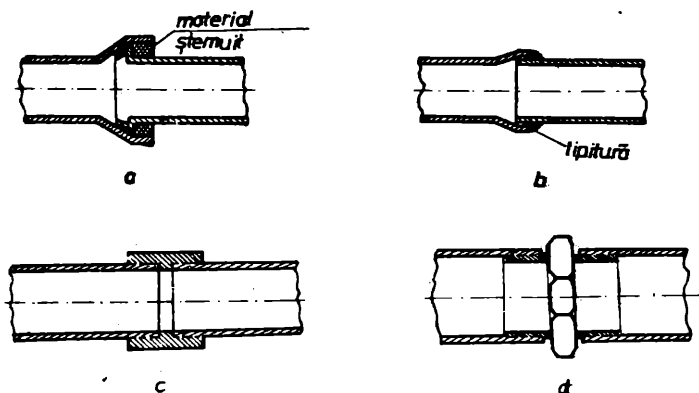


Fig. 4.1.

Tipuri de îmbinări pentru conducte : a - mufă ștemuită ; b - mufă lipită ; c - piuliță elandeză ; d - niplu.

reglării debitelor sau pentru oprirea completă a curgerii. Dintre numeroasele tipuri de armături cel mai des se utilizează robinetele cu cep, robinetele cu ventil și robinetele cu sertar - pană sau vanele.

Robinetul cu cep, numit și cana, este un dispozitiv de închidere format dintr-un dop tronconic cu o gaură transversală (circulară sau eliptică) ; dopul se poate roti într-un locaș, perpendicular pe axa conductei. Robinetele cu cep se folosesc pe conducte cu diametrul mic și la viteze mici de curgere a fluidului, iar pentru gaze, la presiuni joase. Au o construcție simplă, sînt robuste dar au ca dezavantaje

gazului în compresor, comprimarea, evacuarea sau refularea gazului și revenirea pistonului în poziția pentru o nouă aspirație. Din exterior se consumă L_a - lucrul mecanic pentru aspirație, L_c - lucrul mecanic pentru comprimare și L_r - lucrul mecanic pentru refulare. Se reamintește că din punct de vedere termodinamic lucrul mecanic primit de sistem (compresorul, în cazul de față) are semn negativ deoarece el constituie o pierdere pentru mașina care îl furnizează :

$$\begin{aligned} & (\text{Lucrul mecanic pierdut de mediul exterior}) = \\ & = (\text{Lucrul mecanic primit de sistem}) \end{aligned}$$

$$\text{sau :} \quad - L_m = L_a + L_c + L_r \quad (4.20)$$

Admițînd că aspirația se face la presiunea constantă p_1 și refularea la presiunea constantă p_2 relația (4.20) se scrie :

$$- L_m = p_1 \cdot \int_0^{V_1} dV + \int_{V_1}^{V_2} p \cdot dV + p_2 \cdot \int_{V_2}^0 dV \quad (4.21)$$

$$\text{sau :} \quad - L_m = p_1 V_1 - p_2 V_2 + \int_{V_1}^{V_2} p \cdot dV \quad (4.22)$$

Dar :

$$p_1 V_1 - p_2 V_2 = - \int_1^2 d(pV) = - \int_{V_1}^{V_2} p dV - \int_{p_2}^{p_1} V \cdot dp$$

care introdusă în ecuația (4.22) conduce la expresia :

$$L_m = \int_{p_1}^{p_2} V \cdot dp \quad (4.23)$$

punctului de lucru este și cel impus de sistem^{și} dacă el ceres-
punde și randamentului maxim al pompei.

Glasificarea pompelor centrifuge. Pompele centrifuge
se pot clasifica după mai multe criterii :

a) după înălțimea manometrică :

- pompe de joasă presiune ($H_{me} < 20 \text{ m H}_2\text{O}$) ;
- pompe de presiune medie ($20 < H_{me} < 50 \text{ m H}_2\text{O}$) ;
- pompe de înaltă presiune ($H_m > 60 \text{ m H}_2\text{O}$).

b) după poziția arborelui motor :

- pompe cu arbore vertical ;
- pompe cu arbore orizontal .

c) după numărul rotoarelor, montate pe arbore :

- pompe cu un singur rotor, sau monostajate ;
- pompe cu două sau mai multe rotoare, numite bie-

tajate, respectiv polietajate.

d) după caracteristicile constructive :

- cu rotor închis, deschis sau semideschis ;
- cu sau fără stator ;
- cu sau fără presetupă.

e) după modul cum se realizează aspirația :

- cu o singură aspirație ;
- cu dublă aspirație.

Pompele de joasă presiune se construiesc cu un singur ro-
tor iar cele de presiune medie și înaltă cu două sau mai multe
rotoare pe același arbore.

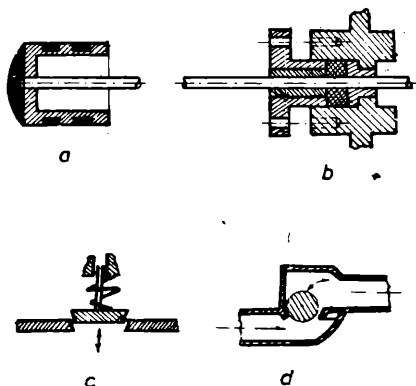


Fig.4.8.

Subansamble ale pompelor cu piston :

a - piston disc ; b - presetupă ;

c - supapă disc sau plată ;

d - supapă sferică.

material anti fricțiune și materialul de etanșare 5 care poate fi cîlți, șnur de asbest, șpan din teflon etc. La strîngerea inelului de presiune materialul de etanșare presează, de ex. pe pistonul 6 realizînd etanșarea. Corpul presetupeii este asamblat rigid sau demontabil cu spațiul fix.

Supapele sînt elementele cele mai importante și mai sensibile în exploatarea pompelor cu piston. Ele pot fi cu deschidere automată, sub acțiunea presiunii lichidului și închidere sub acțiunea greutății proprii sau a unui resort, și cu deschidere comandată. La acestea din urmă închiderea sau

v_1, v_2 - vitezele absolute sau vitezele rezultante, cu care lichidul se deplasează între palete ;

φ_1, φ_2 - unghiurile dintre vitezele rezultante și cele periferice ;

D_1, D_2 - diametrele rotorului, la intrarea, respectiv, la ieșirea lichidului ;

l_1, l_2 - lățimea paletelor ;

δ_p - grosimea paletelor ;

n_p - numărul paletelor.

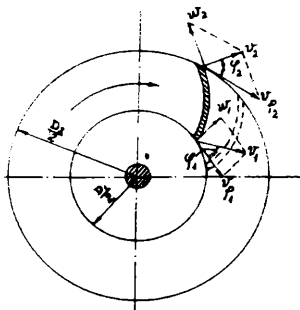


Fig. 4.10.

Mișcarea lichidului între paletăle rotorului.

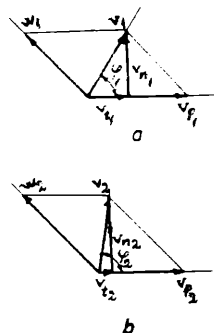


Fig. 4.11.

Paralelogramul vitezelor :
a-la intrarea în rotor ;
b-la ieșirea din rotor.

Debitul volumic real al pompelor centrifuge este legat de cel teoretic prin relația (4.1) unde η_v se ia 0,9-0,98.

Înălțimea manometrică teoretică a pompelor centrifuge se calculează pe baza relației :

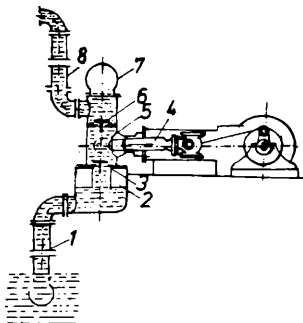


Fig. 4.7.
Pompă cu plunjer.

Pompele cu piston la care refularea se face numai la mișcarea pistonului într-un singur sens se numesc cu simplu efect ; cele care refulează la fiecare cursă a pistonului se numesc cu dublu efect. La pompele cu dublu efect corpul este prevăzut cu cîte două supape de admisie și două de refulare.

Mai multe pompe cu simplu sau cu dublu efect pot avea pistoanele în legătură cu un arbore cotit comun. Pentru uniformizarea debitului, cuplarea pistoanelor pe arbore se face cu un decalaj de 180, 120 sau 90°. Pompele care funcționează în acest mod se numesc duplex, triplex, cvadrupelex etc.

Debitul teoretic al pompelor cu piston cu simplu efect se calculează cu relația :

$$v_{s,t} = \frac{\pi D^2}{4} \cdot l \cdot n \quad m^3/s \quad (4.11)$$

damentul scăzut (15 - 30 %).

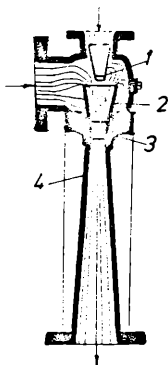


Fig. 4.17.

Injector.

4.1.3. Comprimarea și transportul gazelor

Spre deosebire de lichide, în cazul deplasării gazelor prin conducte și aparate se face, cel mai adesea, și comprimarea sau destinderea lor. Mașinile prin intermediul cărora energia este transferată gazelor sînt : pompele de vid, ventilatoarele, suflantele, turbosuflantele, turbocompressoarele și compresoarele.

4.1.3.1. Moduri de comprimare și de destindere a gazelor. Lucrul mecanic în comprimare

Variația stării unui gaz comprimat sau destins se face prin trei procese : izoterm, adiabat și politrop.

trei tipuri de robinete prezentate.

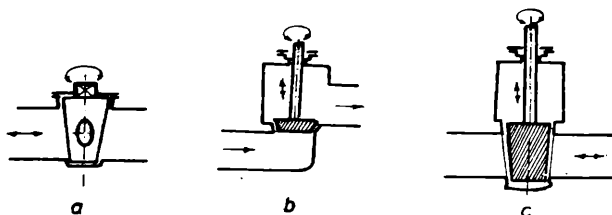


Fig.4.3.

Tipuri de armături : a - robinet cu cep ;
b - robinet cu ventil ; c - robinet cu
sertar - pană sau vană.

4.1.2. Transportul lichidelor

Deplasarea lichidelor în instalațiile tehnologice se realizează cu ajutorul pompelor. Sistemul pe care îl deservește o pompă sau un grup de pompe este format din spațiul de aspirație, ansamblul de conducte și armături și spațiul de refulare. Pompa sau grupul de pompe, împreună cu sistemul pe care-l deservește formează agregatul de pompare.

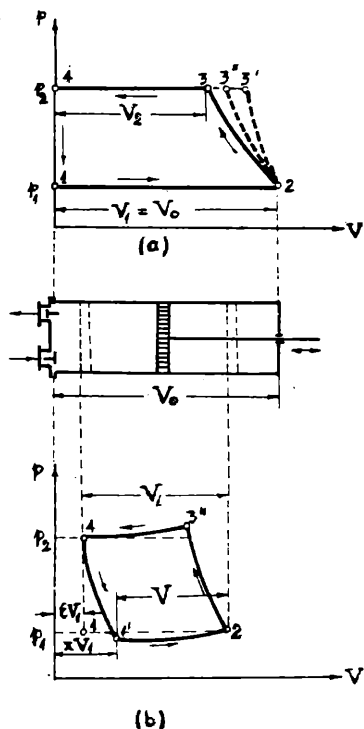


Fig. 4.19.

Diagrama de lucru teoretică și reală a compresorului cu piston. a - diagrama teoretică; b - diagrama reală.

În cazul compresorului real, (v. fig. 4.19.b), datorită grosimii pistonului și a spațiului pentru supape, volumul V_1 descris de piston este mai mic decât volumul V_0 al cilindrului

indici de calitate mediului de dispersie sau recuperare, dacă cea care prezintă importanță este faza dispersă.

Tabelul 4.1.

Sisteme eterogene

Mediul de dispersie	Faza dispersă	Sistemul eterogen
Gaz	Lichid	Ceață
	Solid	Fum, praf, strat fluidizat
	Gaz	Spumă
Lichid	Lichid	Emulsie
	Solid	Suspensie, strat fluidizat

4.2.1. Separarea sistemelor eterogene gazoase

După modul de formare a fazei disperse sistemele neomogene gazoase se împart în :

- Sisteme mecanice (dispersii mecanice), care se formează în timpul unor operații mecanice cum ar fi : sfărâmarea, măcinarea, sortarea, transportul solidelor sau pulverizarea lichidelor.

În aceste situații particulele fine de solide sau lichide rămân în suspensie în gazul din încăpere, aparate sau conducte. În cazul sistemelor mecanice, particulele dispersate au dimensiuni cuprinse între 5 și 50 microni.

- Sisteme condensate, care se formează prin condensarea vaporilor într-un gaz sau, în urma unor reacții chimice, când produsele de reacție sînt lichide sau solide.

Astfel în procesele de ardere a combustibililor, în special solizi și lichizi, se formează fumurile, care reprezintă un sistem eterogen format din particule solide și lichide dispersate într-un amestec de gaze. Un alt exemplu de formare a fumului este reacția în faza gazoasă dintre amoniac și acid clorhidric: $\text{NH}_3(\text{g}) + \text{HCl}(\text{g}) \rightleftharpoons \text{NH}_4\text{Cl}(\text{s})$. La reacția în faza gazoasă dintre trioxidul de sulf și apă: $\text{SO}_3(\text{g}) + \text{H}_2\text{O}(\text{v}) \rightleftharpoons \text{H}_2\text{SO}_4(\text{l})$, acidul sulfuric format determină apariția cetei.

Purificarea gazelor de faza dispersă, se face, în principal, prin următoarele procedee :

1. Purificarea mecanică sau uscată a gazelor, în care separarea se face sub acțiunea unor forțe mecanice (forța gravitațională, forța de inerție, forța centrifugă, forța de presiune);
2. Purificarea umedă (spălarea gazelor), care se realizează prin trecerea gazului printr-un lichid (barbotare) sau prin stropirea gazului cu lichid (pulverizare) ;
3. Purificarea electrică, care se realizează sub acțiunea unui câmp electrostatic ;
4. Purificarea sonică, realizată sub acțiunea unui câmp de unde ultrasonore,

4.2.1.1. Purificarea mecanică a gazelor în câmp gravitațional. Camere de desprăfuire

a. Purificarea sub acțiunea forței de gravitație. Separarea suspensiilor în fazele componente sub acțiunea diferențiată a gravitației asupra fazelor de densități diferite se numește

sedimentare în câmp gravitațional

Viteza de sedimentare. În vid, corpurile cad, sub acțiunea gravitației, cu viteză uniform accelerată :

$$w = g\tau \quad (4.38)$$

Viteza cu care cad corpurile de dimensiuni mari într-un mediu fluid, gazos sau lichid, se poate calcula cu aceeași relație cu o eroare de 0,05 - 0,1 %. La corpurile cu diametrul sub 100μ , căderea se face numai la început cu viteză uniform accelerată, deoarece pe măsură ce crește viteza corpului crește și rezistența mediului, din care cauză, mișcarea devine după scurt timp uniformă. Viteza de cădere în acest moment se numește viteză de sedimentare sau viteză de plutire. Valoarea vitezei de sedimentare, w_0 , rezultă din egalitatea dintre forța activă, dată de greutatea aparentă a particulei, și forța de rezistență a mediului. Pentru o particulă de formă sferică cu diametrul d și densitatea ρ imersată într-un mediu fluid cu densitatea ρ_f , greutatea aparentă este dată de relația :

$$G = \frac{\pi d^3}{6} (\rho - \rho_f)g \quad (4.39)$$

forța de rezistență, determinată de frecarea dintre particulă și mediul fluid și de presiunea dinamică a fluidului, este dată de relația lui Newton.

$$R = \zeta \frac{\pi d^2}{4} \frac{w_0^2}{2} \rho_f \quad (4.40)$$

În relația (4.40) ζ este un coeficient de rezistență, iar $\pi d^2/4$ este proiecția conturului particulei pe un plan perpendicular pe direcția de deplasare.

La echilibru : $G = R$, adică :

$$\frac{\pi d^3}{6} (\rho - \rho_f) g = \zeta \frac{\pi d^2}{4} \frac{w_0^2}{2} \rho_f \quad (4.41)$$

$$w_0 = \sqrt{\frac{4}{3} \frac{d}{\zeta} \frac{g(\rho - \rho_f)}{\rho_f}} \quad (4.42)$$

Relația (4.42) este ecuația generală de calcul a vitezei de sedimentare în câmp gravitațional.

Formind de la considerentul că din punct de vedere hidrodinamic, sedimentarea, poate fi considerată o curgere în jurul unui corp, pentru calculul coeficientului de rezistență ζ se pot folosi relațiile prezentate la curgerea în jurul unui corp :

Si la sedimentare se deosebesc, după valorile criteriului Reynolds, trei regimuri :

- pentru $Re < 0,2$ (practic pînă la $Re \approx 1$) sedimentarea se face în regim laminar (domeniul Stokes) iar $\zeta = 24/Re$;

- pentru $0,2 < Re < 500$, regimul de sedimentare este intermediar iar $\zeta = 18,5/Re^{0,6}$

- pentru $Re > 500$, corespunde un regim de sedimentare turbulent, iar $\zeta = 0,44$.

În relațiile de mai sus criteriul Reynolds se calculează cu relația $Re = d \rho_f w_0 / \eta_f$.

Relațiile de calcul ale coeficientului de rezistență, ζ , au fost stabilite experimental pentru particule sferice, cilindrice, plăci netede etc. Influența rugozității și a formei particulelor se exprimă prin coeficienți numerici.

Pentru sedimentarea în regim laminar (Stokes), viteza de sedimentare, după înlocuirea lui $\zeta = 24/Re$ în relația (4.42) este dată de ecuația :

$$w_0 = \frac{1}{18} d^2 g \frac{(\rho - \rho_f)}{\eta_f} \quad (4.43)$$

cunoscută sub numele de legea lui Stokes. La aceeași relație

se ajunge și prin egalarea forței de greutate cu forța de rezistență a lui Stokes :

$$\frac{\gamma d^3}{6} (\rho - \rho_f) g = 3\eta d w_o \gamma_f \quad (4.44)$$

b. Camere de desprăfuire

Camerele de desprăfuire servesc pentru o purificare grosieră a gazelor. Dimensiunile unei camere depind de productivitate (debitul de gaz) și de viteza de sedimentare. Principiul de separare a camerelor de desprăfuire este prezentat în fig. 4.27.

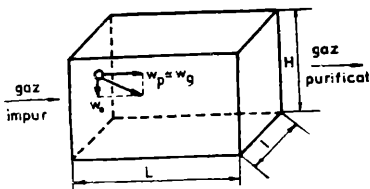


Fig. 4.27.

Principiul camerelor de desprăfuire. După pătrunderea în cameră particulele solide se găsesc sub acțiunea vitezei liniare a gazului în cameră ($w_p \approx w_g$) și a vitezei de sedimentare (w_o), ceea ce determină o mișcare a acestora în direcția rezultantei acestor două viteze și se va depune pe fundul camerei.

Condiția ca particulele să se depună în cameră este ca timpul de sedimentare, τ_o să fie mai mic sau cel mult egal cu timpul de staționare a gazului în cameră, τ_c .

$$\tau_o \leq \tau_c \quad (4.45)$$

Timpul de sedimentare depinde de viteza de sedimentare și de înălțimea camerei : $\tau_0 = H/w_0$, iar timpul de staționare depinde de viteza gazului în cameră și de lungimea camerei : $\tau_c = l/w_g$. Viteza gazului se calculează din ecuația debitului, ținând cont că secțiunea de curgere este : $l \times H$, și deci relația (4.45) se poate scrie astfel :

$$\frac{H}{w_0} < \frac{l}{v_s} (l \times H) \quad (4.46)$$

La limită : $\tau_0 = \tau_c$ și deci : $H = l \frac{w_0}{w_g}$, iar productivitatea camerei de desprăfuire pentru această condiție este :

$$v_s = l H w_g \frac{w_0}{w_g} = l l w_0 \quad (4.47)$$

Prin urmare, productivitatea camerei depinde de suprafața de depunere a particulelor și nu depinde de înălțimea ei. Acest fapt a stat la baza construirii camerelor de desprăfuire cu polițe (fig. 4.28), în care suprafața de sedimentare este mult mărită prin montarea mai multor polițe orizontale (1), distanțate la 40 - 80 mm. Curentul de gaz intră prin conducta (2), se distribuie între polițe și este evacuat prin conducta (3).

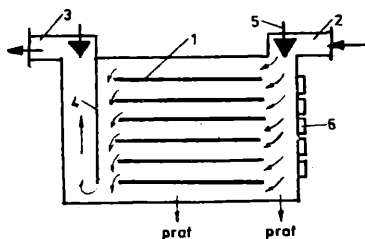


Fig. 4.28. Camera de desprăfuire cu polițe.

Peretele (4) asigură distribuirea gazului pe toate polițele, iar registrele (5) servesc la reglarea debitelor la intrarea și ieșirea din cameră. Praful de pe polițe se curăță periodic prin porțițele (6). Camerele de desprăfuire au productivități mari, deși viteza gazului în camere este 0,2 - 0,4 m/s.

Camere de desprăfuire cu pereți despărțitori

Montarea unor șicane pe traseul gazului determină purificarea gazului sub acțiunea forței de inerție.

Principiul care stă la baza separatoarelor inerțiale constă în diferența dintre momentul de inerție al particulelor și al gazului. Astfel, la impactul dintre gaz și pereții despărțitori, gazul ocolește pereții în timp ce particulele se lovesc de șicane și cad în partea de jos.

Un tip de separator inerțial este și cel prezentat în fig. 4.29.

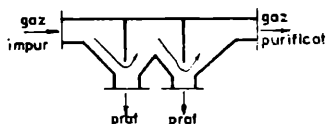


Fig. 4.29.

Cameră de desprăfuire cu pereți despărțitori.

Dezavantajul cel mai mare al acestor camere este rezistența lor mare la curgere a gazului, ceea ce duce la creșterea consumului de energie necesară pentru vehicularea gazului.

4.2.1.2. Purificarea gazelor în câmp centrifugal.

Cicloane

Pentru a mări viteza de sedimentare a particulelor solide

din gaz și pentru o purificare mai avansată se folosește acțiunea forței centrifuge. Cel mai utilizat tip de separator care funcționează pe acest principiu este ciclonul.

Viteza de sedimentare în ciclin se calculează cu relațiile folosite pentru camerele de desprăuire, amplificate cu un factor de separare în câmp centrifugal, r , care reprezintă raportul dintre accelerația forței centrifuge și accelerația gravitațională.

Accelerația în mișcarea de rotație este dată de relația :

$$a_n = \omega^2 r \quad (4.48)$$

în care : ω - viteza unghiulară ; r - raza.

Legătura dintre viteza unghiulară și viteza periferică de rotație, w , este dată de relația :

$$w = r \omega \quad (4.49)$$

și deci accelerația normală de rotație se scrie astfel :

$$a_n = \omega^2 r = \frac{w^2}{r} \quad (4.50)$$

Exprimînd viteza periferică funcție de numărul de rotații în unitatea de timp, n ($w = 2\pi r n$), factorul de separare în câmp centrifugal se calculează astfel :

$$f = \frac{w^2}{r g} \approx 4 \pi^2 n^2 r \quad (4.51)$$

iar viteza de sedimentare în câmp centrifugal devine :

$$w_0 = \sqrt{\frac{4 \pi^2 d (\rho - \rho_f)}{3 \eta_f}} \cdot f \quad (4.52)$$

Pentru sedimentarea în domeniul Stokes relația de calcul a vitezei devine :

$$w_0 = \frac{d^2 g (\rho - \rho_f)}{18 \eta_f} \cdot f \quad (4.53)$$

Deoarece în cazul sistemelor eterogene gaz - solid, $\rho \gg \rho_f$ și deci se poate neglija ρ_f din paranteza membrului drept a

ecuației (4.53), obținându-se :

$$w_0 = \frac{1}{18} \frac{d^2 g \rho}{\eta_f} \cdot f \quad (4.54)$$

Tinând cont de expresia lui f , ecuația (4.54) devine :

$$w_0 = \frac{d^2}{18 \eta_f r} w^2 \quad (4.55)$$

Din ecuația (4.55) rezultă că viteza de sedimentare crește cu pătratul diametrului particulelor, cu pătratul vitezei periferice a gazului și cu scăderea razei de rotație.

Cicloane. Cicloanele sînt aparatele cele mai frecvent utilizate pentru purificarea sistemelor gaz - solid. În cicloane viteza de sedimentare este de 5 - 2500 ori mai mare decît în camerele de desprăfuire, însă pierderea de presiune, datorită rezistențelor în ciclon, crește foarte mult. În cicloane se pot separa particule cu diametre mai mari de $10 \mu\text{m}$. Ciclonul este construit dintr-un corp cilindric cu capac la partea superioară și terminat cu o parte conică ; gazul intră tangențial la partea superioară a corpului cilindric. Racordul de intrare a gazului are secțiunea dreptunghiulară. Tubul central, prin care este evacuat gazul purificat, pătrunde pe o porțiune în interiorul ciclonului (fig. 4.30). Gazul intrînd tangențial are o mișcare de rotație elicoidală în interiorul ciclonului. Datorită acestei mișcări, particulele solide se ciocnesc de perețele aparatului și se depun în partea conică a acestuia, de unde sînt evacuate, iar gazul părăsește ciclonul prin tubul central. Există multe variante constructive de cicloane, toate urmărind creșterea eficacității separării și micșorarea pierderii de presiune a gazului la trecerea lui prin ciclon. În fig. 4.30 este prezentat cel mai simplu ciclon cu dimensiunile relative recomandate. Diametrul minim al particulelor ce se de-

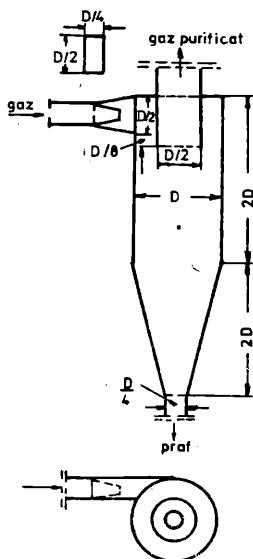


Fig. 4.30.
Ciclon.

considerent s-au construit cicloane cu dimetrul mic (150 - 200 mm). Pentru a nu micșora productivitatea, mai multe cicloane cu diametrul mic sînt montate într-o manta paralelipipedică, formînd baterii de cicloane (fig. 4.31).

Cicloanele bateriei au montate în locul ștuțurilor de intrare tangențiale, benzi elicoidale care imprimă gazului mișcarea spirală.

pun într-un ciclon este
dat de relația :

$$d_{\min.} = 3 \sqrt{\frac{\eta_f \cdot r}{2 \pi n w_g \rho}} \quad (4.56)$$

În relația (4.56) w_g , reprezintă viteza gazului la intrarea în ciclon, iar n este numărul de rotații pînă la depunerea particulei (de obicei $n = 1,5$).

Purificarea unui gaz este cu atît mai înaintată cu cît în ciclon se pot separa particule cu diametru cît mai mic. Din relația (4.56) rezultă că în ciclon se depun particule cu atît mai mici cu cît raza ciclonului este mai mică. Pe baza acestui

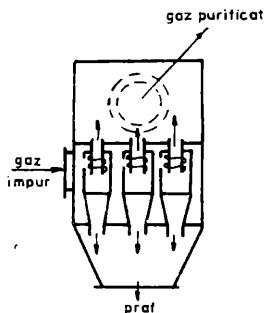


Fig. 4.31.

Baterie de cicloane.

4.2.1.3. Purificarea umedă a gazelor

Aceasta metodă de purificare a gazelor se folosește în cazul în care gazul conține particule solide foarte fine. Ca agent de spălare se folosește în general apa. Purificarea se realizează, fie prin trecerea gazelor prin lichid, fie prin pulverizarea lichidului în gaz.

Funcționarea aparatelor pentru purificarea umedă a gazelor se bazează pe folosirea forțelor de gravitație, de inerție sau centrifuge și, de aceea, există o gamă variată de astfel de aparate.

a) Turnuri de spălare. Turnurile de spălare, numite și scrubere sînt aparate cilindrice goale în interior sau prevăzute cu umplutură, în care are loc curgerea în contracurent a gazului și a lichidului de spălare. Lichidul de spălare este introdus pe la partea superioară a aparatului prin duze de pulverizare sau prin simple dușuri.

În fig. (4.32) sînt prezentate două turnuri de spălare, unul gol și altul cu umplutură. În ambele aparate, principiul de purificare este același : gazul fiind adus în contact cu lichidul, particulele de praf umezite se aglomerează și trec în lichidul de spălare formînd un nămol (șlam).

Eficacitatea turnurilor cu umplutură este cuprinsă între

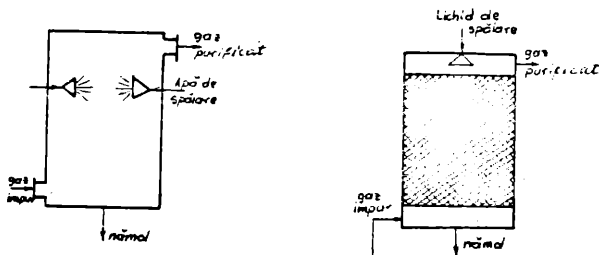


Fig. 4.32. Turnuri de spălare.

a. turn de spălare gol ; b. turn de spălare cu umplutură.

b) Separatoare cu spumă. În aceste aparate lichidul, care curge pe niște grătare, este adus în stare de spumă de către gazul trimis sub grătare prin orificiile acestora. Stratul de spumă, a cărui grosime este cuprins între 40 și 100 mm, se deplasează pe grătar reținând particulele solide din gaz, iar o parte din lichid împreună cu particulele de dimensiuni mai mari se scurge prin orificiile grătarului. În fig. (4.33) sînt prezentate un separator cu spumă monoetajat și un separator cu trei etaje.

Eficacitatea acestor tipuri de separatoare este de 99 % pentru particule cu dimensiuni minime de $5\mu\text{m}$.

c) Spălătoare centrifuge. Aceste aparate se deosebesc de scruberele goale prin modul de introducere a gazului. Intrarea gazului în aceste aparate se face tangențial, ceea ce determină o mișcare elicoidală ascendentă a acestuia. Forța centri-

fugă răce ca particulele solide să se depună pe peretele aparatului de unde sînt antrenate de curentul de lichid. Apa este pulverizată în aparat printr-o țeavă centrală prevăzută cu orificii laterale (fig. 4.34). Gazul purificat este evacuat prin

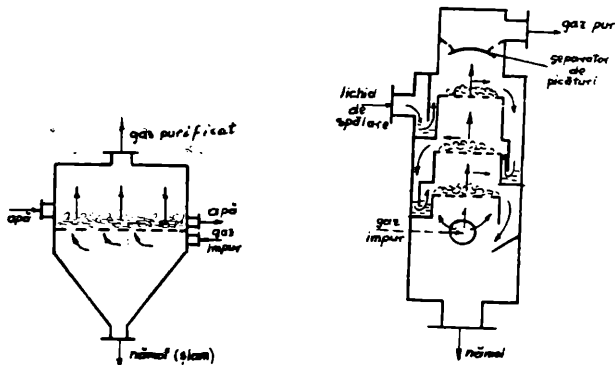


fig. 4.33. Separatoare cu spumă.

a. separator monoetajat ; b. separator cu trei etaje.

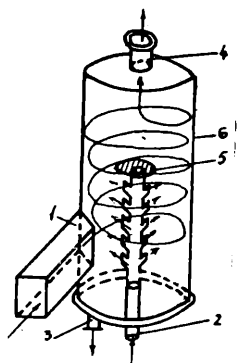


Fig. 4.34.

Spălător centrifugal.

racordul (4) pe care se află niște palete radiale pentru paralelizarea curentului de gaz. Nămolul este evacuat pe la partea inferioară prin racordul (3).

Un tip perfecționat de spălător centrifugal este scruberul Venturi (fig. 4.35). Acesta se deosebește de spălătorul centrifugal descris anterior, numai prin modul de introducere a gazului în aparat. Intrarea gazului se face printr-un tub Venturi,

în interiorul căruia se află duze pentru pulverizarea apei. Apa este pulverizată foarte fin, datorită vitezei foarte mari a gazului (60 - 120 m/s), realizându-se o umezire eficientă a particulelor care se separă în aparat. Eficacitatea acestui aparat este de 95 - 99% pentru particule a căror diametru minim poate fi de numai 0,1 - 0,2 μ m.

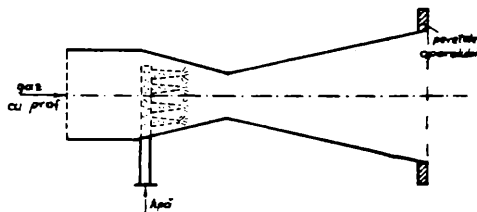


Fig. 4.35.
Scrubber Venturi.

d) Spălătoare mecanice. Aceste aparate sînt foarte eficiente deoarece asigură un contact bun între gaz și lichid prin mișcarea unor elemente mobile. Cel mai utilizat spălător mecanic este dezintegratorul (fig. 4.36). El este format

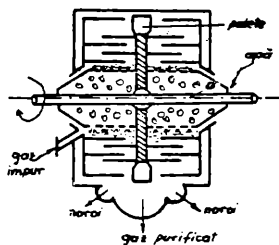


Fig. 4.36.
Dezintegrator.

dintr-o carcasă în care se rotește un ax orizontal prevăzut cu două conuri de tablă perforată și un disc pe care sînt montate concentric tije orizontale. La periferia discului sînt montate niște palete care servesc la spălarea și separarea gazului de apă. Statorul aparatului este prevăzut de asemenea

cu tije concentrice intercalate între tijele rotorului. Apa pulverizată prin conurile perforate se amestecă cu gazul impur introdus în centrul aparatului.

4.2.1.4. Purificarea gazelor prin filtrare

Principiul filtrării mecanice constă în reținerea impurităților la curgerea gazului prin medii poroase sau medii filtrante. Alegerea mediului filtrant se face în funcție de proprietățile chimice ale gazului, de temperatura lui și de dimensiunea particulelor ce trebuie reținute. Mărimea caracteristică în filtrare este viteza de filtrare, care reprezintă debitul de gaz filtrat raportat la unitatea de suprafață a mediului de filtrare. Viteza de filtrare determină dimensiunile aparatului.

Aparatele de filtrare mecanică a gazelor sînt de trei tipuri, în funcție de natura materialului filtrant :

- cu materiale textile (țesături) ;
- cu umplutură ;
- cu tuburi sau plăci ceramice de filtrare.

Cele mai utilizate filtre cu materiale textile sînt filtrele cu saci.

Un filtru cu saci este construit, în principiu, dintr-o placă perforată în care sînt fixați saci de formă cilindrică. Capetele superioare, închise, ale sacilor sînt fixate de un cadru legat de un dispozitiv de scuturare. Pînza sacilor permite trecerea gazului, reținînd praful, care prin scuturarea sacilor cade la partea inferioară a filtrului, de unde este evacuat periodic (fig. 4.37).

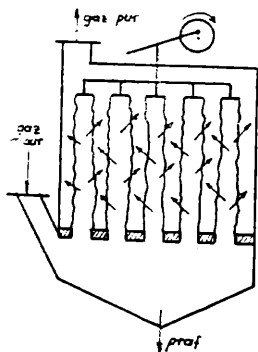


Fig. 4.37.
Filtru cu saci.

Pierderea de presiune în filtrele cu saci este cuprinsă între 60 - 120 mm H_2O . Gazul nu poate avea o temperatură prea ridicată, deoarece prin eventualele condensări ale vaporilor din gaze, particulele solide se umezesc și înfundă porii sacilor. De asemenea temperaturi prea ridicate pot duce la degradarea materialului textil sau chiar la aprinderea acestuia.

Filtrele cu umplutură sînt construite dintr-un corp cilindric umplut cu vată de azbest, de zgura sau pîslă. Ele servesc în special la separarea uleiului din gazele care ies din compresoare. Umplutura este înlocuită sau curățată periodic.

Filtrele cu tuburi sau plăci ceramice sînt formate dintr-un recipient cilindric sau paralelipipedic în care sînt montate o serie de tuburi sau plăci ceramice (de exemplu porolit) care rețin particulele solide din gaz. Aceste filtre realizează o purificare destul de bună a gazelor dar au dezavantajul că au productivitate mică și cădere de presiune mare.

4.2.1.5. Purificarea electrică a gazelor

Purificarea electrică se aplică atunci cînd dimensiunile particulelor solide din gaz sînt foarte mici. Prin purificare

electrică se poate realiza, teoretic, o îndepărtare totală a impurităților din gaze, dar aceasta ar face procedeul total neeconomic și timpul de staționare al gazului în filtru ar fi foarte mare. De aceea, practic, prin filtrare electrică se reține 98 - 99 % din impurități.

Purificarea electrică se realizează pe baza următorului principiu : la trecerea unui gaz printr-un câmp electric, creat prin aplicarea unei diferențe de potențial foarte mari (35 - 70 KV) între doi electrozi, gazul se ionizează și transmite sarcina electrică particulelor solide sau lichide aflate în suspensie. Particulele încărcate electric se deplasează spre polul cu sarcină opusă sarcinii pe care o au particulele, se descarcă și se depun pe electrod. Un dispozitiv de scuturare lovește periodic electrodul de depunere și praful cade la partea inferioară a aparatului de unde apoi este îndepărtat. Schema de principiu a unui filtru electric este prezentată în fig. 4.38.

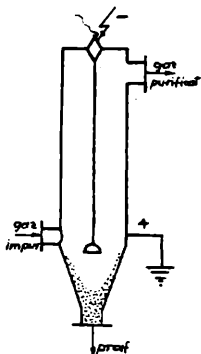


Fig. 4.38.
Principiul filtrului electric.

Aparatele de purificare electrică a gazelor se clasifică, după forma electrozilor, în două clase :

- filtre electrice tubulare ;
- filtre electrice cu plăci.

Ambele tipuri sînt folosite fie la purificarea gazelor uscate (cu praf) și, în acest caz, se numesc filtre electrice uscate, fie la purificarea gazelor umede, numindu-se filtre electrice umede sau precipitatoare electrostatice.

În fig. 4.39 este prezentat, schema-

tic, un filtru electric tubular. El este format din corpul 1,

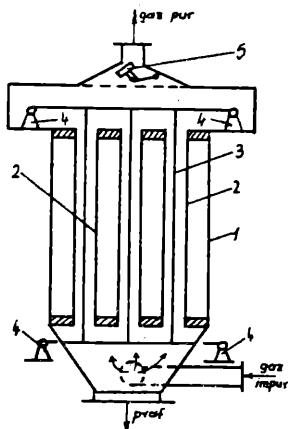


Fig. 4.39.

Filtru electric tubular.

în interiorul căruia sînt montate tuburile 2. Prin centrul fiecărui tub trece un conductor de sîrmă 3, care constituie electrodul negativ. Tuburile sînt legate la polul pozitiv al sursei de curent continuu. Electrozii negativi sînt fixați pe un cadru care se sprijină pe izolatorii 4. Ansamblul tuburilor este scuturat cu dispozitivul 5. Timpul de staționare a gazului în filtru trebuie să fie mai mare sau, cel puțin egal, cu suma timpilor de ionizare a gazului, de transmite-

re a sarcinii particulelor, de deplasare și de descărcare a particulelor.

Forța care determină deplasarea particulelor spre electrodul de descărcare este dată de relația :

$$F = n e E \quad , \quad N \quad (4.57)$$

în care E este intensitatea cîmpului electric, n - numărul de sarcini elementare, iar e - sarcina electrică elementară.

Ca și cazul sedimentării, acestei forțe i se opune forța de rezistență a mediului :

$$R = \xi \frac{w_0^2}{2} \int_f \frac{\pi d_p^2}{4} \quad (4.58)$$

Viteza de sedimentare în cîmp electric rezultă din egalarea acestor două forțe :

$$w_0 = \sqrt{\frac{8 n e E}{\int_f d_p^2}} \quad (4.59)$$

Pentru sedimentarea în domeniul lui Stokes ($Re < 1$), $\zeta = 24/Re$ și viteza de sedimentare este dată de relația :

$$w_0 = \frac{n e E}{3 \pi \eta_f d_p} \quad (4.60)$$

Se observă deci că viteza de sedimentare în câmp electrostatic crește cu numărul sarcinilor electrice care depinde de gradul de ionizare a gazului. Ionizarea gazului este funcție de intensitatea câmpului electric E . Totuși creșterea intensității câmpului electric este limitată deoarece la o anumită valoare are loc străpungerea gazului ionizat.

Filtrele electrice sînt astfel construite încît să creeze un câmp electric neuniform. În felul acesta descărcarea gazului nu se produce în întregul volum al gazului ci numai în jurul electrodului, unde intensitatea câmpului este maximă. Acest fenomen, caracterizat prin apariția de scînteii și de zgomote caracteristice, se numește efect corona, iar electrodul în jurul căruia are loc descărcarea se mai numește electrod coronar. În restul volumului gazului este puternic ionizat și transmite particulelor un număr mai mare de sarcini electrice.

Filtrele cu plăci sau plase de sîrmă sînt asemănătoare constructiv și funcțional cu filtrele electrice tubulare, doar că tuburile sînt înlocuite de plăci metalice sau plase de sîrmă.

Căderea de presiune în filtrele electrice este mai mică decît la celelalte aparate de purificare ($\Delta p = 3-30 \text{ mm H}_2\text{O}$). Consumul de energie electrică este de asemenea relativ redus, de circa $0,1 - 0,8 \text{ Kwh/1000 m}^3 \text{ gaz}$.

Un alt avantaj al filtrelor electrice este posibilitatea purificării gazelor cu temperaturi ridicate sau agresive chimic. Filtrele electrice au dimensiuni reduse în comparație cu celelalte tipuri de aparate de purificare a gazelor. Prezintă și unele dezavantaje cum ar fi : au cost ridicat și o construcție complicată și nu pot fi folosite pentru purificarea gazelor inflamabile sau explozive.

4.2.1.6. Purificarea gazelor cu ultrasunete

Purificarea gazelor cu ultrasunete se bazează pe proprietatea particulelor solide sau lichide de a se aglomera, datorită vitezelor diferite pe care acestea le capătă sub influența undelor sonore. Particulele aglomerate trec împreună cu gazul într-un ciclon, unde se separă.

O instalație de purificare sonică constă dintr-un generator de unde sonore plasat într-un turn de aglomerare și dintr-un ciclon separator (fig. 4.40).

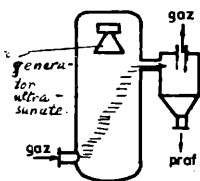


Fig. 4.40.

Instalație pentru purificarea sonică a gazelor.

Eficiența separatoarelor sonice este mare și ele pot fi utilizate și pentru purificarea gazelor fierbinți, inflamabile sau explozive. Principalul dezavantaj al acestora este determinat de consumul mare de energie necesar generării ultrasunetelor.

4.2.2. Separarea sistemelor eterogene lichide

Principalele tipuri de sisteme eterogene lichide au fost prezentate în paragraful 4.2. În continuare se tratează numai separarea suspensiilor, ele fiind cel mai des întâlnite în tehnică.

Suspensiile se caracterizează, în general, prin cantitatea de fază solidă dispersată și prin dimensiunile particulelor solidului. La concentrații mici în fază solidă, mediul de dispersie - lichidul - își modifică puțin proprietățile. Funcție de dimensiunea particulelor solide aflate în lichid suspensiile se împart în :

- suspensii grosiere, la care dimensiunile particulelor depășesc $100\ \mu\text{m}$;
- suspensii fine, cu dimensiunea particulelor solide cuprinsă între $0,5 - 100\ \mu\text{m}$;
- suspensii tulburi, la care faza dispersă are dimensiunile cuprinse între $0,1 - 0,5\ \mu\text{m}$.

Separarea suspensiilor se poate realiza sub acțiunea forței de gravitație, a forței centrifuge și a forței de presiune.

4.2.2.1. Decantarea

Decantarea sau sedimentarea în mediu lichid este operația de separare a fazei solide dintr-o suspensie sub acțiunea

forței de gravitație. Decantarea poate fi caracterizată cu ajutorul relațiilor prezentate la sedimentarea, în câmp gravitațional, a particulelor solide dintr-un gaz.

Din punct de vedere calitativ, însă, la decantare se întâlnesc unele aspecte specifice. În cazul suspensiilor diluate, când granulele nu se influențează reciproc, fiecare particulă se depune independent de celelalte și sedimentarea se realizează cu viteze diferite, funcție de dimensiunea particulelor. Acest tip de sedimentare, caracteristic în special suspensiilor diluate la care faza solidă are o structură grăunțoasă - ca de exemplu nisipul - se numește sedimentare liberă. Viteza de sedimentare, în acest caz, este dată de viteza particulelor care sedimentează cel mai greu. La sedimentarea suspensiilor concentrate, particulele nu se depun independent ci se influențează reciproc, formând conglomerate - flocoane - care se separă împreună. Acest tip de sedimentare se numește sedimentare frînată.

În fig. 4.41 este prezentată stratificarea unei suspensii în cazul sedimentării libere și frînate.

La sedimentarea liberă, suspensia omogenă la început, formează un singur strat (A) iar după un timp scurt apar trei

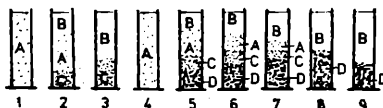


Fig. 4.41.

Sedimentarea liberă (1-3) și sedimentarea frînată (4-5).

zone (A), (B) și (C). Zona de suspensie (A) scade pînă la dispariție, în final rămînînd numai două zone : zona limpede (B) și zona de sediment (C). La sedimentarea frînată se formează după un anumit timp patru zone : zona (B) de lichid limpede care crește continuu în grosime, zona (A) de suspensie, care scade continuu ; zona (C), un strat de grosime aproximativ constantă în care concentrația suspensiei variază între concentrația stratului (A) și cea a stratului (D) ; zona (D) formată din stratul de particule depuse. Grosimea zonei (D) crește continuu ducînd la dispariția zonei (C), dar la sfîrșit ea scade datorită tasării sedimentului (lichidul înglobat în conglomeratul de solid, este eliminat în zona limpede (B) sub acțiunea greutatei stratului de sediment).

În cazul sedimentării frînate viteza decantării depinde de viteza de formare a conglomeratelor, fenomen numit - floculare - și de dimensiunile lor. Pentru accelerarea procesului de floculare se adaugă în suspensie substanțe coagulante (var, sodă calcinată sau caustică, alauni etc.).

4.2.2.1.1. Tipuri de decantoare

Decantoarele sînt utilajele în care are loc sedimentarea suspensiilor sub acțiunea forței de gravitație. După desfășurarea în timp a operației de decantare, decantoarele se împart în : decantoare continue, discontinue și semicontinue.

În fig. 4.42 este prezentat cel mai simplu decantor discontinuu. El este construit dintr-un bazin care se umple cu

suspensie. După ce s-a realizat sedimentarea, lichidul limpezit se separă cu ajutorul unui sifon acționat de un scripete. Descărcarea nămolului se face manual sau printr-o vană montată la partea inferioară a bazinului.

În cazul decantoarelor continue atât alimentarea cu suspensie cât și evacuarea lichidului decantat și a nămolului se face continuu. Aceste tipuri de decantoare sînt recomandate pentru debite mari de suspensie cu concentrație mare. a fazei solide.

Cel mai simplu decantor continuu este decantorul conic cu sifon (fig. 4.43). Acest utilaj este format dintr-un corp conic avînd la partea superioară o rigolă circulară pentru evacuarea lichidului clar, iar la partea inferioară un sifon în formă de "S", astfel construit încît să permită modificarea nivelului lichidului în decantor prin înclinarea sifonului. Alimentarea

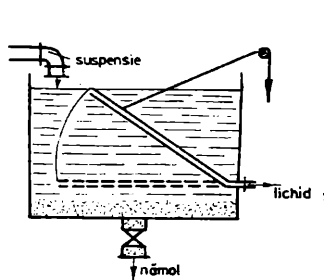


Fig. 4.42.

Decantor discontinuu.

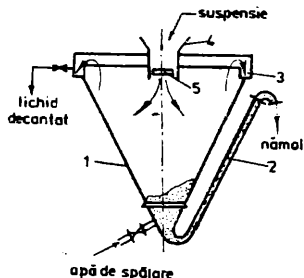


Fig. 4.43.

Decantorul conic cu sifon.

cu suspensie se face printr-o pîlnie cu un gît scurt în care se află un inel plutitor pentru liniștirea curentului la intrarea în decantor. Cînd nivelul sifonului este mai ridicat

concentrația nămolului în fază solidă este mai mare și invers.

Decantorul circular cu brațe (Dorr). Este un decantor continuu, format dintr-un rezervor cilindric de înălțime mică cu fundul drept sau ușor conic (fig. 4.44).

În aparat se află un arbore vertical pe care sînt montate brațe radiale prevăzute cu raclete. Rotirea arborelui cu 0,5 - 0,025 rot/min face posibilă deplasarea sedimentului spre racordul de evacuare a nămolului.

Alimentarea cu suspensie se face la partea superioară printr-un tub central. Lichidul decantat este colectat într-o rigolă la partea superioară și apoi evacuat.

Acest tip de decantor este folosit pentru debite mari și foarte mari - pînă la 3000 m³/zi de suspensie. Are diametrul cuprins între 1 și 100 m, iar puterea necesară antrenării brașelor este de 0,2 - 5 KW.

4.2.2.2. Filtrarea

Ca și în cazul sistemelor eterogene gaz - solid, prin filtrare se separă solidul dintr-o suspensie prin trecerea acestuia printr-un mediu poros care reține particulele solide.

Prin filtrare, fazele unei suspensii se separă într-un precipitat care conține cît mai mult din faza solidă a suspensiei și într-un filtrat ce conține cît mai puțin solid. Deoarece în majoritatea cazurilor, faza lichidă este o soluție, separarea prin filtrare este de fapt o separare între faza solidă a suspensiei și substanța dizolvată în faza lichidă a suspensiei.

Cînd filtratul este o soluție valoroasă, precipitatul se spală în vederea recuperării lichidului globat în el.

Schema de principiu a filtrării este redată în fig.

4.45.a. Forța motoare a filtrării este diferența de presiune creată fie de coloana hidrostatică de suspensie fie de o pompă.

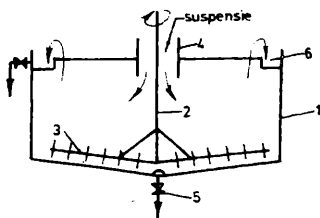


Fig. 4.44.

Decantor circular cu brațe.

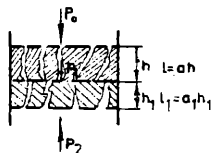


Fig. 4.45.a.

Schema de principiu a filtrării.

Structura procesului. Separarea fazei lichide

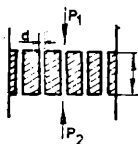
din suspensie este rezultatul a trei procese :

- un proces de sedimentare prin care particulele solide din suspensia de deasupra stratului filtrant se depun pe suprafața filtrantă la fel ca într-un decantor ;
- un proces de depunere a particulelor cu diametrul mai mic decât diametrul porilor materialului filtrant, pe canalele porilor. Aceste particule sînt reținute fie prin forțe de adeziune fie prin forțe de adsorbție (exemplu în cazul folosirii carbonului activ ca material filtrant) ;
- filtrarea propriu-zisă, în care faza lichidă curge prin porii stratului de precipitat și ai materialului filtrant. În acest proces înălțimea stratului de precipitat

crește iar diametrul porilor stratului de precipitat și mediului de filtrare scade. Rezistența la curgerea fazei lichide crește cu grosimea stratului de precipitat și cu scăderea diametrului porilor precipitatului și ai materialului filtrant.

Cinetica filtrării. Stadiul determinant al filtrării este curgerea filtratului prin stratul de precipitat și prin mediul filtrant. Desfășurarea operației este determinată de o multitudine de factori variabili în timpul filtrării ; de aceea un model care să țină cont de toți factorii este greu de elaborat și, mai ales, este greu de transpus în ecuații de calcul. Din acest motiv s-au elaborat modele simplificate care, complete cu date experimentale pot servi la proiectarea filtrelor și la conducerea rațională a filtrării.

Modelul filtrului ideal (fig. 4.45.b). Filtrul ideal



este un strat permeabil, cu fețe paralele, permeabilitatea datorându-se unor pori cilindrici, capilari cu diametre constante și egale, perpendiculare și uniform repartizați pe fețele stratului. Acest model ia în considerare numai rezistența stratului filtrant la curgerea filtratului. Datorită diametrului mic al porilor, curgerea este

Fig. 4.45.b.

Modelul filtrului ideal.

conconsiderată laminară. Viteza de curgere prin pori (egali ca lungime și diametru) este :

$$w = \frac{dV}{Sd\bar{\theta}} \quad (4.61)$$

unde : V - volumul de filtrat, $\bar{\theta}$ - durata filtrării, iar S - secțiunea liberă a porilor. Secțiunea liberă a porilor se

exprimă în funcție de numărul de pori, n , și de diametrul acestora, d .

$$S = n \frac{\pi d^2}{4} \quad (4.62)$$

Forța de rezistență care echilibrează forța motoare a filtrării este determinată de frecarea în porii mediului de filtrare :

$$\Delta p = \lambda \frac{n \cdot l}{d} \frac{w^2}{2} \rho_f \quad (4.63)$$

Ținând cont că regimul de curgere în pori este laminar, $\lambda = 64/Re$ se obține :

$$w = \frac{\Delta p \cdot d^2}{32 \eta_f n \cdot l} \quad (4.64)$$

Ecuația debitului de filtrat devine :

$$V_s = \frac{dV}{d\tau} = S w = n \frac{\pi d^2}{4} \cdot \frac{\Delta p d^2}{32 \eta_f n \cdot l} \quad (4.65)$$

sau :

$$V_s = \frac{dV}{d\tau} = \frac{\Delta p}{32 \eta_f} \frac{l}{\frac{d^2}{\frac{\pi d^2}{4}}} \quad (4.66)$$

Ecuația (4.66) permite calculul debitului de filtrat când curgerea prin stratul filtrant este determinantă. În această ecuație numărătorul exprimă forța motoare a filtrării iar numitorul rezistența stratului filtrant.

Modelul macrocinetic al curgerii prin stratul de precipitat. Acest model consideră ca treaptă determinantă a procesului curgerea filtratului prin stratul de precipitat, neglijându-se rezistența stratului filtrant al cărui rol se limitează la cel de suport al precipitatului. Ecuația modelului macrocinetic considerat poate fi scrisă, în caz cel mai general, astfel :

$$v_s = \frac{dv}{d\zeta} = \frac{\text{Forța motoare a procesului}}{\text{Rezistența opusă}} \quad (4.67)$$

Forța motoare este diferența de presiune : $\Delta p = p_0 - p_1$ (vezi rig. 4.45) și deci :

$$v_s = \frac{dv}{d\zeta} = \frac{\Delta p}{R} \quad , \text{ m}^3/\text{s} \quad (4.68)$$

Ecuația (4.68) se poate scrie, într-o formă mai generală, sub forma :

$$\left(\frac{v}{S} \right)^m = K_1 (\Delta p)^n \quad (4.69)$$

în care : V - volumul de filtrat, în m^3 ;

S - suprafața de filtrare, în m^2 ;

ζ - timpul de filtrare, în s , iar K_1 - o constantă

care are valori diferite funcție de regimul filtrării, astfel :

- pentru filtrarea la presiune constantă ($\Delta p = \text{const}$):

$$K_1 = \frac{2 \Delta p^{1-s}}{r_1 \eta_f x}$$

iar în ecuația (4.69), $m = 2$, iar $n = 0$.

În expresia lui K_1 , s , este un factor de compresibilitate al precipitatului, r_1 este rezistența specifică a precipitatului (pentru $\Delta p = 1$), iar x este fracția volumică a fazei solide în suspensie ($\text{m}^3 \text{ solid} / \text{m}^3 \text{ suspensie}$).

- pentru filtrarea la debit constant :

$$K_1 = \frac{2}{r_1 \eta_f x} \quad , \text{ iar în ecuația (4.69)}$$

$$m = 2 ; n = 1 - s$$

Modelul macrocinetic intermediar. În acest caz se

consideră că rezistența precipitatului și a mediului filtrant au influență comparabilă asupra vitezei de filtrare. Ecuația analitică a modelului macrocinetic intermediar pentru filtrarea

la presiune constantă este :

$$v^2 + 2 c v = K \xi \quad (4.70)$$

în care : v - capacitatea specifică de filtrare, exprimată în m^3 filtrat/ m^2 suprafață de filtrare ; c - o constantă ce caracterizează rezistența mediului filtrant și reprezintă cantitatea de filtrat obținută la depunerea unei cantități de precipitat a cărui rezistență este egală cu rezistența unității de suprafață de filtrare, iar K este constanta de filtrare caracteristică stratului de precipitat.

Constantele filtrării c și K se determină experimental pe filtre de laborator. Tot în laborator se determină și durata optimă a filtrării.

Dimensionarea filtrelor. Cunoscând productivitatea filtrelor, exprimată prin volumul V de filtrat, după determinarea experimentală a constantelor filtrării și a duratei optime a filtrării, din ecuația (4.70) se calculează capacitatea specifică de filtrare, v , din care rezultă suprafața necesară a filtrului :

$$S = \frac{V}{v} , m^2$$

Se adoptă apoi din cataloage un filtru convenabil. Dacă suprafața ce rezultă din calcul, depășește suprafața filtrelor catalogate se adoptă mai multe filtre care vor forma după montaj o baterie de filtre.

Calculul vitezei de spălare și a debitului de lichid de spălare

Ecuatia (4.70) poate servi și la calculul vitezei de spălare a precipitatului, dacă vîscozitatea lichidului de spălare este aceeași (sau apropiată) cu a filtratului și dacă lichidul de spălare și filtratul parcurg prin filtru același traseu. Expresia vitezei de spălare se obține prin diferențierea ecuației (4.70).

$$2 v dv + 2 c dv = K d\bar{z} \quad \text{de unde}$$

$$w_{sp} = \frac{dv}{d\bar{z}} = \frac{K}{2(v+c)} \quad , \text{ m/s} \quad (4.71)$$

Debitul de lichid de spălare este deci :

$$V_{s_{sp}} = w_{sp} \cdot S \quad (4.72)$$

în care S - suprafața de filtrare.

Factorii ce influențează filtrarea

În filtrare intervin un număr mare de factori referitori la suspensie, filtrat, precipitat, materialul filtrant și regimul de filtrare. Corelarea tuturor factorilor în vederea alegerii și exploatării raționale a aparatului de filtrare, reclamă multă experiență și cunoașterea sensului în care acționează factorii. În continuare sînt prezentați factorii cei mai importanți care influențează filtrarea :

- Suspensia se caracterizează prin concentrația ei în fază solidă, granulometria și structura particulelor solide

aflăte în suspensie. Se separă mai ușor suspensiile concentrate în care faza solidă este formată din particule de dimensiuni cît mai mari și de structură grăunțasă. Suspensiile în care faza solidă are structură amorfă dau în general precipitate compresibile cu permeabilitate mică și care nu permit viteze de filtrare mari.

- Materialul filtrant trebuie să rețină cît mai mult din faza solidă a suspensiei, să nu se colmateze repede și să se regenereze ușor, să aibă rezistență mecanică și la acțiunea corosivă a suspensiei, să fie ieftin și ușor de procurat. Mediile filtrante pot fi de natură vegetală, animală sau minerală. Dintre materialele vegetale se menționează pînzele de bumbac, lută, in, cîneapă etc., iar dintre cele animale se folosesc lîna, părul de cal sau de capră, mătasea naturală, părul de cămilă etc. Ca materiale filtrante de natură minerală se folosesc pînze de metale și aliaje, vată de azbest, zgură, șamotă, nisip, cocs etc. Caracteristica principală a mediilor de filtrare este suprafața de filtrare - suprafața pe care se depune precipitatul și structura poroasă a materialului (mărimea porilor).

- Precipitatul. Un precipitat din granule fine reduce viteza de filtrare prin obturarea porilor mediului filtrant și prin reținerea lichidului prin forțe superficiale, care cresc cu scăderea dimensiunilor particulelor. Grosimea stratului de precipitat influențează de asemenea viteza de filtrare, cu creșterea grosimii crește rezistența hidraulică și deci scade viteza de filtrare. Grosimea optimă a stratului de precipitat se determină experimental.

- Filtratul. Caracteristica principală a filtratului

este viscozitatea sa. Influența viscozității se manifestă atît în procesul inițial al sedimentării suspensiei și formării primelor porțiuni a stratului de precipitat cît și în timpul filtrării propriu-zise cînd filtratul curge prin stratul de precipitat și prin mediul filtrant. În ambele procese scăderea viscozității are influență favorabilă ; în primul proces viscozitatea mică duce la micșorarea rezistenței la sedimentare a particulelor, iar în al doilea viscozitatea mică duce la o scădere a forțelor de frecare la curgerea lichidului prin stratul de precipitat și prin mediul filtrant. Scăderea viscozității se realizează prin creșterea temperaturii. Creșterea temperaturii are și alte influențe favorabile : mărește viteza unor reacții de precipitare, scade suprasaturația soluției favorizînd formarea de cristale mari, ușor de separat. Creșterea temperaturii este însă limitată, deoarece mărește acțiunea corosivă a suspensiei, poate să provoace degradarea materialului filtrant și este costisitoare.

- Regimul de presiune. În mod normal mărirea presiunii influențează favorabil viteza de filtrare. Cînd însă faza solidă a suspensiei este formată din particule de formă lamelară sau cînd precipitatul este compresibil, mărirea presiunii peste o anumită limită, devine nefavorabilă. În practică filtrările se fac la presiune atmosferică, la presiune ridicată (20 - 30 at) sau la vid (0,8 - 0,9 ata). La filtrarea sub presiune se recomandă ca la început presiunea să fie mai mică și să se ridice treptat pînă la presiunea de regim.

Etapale procesului tehnologic de filtrare

Filtrarea unei suspensii se face în patru etape principale :

1. reținerea fazei solide de către materialul filtrant. La începutul acestei etape mediul filtrant fiind curat particulele solide de dimensiuni mai mici ca diametrul porilor mediului, trec prin pori împreună cu lichidul. De aceea primele porțiuni de filtrat sînt tulburi și ele se readuc încă odată la filtrare ;

2. reținerea fazei solide de către stratul de precipitat ;

3. spălarea precipitatului pentru îndepărtarea substanței solubile și a soluției mamă.

4. regenerarea suprafeței filtrante care constă în îndepărtarea precipitatului urmat de spălarea suprafeței filtrante pentru destuparea porilor. Uneori după etapele 3 și 4 se trece aer prin stratul de filtrare pentru a îndepărta o parte din soluția sau apa cu care este îmbibat.

4.2.2.1. Tipuri de filtre

Aparatele folosite pentru filtrare se împart, după modul de funcționare, în filtre cu funcționare periodică și filtre cu funcționare continuă.

a) Filtre discontinue

1) Filtre cu strat granular. Stratul granular este format de obicei din nisip (pentru filtrarea apei, acizilor, sărurilor), marmură sau calcar (pentru suspensii alcaline), antracit (pentru filtrarea apei), mangal (pentru suspensii care conțin gudroane). După productivitatea lor aceste filtre se împart în filtre lente și filtre rapide.

Un filtru lent este un recipient paralelipipedic sau cilindric, conținând un strat granular sprijinit fie pe bulgări mari de pietriș, fie pe placă perforată sau poroasă. Stratul granular este compus din mai multe straturi suprapuse de granulometrie diferită (granulele mai mari sînt mai jos) ; la suprafață fiind un strat de 60 - 120 cm grosime, din nisip fin de 0,5 - 1 mm.

Un bun suport pentru stratul filtrant este prezentat în fig. 4.46. El este format din plăci pătrate de beton prevăzute

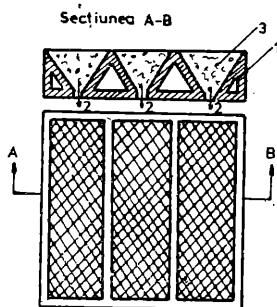


Fig. 4.46.

Suport din beton pentru stratul filtrant

1 - pereții suportului ; 2 - lante ;

3 - pietriș de 8 - 10 mm.

cu șanțuri cu secțiunea trapezoidală. Fiecare șanț are la partea inferioară cite o fantă. În șanțuri se toarnă pietriș de 8 - 10 mm, care în prealabil a fost introdus într-o zeamă de ciment. Prin întărirea cimentului, granulele de pietriș se lipesc între ele și de pereții șanțurilor formînd o masă cu pori mari și cu o rezistență mecanică suficientă pentru susținerea stratului filtrant alcătuit din nisip.

La punerea în funcțiune a unui astfel de filtru se lasă apa să treacă de jos în sus prin stratul filtrant, pentru a îndepărta aerul din nisip, apoi se schimbă sensul de trecere al apei de sus în jos. Timp de 10 - 20 ore de la pornirea filtrului, filtratul este tulbure. Claritatea lui crește treptat ca efect al formării pe suprafața stratului de nisip a unei membrane biologice care reține nu numai particulele solide foarte fine din apă, ci chiar și bacteriile. Apa se filtrează încet cu 0,1 - 0,5 m/h sub presiunea hidrostatică a unei coloane de apă de aproximativ 1 m. Cînd viteza de filtrare scade sub limita de economicitate, din cauza colmatării filtrului, el este curățat prin îndepărtarea stratului de nămol și a unui strat de 2 - 5 cm din stratul de nisip de la suprafață. Cînd colmatarea se face în profunzimea stratului de nisip, filtrul trebuie regenerat prin spălarea sau înlocuirea acestuia. Durata de funcționare a unui filtru lent este de 2 - 6 luni. Dezavantajul acestor filtre este că au o productivitate mică și necesită multă manoperă, motive pentru care ele sînt înlocuite cu filtre rapide cu strat granular.

2. Filtre cu pînze de filtrare

Filtrele cu strat granular se folosesc pentru separarea

suspensiilor cu foarte puțină fază solidă dar care nu trebuie recuperată. Pentru suspensiile nu prea concentrate dar la care faza solidă trebuie recuperată se folosesc filtre cu pinze. Există mai multe tipuri constructive de astfel de filtre. Un astfel de filtru este și filtrul nuce. Filtrul nuce industrial este un filtru cu suprafața de filtrare orizontală, fiind construit după modelul filtrelor nuce de laborator. Este format dintr-un recipient cilindric sau paralelipipedic cu sau fără capac, avînd la o anumită distanță de fund, un suport perforat care susține sau formează el însuși mediul de filtrare (fig. 4.47).

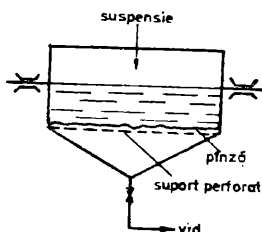


Fig. 4.47.

Filtrul nuce.

face fie prin descărcare manuală, fie prin basculare.

Suspensia este adusă deasupra suportului și se filtrează fie la presiune (în acest caz filtrul este prevăzut cu capac) fie la vid (în acest caz spațiul dintre suport și fundul filtrului este racordat la o sursă de vid). După filtrare precipitatul este spălat. Îndepărtarea precipitatului se

Există variante perfecționate ale filtrului nuce ; filtre cu racleți pentru uniformizarea precipitatului (pentru evitarea canalelor preferențiale în precipitat) ; filtre nuce etajate, cu basculare etc. Principalele avantaje ale acestui tip de filtru sînt : construcție simplă și robustă, poate fi executat din materiale anticorozive, exploatare simplă. Dezavantajul acestor filtre constă în gabaritul lor mare și consumul mare de manoperă la descărcarea precipitatului.

3. Filtre presă. Aceste tipuri de filtre au o răspîndire largă în industria chimică. Caracteristica lor principală este compactitatea. De asemenea, prezintă avantajul obținerii unor straturi de precipitat de grosime mare (turte) care pot trece direct la uscare, exploatarea lor este ușoară și pot fi construite din materiale anticorozive. Filtrele presă pot fi adaptate pentru toate condițiile obișnuite de filtrare : suspensii ușor sau greu filtrabile, cu conținut mic sau mare de fază solidă, filtrare la cald sau la rece, filtrări la presiune ridicată etc.

Filtrele presă prezintă și unele dezavantaje cum ar fi : funcționare discontinuă, manoperă multă la montare și demontare, spălare defectuoasă a precipitatului.

Un filtru presă este format din :

- un postament rezistent prevăzut cu două bare orizontale pentru susținerea elementelor filtrante ;

- elemente filtrante, susținute prin umerii lor, de barele postamentului. Un filtru presă poate avea pînă la 60 de elemente filtrante ;

- un dispozitiv (șurub sau presă hidraulică) pentru strîngerea elementelor filtrante într-un bloc etanș, etanșarea se face cu ajutorul pînzelor filtrante așezate între elementele filtrante.

Există mai multe variante constructive de filtre presă. Deosebirile principale constau în forma și modul de funcționare ale elementelor filtrante. În continuare este prezentat filtrul presă cu plăci și cu rame (fig. 4.48). Este format din rame, reprezentînd cadre dreptunghiulare goale care alternează

cu plăcile care au marginile îngroșate și ambele fețe striate.

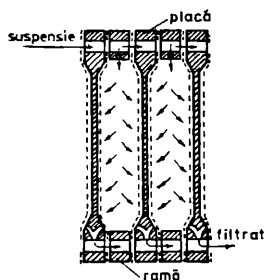


Fig. 4.48.

Filtrul presă cu plăci și rame cu colectare închisă.

Atât plăcile cât și ramele au la partea superioară unul sau două orificii care prin strângerea filtrului formează canalul de alimentare cu suspensie și care comunică cu spațiul de filtrare creat de rame. Pânza de filtrare este aplicată pe ambele fețe ale unei plăci. Plăcile comunică cu un canal pentru evacuarea filtratului, creat din orificiile existente în plăci și rame.

b) Filtre continue

Dezavantajul filtrelor discontinue este productivitatea limitată și manopera mare în exploatarea lor. Din aceste motive există tendința de a se înlocui filtrele discontinue cu cele cu funcționare continuă. Principalele tipuri de filtre continue întâlnite în practica industrială sînt :

- filtre continue cu funcționare la vid. Există mai multe tipuri constructive ale acestor filtre și anume : filtru cu tobă (tambur) ; filtru cu discuri ; filtre cu bandă și filtre plane ;

- filtre continue cu funcționare la presiune. Acestea pot fi cu tobă sau cu bandă. În continuare este prezentat un filtru cu tobă care lucrează la vid.

Filtrul celular Oliver (fig. 4.49).

Acest filtru este construit dintr-un tambur (1) compus din doi cilindri concentrici, orizontali, destul de apropiați

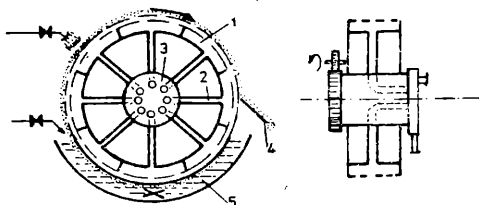


Fig. 4.49.

Filtru cu tobă cu funcționare la vid (Filtrul, celular Oliver).

între ei. Cilindrul exterior este perforat și pe el se aplică pânza de filtrare. Spațiul dintre cei doi cilindri este despărțit în 6 - 20 celule prin pereți longitudinali dispuși radial. Fiecare celulă funcționează independent ca un filtru nucleu. Celulele sînt legate la un cap de distribuție (3) prin conductele (2). Conductele de legătură pornesc de la fiecare celulă și ajung paralel cu axa de rotație, la capetele arborelui. Arborele este sprijinit pe lagăre puternice, unul din capetele acestuia fiind antrenat în rotație. La capătul opus arborele are fixat capul de distribuție, care are rolul de a face legătura celulelor succesiv cu conductele de vid și de aer comprimat. Capul de distribuție este format dintr-un disc mobil, fixat pe capătul arborelui, avînd găuri dispuse pe cerc, care comunică cu capetele tuburilor de legătură de la fiecare celulă. Acest disc alunecă etanș pe un disc fix care are pe fața în contact cu discul mobil două șanțuri ce comunică pe fața opusă cu conducta de vid și una sau două orificii care comunică cu conducta de aer comprimat (fig. 4.50).

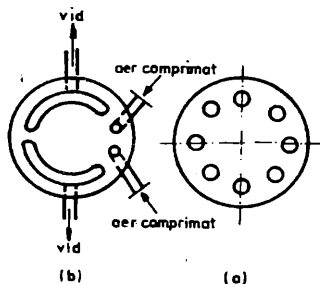


Fig. 4.50.

Cap distribuitor. a - disc mobil; b-disc fix.

Precipitatul este desprins de pe tobă cu un cuțit (4) fixat la o distanță convenabilă de aceasta și paralel cu generatoarea. Suspensia este adusă în cuva (5) în care este agitată continuu pentru a se evita sedimentarea.

Instalația de filtrare este prevăzută cu rezervor pentru suspensie, pompă de vid, rezervor pentru filtrat, rezervor pentru colectarea lichidului de spălare, compresor pentru aer comprimat și un recipient pentru precipitat.

Fazele filtrării sînt :

- aspirarea suspensiei pe suprafața filtrantă ;
- micșorarea conținutului de lichid din precipitat prin continuarea aspirației și după ieșirea din suspensie ;
- spălarea precipitatului prin stropire cu apă ;
- micșorarea conținutului de apă din precipitat prin aspirație și după stropire ;
- slăbirea aderenței precipitatului pe pînză prin

sufflare de aer de la compresor ;

- desprinderea precipitatului de pe pînă cu ajutorul cușitului ;

- regenerarea suprafeței filtrante (desfundarea porilor pînzei) tot prin suflare de aer.

În timpul unei rotații a tamburului fiecare celulă parcurge toate fazele filtrării. Cînd celula se află în cuvă, ea este legată prin tubul de legătură și capul de distribuție la conducta de vid și rezervorul de filtrat. După ieșirea celulei din suspensie ea rămîne, un timp, în legătură cu aceeași conductă de vid, aspirîndu-se aer prin stratul de precipitat, aer care antrenează soluția îmbibată în precipitat. Cînd celula ajunge în dreptul stropitoarelor de apă, ea este pusă în legătură cu a doua conductă de vid și cu rezervorul de colectare a apei de spălare. După ieșirea celulei din zona de stropire ea mai rămîne un timp în legătură cu conducta de vid și cu rezervorul pentru apa de spălare, timp în care aerul aspirat antrenează apa îmbibată în precipitat. Înainte ca celula să ajungă în dreptul cușitului de evacuare a precipitatului ea este pusă în legătură cu compresorul de aer ; aerul comprimat slăbește aderența precipitatului pe pînza filtrantă. După îndepărtarea precipitatului cu ajutorul cușitului, celula este din nou în legătură cu conducta de aer comprimat ; aerul suflat prin interior desfundă porii pînzei refăcînd-o pentru un nou ciclu al filtrării. Construcția filtrelor tobă atrage după sine cîteva inconveniente în funcționare :

- etanșarea insuficientă a celor două discuri ale capului de distribuție fapt ce duce la pierderi de presiune și de vid ;

- griparea suprafețelor șlefuite ale discurilor, prin acțiunea erozivă a fazei solide care ajunge între discuri ;
- degradarea pinzei de către oușit.

Unele din aceste inconveniente au putut fi eliminate prin variante perfecționate ale filtrului cu tobă sau prin folosirea altor tipuri de filtre continui. Se întâlnesc în practică filtre cu tobă cu suprafață de filtrare interioară (filtrul celular Dorreo), filtrul celular cu discuri, filtrul orizontal, filtrul cu bandă etc.

4.2.2.3. Centrifugarea. Tipuri de centrifuge

Centrifugarea este o tehnică de lucru, în care, pentru îmbunătățirea sau accelerarea separării sistemelor neomogene, sînt folosite proprietățile cîmpului centrifugal.

Calculul procesului de separare în cîmp centrifug.

Deși efectele cîmpului centrifug sînt calitativ aceleași cu ale cîmpului gravitațional, există diferențe importante între cele două cîmpuri de forțe și anume :

- în interiorul unui sistem în mișcare, cîmpul centrifug nu este omogen, ci variază în lungul normalei la traiectoria sistemului ;
- direcția forțelor centrifuge este radială, deci ele nu sînt paralele ca în cazul forței gravitaționale ;
- intensitatea cîmpului de forțe centrifuge poate fi modificată, variind viteza de rotație și distanța de la axa de rotație.

1. Sedimentarea într-un câmp centrifug. Viteza de sedimentare într-un câmp gravitațional este dată, în regim Stokes de relația :

$$w_0 = 1/18 \cdot d^2 \cdot \frac{(\rho - \rho_f)g}{\eta_f} \quad (4.73)$$

Viteza de sedimentare poate fi sensibil mărită prin înlocuirea accelerației gravitaționale, g , cu accelerația în câmp centrifug. După cum s-a arătat la paragraful 4.2.1.2, accelerația normală în centrifuge este : $a_n = \omega^2 r$, unde ω este viteza unghiulară iar r este raza de rotație.

Viteza de sedimentare în câmp centrifug se poate scrie deci:

$$w_{0,c} = \frac{1}{18} \cdot \frac{d^2(\rho - \rho_f)}{\eta_f} \omega^2 r \quad (4.74)$$

Intensificarea separării în câmp centrifug este dată de raportul celor două viteze de sedimentare : în câmp centrifug și în câmp gravitațional :

$$\frac{w_{0,c}}{w_0} = \frac{\omega^2 r}{g} = f \quad (4.75)$$

Factorul f se numește factorul de eficacitate a separării în câmp centrifug sau, mai simplu, factor de separare. El arată de câte ori este mai mare viteza de sedimentare în câmp centrifug față de viteza de sedimentare în câmp gravitațional.

Tinând cont că viteza periferică de rotație, w , este legată de viteza unghiulară, ω , prin relația $w = \omega r$, factorul de separare se mai poate scrie sub forma :

$$f = \frac{w^2}{rg} \quad (4.76), \text{ sau}$$

$$f = \frac{\omega^2 r}{g} = \frac{4\pi^2 n^2 r}{g} \approx 4n^2 r \quad (4.77)$$

2. Filtrarea în câmp centrifug. Sub acțiunea forței centrifuge sînt influențate favorabil două caracteristici ale

filtrării : viteza de filtrare și conținutul final de lichid (umiditatea) în precipitat. Se demonstrează că viteza de filtrare în câmp centrifug crește cu f , iar conținutul de umiditate în precipitat, după centrifugare, este legat, de cel rămas după filtrare sub acțiunea coloanei hidrostatice de lichid, Prin relația :

$$\frac{\delta_c}{\delta_h} = \sqrt[3]{\frac{1}{f}} \quad \text{unde: } \sqrt[3]{\frac{1}{f}} < 1 \quad (4.78)$$

În relația (4.78) δ_c este masa lichidului rămasă în precipitat după centrifugare iar δ_h este masa lichidului rămasă în precipitat după filtrarea obișnuită sub acțiunea coloanei hidrostatice de lichid de deasupra precipitatului.

Tipuri de centrifuge

Aparatele în care se realizează centrifugarea se numesc centrifuge. În principiu o centrifugă constă dintr-un tambur fix denumit carcasă sau corpul centrifugei și dintr-un tambur mobil care se rotește în jurul axului ; sisteme și dispozitive de susținere, de încărcare - descărcare, de antrenare în rotație și de frinare.

Clasificarea centrifugelor. Există mai multe criterii de clasificare a centrifugelor și anume :

- după mărimea factorului de separare se clasifică în :

- a) centrifuge normale ($f < 3000$) ;
- b) supercentrifuge ($f = 3000 \div 100000$) ;
- c) ultracentrifuge ($f = 10^5 \div 10^8$) ;

- după regimul de lucru centrifugele se împart în :

a) centrifuge continue ;

b) centrifuge discontinue ;

- după construcția tamburului mobil și modul de separare :

a) centrifuge de sedimentare, la care peretele tamburului mobil este plin și separarea fazei solide din suspensie se face prin sedimentare în câmp centrifug ;

b) centrifuge filtrante, la care peretele tamburului mobil este perforat și, eventual, căptușit cu sită sau pânză filtrantă. În acest caz separarea se realizează prin filtrare în câmp centrifug.

Centrifuge filtrante cu funcționare discontinuă. Cu astfel de centrifuge se lucrează în șarje ; un ciclu de centrifugare cuprinde următoarele faze : încărcarea, pornirea, centrifugarea la turația de regim, spălarea precipitatului, uscarea (îndepărtarea apei de spălare) prin centrifugare la turație de regim, frînarea (oprirea) centrifugei și descărcarea.

Centrifugele cu funcționare discontinuă se construiesc cu axa verticală. În continuare se prezintă centrifuga discontinuă cu descărcare manuală numită centrifuga cu trei coloane sau centrifuga sprijinită la partea superioară (fig. 4.51). Este construită dintr-un tambur fix (1) sprijinit prin arcuri pe trei coloane (5) dispuse la 120° pe un cerc. Arcurile preiau trepidațiile centrifugei. Tamburul mobil (2) este perforat și armat cu cercuri de rezistență ; un capac inelar acoperă centrifuga. Acest tip de centrifugă este indicată pentru suspensii care se separă greu (durată mare de centrifugare) și la care spălarea se face la turația de regim.

Încărcarea centrifugei se face pe la partea superioară. În timpul centrifugării, filtratul din spațiul dintre cele

două tambure este evacuat printr-un ștuț racordat la conduc-
ta de filtrat. Precipitatul depus pe peretele interior al tam-
burului perforat se descarcă manual, după ce grosimea stratului
de precipitat a ajuns pînă la marginea interioară a tamburului
perforat. Centrifugele cu trei coloane au factorul de separare
între 800 - 1000. Dezavantajul lor este capacitatea de produc-
ție mică și ciclul de funcționare destul de îndelungat.

Centrifuge filtrante cu funcționare continuă. La cen-
trifugele continue alimentarea cu suspensie, spălarea precipita-
tului, evacuarea filtratului, evacuarea apei de spălare și a
precipitatului se face neîntrerupt. În fig. 4.52 este schișată

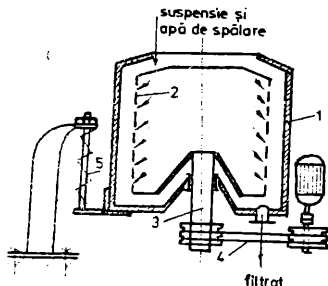


Fig.4.51.

Centrifugă cu trei coloane.
1 - tambur fix ; 2 - tambur
mobil ; 3 - arbore ;
4 - curele de transmisie ;
5 - coloană cu arcuri.

centrifuga continuă cu împingere pulsată a precipitatului. Ea
constă dintr-o carcasă fixă (1), tamburul perforat (2), acțio-
nat în rotație de arborele (3). Alimentarea cu suspensie se fa-
ce în interiorul conului (5) fixat de discul (4). Discul (4)

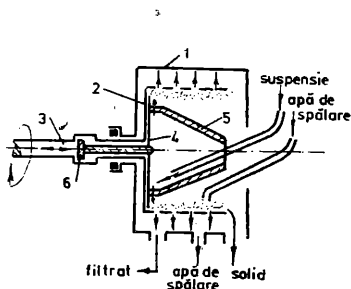


Fig.4.52.

Centrifugă filtrantă continuă
cu împingere pulsată a preci-
pitatului (ALFA - LAVAL).

este acționat într-o mișcare de translație de către pistonul hidraulic (6), care execută o cursă de "dute - vino" de 40 - 50 mm. La depășirea spre dreapta discul rade sedimentul depus și-l îndepărtează spre gura de evacuare. Discul (4), pe care este fixat conul (5) execută și o mișcare de rotație avînd turația aproximativ egală cu a tamburului. Acest tip de centrifugă are productivitate mare, dar dă filtrat tulbure. Se folosește pentru centrifugarea suspensiilor ușor filtrabile.

4.2.3. Exploatarea utilajelor pentru separarea sistemelor eterogene. Protecția muncii

Principalele operații legate de exploatarea diferitelor tipuri de utilaje de exploatare sînt sistematizate în tabelul de mai jos :

=====	
Tipul de separator.	Operația de întreținere
1	2
=====	
Separatoare mecanice	Se controlează asigurarea cu lichid de stropire la debitul corespunzător.
umed.	Se urmărește eficacitatea reținerii prafului.
	Controlul rezistenței hidraulice a separatorului.
	<u>Controlul nivelului lichidului de stropire.</u>
Filtre cu saci.	Controlul etanșietății conductelor și a spațiului de lucru.
	Controlul funcționării dispozitivelor de scu-

1	2
	turare.
Filtre electrice	<p>Verificarea tensiunii de alimentare a filtrelor</p> <p>Asigurarea menținerii valorilor prescrise pentru temperatură, debit etc.</p> <p>Verificarea sistemului de scuturare a electrozilor.</p> <p>Controlul menținerii în permanență a paralelismului și distanței electrozilor.</p> <p><u>Menținerea etanșietății filtrului.</u></p>
Separatoare sonice.	<p>Controlul funcționării generatorului de ultrasunete la parametrii prescrși.</p> <p><u>Verificarea etanșietății utilajului.</u></p>
Decantare	<p>Controlul și asigurarea etanșietății conductelor și armăturilor</p> <p>Curățirea pereților interiori și a fundului de nămol.</p> <p>Controlul stării racleșilor și curățirea acestora (la decantările cu brațe).</p>
Filtre prese.	<p>Înlocuirea pînzelor cînd suprafața lor este degradată.</p> <p>Verificarea deformabilității ramelor și plăcilor.</p> <p><u>Verificarea funcționării sistemului de stringere.</u></p>
Filtre cu tambur rotativ.	<p>Asigurarea ungerii conform schemei de ungere.</p> <p>Controlul stării pînzei filtrante și a fixării ei pe tambur.</p> <p>Controlul etanșărilor instalației de vid și de aer comprimat.</p> <p>Controlul periodic al capului de distribuție (starea suprafețelor inelelor).</p>

Fiecare centrifugă va fi dotată cu o placă pe care se notează încărcarea maximă admisă și modul de încărcare. Este strict interzisă supraîncărcarea centrifugelor.

Toate centrifugele vor fi dotate cu frîne de oprire, schimbător de curea și capac de închidere, fixat prin balamale de tamburul exterior fix al centrifugei.

Centrifuga se va pune în funcțiune numai după ce operatorul s-a asigurat că în tamburul mobil nu se găsesc unelte sau alte materiale care ar putea fi proiectate în exterior la pornire.

Dacă după pornire sau în timpul funcționării centrifugei se observă că ea funcționează anormal (prezintă trepidații, zgomot etc.) operatorul va opri imediat centrifuga și va anunța pe cei care au obligația de a lua măsuri de remediere.

Centrifugele pentru substanțe inflamabile și explozive vor fi dotate cu instalații și echipament electric antiexploziv.

4.3. AMESTECAREA

În vederea realizării unor procese fizice și chimice, materialele aduse în contact trebuie amestecate fie pentru omogenizarea unor proprietăți (concentrație, temperatură, umiditate) fie pentru crearea unei turbulențe care intensifică transferul de căldură și de masă.

Amestecarea materialelor poate să se realizeze într-un utilaj separat de reactor, în care caz utilajul se numește amestecător sau agitator, sau poate să se facă în reactor concomitent cu desfășurarea procesului chimic ; în ultimul caz, utilajul se numește adesea reactor cu agitare.

Sistemul implicat în amestecare poate fi : lichid - gaz ; lichid - lichid ; lichid - solid ; solid - solid și, mai rar, solid - gaz.

4.3.1. Amestecarea în mediu lichid

În acest tip de amestecare faza continuă o constituie un lichid care urmează să fie amestecat cu un alt lichid, cu un gaz sau cu un solid. Operația de amestecare în mediu lichid este deseori numită agitare iar utilajele în care se realizează se numesc agitatoare.

În principiu un agitator constă din dispozitivul de amestecare sau agitatorul propriu-zis, recipientul sau vasul în care

se află materialele supuse agitării și sistemul de acționare a agitatorului. Principalele mărimi care caracterizează funcționarea unui agitator sînt :

- proprietățile fizice ale masei care se agită (în special densitatea și viscozitatea) ;
- intensitatea agitării, determinată de turația arborelui de acționare ;
- caracteristicile constructive ale recipientului și ale agitatorului propriu-zis.

În fig. 4.53 este reprezentat schematic un agitator cu palete, cu următoarele caracteristici constructive : H - înălțimea lichidului în vas, la starea de repaos, m ; D - diametrul interior al vasului, m ; d - diametrul paletei, m ; h - înălțimea paletei, m ; h_1 - distanța de la baza vasului pînă la paletă, m ; n - turația motorului care acționează arborele agitatorului, $1/s$.

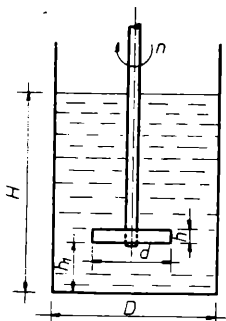


Fig. 4.53.
Elemente constructive
caracteristice unui
agitator.

Prin urmare, funcția criterială a agitării va fi asemă-

Puterea necesară în agitare. Pentru a calcula puterea necesară în agitare se pleacă de la observația că din punct de vedere hidrodinamic agitarea poate fi considerată ca un proces de curgere în jurul unui corp ; într-adevăr se poate presupune că paleta reprezintă un corp imersat în jurul căruia fluidul curge ca printr-o conductă avînd diametrul egal cu acela al

nătoare funcției criteriale a proceselor hidrodinamice sau de curgere. De exemplu, pentru procesul staționar se poate scrie :

$$f(Eu, Re, Fr, \Gamma_1, \Gamma_2 \dots \Gamma_n) = 0 \quad (4.79)$$

sau, explicitată în raport cu criteriul Euler :

$$Eu = C Re^m \cdot Fr^n \cdot \Gamma_1^p \cdot \Gamma_2^q \dots \Gamma_n^z \quad (4.80)$$

care reprezintă ecuația criterială a agitării. Criteriul lui Froude (v.rel.1.89) va avea importanță numai la agitarea în regim turbulent când, la rotirea cu viteză mare a paletelor, o parte din lichid este aruncat sub formă de stropi în afara oglinzii lichidului. $\Gamma_1, \Gamma_2 \dots \Gamma_n$ reprezintă criterii geometrice date în acest caz de raportul între mărimile geometrice și diametrul paletelor :

$$\Gamma_1 = \frac{D}{d} ; \quad \Gamma_2 = \frac{H}{d} ; \quad \Gamma_3 = \frac{b}{d} ; \quad \Gamma_4 = \frac{b_1}{d}$$

Criteriul Reynolds în agitare $Re_{ag.}$ se calculează considerând diametrul paletelor ca dimensiune geometrică caracteristică și viteza medie de curgere la periferia paletelor egală cu viteza periferică de rotație :

$$Re = \frac{\eta \cdot d \cdot n \cdot \rho_f}{\eta_f} \quad Re_{ag.} = \frac{Re}{\pi} = \frac{\rho_f \cdot n \cdot d^2}{\eta_f} \quad (4.81)$$

Criteriul Euler în agitare $Eu_{ag.}$, se calculează pornind de la relația de definiție (v.rel.1.88) în care în locul presiunii p se introduce $\Delta p = (p_1 - p_2)$ care reprezintă forța motoare în agitare ; p_1 și p_2 reprezintă presiunea statică a lichidului în fața și în spatele paletelor (v.fig.4.54).

$$Eu = \frac{\Delta p}{\rho_f \cdot w^2} \quad (4.82)$$

Expresia (4.82) poate fi modificată în felul următor : se înmulțește și se împarte cu debitul de fluid care se calculează

aici ca produs între viteza periferică de rotație și secțiunea unei conducte cu diametrul egal cu acela al paltei. Se obține

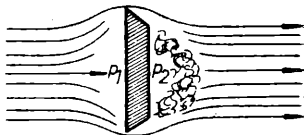


Fig. 4.54.

Mișcarea lichidului în jurul paltei agitatorului.

astfel :

$$Eu = \frac{\Delta P \cdot V_s}{\rho_f (\pi^2 d^2 n^2) (\pi d^2 / 4 \cdot \pi d \cdot n)} = \frac{\Delta P \cdot V_s}{\pi^4 / 4 \cdot \rho_f \cdot n^3 d^5}$$

sau, observînd că produsul $\Delta P \cdot V_s$ are dimensiunile unei puteri:

$$Eu = \frac{P}{\frac{\pi^4}{4} \cdot \rho_f \cdot n^3 \cdot d^5} \quad (4.83)$$

Se notează $Eu \cdot \frac{4}{\pi^4} = Eu_{ag.}$ și relația (4.83) devine :

$$Eu_{ag.} = \frac{P}{\rho_f \cdot n^3 \cdot d^5} \quad (4.84)$$

pe baza căreia se calculează puterea P necesară în agitare.

Criteriul $Eu_{ag.}$ se calculează din ecuația criterială a agitării care, pentru agitatoare similare geometric, este dată în literatură sub forma :

$$Eu_{ag.} = \frac{C}{Re_{ag.}^m} \quad (4.85)$$

Coeфициентul C și exponentul m sînt tabelate pentru diferite tipuri de agitatoare.

4.3.1.1. Amestecarea mecanică

În cazul sistemelor lichid - lichid și lichid - solid, amestecarea se realizează cu ajutorul unor agitatoare mecanice formate dintr-un sistem de palete dispuse pe un arbore care se rotește prin diferite moduri de acționare (angrenaj cu roți dințate sau cu fricțiune, transmisie prin curele, cuplaj direct etc.). În funcție de modul cum sînt construite dispozitivele de amestecare, agitatoarele mecanice se împart în patru grupe :

- agitatoare cu palete plane ;
- agitatoare cu elice sau elicoidale ;
- agitatoare cu turbină ;
- agitatoare speciale.

În figura 4.55 sînt prezentate cîteva tipuri constructive de agitatoare cu palete plane. Agitatorul cu paletă dreptunghiulară se folosește pentru lichide cu vîscozitate mică și la agitare în volum mic. Agitatorul tip cadru se folosește tot la lichide cu vîscozitate mică, însă realizează agitarea în volum mare.

Agitatorul tip ancoră este recomandat în cazurile cînd trebuie evitate depunerile de reziduuri insolubile pe pereții recipientului. Ancora rade depunerile care constituie rezistențe importante la transferul de căldură și, prin efectul de agitare, le menține în suspensie în lichidul din recipient. Agitatoarele tip ancoră se folosesc și pentru lichide viscoase, paste, topitură etc.

Pentru a mări eficacitatea agitării uneori se utilizează

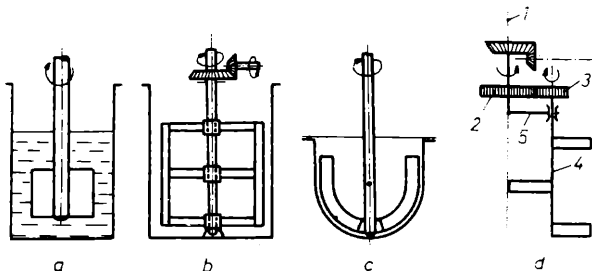


Fig. 4.55.

Agitatoare cu palete plane.

a - agitator cu paletă dreptunghiulară ; b - agitator tip cadru ; c - agitator tip ancoră ; d - agitator planetar.

alte variante constructive, de exemplu agitator cu ancoră și cadru.

Agitatorul planetar asigură prin construcție și funcționare amestecarea în volum mare dar tot la lichide cu vâscozitate mică : pe arborele (1), acționat în rotație printr-un angrenaj de roți dințate, se află montată roata dințată (2) care, la rînsul ei, antrenează în mișcare de rotație roata dințată (3), fixată prin canal și pană pe arborele (1) prin brațul (5). Prin această construcție, la rotirea arborelui principal (1), arborele (4) pe care se află asamblate paletes, se rotește atît în jurul axei proprii cît și în jurul arborelui principal (mișcare asemănătoare cu a unei planete).

În fig. 4.56 este prezentat un agitator cu elice sau agitator elicoidal ; dispozitivul de amestecare ^{constă} dintr-o elice cu două sau cu trei paletes, fixată la capătul unui arbore. Elicea are paletes astfel curbate încît la rotirea arborelui să se

creieze curenți de fluid aproximativ paraleli cu axul.

Agitatoarele cu elice se utilizează și pentru medii cu vâscozitate mare, dar la agitarea în volum mic.

Agitatorul cu turbină (v.fig. 4.57) are un efect de amestecare mai bun decât agitatorul cu elice, dar tot în volum mic.

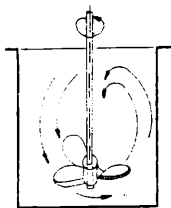


Fig. 4.56.
Agitator cu elice.

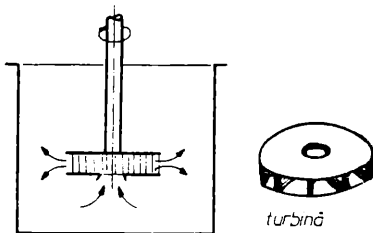


Fig. 4.57.
Agitator cu turbină.

Dispozitivul de amestecare constă dintr-un arbore pe care se fixează una sau mai multe turbine asemănătoare cu rotorul unei pompe centrifuge ; la mișcarea de rotație se creiază o depresiune la axul turbinei datorită căreia lichidul este aspirat, între paletetele turbinei. Sub acțiunea forței centrifuge, lichidul se deplasează între palete și este proiectat la periferia turbinei, apoi mișcarea se repetă avînd ca rezultat amestecarea intensă a lichidului.

4.3.1.2. Amestecarea pneumatică

Acest tip de amestecare se utilizează pentru sistemele neomogene gaz - lichid și vapori - lichid. Procesul poartă uneori

denumirea de barbotare iar dispozitivele corespunzătoare se numesc barbotoare. Cel mai simplu barbotor îl constituie o țevă avînd unul din capete cufundat în lichidul ce trebuie amestecat; prin capătul exterior al țevii se suflă un gaz sau vapori. Bulele de gaz, care se formează la capătul cufundat în lichid, avînd densitate mai mică, capătă o mișcare ascensională deplasînd lichidul spre partea superioară și spre părțile laterale. Mișcarea lichidului depinde de viteza de ridicare a bulei de gaz ; liniile de curent din lichid au aspectul din rig. 1.28.

Amestecarea pneumatică sau prin barbotare este avantajoasă în cazul cînd aerul (sau alt gaz) constituie unul din reactanți sau cînd odată cu amestecarea se face și încălzirea directă cu abur sau gaze calde. De asemenea se preferă amestecarea pneumatică în locul celei mecanice în cazul lichidelor corosive. Cînd este posibil se combină amestecarea mecanică cu cea pneumatică așa cum se arată în fig. 4.58 : în recipientul (1) se rotește

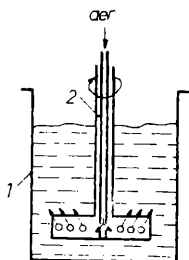


Fig. 4.58.
Agitator combinat.

dispozitivul cu palete (2) ; paletetele sînt cave, prevăzute cu orificii prin care se distribuie aerul introdus prin arborele tubular. Rotația amestecătorului provoacă agitarea mecanică a lichidului iar bulele de aer sînt răspîndite pe toată secțiunea transversală a recipientului.

Amestecarea pneumatică are dezavantajul că necesită un consum mai ridicat de energie decît agitarea mecanică și nu poate fi utilizată decît la lichide cu vîscozitate mică (pînă la 200 cP).

4.3.2. Amestecarea materialelor granulare, a pulberilor și a pastelor

Amestecarea pastelor și a materialelor plastice se situează ca proces într-un domeniu de tranziție între amestecarea lichidelor și a materialelor solide pulverulente. Din acest motiv unele utilaje pentru amestecarea lichidelor pot fi folosite și pentru paste. Pasta poate fi obținută din amestecul unui lichid cu un solid sau din materiale solide sau lichide care, concomitent cu amestecarea, suferă transformări fizice sau chimice (topiri, reacții de precipitare etc.).

Utilajul cel mai des utilizat pentru amestecarea probelor este malaxorul. În forma sa clasică malaxorul (v.fig. 4.59) este constituit din carcasa sau corpul (1), cilindric sau semieliptic, în care se rotește o paletă (2), de diferite forme (cel mai adesea paletele au forma literei Z sau Г). Paleta se îmbină la un capăt cu arborele de sprijin (3), iar la celălalt capăt cu arborele de acționare (4); acționarea în rotație se face de către un electromotor prin transmisie cu curele trapezoidale, reductor, pinionul (5) și roata dințată (6).

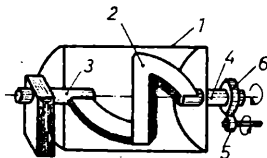


Fig. 4.59. Malaxor.

Există malaxoare cu două palete care se rotesc în sensuri opuse, cu aceeași viteză sau cu viteze diferite.

Materialele de amestecat se introduc în corpul malaxorului fie treptat, prin intermediul unui dozator, fie dintr-o dată.

În fig. 4.60 este prezentat amestecătorul cu șurub elicoidal sau cu șneo utilizat fie pentru paste, fie pentru materiale pulverulente. Utilajul constă din carcasa (1) aproximativ semieliptică în secțiune și arborele (2) pe care se află paletele (3) ; acestea sînt confecționate din tablă de oțel și pot forma, prin construcție, o spirală continuă sau discontinuă.

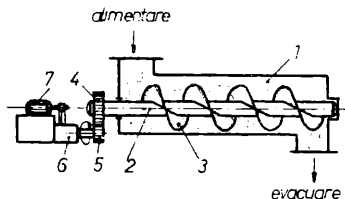


Fig. 4.60.
Amestecător cu șneo.

Materialul, alimentat la unul din capetele carcasei, este antrenat atât într-o mișcare de rotație cât și în una de înaintare datorită șneului care-l descarcă la celălalt capăt. Rotirea arborelui se realizează de către roata dințată (4), pinionul (5), reductorul (6) și electromotorul (7).

Pentru pastele de mare consistență din industria ceramică se folosesc amestecătoare cu doi arbori pe care se află palete ce formează o spirală continuă sau discontinuă. Arborii se rotesc în sensuri opuse cu viteze diferite ; un arbore

transportă materialul către al doilea care, rotindu-se mai repede, îl returnează către primul. Din aceste mișcări are loc o circulație intensă a materialului și se realizează o amestecare foarte bună. În industria ceramică un astfel de utilaj este denumit de practicieni "malaxor bi ax".

În industria materialelor de construcții este frecvent utilizat, pentru amestecarea materialelor pulverulente sau pentru paste amestecătorul cu cuvă sau amestecătorul Kirich (v. fig. 4.61). Amestecătorul constă din cuva joasă (1), care

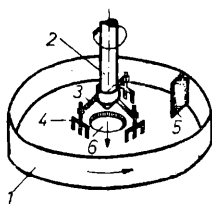


Fig. 4.61.
Amestecător "Kirich".

se rotește în sens opus față de arborele vertical (2) ; acesta are fixate la capăt brațele (3) pe care se montează dispozitivele de amestecare (4), în forma unor furci cu mai mulți dinți. Furcile răscolesc materialul care tinde să se deplaseze spre periferia cuvei. Un plug excentric (5) dirijează materialul înapoi între dinții furcilor

și spre gura centrală de descărcare (6).

Amestecarea materialelor granulare se realizează cel mai adesea în amestecătoare cu tambur rotativ. Un astfel de amestecător, redat în fig. 4.62, constă din tamburul (1) având la

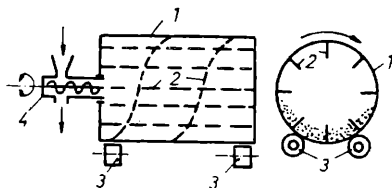


Fig. 4.62. Amestecător cu tambur.

un capăt fixat un arbore cu o roată dințată acționată în rotație. În interiorul tamburului se assemblează longitudinal și radial tablele (2) care dirijează mișcarea materialului. Tamburul se sprijină pe patru role (3) ; alimentarea cu material se face prin intermediul transportorului cu șnec (4). După atingerea gradului de amestecare dorit se inversează sensul de rotație al tamburului și șnecului și se golește tamburul.

4.3.3. Protecția muncii în exploatarea agitatoarelor și amestecătoarelor

Amestecătoarele și malaxoarele vor fi prevăzute cu capace rezistente, fixate solid deasupra părții superioare a vasului de amestec. Capacele vor avea sisteme de interblocare astfel încât să nu poată fi deschise pînă cînd mecanismul de acționare a paletelor nu a fost complet oprit ; paletele să nu poată fi puse din nou în mișcare pînă cînd capacul nu a fost complet închis.

Amestecătoarele și malaxoarele din cuvele cărora se degajă gaze, vapori sau praf, pe lîngă capacul etanș, vor fi prevăzute cu dispozitive de absorbție a noxelor.

Amestecătoarele și malaxoarele care lucrează cu substanțe agresive, precum și acelea care prelucreză cantități mari de materiale vor fi prevăzute cu autodescărcătoare și cu alimentatoare dozatoare.

Capitolul 5. OPERATII UNITARE

C U T R A N S F E R D E

C A L D U R A

5.1. INCALZIREA, RACIREA, CONDENSAREA

Aşa cum s-a precizat anterior, buna desfășurare a unui proces tehnologic chimic, presupune menținerea unui anumit regim de temperatură în reactor. În acest scop, reac-tanții sînt încălziți sau răciți înainte de introducerea lor în reactor. Aceste operații se pot realiza și concomitent cu desfășurarea reacției chimice (în reactor). Substanțele fo-losite pentru încălzire sau răcire poartă denumirea de agenți termici. În cazul încălzirii, agenții termici se mai numesc, "purători de căldură" respectiv, "agenți de răcire", în cazul răcirii.

Drept purători de căldură se folosesc : gaze de ardere, aer cald, vapori de apă, vapori de substanțe organice, apă caldă, uleiuri minerale, lichide organice, topituri etc.

Dintre condițiile pe care trebuie să le îndeplinească un purtător de căldură se menționează cele mai importante : trebuie să aibă conductivitate termică și căldură specifică mare, o bună stabilitate termică, căldura de vaporizare mare, agresivitate chimică mică, inflamabilitate și toxicitate mi-că, să fie ieftin și ușor de procurat.

Încălzirea cu gaze de ardere. Folosirea gazelor de ardere ca purtător de căldură este destul de răspândită, deoarece de multe ori în procesul tehnologic rezultă gaze fierbinți al căror conținut caloric trebuie recuperat. Utilizarea gazelor de ardere are avantajul că avînd temperatură ridicată ($t \approx 1000^{\circ}\text{C}$) asigură o forță motoare mare. Dezavantajul utilizării lor constă în aceea că avînd conductivitate termică și căldură specifică mică, coeficientul individual de transfer de căldură α , deci și coeficientul global de transfer de căldură, K , este mult mai mic decît în cazul lichidelor sau vaporilor ($\alpha_{\text{gaze}} = 50 - 200 \text{ W/m}^2 \text{ grad}$).

Dir acest motiv aparatele de schimb de căldură în care încălzirea se face cu gaze de ardere, au dimensiuni mari (suprafața de transfer, A , mare).

Încălzirea cu aer cald, are în general, aceleași avantaje și dezavantaje ca și încălzirea cu gaze de ardere.

Încălzirea cu vapor de apă (abur). Încălzirea cu vapor de apă este modul cel mai răspîndit de încălzire în industria chimică. Vaporii de apă cumulează aproape toate calitățile unui bun purtător de căldură și anume : căldură latentă de condensare mare la temperaturile curente de încălzire, posibilitatea reglării riguroase a temperaturii prin reglarea presiunii lor, coeficienți individuali de transfer mari ($\alpha_{\text{vapor}} \text{ în condensare} \approx 10.000 \text{ W/m}^2 \text{ grad}$), sînt neinflamabili și netoxici.

Cu toate aceste avantaje, folosirea vaporilor de apă saturați ca agent termic este limitată - temperatura maximă pînă la care se pot folosi aceștia fiind de cca 200°C . La această temperatură presiunea vaporilor saturați de apă este de aproximativ 16 ata.

La 300°C presiunea aburului saturat este de aproximativ 88 ata și producerea aburului la acești parametri se face cu un consum de energie foarte mare ; în plus, folosirea aburului ca agent termic pentru încălzirea la temperaturi de peste 200°C impune aparatelor condiții de rezistență mecanică deosebită.

Încălzirea cu apă caldă, se utilizează până la temperaturi de aproximativ 80°C la presiune atmosferică. Pentru încălzirea peste aceste temperaturi trebuie să se utilizeze apa sub presiune. În practică se folosește acest procedeu ceva mai rar, ajungându-se până la temperaturi de cca 180°C la o presiune de aproximativ 14 ata.

Încălzirea cu uleiuri minerale este utilizată pentru încălziri până la temperaturi de aproximativ 300°C ,

Încălzirea cu lichide organice. Cele mai utilizate lichide organice sînt difenilul și difenil-eterul sau amestecul acestora, care în tehnică poartă denumirea de "difi". Acești purtători de căldură se utilizează pentru temperaturi cuprinse între 200 și 400°C . Au stabilitate termică bună și volatilitate scăzută. Au dezavantajul că sînt scumpi, toxici și inflamabili.

Încălzirea cu săruri topite se utilizează pentru temperaturi cuprinse între 400 și 550°C . Cel mai adesea se folosește un amestec de azotit de sodiu și azotat de potasiu.

În afara utilizării purtătorilor de căldură, încălzirea se poate realiza și prin utilizarea diferitelor procedee de transformare a energiei electrice în energie termică : încălzirea cu rezistențe electrice, încălzirea prin curenți de inducție, încălzirea prin producerea unui arc electric etc.

Un procedeu modern de încălzire este încălzirea cu radiații infraroșii ($\lambda = 0,78 - 330\mu$). Acest procedeu este întilnit în industria medicamentelor, a materialelor plastice,

textilă etc.

Răcirea cu apă este modul de răcire cel mai frecvent întâlnit în industrie.

Temperatura apei utilizate ca agent de răcire variază după natura surselor disponibile : apele de adâncime (puțuri, fântini) au temperaturile cuprinse între $10 - 15^{\circ}\text{C}$; apa de suprafață (riuri, lacuri etc.) are temperatura cuprinsă între $0 - 5^{\circ}\text{C}$, iarna și între $18 - 25^{\circ}\text{C}$ vara. Când consumul de apă de răcire este prea mare se procedează la recircularea apei prin turnuri de răcire.

Răcirea cu gheață se face, de obicei direct, prin introducerea directă în lichidul care urmează să fie răcit , a gheții sfărâmate mărunț. Căldura latentă de topire a gheții este de 332 KJ/Kg . Această metodă de răcire se poate utiliza atunci când diluarea lichidului supus răcirii, cu apa ce rezultă din topirea gheții, este permisă în procesul tehnologic. Răcirea prin această metodă poate ajunge pînă la temperaturi de $2 - 3^{\circ}\text{C}$.

Răcirea cu amestecuri frigorifice. Amestecurile frigorifice sînt amestecuri de apă sau gheață cu săruri a căror căldura de dizolvare este negativă (prin dizolvare se absoarbe căldură). Temperatura minimă (punctul criohidric) se obține pentru proporții bine determinate de sare și gheață. De exemplu, clorura de calciu în proporție de 143 g la 100 g gheață dă un eutectic cu temperatura de -55°C . Se mai utilizează în acest scop : NaCl , NH_4Cl , $\text{Ca}(\text{NO}_3)_2$ etc. , în amestec cu gheață.

Condensarea. De multe ori o serie de produse principale sau auxiliare se obțin în procesul tehnologic sub formă de vapori, care sînt apoi condensați cu ajutorul unui agent de răcire în vederea obținerii substanței în stare lichidă.

Condensarea se poate face fie într-un condensator de suprafață, fie într-un condensator de amestec.

În condensatorul de suprafață vaporii și agentul de răcire sînt separați printr-o suprafață solidă prin care se face transferul căldurii. Acest tip de condensator este folosit ori de cîte ori recuperarea condensului este necesară.

În condensatorul de amestec vaporii sînt condensați prin contactul direct cu agentul de răcire, prin amestecarea acestora. Condensatul se elimină împreună cu agentul de răcire. Condensatorul de amestec se folosește în cazul în care vaporii rezultați dintr-un proces tehnologic nu sînt utili și trebuie eliminați, sau în cazul în care vaporii unei substanțe oarecare (de exemplu ai unei substanțe organice) trebuie condensați și cînd ca agent de răcire se poate folosi însăși substanța respectivă în stare lichidă la o temperatură adecvată.

5.2. FORME ALE BILANTULUI MACROSCOPIC DE CALDURA

Așa cum s-a aratat în capitolul 4, debitul de căldură Q , din ecuația de dimensionare a aparatelor de schimb de căldură se calculează din bilanțul termic.

Intocmirea bilanțului macroscopic de căldură se bazează pe următoarele ipoteze simplificatoare :

- în secțiunile de intrare și de ieșire a fluidelor din aparat vitezele medii sînt constante ;

- în domeniile de temperatură, uzual întîlnite în aparatele de schimb de căldură, variația proprietăților fizice dependente de temperatură ($C_p, \gamma, \lambda, \rho$ etc) nu este prea mare, așa că pot fi folosite în calcule valorile medii (calculate

la temperatura medie a fluidului respectiv).

În fig. 5.1, aparatul de transfer de căldură este reprezentat schematic printr-un dreptunghi. Dacă prin aparat

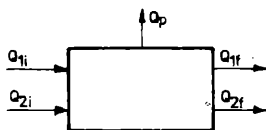


Fig. 5.1.

Elemente pentru întocmirea bilanțului macroscopic de căldură.

circulă două fluide (indicele 1 se referă la fluidul mai cald iar indicele 2 se referă la fluidul mai rece), fiecare din cele două fluide are un conținut caloric la intrarea în aparat (Q_{1i} , Q_{2i}), care se modifică prin transferul de căldură între fluide astfel încît la ieșirea din aparat conținutul caloric al celor două fluide (Q_{1f} , Q_{2f}) este diferit de cel de la intrare.

Conform principiului conservării energiei, ecuația bilanțului de căldură, în forma cea mai generală se scrie astfel :

$$Q_{1i} + Q_{2i} = Q_{1f} + Q_{2f} + Q_p \quad (5.1)$$

în care Q_p reprezintă debitul de căldură ce se pierde prin pereții aparatului în mediul ambiant.

Ecuația (5.1) poate lua diverse forme, care depind de starea de agregare a fluidelor în timpul transferului de căldură. În cazul în care transferul de căldură de la fluidul mai cald la fluidul mai rece se realizează prin intermediul unui perete despărțitor, sînt posibile următoarele situații :

1. Nici unul din fluide nu-și modifică starea de agregare la trecerea prin aparat. În acest caz ecuația (5.1) devine :

$$Q = G_1 C_{p1} (t_{1i} - t_{1f}) = G_2 C_{p2} (t_{2f} - t_{2i}) + Q_p \quad (5.2)$$

În relația de mai sus G_1 și G_2 reprezintă debitele masice a fluidelor (indicele 1 se referă la fluidul mai cald, iar indicele 2 la cel mai rece), C_{p1} și C_{p2} sînt căldurile specifice, iar t_{1i} , t_{1f} , t_{2i} , t_{2f} sînt respectiv : temperatura fluidului mai cald la intrarea în aparat, temperatura fluidului mai cald la ieșirea din aparat, temperatura fluidului mai rece la intrarea în aparat și temperatura fluidului mai rece la ieșire.

2. Unul din fluide își modifică starea de agregare în timpul schimbului de căldură, iar celălalt își păstrează starea de agregare la trecerea prin aparat. Sînt posibile două cazuri :

a) Fluidul mai cald își modifică starea de agregare iar cel mai rece își păstrează starea de agregare cu care a intrat în aparat. Ecuația bilanțului termic în acest caz este :

$$Q = G_1 \cdot r_1 = G_2 \cdot C_{p2} (t_{2f} - t_{2i}) + Q_p \quad (5.3)$$

În ecuația (5.3) r_1 este căldura latentă a procesului de transformare de fază. Cel mai adesea acest caz este întîlnit atunci cînd fluidul mai cald este format din vapori care condensează și în acest caz, r_1 , este căldura latentă de condensare. Condensarea vaporilor se face cu dezvoltarea unei cantități importante de căldură, care este transmisă prin peretele despărțitor fluidului mai rece. Deoarece modificarea stării de agregare a unei substanțe, în condițiile în care presiunea rămîne constantă, este un proces izoterm, temperatura fluidului

rămâne neschimbată la trecerea prin aparat ($t_{11} = t_{1f}$). Celelalte mărimi din ecuația (5.3) au aceeași semnificație ca și cele din ecuația (5.2).

b) Fluidul mai cald nu-și modifică starea de agregare la trecerea prin aparat, iar caldura cedată de acesta servește pentru modificarea stării de agregare a fluidului mai rece :

$$Q = G_1 C_{p1} (t_{11} - t_{1f}) = G_2 \cdot r_2 + Q_p \quad (5.4)$$

Un exemplu pentru această situație este fierberea unui lichid sau topirea unei substanțe solide cu ajutorul unui fluid (gaz sau lichid) care are temperatura mai mare decât temperatura de fierbere sau de solidificare.

3. Ambele fluide își modifică starea de agregare în timpul transferului de căldură. Ecuația bilanțului termic pentru această situație are forma :

$$Q = G_1 r_1 = G_2 r_2 + Q_p \quad (5.5)$$

Schimbul de căldură cu schimbarea stării de agregare a ambelor fluide este întâlnit, de exemplu, în cazul fierbătorilor în care agentul de încălzire sînt vapori care condensează. În acest caz r_1 din ecuația (5.5) reprezintă căldura latentă de condensare a vaporilor iar r_2 reprezintă căldura latentă de vaporizare a lichidului care trebuie adus la fierbere.

4. Schimbul de căldură se realizează prin contact direct între fluidul mai cald și cel mai rece. De exemplu, în cazul încălzirii unui lichid mai rece cu vapori, bilanțul macroscopic de căldură se scrie, folosind schema din fig. (5.2), în care :

$$Q_{11} = G_1 \cdot i_1 \quad (5.6)$$

$$Q_{21} = G_2 \cdot C_{p2} \cdot t_{21} \quad (5.7)$$

$$Q_r = (G_1 + G_2) \cdot C_{p_{am}} \cdot t_{2r} \quad (5.8)$$

în care : i_1 este entalpia vaporilor ;

$C_{p_{am}}$ este caldura specifică a amestecului.

Cu aceste precizari ecuația bilanțului de căldură pentru aceasta situație devine :

$$Q = G_1(i_1 - C_{p_{am}} \cdot t_{2r}) = G_2(C_{p_{am}} \cdot t_{2r} - C_{p_2} t_{2i}) + Q_p \quad (5.9)$$

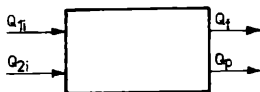


Fig. 5.2.

Elemente pentru întocmirea bilanțului de căldură la contactul direct între fluide.

5.3. SCHIMBĂTOARE DE CALDURĂ

Aparatele utilizate pentru realizarea transferului de caldura între fluide se numesc schimbătoare de căldură. Proiectarea tehnologică a unui schimbător de căldură înseamnă a-i determina dimensiunile geometrice caracteristice, ținând cont de condițiile în care se realizează transferul de căldură de la fluidul mai cald la cel mai rece.

Ecuația de dimensionare (de proiectare) este ecuația generală a transferului de căldură, prezentată în capitolul 2:

$$Q = K \cdot A \cdot \Delta t_{med} \quad (5.10)$$

În această ecuație Q reprezintă debitul de căldură transfe-

rat de la fluidul mai cald la fluidul mai rece prin suprafața A și se determină din bilanțul termic ; K este coeficientul global de transfer de căldură care se calculează prin metoda încercărilor succesive, în funcție de coeficienții individuali de transfer de căldură ; $\Delta t_{med.}$ reprezintă forța motoare medie a procesului de transfer de căldură care se calculează funcție de variația temperaturii și a modului de circulație a fluidelor (echicurent, contracurent, curent mixt) prin schimbător.

Din ecuația (5.10) se calculează suprafața de transfer de căldură, A , funcție de care apoi se determină celelalte dimensiuni ale schimbătorului.

În practica industrială se utilizează o gamă extrem de largă de schimbătoare de căldură și de aceea o clasificare riguroasă a lor este dificilă.

În continuare se vor prezenta principalele tipuri de schimbătoare de căldură în ordinea evoluției în timp a construcției lor.

1. Schimbătoare de căldură cu manta. Acest schimbător de căldură constă dintr-un recipient, cel mai adesea cilindric, înconjurat de o manta (fig. 5.3). În spațiul dintre pereții exterior al recipientului și pereții interior al mantalei circulă agentul termic (de încălzire sau de răcire). În cazul utilizării aburului ca agent termic, acesta trebuie introdus pe la partea superioară a mantalei. Aburul în contact cu pereții mai rece al recipientului, condensează, iar condensatul este evacuat continuu pe la partea inferioară a aparatului. Tot la partea superioară a mantalei se află un racord de aerisire pentru eliminarea periodică a gazelor necondensabile (de exemplu aerul) care, dacă se acumulează, determină scăderea coeficientului global de transfer

de caldura.

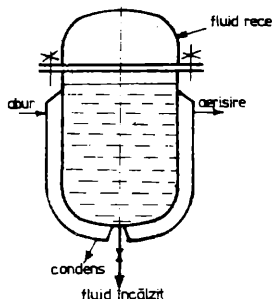


Fig. 5.3.

Schimbătorul de caldură cu manta.

În interiorul recipientului se introduce, dacă este necesar, un agitator, care are rolul de a intensifica circulația fluidului din interior și deci se mărește astfel coeficientul individual de transfer al caldurii de partea fluidului din recipient.

Aceste tipuri de schimbatoare se folosesc de obicei pentru productivități nu prea mari, care nu necesită suprafețe mari de transfer de caldură ($A < 10 \text{ m}^2$) și pentru temperaturi nu prea ridicate.

Dacă este necesară utilizarea aburului la o temperatură la care presiunea sa depășește 6 ata, atunci pentru creșterea rezistenței mecanice a schimbătorului, mantaua este sudată prin puncte de recipient. În acest caz tabla din care este confecționată mantaua are ștanțate o serie de orificii prin care aceasta va fi sudată de recipient (fig. 5.4).

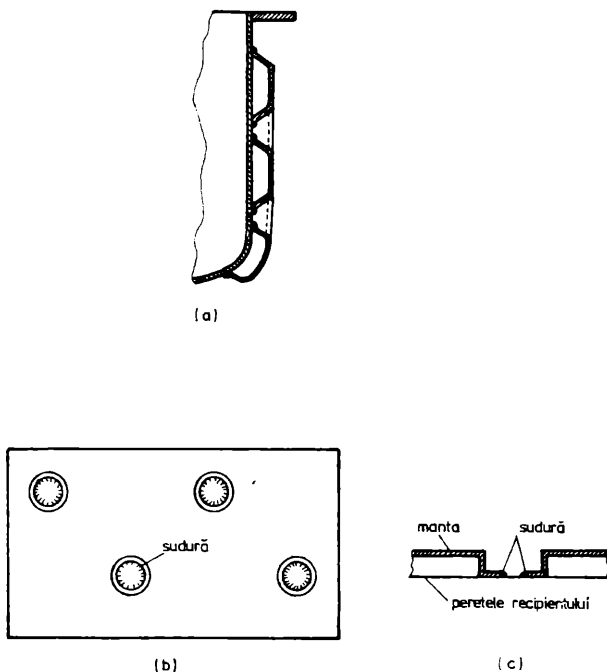


Fig. 5.4.

Schimbător de căldură cu manta întărită prin sudare ; (a) - manta sudată prin puncte ; (b) - tabla din care este confecționată mantaua ; (c) - detaliu de execuție și sudare a găurilor.

2. Schimbătoare de căldură cu serpentină. Aceste tipuri de schimbătoare sînt construite dintr-un recipient, închis sau deschis, în care se introduce o serpentină confecționată dintr-o țevă îndoită sub forma mai multor spire (fig. 5.5).

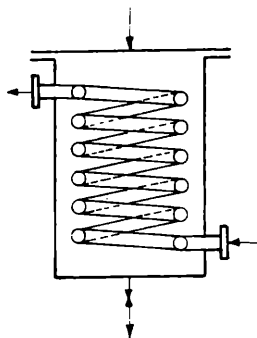


Fig. 5.5.

Schimbător de căldură cu
serpentină.

în care d este diametrul ser-
pentinei, iar L este lungimea totală a țevii din care este
confecționată serpentina (fig. 5.6).

Cînd suprafața de transfer
de căldură trebuie să fie
mare, serpentina se poate
confecționa din două rînduri
de spire concentrice.

Dimensionarea serpentinei
se face, folosind suprafața
de schimb de căldură, A , cal-
culată din ecuația de proiec-
tare $Q = K.A.\Delta t_{med.}$:

$$A = \frac{Q}{K \Delta t_{med}} = \pi d.L \quad (5.11)$$

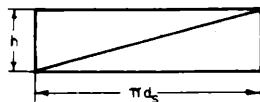
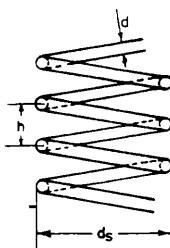


Fig. 5.6.

Elemente de calcul a serpentinei.

Lungimea unei spire a serpentinei, considerată ca o
linie elicoidală este dată de relația :

$$l = \sqrt{(\pi d_s)^2 + h^2} \approx \pi d_s \quad (5.12)$$

în care d_s este diametrul unei spire.

Lungimea totală a serpentinei poate fi exprimată funcție de lungimea unei singure spire astfel :

$$L = n \cdot \ell = n \pi d_s \quad (5.13)$$

în care n este numărul de spire.

Din relația (5.13) și (5.11) se obține :

$$n = \frac{A}{\pi^2 d \cdot d_s} \quad (5.14)$$

În general diametrul spirei, d_s , se admite funcție de diametrul recipientului în care urmează a se monta serpentina, iar diametrul țevii din care se confecționează serpentina, d , se adoptă din condiții hidrodinamice.

După calcularea numărului de spire a serpentinei cu relația (5.14) se poate determina înălțimea serpentinei, H :

$$H = n \cdot h \quad (5.15)$$

în care h este distanța dintre spire și depinde de comportarea la deformare a materialului din care se confecționează serpentina (h crește cu atât mai mult cu cât materialul este mai puțin maleabil).

Dacă înălțimea serpentinei, H , rezultă prea mare, se va confecționa o serpentină cu două sau trei rânduri de spire concentrice.

Aceste tipuri de schimbătoare de căldură ca și cele cu manta, au dezavantajul că au o suprafață de transfer de căldură relativ mică. Ele nu pot fi folosite în cazurile când pe serpentină se formează crustă sau alte depuneri, deoarece curățirea spirelor este dificilă.

Tot în această clasă de schimbătoare de căldură poate fi considerat și cel prezentat în fig. 5.7. Acesta este confecționat din tronsoane de țevi îmbinate prin coturi.

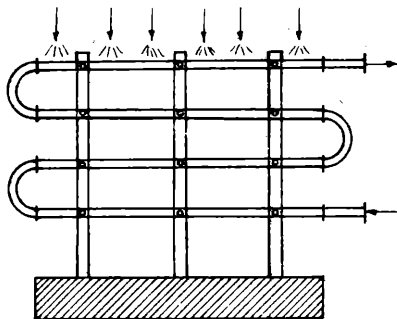


Fig. 5.7.

Răcitor cu stropire.

Rigidizarea rîndurilor de țevi se face cu ajutorul unei grinzi metalice sprijinite pe suporturi. Rîndurile de țevi pot fi imersate într-un recipient (schimbător scufundat) sau pot fi montate în aer liber și stropite la exterior, de obicei cu apă rece (răcitor cu stropire).

3. Schimbătoare de căldură tubulare. Acestea sînt cele mai reprezentative și mai utilizate aparate de transfer termic, fiind întîlnite în mai multe variante constructive :

a) Schimbătoare de căldură cu țevi coaxiale, numit și schimbător "țeavă în țeavă". Aceste schimbătoare se construiesc prin asamblarea în serie și în paralel a unor elemente formate din două țevi coaxiale. (fig. 5.8).

Asamblarea acestor elemente se poate face prin sudură (schimbător nedemontabil) sau cu elemente demontabile cum ar fi mușe, flanșe, piulițe olandeze etc. (schimbător demontabil).

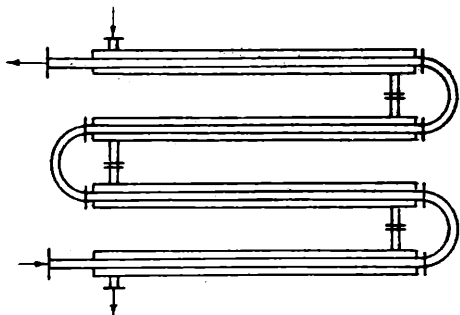


Fig. 5.8.

Schimbător de caldură cu țevi coaxiale.

Aceste tipuri de schimbătoare de caldură au avantajul că sînt simple și deci ușor de executat și că au o bună rezistență la presiuni mari, dar au dezavantajul ca se pot răsoli numai pentru productivități relativ mici.

Schimbatoarele "țeavă în țeavă", demontabile se folosesc în cazul cînd fluidele depun crustă, deoarece se pot demonta și curăți.

b) Schimbătoare de căldură multitubulare (cu țevi în manta). Sînt cele mai răspîndite tipuri de schimbătoare de caldură. În forma cea mai simplă, un astfel de aparat este construit dintr-un răscol de țevi fixate, la capete, în orificiile a două plăci tubulare prinse de o manta cilindrică (fig. 5.9). Deasupra plăcilor tubulare se fixează capacele care, prin construcție, formează spațiul de distribuție a lichidului în țevi sau spațiul de colectare a lichidului din țevi.

Dimensionarea tehnologică a unui astfel de schimbător de caldură se face în următoarele etape :

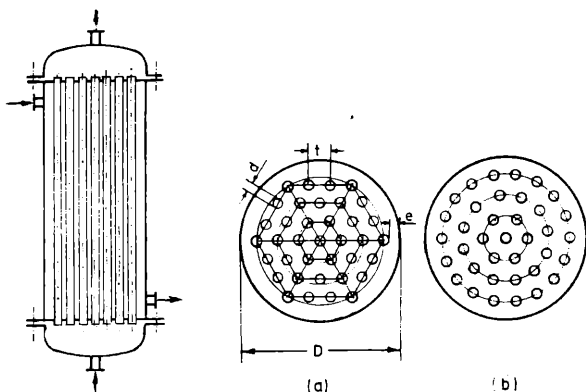


Fig. 5.9.

Schimbator de caldura multitubular și dispunerea țevilor pe placa tubulara ; (a) - dispunerea țevilor pe hexagoane ; (b) - dispunerea țevilor pe cercuri.

- se adoptă o viteză, w , a fluidului care curge prin țevi (dacă acesta nu-și modifică starea de agregare) astfel încît regimul de curgere al acestuia să fie turbulent. Din debitul fluidului ce curge prin țevi se determină numărul de țevi :

$$V_s = n \cdot \frac{\pi d^2}{4} \cdot w$$

de unde

$$n = \frac{4 V_s}{\pi d^2 \cdot w} \quad (5.15)$$

- se consultă un catalog în care funcție de numărul de țevi, n , se dau indicații pentru prelucrarea plăcilor tubulare cum ar fi : numărul total de hexagoane sau cercuri

concentrice, numărul de segmente, numărul de țevi de pe diagonala ultimului hexagon complet, numărul de țevi de pe segmente (hexagoane incomplete) etc.

Dacă numărul de țevi pe diagonala ultimului hexagon este b , atunci, după cum reiese și din fig. 5.9, diametrul interior al mantalei schimbătorului se poate calcula cu relația :

$$D = (b - 1)t + d_{\text{ext}} + 2e \quad (5.16)$$

În relația (5.16) t este pasul, dat de distanța dintre centrele a două țevi vecine, care se adoptă funcție de diametrul exterior al țevelor schimbătorului, d_{ext} , astfel încît $t = (1,2 - 1,5) \cdot d_{\text{ext}}$. De la ultimul rînd de țevi pînă la suprafața interioară a mantalei se lasă o distanță de cca 10 - 15 mm, distanță notată cu e în relația (5.16) și în fig. 5.9.

Înălțimea sau lungimea aparatului se determină din suprafața de transfer de căldură :

$$A = \sum d_m \cdot n \cdot h \quad (5.17)$$

de unde :

$$h = \frac{A}{\sum d_m \cdot n} \quad (5.18)$$

În relațiile (5.17) și (5.18), d_m este diametrul mediu al țevelor schimbătorului, dar atunci cînd valorile celor doi coeficienți individuali de transfer diferă mult între ei, se recomandă ca în aceste relații să se folosească diametrul de partea coeficientului individual de transfer cel mai mic.

Dacă din calcul, înălțimea (lungimea) aparatului rezultă prea mare, aparatul se construiește cu mai multe treceri a fluidului prin țevi. Numărul de țevi a schimbătorului cu mai multe treceri crește de atîtea ori de cîte ori scade lungimea țevelor sale. Fluidul care circulă prin interiorul țevelor

parcarge de mai multe ori schimbătorul, trecînd într-un sens și în sens contrar prin cîte o fracțiune din țevile fasciculului. Dirijarea lichidului se realizează cu ajutorul unor pereți despărțitori etanși, din capacele schimbătorului. Schematic, un astfel de schimbător este prezentat în fig. 5.10.

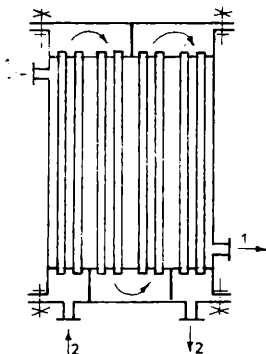


Fig. 5.10.

Schimbător de căldură cu mai multe treceri prin țevi

Curgerea fluidului printr-un număr mai mic de țevi decît numărul total de țevi din aparat are avantajul că pentru același debit de fluid viteza de curgere este mai mare, ceea ce determină coeficienți individuali de transfer mari.

Tot în vederea măririi vitezei de circulație și a turbulenței fluidului care circulă în spațiul dintre țevi și manta, în acest spațiu se pot monta șicane transversale sau longitudinale (fig. 5.11).

Pentru a se evita deformările și fisurările subansamblurilor schimbătoarelor ca urmare a dilatărilor termice, se

construiesc aparate cu lîră de dilatare și cu cap flotant, la care una din plăcile tubulare este fixă, iar cealaltă se poate deplasa în direcția de dilatare a țevelor.

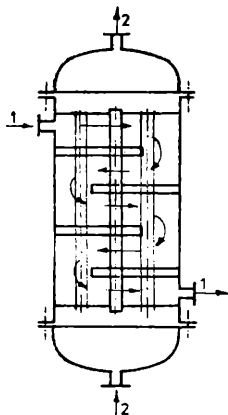


Fig. 5.11.

Schimbător de căldură cu și-cane.

4. Alte tipuri de schimbătoare de căldură

a. Schimbătoare de căldură spirale. Sînt formate din două table îndoite în formă de spirală și din doi pereți laterali, astfel încît să se separe două spații spirale prin care circulă în curent paralel sau în contracurent, cele două fluide care schimbă între ele căldură. Schematic un astfel de schimbator de căldură este prezentat în fig. 5.12.

Acest tip de schimbator prezintă o serie de avantaje dintre care se enumeră cîteva :

- sînt compacte (au volum mic) ;
- circulația fluidelor în aceste aparate se face cu viteze uniforme (nu sînt strangulări sau lărgiri de secțiuni de curgere) din care cauză pierderile de presiune sînt mici și deci și consumul de energie pentru transportul fluidelor este mai mic ;

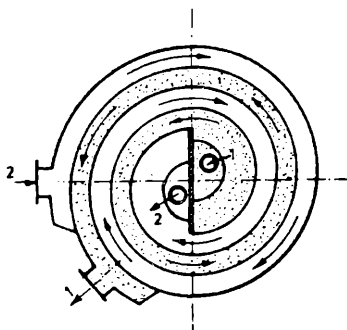


Fig. 5.12.

Schimbator de caldura spiral.

- permit atingerea unor valori mari ale coeficienților individuali de transfer de caldura ;
- productivitatea acestor schimbatoare este destul de mare, chiar la valori mici ale potențialului transferului de caldura (pina la $\Delta t_m = 5^\circ$).

Dezavantajul principal al schimbatoarelor de caldura spirale consta in dificultatea etansării tablelor spirale de pereții laterali. La acest dezavantaj se adauga și acela că in cazul in care fluidele depun crusta, curățirea suprafeței de schimb de caldura este practic imposibilă.

b) Schimbatoare de caldura cu aripioare. In cazul in care valorile coeficienților individuali de transfer de caldura ai celor două fluide diferă mult între ele, ca de exemplu la încălzirea gazelor cu vapori in condensare, pentru a asigura o productivitate mare a schimbătoarelor de caldura se mărește suprafața de transfer de partea fluidului cu coefici-

entul individual de transfer mai mic. Aceasta se realizează prin executarea aparatelor cu elemente constructive care au de partea fluidului cu α mai mic, turnate sau sudate, aripioare longitudinale sau transversale așa cum se prezintă în fig. 5.13.

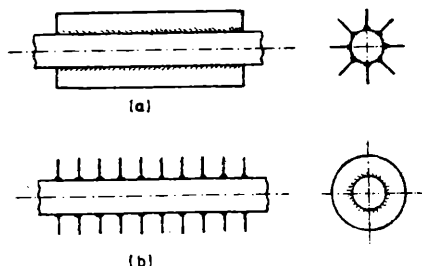


Fig. 5.13.

Ţevi cu aripioare pentru schimbătoare de căldură
 (a) - ţevi cu aripioare longitudinale ; (b) -
 ţevi cu aripioare transversale.

5. Condensatoare. În numeroase procese tehnologice se utilizează sau se produc vapori care fie că se condensează în proces, fie că trebuie condensaţi în vederea recuperării lor sau a căldurii lor sau în scopul creerii unei depresii. Aparatele în care se realizează condensarea se numesc condensatoare.

Aşa cum s-a precizat condensarea se poate realiza fie în condensatoare de suprafaţă, fie în condensatoare de amestec. În continuare se vor prezenta câteva tipuri de aparate, reprezentative pentru cele două clase de condensatoare.

- Condensatoare de suprafaţă tubulare. Sînt de obicei schimbătoare de căldură tubulare obişnuite. Agentul de

răcire circulă prin țevi, iar vaporii condensează pe suprafața exterioară a țevelor. Gazele necondensabile sînt evacuate fie împreună cu condensatul (condensatoare umede), fie separat, printr-o pompă de vid (condensatoare uscate).

În fig. 5.14 este prezentată schița de principiu a unui condensator tubular, iar în fig. 5.15 este schițat un condensator de amestec uscat cu nivel scăzut.

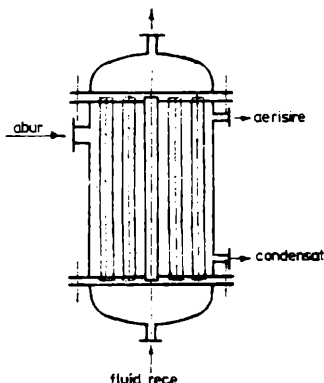


Fig.5.14.
Condensator tubular.

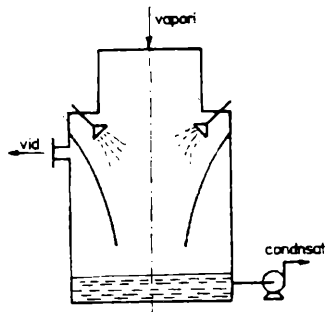
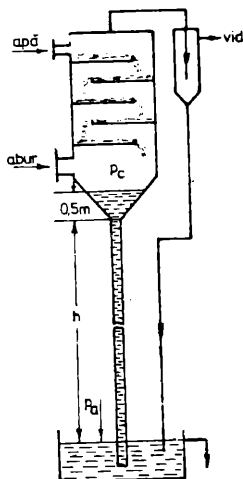


Fig.5.15.
Condensator de amestec uscat
cu nivel scăzut.

Vaporii ce urmează a fi condensați, intră la partea superioară a aparatului. Tot la partea superioară se pulverizează apă rece, printr-un sistem de duze. La contactul vaporilor cu lichidul rece se produce condensarea. Condensatul este evacuat cu ajutorul unei pompe. Gazele necondensabile sînt evacuate cu o pompă de vid. Acest tip de condensator are avantajul că are dimensiunile de gabarit reduse și nu necesită suprafețe mari pentru montaj, dar are dezavantajul că utili-

zează, pentru evacuarea condensului, o pompă.

În condensatorul din fig. 5.16, evacuarea lichidului



se face fără pompă, sub acțiunea coloanei barometrice de lichid.

Din acest motiv acest tip de condensator se numește condensator de amestec uscat cu nivel ridicat sau condensator barometric. Pentru mărirea suprafeței de contact între vapori și lichidul de răcire, aparatul este prevăzut în interior cu șicane sau talere perforate.

Înălțimea coloanei barometrice se calculează cu ajutorul ecuației Bernoulli, care pentru această situație se scrie în forma :

$$P_a = P_c + \rho g \cdot h + 0,5 \rho g \quad (5.19)$$

Fig. 5.16.

Condensator barometric.

$$h = \frac{P_a - P_c}{\rho g} + 0,5, \text{ m} \quad (5.20)$$

În relațiile de mai sus, P_c reprezintă presiunea din condensator, iar P_a este presiunea atmosferică. Factorul numeric 0,5 reprezintă o coloană suplimentară de lichid necesară pentru învingerea pierderilor de presiune prin frecare și pentru asigurarea unei anumite viteze de curgere a condensatului prin tubul barometric.

Pentru condensarea vaporilor pot fi folosite și injectoarele (fig. 5.17). Aburul sub presiune este introdus printr-o duză ; la ieșirea din duză aburul antrenează apa introdusă

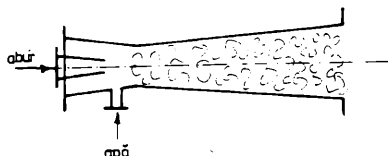


Fig. 5.17.
Injector.

printr-un racord lateral. Prin amestecarea intensă a vaporilor cu lichidul de răcire se realizează condensarea și uneori, răcirea condensatului care este evacuat împreună cu apa.

5.4. IZOLAREA TERMICA

Prin izolare termică se înțelege acoperirea suprafețelor prin care se pierde sau primește căldura din exterior, cu materiale termoizolante, adică cu materiale a căror conductivitate termică este mică ($\lambda < 0,25 \text{ W/m}^2 \cdot \text{grad}$).

Izolantul cel mai bun este aerul, care are conductivitatea termică cea mai mică ($\lambda = 0,023 \text{ W/m}^2 \cdot \text{grad}$), cu condiția reducerii la o valoare minimă posibilă a convecției libere și a radiației.

Pentru aceasta, stratul de aer trebuie împărțit în compartimente cât mai mici, astfel încât convecția să fie frântă, utilizând materiale poroase, fibroase, pulverulente etc. La astfel de materiale se definește o conductivitate aparentă,

rezultată din conductivitatea efectivă, convecția și radiația în interiorul materialului izolant. Conductivitatea termică aparentă, depinde de porozitatea materialului, natura chimică și structura materialului și de conținutul de umiditate (umiditatea mărește mult conductivitatea scăzând astfel proprietățile termoizolante ale materialului).

Materialele izolante se folosesc în următoarele forme :

- straturi succesive de material izolant amestecat, pentru a forma o pastă, cu fibre de azbest și cu apă, care aplicate succesiv pe suprafețe calde formează, după vaporizarea apei, un strat poros de grosime dorită ;
- material fixat sau vărsat pe suprafață : rumeghea de plută, azbest, vată de sticlă, vată de zgură, fibre textile, Kieselgur, silice etc. ;
- sfoară sau împletitură din bumbac, azbest, vată de sticlă etc. ;
- folii de aluminiu care servesc atât pentru ecranarea radiațiilor cât și pentru compartimentarea stratului de aer ;
- vopsirea suprafețelor cu vopsele având coeficienți de emisie mici ;
- argintarea suprafețelor.

În general, în toate cazurile de izolare termică trebuie aleasă grosimea optimă a stratului de izolator, astfel încît costul izolației și al căldurii pierdute prin izolație să fie minim.

În principiu, calculul izolației este un calcul de verificare ce constă în determinarea cantității de căldură care se pierde efectiv printr-o izolație adoptată (adoptarea izolației presupune adoptarea materialului termoizolant și a grosi-

mii acestuia) și compararea acestuia cu cantitatea de căldură admisă a fi pierdută prin izolație.

Pentru calculul căldurii transmise prin izolație se folosește relația :

$$Q_{iz} = K_{iz} \cdot A_{iz} \cdot \Delta t_{med}. \quad (5.21)$$

în care

$$K_{iz} = \frac{1}{\frac{\delta_{iz}}{\lambda_{iz}} + \frac{1}{\alpha_{c,r}}} \quad (5.22)$$

unde :

δ_{iz} este grosimea izolației ;

λ_{iz} - conductivitatea termică a materialului izolant ;

$\alpha_{c,r}$ - coeficientul individual de transmitere a căldurii prin convecție liberă și radiație de la suprafața exterioară a izolației către mediul înconjurător.

Pentru cazul aparaturii care se găsește în spații închise, la temperaturi ale suprafeței peretelui aparatelor pînă la 150°C, se poate utiliza următoarea relație aproximativă :

$$\alpha_{c,r} = 9,74 + 0,07(t_1 - t_a) , W/m^2 \cdot \text{grad} \quad (5.23)$$

în care :

t_1 - temperatura suprafeței exterioare a izolației ;

t_a - temperatura aerului.

5.5. EXPLOATAREA SCHIMBATOARELOR DE CALDURA.

PROTECTIA MUNCII

Operațiile de întreținere curentă a schimbătoarelor de căldură constau în controlul vizual al îmbinărilor prin flanșe și a stării izolației termice.

Depunerile de crustă pe suprafețele de transfer înrăutățesc schimbul de căldură. Acest fapt impune curățirea periodică a schimbătoarelor de căldură, operații ce necesită oprirea instalației și decuplarea aparatului.

Curățirea suprafețelor de transfer se poate executa prin mai multe procedee din care se amintesc :

a) Curățirea chimică, constă în folosirea unor agenți chimici care atacă depunerile. Pentru evitarea atacului chimic al materialului din care este confecționat schimbatorul, în soluțiile de curățire se introduc inhibitori adecvați. Metoda are avantajul că nu necesită demontarea aparatului, dar prezintă dezavantajul că este scumpă.

b) Curățirea prin mijloace mecanice, constă în îndepărtarea depunerilor cu ajutorul unor scule acționate manual sau mecanic. Acest procedeu implică demontarea parțială a aparatului.

c) Curățirea cu ajutorul șocurilor termice, constă în trecerea aburului prin țevi, urmată de o stropire din exterior cu apă rece. Diferența între coeficienții de dilatare termică a materialului țevii și a crustei determină spargerea și desprinderea acesteia din urma.

d) Curațirea cu ultrasunete se bazează pe patrunderea vibrațiilor sonore (cu frecvențe de cca 50 KHz) între metal și crustă. Elasticitatea mai mică a crustei față de cea a materialului determină distrugerea crustei.

Pentru evitarea accidentelor de muncă în exploatarea schimbatoarelor de căldură, trebuie respectate o serie de norme de protecție a muncii din care se prezintă cele mai importante :

- schimbatoarele de căldură se vor proba la presiunea de încercare după fiecare reparație capitală și ori de câte ori condițiile de securitate impun acest lucru ;

- se vor lua măsuri de izolare a schimbatoarelor în caz de avarii ;

- aparatele în care agenții termici au temperaturi ridicate se vor izola termic, iar încăperile în care sînt agenții termici cu temperaturi ridicate se vor ventila mecanic, încît să se asigure un microclimat adecvat. De asemenea, conductele prin care circulă fluide fierbinți vor fi izolate termic și vor avea apărătoare la flanșe.

5.6. USCAREA

Materialele naturale semifabricatele și produsele conțin proporții variabile de umiditate provenită din contactul cu apa lichidă sau cu vaporii de apă din aer ; uneori umiditatea o formează apa reacțiilor chimice sau apa de constituție structurală.

Pentru necesități de transport, depozitare, conservare sau cerințe de utilizare în procesele tehnologice se impune, de cele mai multe ori, reducerea sau îndepărtarea practic totală a umidității. Dacă conținutul de apă al materialelor este prea mare se recomandă ca îndepărtarea ei să se facă mai întâi prin operațiile de decantare, filtrare sau centrifugare, prezentate anterior, iar în final să se facă uscarea.

Uscarea este operația prin care apa din materiale solide este îndepărtată cu ajutorul aerului ; aerul are rolul dublu de a aduce în întregime sau parțial căldura necesară vaporizării apei și de a transporta vaporii de apă. Pentru uscare materia primă se poate prezenta în cele mai diferite forme : paste, granule, foi, plăci, pânze, semifabricate, produse finite etc. Produsul rezultat la uscare poate fi practic anhidru sau poate să conțină încă mici cantități de umiditate.

Termenul de uscare este folosit și în înțelesul mai larg echivalent cu îndepărtarea umidității, de exemplu evaporarea soluțiilor până la siccitate, uscarea gazelor ; de asemenea, este folosit și în cazul îndepărtării unui alt lichid dintr-un

material solid, pastă sau suspensie, folosind ca purtător de căldură și transportor de umiditate gaze de ardere sau un alt gaz, nu numai aerul. În continuare se va trata cazul cel mai răspândit în practica industrială, când umiditatea o constituie apa, iar purtătorul de căldură și transportorul de umiditate - agentul de uscare - este aerul cald.

5.6.1. Proprietățile aerului umed

Umiditatea absolută ρ_v a aerului reprezintă cantitatea de vaporii de apă, exprimată în unități de masă, conținută într-un metru cub de aer umed nesaturat, aflat la temperatura t și presiunea p .

Umiditatea absolută la saturație ρ_{vs} reprezintă cantitatea maximă de vaporii de apă, exprimată în unități de masă, ce se poate afla într-un metru cub de aer umed, aflat la aceeași temperatură t și presiune p . Aerul umed cu umiditatea ρ_{vs} se numește aer saturat. Starea de saturație este caracterizată prin aceea că introducând o cantitate suplimentară, infinit mică de vaporii, sau scăzând cu o valoare dt temperatura aerului aerului se produce condensarea sub formă de picături a unei părți din vaporii de apă din aer.

Umiditatea relativă φ este raportul între umiditatea absolută ρ_v și umiditatea absolută la saturație ρ_{vs} :

$$\varphi = \frac{\rho_v}{\rho_{vs}} \quad (5.24)$$

Considerând că la presiuni nu prea mari aerul umed se comportă ca un gaz perfect se pot obține relații care leagă

umiditatea relativă de presiunea parțială a vaporilor de apă din aer :

$$p_v \cdot V = m_v \cdot R_v \cdot T \quad (5.25)$$

$$p_v = \frac{m_v}{V} \cdot R_v \cdot T = \rho_v \cdot R_v \cdot T \quad (5.26)$$

În mod asemănător se obține :

$$p_{v_s} = \frac{m_{v_s}}{V_s} \cdot R_v \cdot T = \rho_{v_s} \cdot R_v \cdot T \quad (5.27)$$

Împărțind ultimele două relații rezultă :

$$\varphi = \frac{p_v}{p_{v_s}} \quad (5.28)$$

În relațiile (5.25) - (5.28) s-a notat :

p_v - presiunea parțială a vaporilor din aerul umed cu temperatura T ;

p_{v_s} - presiunea vaporilor de apă saturați, considerată la temperatura T a aerului umed ;

m_v - masa vaporilor de apă în aerul nesaturat ;

m_{v_s} - masa vaporilor în aerul saturat ;

V - volumul aerului umed nesaturat ;

V_s - volumul aerului umed saturat ;

R_v - constanta vaporilor, J/Kg.K.

Umiditatea relativă φ are valori cuprinse între 0 și 1 și exprimă ca sens fizic gradul de saturare a aerului cu vaporii de apă ; pentru aerul saturat φ este egal cu 1.

Conținutul de umiditate x reprezintă cantitatea de vaporii de apă raportată la 1 Kg de aer absolut uscat. După dimensiunile sale se vede că x reprezintă concentrația umidității aerului exprimată în rapoarte masice. Legătura între x și φ se stabilește prin intermediul legii gazelor perfecte, admi-

gînd că volumul aerului umed nu diferă prea mult de volumul aerului uscat :

$$x = \frac{\rho_v}{\rho_a} \Leftrightarrow x = \frac{p_v}{p_a} \cdot \frac{R_a}{R_v} \quad (5.29)$$

ρ_v - umiditatea absolută ;

ρ_a - densitatea aerului ;

p_v - presiunea parțială a vaporilor de apă din aerul umed ;

p_a - presiunea parțială a aerului uscat din amestecul aer-vapori de apă ;

R_v - constanta vaporilor de apă ;

R_a - constanta aerului.

Pe baza legii Dalton se poate scrie : $p_a = P - p_v$ și relația (5.29) devine :

$$x = \frac{R_a}{R_v} \cdot \frac{p_v}{P - p_v} \quad (5.30)$$

care combinată cu relația (5.28) conduce la forma :

$$x = \frac{R_a}{R_v} \cdot \frac{\varphi \cdot p_s}{P - \varphi \cdot p_s} \quad (5.31)$$

Pe baza legăturii între constanta universală a gazelor și constanta gazelor, relația (5.31) se poate transcrie în forma :

$$x = \frac{18}{29} \cdot \frac{\varphi \cdot p_s}{P - \varphi \cdot p_s} = 0,622 \frac{\varphi \cdot p_s}{P - \varphi \cdot p_s} \quad (5.32)$$

Pentru aerul absolut uscat $x = 0$ deoarece $p_{v_s} = 0$; dacă $\varphi \cdot p_s = P$, rezultă $x = \infty$, situație corespunzătoare stării de saturație a vaporilor de apă (fără aer).

Entalpia aerului umed este dată ca o funcție aditivă a entalpiei aerului uscat și a vaporilor de apă :

$$h = h_a(1 - x) + x h_v \quad (5.33)$$

unde x reprezintă conținutul de umiditate al aerului ; h_a , h_v - entalpia aerului uscat, respectiv a vaporilor de apă, ambele calculate la temperatura t a aerului umed.

În diagramele aerului umed se trasează de cele mai multe ori nu entalpia unui Kilogram de aer umed, ci entalpia a $(1+x)$ Kg aer umed care se exprimă, tot pe baza legii aditivității, prin relația :

$$h_{1+x} = h_a + x h_v \quad (5.34)$$

sau :

$$h_{1+x} = C_{p_a} t + x(r + C_{p_v} \cdot t) \quad (5.35)$$

Pentru căldura specifică a aerului uscat între 0 și $t^{\circ}\text{C}$, se poate utiliza formula :

$$C_{p_a} = 1,005 + 1,35 \cdot 10^{-8} (t+30)^2, \text{ KJ/Kg.grd} \quad (5.36)$$

iar pentru căldura specifică a vaporilor de apă :

$$C_{p_v} = 1,8584 + 9,4 \cdot 10^{-3} \left(\frac{t}{100}\right) + 3,73 \cdot 10^{-3} \left(\frac{t}{100}\right)^2 \quad \text{KJ/Kg.grd} \quad (5.37)$$

În diagramele aerului umed se consideră constante căldurile specifice ale aerului uscat și vaporilor de apă și, de asemenea, căldura latentă de evaporare r . Valorile care se iau în calcule sînt : $C_{p_a} \approx 1,006 \text{ KJ/Kg.grd}$; $C_{p_v} \approx 1,863 \text{ KJ/Kg.grd}$; $r = 2500 \text{ KJ/Kg}$.

Cu aceste valori entalpia aerului umed se scrie :

$$h_{1+x} = 1,006 \cdot t + x(2500 + 1,863 t), \text{ KJ/Kg} \quad (5.38)$$

5.6.1.1. Diagrama de stare a aerului umed

Amestecul aer - vapor de apă este caracterizat prin trei parametri de stare independenți : presiunea totală P , temperatura t și conținutul de umiditate x . La presiunea P constantă, transformările de stare ale aerului umed pot fi repre-

zentate grafic în diagramele de stare. Există o gamă largă de diagrame ale aerului umed, construite pentru presiuni totale cuprinse între 500 și 1000 mm Hg. Trasarea curbelor în diagrame se bazează pe relațiile analitice care definesc proprietățile aerului umed. În figura 5.18 este reprezentată diagrama de stare a aerului umed trasată de Ramzin în 1918, la presiunea totală de 745 mm Hg ; pe ordonată este notată entalpia iar pe abscisă conținutul de umiditate a aerului umed.

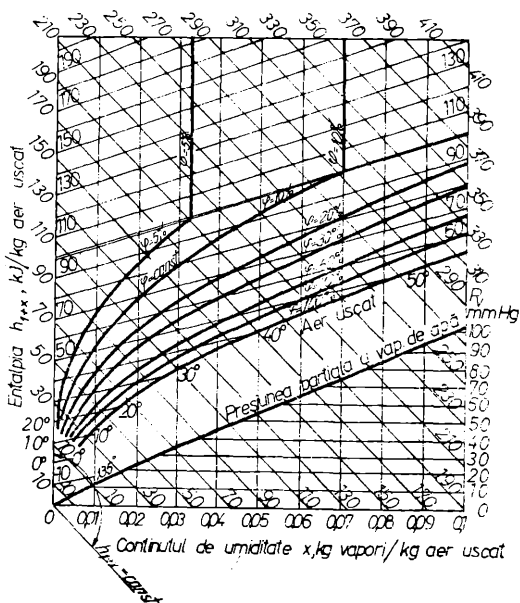


Fig. 5.18.
Diagrama $h - x$ (după Ramzin).

Izotermele ar fi reprezentate în această diagramă de drepte cu înclinarea

$$\left(\frac{dh_{1+x}}{dx} \right)_t = 2500 + 1,863 t \quad (5.39)$$

Ecuația (5.39) se obține prin derivarea în raport cu x a ecuației (5.38). Din cauza valorii mari a căldurii latente de evaporare ($r = 2500$ KJ/Kg), izotermele ar fi mult înclinate față de axa absciselor, făcând inutilă cea mai mare parte din câmpul diagramei. Pentru aceasta diagramele de stare se construiesc în coordonatele oblice; diagrama Ramzin este în coordonate oblice cu axa absciselor decalată la 135° (Diagrama $h-x$ trasată de Mollier este asemănătoare cu diagrama Ramzin dar are axa absciselor decalată la $\sim 120^\circ$ față de ordonată). Abscisa perpendiculară pe ordonată se numește abscisă auxiliară și pe ea se notează conținutul de umiditate a aerului. Izotermele pleacă de pe ordonată și vor avea o mică înclinare față de abscisa auxiliară, determinată de termenul $1,863 t$. Dreptele de entalpie constantă pleacă tot de pe ordonată, dar vor fi paralele cu abscisa oblică. Curbele de $\varphi = \text{const.}$ se trasează pe baza relației (5.32). Pentru trasarea curbei $\varphi = 1$ sau $\varphi = 100\%$ se iau din tabele, la diferite temperaturi, valorile presiunii vaporilor de apă la saturație și se calculează x_g - conținutul de umiditate în aerul umed saturat cu vaporii de apă. Cu valorile t alese și x_g calculate se obțin punctele pentru trasarea curbei $\varphi = 100\%$.

Curba pentru $\varphi = 100\%$ se numește curbă limită de saturație, deoarece ea separă domeniul ceții (cînd aerul este supra-saturat) de domeniul aerului umed nesaturat. Ea reprezintă locul geometric al tuturor punctelor care dau valoarea conți-

nutului de umiditate x_g a aerului saturat cu vapori de apă la diferite temperaturi.

Pentru curbele $\varphi < 100\%$ se admit valori ale lui φ și se calculează x la diferite temperaturi. Toate curbele de $\varphi =$ constant pot fi trasate numai pînă la temperatura de fierbere a apei la presiunea P la care este construită diagrama. De exemplu, la diagrama Ramzin această temperatură este $99,4^\circ\text{C}$ - corespunzătoare presiunii barometrice de 745 mm Hg la care s-a construit diagrama. Peste $99,4^\circ\text{C}$ presiunea de saturație a vaporilor de apă se consideră egală cu P și φ devine dependent numai de x (v. rel. 5.32), iar în diagramă se continuă aproape vertical.

În partea de jos a diagramei (sub curba $\varphi = 1$) s-a reprezentat curba care da presiunea parțială a vaporilor de apă din aerul umed; curba este trasată pe baza ecuației (5.30) rezolvată în raport cu p_v . Valorile lui p_v se citesc pe ordonata din dreapta diagramei.

Determinarea proprietăților aerului umed cu ajutorul diagramei $h - x$. Dacă sînt date două proprietăți de stare ale aerului umed, cu ajutorul diagramei $h - x$ se află ușor toate celelalte proprietăți definite prin relațiile date mai înainte. De exemplu (v. fig. 5.19) dacă sînt date temperatura t_A și umiditatea relativă φ_A starea aerului umed este reprezentată pe diagramă prin punctul A situat la intersecția izotermei t_A cu curba φ_A . Se duce prin acest punct paralela la abscisa oblică și se citește pe ordonată entalpia h_A ; coborînd din A perpendiculara pe abscisă auxiliară se află conținutul de umiditate x_A . Segmentul $\overline{ox_A}$ reprezintă presiunea parțială a vaporilor

unde : $(p_v)_t$ este presiunea de saturație a vaporilor de apă
la temperatura t_r ;

$(p_v)_t$ - presiunea de saturație a vaporilor de apă
la temperatura t a aerului umed.

Temperatura termometrului umed reprezintă temperatura pe care o ia apa care se evaporă în contact cu aerul spre sfârșitul procesului de evaporare. În acest moment se consideră că procesul evaporării apei, aflată în contact cu aerul, se desfășoară în regim adiabatic, respectiv toată căldura necesară pentru evaporarea umidității este preluată numai de la aer iar vaporii rezultați ajung în aer. Pe măsura evaporării aerul se răcește și se îmbogățește cu vaporii de apă. Când aerul se saturează cu vaporii de apă se atinge starea de echilibru și evaporarea umidității încetează. Temperatura aerului în acest moment devine egală cu temperatura termometrului umed. Ea se mai numește și temperatura limită de răcire a aerului în contact cu apa care se evaporă.

Deoarece procesul evaporării apei în contact cu aerul se consideră în regim adiabatic, respectiv la entalpie constantă a aerului, temperatura termometrului umed se poate afla pe diagrama $h-x$ la intersecția izentalpei aerului de stare dată cu curba $\varphi = 100\%$. Pentru aerul caracterizat prin punctul A izentalpa $h_A = \text{const.}$ intersectează curba $\varphi = 100\%$ în punctul b. Izoterma care trece prin punctul b dă temperatura termometrului umed t_u .

Reprezentarea în diagrama $h-x$ a transformărilor de stare ale aerului umed. Procesul încălzirii aerului se reprezintă în diagramă prin verticala AB (v.fig. 5.20.a) deoarece

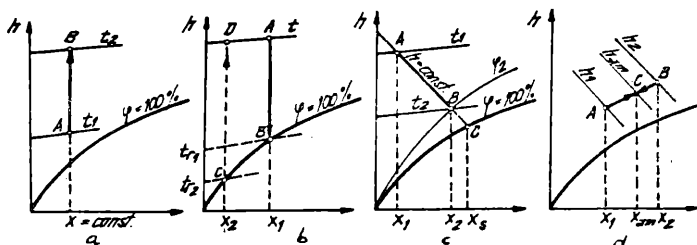


Fig. 5.20.

Transformările aerului umed reprezentate în diagrama $h - x$.

prin încălzirea aerului de la temperatura t_1 la temperatura t_2 conținutul de umiditate nu se modifică ($x = \text{const.}$). Răcirea aerului umed nesaturat se produce tot la $x = \text{const.}$ și este reprezentată prin dreapta BA.

Procesul uscării aerului prin răcire este reprezentat în fig. 5.20.b prin curba ABC : în prima etapă are loc răcirea aerului la $x_1 = \text{const}$ (dreapta AB) pînă la temperatura punctului de t_{r1} cînd aerul devine saturat ($\varphi = 100\%$) ; dacă se continuă răcirea se produce condensarea și o parte din vaporii de apă se transformă în picături. Procesul răcirii aerului cu condensarea parțială a vaporilor de apă este reprezentat pe curba $\varphi = 100\%$ (ramura BC). În punctul C aerul are conținutul de umiditate x_2 și temperatura de rouă t_{r2} . Diferența $x_1 - x_2$ reprezintă cantitatea de vaporii de apă care a condensat. Dacă aerul caracterizat prin punctul C este din nou încălzit la temperatura t (dreapta CD), el va avea umiditatea relativă mult mai mică (corespunzătoare punctului D).

Procesul evaporării adiabatică a apei în contact cu aerul

este reprezentat în fig. 5.20.c : aerul, caracterizat prin punctul A, venind în contact cu un material umed se răcește cedînd căldură pentru evaporarea apei. Vaporii de apă ajung în aer mărindu -i conținutul de umiditate de la x_1 la x_2 . Evaporarea avînd loc în regim adiabatic, entalpia aerului rămîne constantă și procesul se reprezintă prin dreapta AB ($h_A = h_B = \text{const.}$). Dacă aerul este menținut în continuare în contact cu materialul umed, el continuă să se răcească și să se îmbogățească în vaporii de apă pînă devine saturat (punctul C); temperatura sa devine egală cu temperatura termometrului umed care este și temperatura pe care o are umiditatea din material. Punctul C reprezintă starea limită a aerului în procesul uscării, cînd se realizează un echilibru dinamic între umiditatea aerului și umiditatea materialului. Acest echilibru este caracterizat prin egalitatea presiunii de vaporii a umidității din material și presiunea parțială a vaporilor de apă din aer. După atingerea stării de echilibru nu se mai produce evaporarea umidității din material sau, cu alte cuvinte, el nu se mai usucă în contact cu aerul. În practică, din motive de productivitate, uscarea cu aer nu se conduce pînă la atingerea stării de echilibru cînd aerul devine saturat, ci pînă la atingerea unui conținut de umiditate $x_2 < x_s$. Cantitatea de apă îndepărtată prin uscare cu aer este $x_2 - x_1$ Kg/Kg aer uscat.

În fig. 5.20.d este reprezentat procesul amestecării aerului cu stări diferite : din aerul reprezentat prin punctul A, cu entalpia h_1 și conținutul de umiditate x_1 și aerul reprezentat prin punctul B, cu entalpia h_2 și conținutul de umiditate x_2 , se obține un amestec caracterizat prin punctul C. Admițînd că la 1 Kg aer reprezentat prin punctul A corespund

n Kg aer reprezentat prin punctul B se obține dintr-un bilanț termic entalpia amestecului :

$$h_{am} (1 + n) = 1 \cdot h_1 + n \cdot h_2 \Rightarrow$$

$$h_{am} = \frac{h_1 + n h_2}{1 + n} , \text{ KJ/Kg} \quad (5.41)$$

Din bilanțul de mai sus pentru umiditate se obține conținutul de umiditate al amestecului :

$$x_{am} = \frac{x_1 + n x_2}{1 + n} , \text{ Kg/Kg} \quad (5.42)$$

Se poate demonstra că punctele A, B și C sînt coliniare.

5.6.2. Ecilibrul material umed - aer

Procesul de uscare este influențat în mare măsură de modul cum este legată apa cu materialul supus uscării. O clasificare rațională a modurilor de legare a umidității cu materialele se face după natura și intensitatea energiei de legătură. După acest criteriu se deosebesc trei moduri de legare a apei : apă legată chimic, apă legată fizico - chimic și apă legată mecanic.

Apa legată chimic o reprezintă apa de constituție structurală. Ea se află într-un raport strict determinat și nu se îndepărtează prin uscare pentru a nu distruge materialul. Energia de legare chimică a apei este de ordinul de mărime a energiei reacțiilor chimice.

Apa legată fizico - chimic o constituie apa reținută prin adsorbție fizică și prin osmoză. Osmoza este fenomenul de

difuziune a umidității printr-un mediu despărțitor constituit, de exemplu, dintr-o membrană coloidală de tip gel. Apa este reținută prin osmoză în pereții capilarelor sau în interiorul miculelor coloidale, după ce încetează adsorbția fizică. Cantitatea de apă reținută prin osmoză poate fi importantă ; de exemplu gelatina reține prin osmoză de 50 ori mai multă apă decât aceea legată prin adsorbție.

Apa legată mecanic - o constituie apa conținută în orice proporție în material, în afară de apa reținută prin adsorbție sau osmoză. Apa legată mecanic este reținută în interiorul capilarelor în pori sau la suprafața materialelor. Aceasta din urmă este reținută prin forțe de adesiune și se numește apă de umezire.

Materialele se compară, sub aspectul comportării la uscare, cu corpurile coloidale - capilare - poroase la care se întâlnesc toate formele de legare a umidității.

Corpurile coloidale sînt geluri elastice care prin îndepărtarea umidității se contractă, dar își păstrează elasticitatea (gelatina, aluatul, suspensiile de argilă).

Corpurile capilare - poroase în care umiditatea este legată prin forțe de capilaritate, după îndepărtarea umidității devin fragile, sfărîmicioase.

Corpurile coloidale - capilare - poroase prezintă o anumită elasticitate a capilarelor și porilor și, drept urmare, prin umezire se umflă.

Dacă se supun uscării, materialele cu un conținut mare de umiditate, aceasta se transferă prin material în timpul procesului, sub formă lichidă (apa legată osmotic) apoi, pe măsura scăderii umidității, apa se transferă atît sub formă de

vapori cît și sub formă de lichid (apa legată prin forțe de capilaritate). Spre sfîrșitul uscării, cînd a mai rămas puțină umiditate în material, apa se transferă numai sub formă de vapori (apa reținută prin adsorbție).

Umiditatea care se îndepărtează prin uscare se împarte în umiditate liberă și umiditate higroscopică. Pe durata îndepărtării umidității libere, presiunea vaporilor de apă în imediata vecinătate a suprafeței materialului este egală cu presiunea vaporilor saturați ai apei la temperatura materialului. Potențialul procesului de îndepărtare a umidității libere poate fi exprimat ca diferență între presiunea de saturație a vaporilor de apă la temperatura materialului (temperatura termometrului umed) și presiunea parțială a vaporilor de apă din mediul înconjurător.

În cazul umidității higroscopice, datorită forțelor de legare a umidității cu materialul, presiunea vaporilor de apă în imediata vecinătate a suprafeței materialului poate fi mai mică decît presiunea vaporilor saturați la temperatura materialului. Îndepărtarea umidității higroscopice se face mai greu prin uscare cu aer. Un material umed pus în contact cu aerul se va usca dacă presiunea vaporilor de apă de deasupra materialului este mai mare decît presiunea parțială a vaporilor de apă din aer. Dimpotrivă, dacă un material uscat este pus în contact cu aerul umed în care presiunea parțială a vaporilor de apă este mai mare decît presiunea vaporilor de apă de deasupra materialului are loc umezirea acestuia din urmă.

În ambele cazuri procesul încetează atunci cînd presiunea parțială a vaporilor de apă din aer devine egală cu presiunea

vaporilor de apă de la suprafața materialului. Umiditatea materialului în acest moment se numește umiditate de echilibru. Valoarea umidității de echilibru depinde de parametrii aerului în contact cu materialul și se determină pe cale experimentală modificând umiditatea relativă φ și menținând constantă temperatura aerului. Locul geometric al tuturor punctelor caracterizând starea de echilibru material umed - aer reprezintă curbe de tipul celor din fig. 5.21. În ordonată s-a notat umiditatea relativă a aerului iar în abscisă - umiditatea materialului w

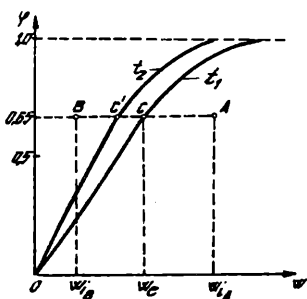


Fig. 5.21.

Curbe de echilibru material umed - aer.

exprimată în Kg umiditate / Kg material umed. S-au reprezentat două curbe de echilibru pentru două temperaturi ale aerului care se mențin constante în experimentare ($t_2 > t_1$). Dacă un material conținând umiditatea w_{1A} este pus în contact cu aerul care are, de exemplu $\varphi = 0,65$, o parte din umiditate trece

în aer. Dacă durata de contact a materialului cu aerul este suficient de mare se atinge starea de echilibru când presiunea parțială a vaporilor de apă din aer devine egală cu presiunea de vapori a umidității din material. Concentrația umidității materialului la starea de echilibru este w_e și ea nu se mai schimbă dacă parametrii aerului rămân constanți. Evoluția stării materialului de la punctul A la punctul C reprezintă procesul de uscare în condiții

constante ale agentului de uscare (aerul are în timpul procesului $\varphi = 0,65$ și temperatura t_1).

Dacă un material cu umiditatea inițială w_{1g} mai mică decît umiditatea de echilibru este pus în contact cu aerul, o parte din umiditatea din aer trece în material pînă cînd acesta atinge umiditatea de echilibru. Evoluția procesului de la punctul B la punctul C reprezintă umezirea materialului.

Dacă materialul reprezentat prin punctele A sau B este pus în contact cu aerul de alți parametri, starea de echilibru va fi caracterizată prin altă valoare a umidității. De exemplu, dacă aerul are $\varphi = 0,65$ dar $t_2 > t_1$, umiditatea de echilibru va fi abscisa punctului C' care este mai mică decît abscisa punctului C.

Se observă din fig. 5.21 că umiditatea materialului la echilibru poate fi mai mică dacă materialul se află în contact cu aerul a cărui temperatură este mai mare, la aceeași umiditate relativă sau, a cărui umiditate relativă este mai mică, la aceeași temperatură.

Cunoașterea umidității de echilibru a materialelor în contact cu aerul este importantă pentru stabilirea condițiilor de uscare într-un uscător, stabilirea punctului final al procesului și, uneori, pentru stabilirea condițiilor de depozitare a materialelor după uscare. Acest ultim aspect este legat de faptul că dacă un material are la ieșirea din uscător o umiditate mai mică decît umiditatea de echilibru în contact cu aerul atmosferic el se va umezi dacă nu este protejat.

În tabelul 5.1 sînt date umiditățile de echilibru a cîtorva materiale de construcție în contact cu aerul de diferiți parametri.

Tabelul 5.1. Umiditatea de echilibru $w_e\%$ a unor materiale de construcție

Materialul	Tempe- ratura, °C	Umiditatea relativă $\varphi\%$						
		40	50	60	70	80	90	100
Calcar	0-35	0,06	0,065	0,08	0,11	0,17	0,255	0,57
Cărmidă rosie	0-55	0,055	0,07	0,10	0,16	0,245	0,365	0,53
Cărmidă diatomit	0-35	1,05	1,25	1,55	2,00	2,85	4,45	7,10
Mortar de ciment 1 4	0-35	7,70	9,40	11,40	14,20	18,80	25,40	34,80

5.6.3. Cinetica uscării

Viteza procesului de uscare se definește prin cantitatea de umiditate îndepărtată în unitatea de timp de pe un metru pătrat suprafață de uscare. Viteza de uscare este influențată de numeroși factori cum ar fi natura și structura materialului de uscat, modul de legare a apei cu materialul, conținutul inițial și final de umiditate din material, parametrii agentului de uscare. Din acest motiv nu există o ecuație analitică de calcul a vitezei de uscare, stabilită pe bază teoretică. Dimensionarea uscătoarelor se bazează pe date experimentale de laborator asupra vitezei de uscare, date care sînt apoi transpuse la condițiile industriale.

În organizarea experimentărilor se pleacă de la ecuația

diferențială care definește viteza de uscare :

$$u = \frac{dW}{A d\tau} \quad \text{Kg/m}^2.\text{s} \quad (5.43)$$

în care : u - viteza de uscare ;

W - umiditatea îndepărtată, Kg ;

τ - durata de uscare, s ;

A - suprafața de uscare, m².

Datele experimentale directe se obțin, de obicei, tre-
când aer de parametri constanți peste un strat subțire de mate-
rial și determinînd prin cîntărire conținutul sau la intervale de
timp prestabilite masa materialului. Se obține astfel curba
care reprezintă variația în timp a umidității materialului
(v.fig. 5.22.a). Dacă în locul umidității se ia pe ordonată vi-
teza de uscare calculată, pe baza datelor experimentale, prin
transformarea ecuației diferențiale [ecuația (5.43)] într-o ecua-
ție cu diferențe finite se obține diagrama din figura 5.22.b,
care dă viteza de uscare în funcție de timp ; curba din aceas-
tă diagramă este curba diferențială a celei din figura 5.22.a.

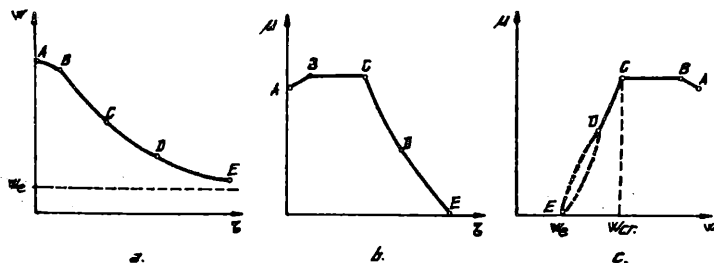


Fig. 5.22.

Diagramele vitezei de uscare.

Mai reprezentativă pentru evoluția uscării este diagrama din figura 5.22.c care redă variația vitezei de uscare în funcție de umiditatea materialului. Analiza curbelor din fig. 5.22 conduce la concluzia că viteza de uscare are două perioade : în prima perioadă, când se îndepărtează cea mai mare parte din umiditatea de la suprafața materialului, viteza de uscare este constantă și are valoarea maximă ; în a doua perioadă, când începe să se îndepărteze și umiditatea care se transferă prin difuzie din interiorul straturilor de material, viteza scade pe măsură ce uscarea avansează. În fig. 5.22.a ramura AB reprezintă perioada de încălzire a materialului însoțită de o scădere mică a umidității materialului. Trebuie subliniat că în prima perioadă de uscare viteza de difuzie a apei din interior spre suprafața materialului este mai mare decât viteza de evaporare a apei la suprafața materialului și viteza de uscare depinde de viteza de evaporare. Materialul se încălzește pînă la temperatura termometrului umed corespunzătoare aerului din uscător astfel că potențialul evaporării în prima perioadă este constant și egal cu diferența între presiunea de saturație a vaporilor de apă la temperatura termometrului umed și presiunea parțială a vaporilor de apă în aerul din uscător. Viteza de evaporare și implicit de uscare în prima perioadă nu depinde nici de umiditatea inițială a materialului nici de grosimea straturilor de material ci, numai de parametrii aerului (temperatură, umiditatea relativă, viteza de circulație deasupra materialului). Suprafața de uscare în prima perioadă este suprafața liberă a materialului care de asemenea este constantă. Dacă parametrii aerului se mențin constanți umidita-

tea materialului scade liniar în timp , (ramura BC în fig. 5.22.a) și viteza de uscare este constantă (ramurile BC în fig. 5.22.b și 5.22.c).

Punctul C caracterizează momentul cînd pe suprafața materialului apare primul punct uscat (fără umiditate de suprafață). Conținutul de umiditate a materialului în acest moment se numește umiditate critică. După atingerea umidității critice, procesul de uscare devine complex : temperatura materialului crește continuu și poate ajunge cu cîteva grade mai mică decît temperatura aerului, uscarea avansează în interiorul golurilor și, drept urmare, suprafața de uscare variază, începe îndepărtarea apei legată fizico -chimic. În noile condiții viteza de uscare scade ; ea poate să scadă liniar (ramurile CD) sau după curbe cu anumite configurații (ramurile DE). Configurația porțiunilor de curbă DE este determinată de modul cum este legată apa cu materialul și de mecanismul de îndepărtare a ei.

În a doua perioadă, viteza de uscare depinde de conținutul de umiditate din material, de grosimea stratului de material supus uscării și de temperatură dar, nu depinde de viteza aerului.

Dacă durata de contact material umed - aer este destul de mare, umiditatea materialului scade pînă la umiditatea de echilibru corespunzătoare condițiilor din uscător. Cînd se atinge umiditatea de echilibru (punctul E) viteza de uscare devine nulă și procesul încetează.

5.6.4. Bilanțul de materiale la uscare

Concentrația umidității materialului se exprimă în fracții masice w sau rapoarte masice w' :

$$w = \frac{W_t}{G_a + W_t} , \quad \frac{\text{Kg umiditate}}{\text{Kg mat. umed}} \quad (5.44)$$

$$w' = \frac{W_t}{G_a} , \quad \frac{\text{Kg umiditate}}{\text{Kg mat. anhidru}} \quad (5.45)$$

Legătura între w și w' se stabilește prin relațiile :

$$w' = \frac{w}{1-w} \quad \text{sau} \quad (5.46)$$

$$w = \frac{w'}{1 + w'} \quad (5.47)$$

În relațiile (5.44) - (5.45) s-a notat :

G_a - cantitatea de material anhidru Kg ;

W_t - cantitatea totală de umiditate din materialul umed, Kg ;

$G_a + W_t$ - cantitatea totală de material umed, Kg ;

Relațiile își păstrează valabilitatea dacă în locul cantităților se folosesc debitele masice corespunzătoare.

În fig. 5.23 sînt notate mărimile implicate în alcătuirea bilanțului de materiale la uscare : G_1 - debitul de material umed supus uscării, Kg/s ; w_1 - concentrația umidității materialului umed supus uscării ; G_2 - debitul de material uscat, Kg/s ; w_2 - concentrația umidității materialului uscat ; W - debitul de umiditate îndepărtată cu aerul prin uscare, Kg/s ; L - debitul de aer absolut uscat necesar pentru uscare, Kg/s ; x_1, x_2 - conținutul de umiditate a aerului la intrarea și ieșirea din

uscător, Kg umidit./Kg aer uscat.

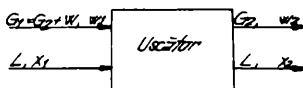


Fig. 5.23.

Mărimile implicate în bilanșul de materiale la uscare.

Se face menșionarea că noșunea de "material uscat" este relativă și nu trebuie confundată cu noșunea de material anhidru sau absolut uscat. După cum s-a arătat mai înainte, materialul nu poate fi uscat în contact cu aerul decît cel mult pînă la umiditatea de echilibru corespunzătoare condișionilor din uscător.

În procesul de uscare de obicei sînt date mărimile G_1 , w_1 și se impune umiditatea finală a produsului w_2 . Se cere să se calculeze debitul de umiditate îndepărtată, debitul de produs obșinut după uscare și debitul de aer necesar la uscare. Pe baza relașionilor (5.44) - (5.47) și a notașionilor din fig. 5.23 se pot scrie ecuașionile de bilanș de materiale cu care se calculează mărimile cerute.

Bilanșul substanșei anhidre

Dacă se neglijează pierderile accidentale de material, conform principiului conservării masei, debitul de substanșă anhidra G_a care intră cu materialul supus uscării trebuie să fie egal cu debitul de substanșă anhidră scoasă cu materialul uscat :

$$G_a = G_1(1 - w_1) = G_2(1 - w_2) \quad (5.48)$$

de unde se calculează debitul de produs G_2 :

$$G_2 = G_1 \frac{1 - w_1}{1 - w_2}, \text{ Kg/s} \quad (5.49)$$

Debitul de umiditate îndepărtată este $W = G_1 - G_2$ sau, pe baza relației (5.49) :

$$W = G_1 \frac{w_1 - w_2}{1 - w_2}, \text{ Kg/s} \quad (5.50)$$

W poate fi calculat și ca diferența între umiditatea totală introdusă cu materialul umed și umiditatea scoasă cu produsul :

$$W = G_1 \cdot w_1 - G_2 \cdot w_2, \text{ Kg/s} \quad (5.51)$$

Bilanțul umidității totale

Odată cu aerul absolut uscat în uscător intră debitul de umiditate Lx_1 iar cu aerul din uscător este scos debitul de umiditate Lx_2 . Ținând cont și de umiditatea introdusă și scoasă cu materialul, se poate scrie :

$$G_1 w_1 + Lx_1 = G_2 w_2 + Lx_2 \quad (5.52)$$

sau

$$L(x_2 - x_1) = G_1 w_1 - G_2 w_2 = W \quad (5.53)$$

de unde se calculează debitul de aer uscat necesar pentru uscare,

$$L = \frac{W}{x_2 - x_1}, \text{ Kg/s} \quad (5.54)$$

Împărțind ecuația (5.54) prin W se obține :

$$l = \frac{L}{W} = \frac{1}{x_2 - x_1} \frac{\text{Kg aer}}{\text{Kg umiditate indep.}} \quad (5.55)$$

unde l este consumul specific de aer, respectiv cantitatea de aer absolut uscat necesară pentru a îndepărta un Kg de umiditate din material. În practica industrială $l = 20 \div 50 \text{ Kg/Kg}$.

5.6.5. Durata uscării

Pentru dimensionarea uscătoarelor este necesar să se cunoască durata de uscare și suprafața materialului în contact cu aerul. Aceasta din urmă depinde de forma în care se prezintă materialul supus uscării (foi, pînze, granule, paste), de modul de aranjare sau de deplasare în uscător.

În vederea stabilirii duratei procesului, uscarea se studiază în două variante :

a) uscarea în condiții constante, cînd aerul are aceeași temperatură și umiditate indiferent de timp și spațiu ; de exemplu uscarea unui strat subțire de material cu aer de temperatură și umiditate constante. Uscarea în condiții constante decurge în regim staționar din punctul de vedere al variației proprietăților materialului supus uscării.

b) uscarea în condiții variabile, cînd aerul își schimbă temperatura și umiditatea deplasîndu-se în echicurent sau în contracurent cu materialul ; procesul este în regim staționar deoarece atît proprietățile aerului cît și ale materialului depind de coordonatele spațiului din interiorul uscătorului dar, nu depind de timp. Calculul duratei de uscare în condiții variabile este destul de dificil și se face cu multe aproximații. În continuare se va prezenta calculul duratei de uscare în condiții constante ale aerului.

5.6.5.1. Durata uscării în perioada cu viteză constantă de uscare

În prima perioadă a uscării are loc în principal evaporarea apei lichide de pe suprafața materialului în contact cu aerul și difuziunea vaporilor în aer. După cum s-a arătat mai înainte, difuziunea internă nu limitează procesul în această perioadă și, drept urmare, masa umidității îndepărtate din material în unitatea de timp este egală cu masa de apă evaporată în unitatea de timp. Aceasta din urmă poate fi calculată cu relația:

$$\frac{dW}{dt} = k_u \cdot A(p_{v_s} - p_v) \quad (5.56)$$

în care : W - umiditatea materialului, Kg ;

t - timpul, s ;

A - suprafața materialului în contact cu aerul, m^2 ;

k_u - coeficient de evaporare a apei în contact cu aerul ;

p_{v_s} - presiunea vaporilor de apă saturați la temperatura suprafeței materialului (în condițiile uscării adiabactice t_s este temperatura termometrului umed) ;

p_v - presiunea parțială a vaporilor de apă din aer.

Pe baza rezultatelor experimentale s-a stabilit următoarea ecuație de calcul a coeficientului k_u , cînd aerul curge paralel cu suprafața materialului :

$$k_u = 0,0745(w \cdot \rho)^{0,8} \quad \text{Kg/m}^2\text{s.Torr} \quad (5.57)$$

unde : w - viteză aerului, m/s ; ρ - densitatea aerului, Kg/m^3 .

Cînd aerul curge perpendicular pe material (străbate materialul), k_u este aproape de două ori mai mare.

Deoarece cantitatea de apă evaporată este egală cu cantitatea de vapori care difuzează în aerul de deasupra materialului, în locul ecuației (5.56) se poate folosi relația :

$$\frac{dW}{d\tau} = k'_u \cdot A(x_s - x) \quad (5.58)$$

în care : k'_u - coeficientul de uscare ;

x_s, x - conținutul de umiditate a aerului saturat și nesaturat, calculate la temperatura t a aerului din uscător.

Observînd că la starea de saturație $\varphi = 1$ și neglijînd la numitorul relațiilor (5.30) și (5.32) p_v și p_{v_s} se poate scrie :

$$x = 0,622 \frac{p_v}{p} \quad \text{și} \quad x_s = 0,622 \frac{p_{v_s}}{p}$$

care, introduse în ecuația (5.58) conduc la expresia :

$$\frac{dW}{d\tau} = A \cdot k'_u \cdot \frac{0,622}{p} (p_{v_s} - p_v) \quad (5.59)$$

Din raportul ecuațiilor (5.59) și (5.56) se obține relația:

$$k'_u = k_u \frac{p}{0,622} \quad (5.60)$$

cu care se calculează coeficientul de uscare k'_u .

Dacă se retranscrie ecuația (5.58) sub forma :

$$\frac{dW}{Ad\tau} = k'_u (x_s - x) = K \quad (5.61)$$

se observă că ea reprezintă tocmai viteza de uscare care este constantă în prima perioadă. Valoarea ei se află calculînd mai întîi k'_u prin intermediul relațiilor (5.57) și (5.60). Pentru a calcula durata de uscare τ_1 în prima perioadă se combină ecuația (5.61) cu ecuația diferențială de bilanț pentru

umiditatea materialului :

$$dW = - G_a \cdot dw' \quad (5.62)$$

în care : G_a - cantitatea de substanță anhidră din materialul umed, Kg ;

w' - concentrația umidității materialului, în rapoarte masice. Din ecuațiile (5.61) și (5.62) se află :

$$- \frac{G_a}{A \cdot K} \cdot dw' = dz \quad (5.63)$$

Limitesle de variație ale umidității materialului în prima perioadă sînt de la umiditatea inițială w'_1 la umiditatea critică w'_{cr} . Integrînd ecuația (5.63) se obține :

$$- \frac{G_a}{A \cdot K} \cdot \int_{w'_1}^{w'_{cr}} dw' = \int_0^{z_1} dz \quad (5.64)$$

sau :

$$\frac{G_a}{A \cdot K} (w'_1 - w'_{cr}) = z_1 \quad (5.65)$$

Utilizarea ecuației (5.65) pentru calculul duratei de uscare în prima perioadă impune determinarea experimentală a umidității critice a materialului.

5.6.5.2. Durata uscării în perioada cu viteză descrescătoare de uscare

Pentru determinarea duratei de uscare z_2 în a doua perioadă, se observă în fig. 5.24 asemănarea triunghiurilor EFD și CED;

$$\frac{CE}{EF} = \frac{ED}{DF} \quad (5.67)$$

Segmentul \overline{CE} reprezintă viteza de uscare $dW/A \cdot dt$ în a doua perioadă de uscare, iar $\overline{EF} = K$ este viteza de uscare în prima perioadă ; segmentul $\overline{ED} = w' - w'_c$ și $\overline{DF} = w'_{cr} - w'_c$.

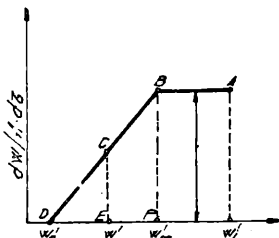


Fig. 5.24.

Determinarea duratei de uscare.

Introducând valoarea segmen-
telor în relația (5.67) se
găsește :

$$\frac{dw}{K.A.d\tau} = \frac{w' - w'_e}{w'_{cr} - w'_e} \quad (5.68)$$

Introducând în ecuația (5.68)
dw din ecuația (5.62) și se-
parînd variabilele se obține :

$$- \frac{G_a(w'_{cr} - w'_e)}{K.A} \cdot \frac{dw'}{w' - w'_e} = d\tau \quad (5.69)$$

Ecuația (5.69) se integrează între limitele w'_{cr} - umiditatea
critică a materialului și w'_f - umiditatea produsului după usca-
re ; pentru timp, limitele de integrare sînt între zero și τ_2
- durata uscării în a doua perioadă :

$$\frac{G_a(w'_{cr} - w'_e)}{A.K} \cdot \int_{w'_f}^{w'_{cr}} \frac{dw'}{w' - w'_e} = \int_0^{\tau_2} d\tau$$

de unde se obține :

$$\tau_2 = \frac{G_a(w'_{cr} - w'_e)}{K.A} \ln \frac{w'_{cr} - w'_e}{w'_f - w'_e} \quad (5.70)$$

Din ecuația (5.70) rezultă că durata uscării în a doua perioadă
depinde de umiditatea critică și de echilibru a materialului și
de viteza de uscare în prima perioadă ; cu alte cuvinte, proce-
sul de uscare în a doua perioadă este influențat de condițiile
uscării în prima perioadă.

5.6.6. Bilanțul termic la uscare

În principiu o instalație de uscare (fig. 5.25) constă dintr-un calorifer principal (1), unul sau mai multe calorifere

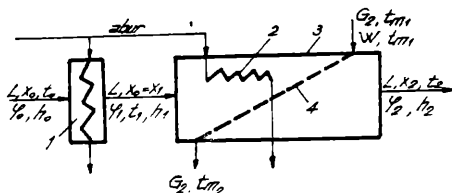


Fig. 5.25.

Schema de principiu a unei instalații de uscare.

suplimentare (2), uscătorul propriu-zis (3) și transportorul de material (4). Aerul atmosferic cu parametrii x_0, φ_0, t_0, h_0 se încălzește în caloriferul principal și intră în uscător cu parametrii $x_1 = x_0, \varphi_1, t_1, h_1$; concomitent cu realizarea uscării aerul poate primi în uscător căldură prin intermediul caloriferului suplimentar. La ieșirea din uscător, aerul are parametrii x_2, φ_2, t_2, h_2 .

În proces se consumă căldură pentru încălzirea aerului, a materialului și transportorului; o parte din căldură se pierde prin sistemul de izolare termică a uscătorului. Pentru calculul necesarului de căldură și, implicit, a consumului de agent termic se alcătuește bilanțul termic la uscare; conform principiului conservării energiei, în procesul staționar suma fluxurilor de căldură intrată trebuie să fie egală cu suma

fluxurilor de căldură ieșită.

Căldura intrată

- căldura sensibilă a aerului atmosferic Lh_0 ;
- căldura sensibilă a materialului inițial care poate fi scrisă ca suma căldurii sensibile a produsului uscat $G_2.C_{p_m}.t_{m_1}$ și căldura sensibilă a umidității îndepărtate $W.C_{p_w}.t_{m_1}$. Cele două călduri sensibile se calculează la temperatura t_{m_1} pe care o are materialul umed supus uscării. C_{p_m} și C_{p_w} reprezintă căldurile specifice ale produsului și ale apei la temperatura medie a materialului ;

- căldura sensibilă a transportorului la condițiile de intrare a materialului în uscător, $G_t.C_{p_t}.t_{m_1}$ unde C_{p_t} este căldura specifică a transportorului ;
- căldura cedată aerului în caloriferul principal Q_c ;
- căldura cedată aerului în caloriferul suplimentar Q_s .

Căldura ieșită

- căldura sensibilă a aerului la ieșirea din uscător Lh_2 ;
- căldura sensibilă a produsului, $G_2.C_{p_m}.t_{m_2}$;
- căldura sensibilă a transportorului, $G_t.C_{p_t}.t_{m_2}$;
- căldura pierdută în mediul înconjurător Q_p .

Bilanțul termic va avea, prin urmare, forma :

$$L.h_0 + G_2.C_{p_m}.t_{m_1} + W.C_{p_w}.t_{m_1} + G_t.C_{p_t}.t_{m_1} + Q_c + Q_s =$$

$$= L.h_2 + G_2.C_{p_m}.t_{m_2} + G_t.C_{p_t}.t_{m_2} + Q_p \quad (5.71)$$

Se rezolvă ecuația (5.71) înra raport cu Q_c și Q_s :

$$Q_c + Q_s = L(h_2 - h_0) + G_2.C_{p_m}(t_{m_2} - t_{m_1}) + G_t.C_{p_t}(t_{m_2} - t_{m_1}) + Q_p - W.C_{p_w}.t_{m_1}, \text{ J/s} \quad (5.72)$$

Pentru a calcula consumul de căldură necesar îndepărtării unui Kilogram de umiditate se împarte ecuația (5.72) prin W și se notează rapoartele corespunzătoare cu litere mici :

$$q_c + q_s = l(h_2 - h_0) + q_m + q_t - q_w + q_p \quad [J/Kg] \quad (5.73)$$

sau :

$$q_c = l(h_2 - h_0) + (q_m + q_t + q_p) - (q_w + q_s) \quad (5.74)$$

Din bilanțul termic alcătuit numai pentru caloriferul principal se află :

$$q_c = l(h_1 - h_0) \quad , \quad J/s$$

sau :

$$q_c = l(h_1 - h_0) \quad , \quad J/Kg \text{ umiditate} \quad (5.75)$$

Din ecuațiile (5.74) și (5.75) se obține :

$$l(h_2 - h_1) = h_w + q_s - (q_m + q_t + q_p) \quad (5.76)$$

în care :

$$(h_w + q_s) - (q_w + q_t + q_p) = \Delta \quad (5.77)$$

Mărimea Δ caracterizează abaterea procesului de uscare real de la cel teoretic. Ținând cont de ecuația (5.55) și de ecuația (5.77) se poate scrie ecuația (5.76) sub forma :

$$\frac{h_2 - h_1}{x_2 - x_0} = \Delta \quad (5.78)$$

Conținutul de umiditate a aerului la ieșirea din uscător este mai mare decât la intrare ($x_2 > x_0$) și, prin urmare, semnul lui Δ este și semnul numărătorului, în ecuația (5.78). Când $\Delta < 0$ rezultă că și $h_2 < h_1$ respectiv entalpia aerului este mai mică la ieșirea din uscător ; când $\Delta > 0$, $h_2 > h_1$ și după uscare aerul are entalpia mai mare decât la intrarea în uscător. Aceste două situații corespund uscătoarelor reale ; în prima situație aerul primește în caloriferul suplimentar o cantitate de căldură care nu acoperă necesarul pentru preîncălzirea

materialului și a transportorului și pentru compensarea pierderilor ; în a doua situație, dimpotrivă, aerul primește căldură în exces.

Cînd $\Delta = 0$, $h_2 = h_1$ respectiv uscarea se face fără variația entalpiei aerului. Uscătorul care funcționează în aceste condiții se numește uscător teoretic. Dacă nu există calorifer suplimentar, în uscătorul teoretic se presupune că materialul și transportorul au la intrare și ieșire temperatura la care se face uscarea iar pierderile de căldură în exterior sînt nule. Un uscător real funcționează ca uscător teoretic dacă suma dintre căldura sensibilă a umidității și căldura cedată aerului în caloriferul suplimentar este egală cu căldura necesară preîncălzirii materialului și transportorului și căldura pierdută (v.ecuația 5.77).

În diagrama din fig. 5.26 este reprezentat procesul de

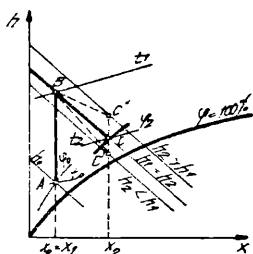


Fig. 5.26.

Reprezentarea procesului de uscare, teoretic și real în diagrama $h - x$.

uscare într-un uscător real și în uscătorul teoretic. Aerul atmosferic reprezentat prin punctul A, cu parametrii x_0 , t_0 , φ_0 , h_0 se încălzește în caloriferul principal pînă în punctul B unde are parametrii $x_0 = x_1$, t_1 , φ_1 , h_1 ; cu acești parametri aerul intră în uscător unde starea aerului variază după izentalpa BC, în cazul uscătorului teoretic sau după politropale BC"

și BC', în cazul uscătorului real. Cînd procesul se desfășoară

după politropa BC' entalpia aerului scade ($h_2 < h_1$), respectiv $\Delta < 0$, iar cînd procesul se desfășoară după politropa BC'' entalpia aerului crește în timpul uscării ($h_2 > h_1$) respectiv $\Delta > 0$. Procesul este cel mai economic în condițiile uscătorului teoretic.

5.6.7. Variante ale procesului de uscare

Procesul de uscare se poate desfășura în două variante principale : varianta normală și varianta cu recirculare de aer. În varianta normală aerul este trecut o singură dată prin uscător după care este eliminat în atmosferă ca aer uzat ; în varianta cu recirculare, cea mai mare parte din aerul uzat (circa 80%) este amestecat cu aerul proaspăt și reintrodus în uscător. Prin recircularea unei părți din aer se recuperează o parte din căldura aerului uzat și, prin modificarea fracțiunii de aer recirculat, se poate regla umiditatea aerului în uscător.

În cadrul fiecărei variante se pot folosi diferite procedee de uscare. În figura 5.27 sînt redată schematic cele mai răspîndite procedee de uscare. Pentru simplificare, în reprezentarea procedeelor pe diagrama $h-x$, se consideră impuși parametri inițiali și finali ai aerului și, de asemenea, se consideră uscătorul teoretic.

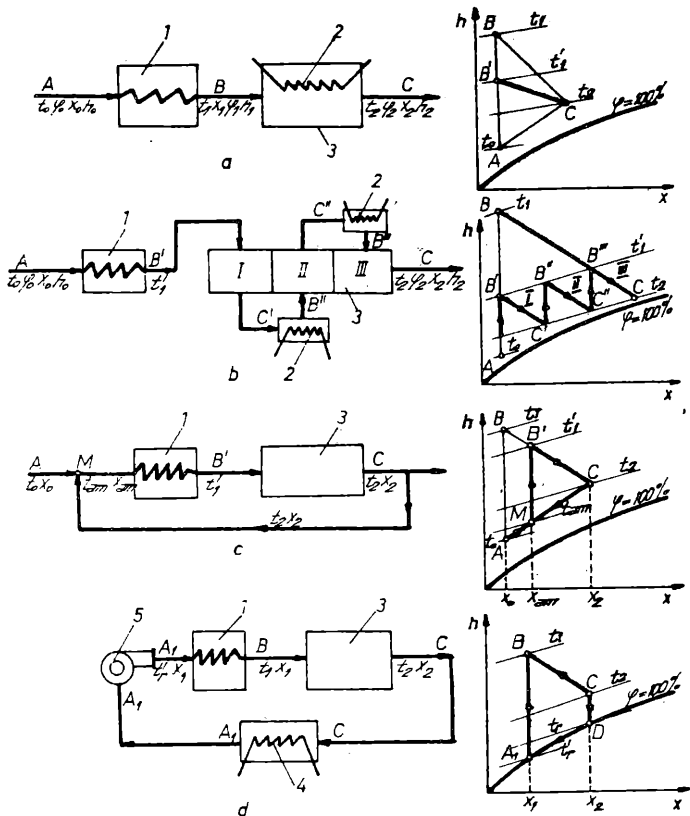


Fig. 5.27.

Procedee de uscare : a - cu calorifer suplimentar;
 b - cu încălzirea aerului în trepte ; c - cu recir-
 culare de aer ; d - cu circuit închis. 1 - calorifer
 principal ; 2 - calorifer suplimentar ; 3 - uscător ;
 4 - condensator ; 5 - ventilator.

5.6.7.1. Uscarea cu calorifer suplimentar
în camera de uscare (5.27.a)

Dacă încălzirea aerului s-ar face numai în caloriferul principal pînă la temperatura t_1 , procesul ar fi reprezentat prin linia ABC și $q_g = 0$. Dacă încălzirea aerului s-ar face numai în caloriferul suplimentar, procesul de uscare s-ar reprezenta prin dreapta AC. Acest proces este neeconomic deoarece temperatura aerului este coborîtă și, drept urmare, forța motoare a procesului este mică. În celelalte situații aerul primește o parte din căldură în caloriferul principal iar o parte în caloriferul suplimentar concomitent cu realizarea uscării ; procesul de uscare este reprezentat în aceste situații prin AB'C. Poziția punctului B' se află pe dreapta AB mai sus sau mai jos după cum aerul se încălzește în caloriferul principal mai mult sau mai puțin. Consumul total de căldură pentru încălzirea aerului este același indiferent de poziția punctului B'. Aerul se va încălzi mai mult în caloriferul suplimentar în cazul uscării substanțelor termolabile care nu suportă temperaturi prea ridicate, (temperatura punctului B' este mai mică decît temperatura punctului B).

5.6.7.2. Uscarea cu încălzirea aerului în
trepte (5.27.b)

Prin acest procedeu uscarea poate fi condusă la temperaturi joase ale aerului. Uscătorul este împărțit în mai multe compartimente

mente. (pe fig. 5.27.b sînt reprezentate trei compartimente); aerul atmosferic se încălzește în caloriferul (1) pînă la temperatura t_1' și realizează uscarea în primul compartiment, apoi se reîncălzește pînă la temperatura t_1' în al doilea calorifer și intră în compartimentul al doilea al uscătorului ș.a.m.d. Transformările de stare ale aerului în uscarea după procedeul menționat sînt reprezentate prin linia frîntă $AB'C'B''C$ unde segmentele AB' , $C'B''$ și $C''B$ reprezintă încălzirea aerului iar $B'C'$, $B''C''$ și $B''C$ uscarea în fiecare compartiment.

Din diagrama h-x se observă că pentru a realiza uscarea fără încălzirea intermediară a aerului (sau încălzirea în trepte) ar fi necesar ca în caloriferul principal aerul să se încălzească pînă la temperatura t_1 (punctul B) care este mai mare decît t_1' ; procesul ar fi reprezentat în acest caz prin linia frîntă ABC. Se poate demonstra că economicitatea procesului ar fi aceeași ca și la încălzirea în trepte dar temperatura la care se face uscarea în ultimul caz fiind mai mică procedeul este recomandat pentru regimuri moderate de uscare a substanțelor termodegradabile.

5.6.7.3. Uscarea cu recircularea unei părți din aerul uzat (5.27.c)

O parte din aerul uzat cu temperatura t_2 și entalpia h_2 este readus în circuit după amestecarea cu aerul atmosferic. Amestecul este reprezentat prin punctul M și are parametrii

x_{am} și h_{am} , care pot fi calculați cu relațiile (5.41) și (5.42). Pe diagramă, segmentul AM reprezintă formarea amestecului, MB'-încălzirea iar B'C-uscarea. Dreapta AC reprezintă locul geometric al tuturor punctelor caracterizînd amestecuri formate din n kg aer recirculat și 1 kg aer proaspăt. Pentru l kg aer proaspăt calculat cu relația (5.55) rezultă:

$$l_r = l(1 + n) \quad , \quad \text{Kg/Kg} \quad (5.79)$$

unde : l_r - consumul specific de aer cu parametrii x_{am} și h_{am} , care poate fi calculat cu relația :

$$l_r = \frac{1}{x_2 - x_{am}} \quad , \quad \text{Kg/Kg} \quad (5.80)$$

Deoarece $x_{am} > x_1$ rezultă $l_r > l$. Prin urmare, în varianta cu recirculare de aer crește debitul masic de aer și, totodată necesarul de putere la ventilatorul de aer.

Consumul de căldură necesar încălzirii aerului poate fi calculat luînd în considerare fie debitul de amestec l_r fie debitul de aer proaspăt l :

$$q_c = l(h_1 - h_0) \text{ sau : } q_c = l_r(h_1 - h_{am}) \quad (5.81)$$

Uscarea cu recirculare de aer, deși se desfășoară la temperaturi mai coborîte (temperatura t_1' a punctului B' este mai mică decît temperatura t_1 a punctului B) permite realizarea unei turbulențe mai mari a aerului și reglarea umidității acestuia în uscător.

5.6.7.4. Uscarea cu circuit închis (5.27.d)

În uscarea după acest procedeu aerul după uscare este scos din uscătorul (3) și trecut în răcitorul condensator (4) unde prin răcire, aerul atinge starea de saturație apoi o parte din umiditatea sa se condensează și este evacuată cu o pompă. Răcirea aerului și îndepărtarea umidității se face pînă cînd se atinge umiditatea x_1 ; cu această umiditate aerul este transportat cu ventilatorul (5) în caloriferul (1) și apoi din nou în uscător. În diagrama $h-x$ procesul este reprezentat prin linia închisă A_1BCDA_1 unde A_1B reprezintă încălzirea, BC uscarea, CD răcirea pînă la saturație și DA_1 răcirea cu condensarea unei părți din umiditate.

Debitul de aer din circuit se calculează cu relația (5.55).

Consumul de căldură se calculează luînd în considerare entalpia h_1 a aerului în punctul B și entalpia h_2 a aerului în punctul A_1 :

$$q = \ell(h_1 - h_2) \quad \text{J/Kg} \quad (5.82)$$

În uscarea cu circuit închis consumul de căldură este mai mare ca la uscarea cu recirculare de aer și este necesar un utilaj suplimentar (o pompă) pentru evacuarea condensatului. Totuși acest procedeu de uscare se folosește mai ales pentru produsele care conțin substanțe volatile ce trebuie recuperate. Pentru reținerea cît mai completă a compușilor volatili, pe lîngă condensare se mai utilizează adsorbanți (de exemplu silicagel).

5.6.8. Tipuri de uscătoare

Uscătoarele pot fi clasificate după numeroase criterii și anume : după modul de încălzire a materialului, după presiunea de lucru, după forma materialelor supuse uscării și modul de deplasare în uscător, după caracteristicile constructive etc.

Clasificarea după caracteristicile constructive împarte uscătoarele în următoarele tipuri principale : uscătoare cu cameră sau camere de uscare, uscătoare tunel, uscătoare cu bandă transportoare, uscătoare rotative (tubulare), uscătoare prin pulverizare etc.

5.6.8.1. Uscătoare tip cameră

Aceste tipuri de uscătoare sînt formate dintr-o încăpere de mărimea unui dulap pînă la aceea a unei camere ; camerele sînt prevăzute cu uși pentru introducerea și scoaterea materialului supus uscării. În uscător materialul este așezat în stive, pe stelaže, pe cărucioare sau în tăvi ; aerul de uscare circulează printre stivele cu material sau printre polițele stelaajelor. Materialele în stare de pastă sau pulverulentă se așează pe tăvi pline, iar cele granulare, pe tăvi cu fundul perforat ; aerul circulează pe deasupra materialului sau îl străbate.

În figura 5.28 este reprezentată o cameră de uscare cu recirculare parțială a aerului uzat. Aerul atmosferic preîn-

călzit în caloriferul (1) se amestecă cu o parte din aerul uzat și este transportat de

ventilatorul axial (2) printre elementele de încălzire ale caloriferului (3) situat în interiorul camerei de uscare (4). După calorifar aerul este distribuit prin intermediul tablelor de dirijare (5) și realizează uscarea materialului așezat pe platforma vagonetului (6). După terminarea uscării

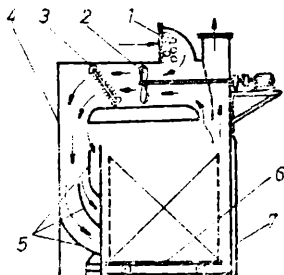


Fig. 5.28.

Cameră de uscare cu recircularea parțială a aerului.

(7) și se introduce un nou vagonet cu material de uscat.

În fig. 5.29 este prezentată camera de uscare cu reîncălzirea intermediară a aerului. Uscătorul (3) constă din două

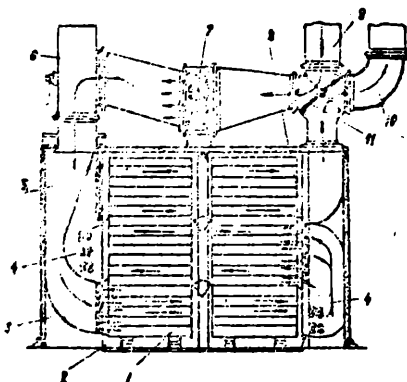


Fig. 5.29.

Cameră de uscare cu încălzirea intermediară a aerului.

încăperi (2) în care sînt așezate polițe. Ventilatorul centrifugal (6) aspiră aer proaspăt din conducta (9) și o parte din aerul uzat ; raportul dintre aer proaspăt și aer uzat este reglat prin intermediul clapetei (11). Amestecul încălzit în caloriferul (7) este refulat prin canalul (5) spre partea inferioară a camerei unde circulă printre polițe paralel cu suprafața materialului. Apoi aerul se încălzește din nou în caloriferul suplimentar (4) și este distribuit de sita (8) printre polițele părții din mijloc ș.a.m.d. Aerul uzat părăsește uscătorul prin conducta (10). Un uscător de acest tip are lungimea de 3 m, lățimea unui compartiment de 1 m și înălțimea pînă la 2 m. Dimensiunile unei polițe sau ale unei tăvi sînt 0,57 x 0,89 x 0,035. Polițele sau tăvile se așează pe vagonetele (1). Durata de uscare variază de la 30 la 40 ore.

Camerele de uscare, atît cea simplă cît și camera cu încălzire intermediară a aerului, se folosesc pentru productivități mici. Procesul decurge discontinuu și materialul de uscat (paste, granule, pulberi, foi etc.) se introduce în șarje.

În industria materialelor de construcții pentru uscarea produselor fasonate se utilizează diferite camere de uscare dintre care cele mai răspîndite sînt :

- camere de uscare cu șarjă fixă și cu alimentare individuală cu gaze de ardere sau aer cald cu parametrii constanți ;
- camere de uscare asociate în baterii, cu șarjă fixă, care utilizează gaze calde sau aer cald cu parametri variabili ;
- tunele de uscare cu șarjă mobilă care utilizează gaze calde sau aer cald cu circulația pe zone de uscare.

În fig. 5.30 este reprezentată schema unei camere de uscare tip Keller pentru uscarea cărămizilor și țiglelor "crude".

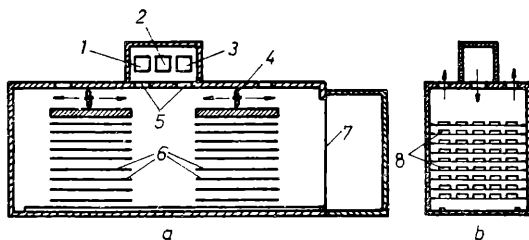


Fig. 5.30.

Cameră de uscare tip Keller : 1 - canal pentru aer intermediar ; 2 - canal pentru aer cald ; 3 - canal pentru aer uzat ; 4 - ventilator reversibil ; 5 - canale de recirculare ; 6 - console ; 7 - ușă ; 8 - cărămizi
a - secțiune longitudinală ; b - secțiune transversală.

Denumirea camerei provine de la vagonetul tip Keller utilizat pentru preluarea cărămizilor sau țiglelor direct de la presă și introducerea lor în uscător.

Camera este de formă paralelipipedică simplă sau dublu compartimentată ; un compartiment are adâncimea de 15 - 16 m, lățimea de 1,5 m și înălțimea până la 4 m. Cărămizile sau țiglele încărcate pe stinghii de lemn pe vagonetul Keller sînt transportate în cameră unde, stinghiile se sprijină la capete pe console asamblate în pereții laterali ai unui compartiment. În tavanul camerei există nișe prevăzute cu clapete care fac legătura cu trei canale exterioare (există și camere cu două sau patru canale) ; printr-un canal circulă gaze calde sau aer cald, iar prin celelalte două gaze evacuate din uscător sau amestec între gazele evacuate și gazele calde sau aerul

cald. Intre canale există racorduri de legătură și clapete care permit reglarea parametrilor aerului sau gazelor introduse în uscător. La circa 1 m de tavanul camerei se află un planșeu cu trei fante, una la mijloc și câte una la extremitățile camerei. Intre planșeu și tavan sînt înzidite, de o parte și de alta a deschiderii centrale două ventilatoare reversibile care permit schimbarea sensului de circulație a agentului de uscare. Stinghiile cu cărămizile (8) sînt depuse de vagonetul Keller pe consolele (6) ; într-un singur compartiment se introduc 8 vagonete cu câte 8 - 10 rînduri de stinghii pentru cărămizi și 16-20 rînduri pentru țigle. Aerul cald (sau gazele calde) este preluat din canalul (2) de un ventilator și refulat în centrul camerei de unde se distribuie printre stinghii și circulă spre extremități. Aerul uzat este evacuat prin nișele situate în spatele ventilatoarelor reversibile (4) ; în acest caz agentul de uscare circulă de la centrul camerei spre extremități. După un anumit interval de timp aerul cald este dirijat de ventilator prin canalele de recirculare (5) și aspirat de ventilatoarele reversibile (4) astfel că circulația aerului cald printre stinghiile cu cărămizi sau țigle se face de la extremitățile camerei spre centru ; aerul uzat este evacuat prin canalul (3).

Schimbarea sensului de circulație a aerului, închiderea și deschiderea clapetelor, inversarea sensului de rotație a ventilatoarelor reversibile, reglarea raportului între aerul cald proaspăt și aerul uzat sînt efectuate automat cu ajutorul unui regulator cu program în timp, care simulează curba de uscare a materialului. Durata unui ciclu de uscare este de

70 - 90 ore. Stinghiile cu cărămizi uscate sînt scoase tot cu vagonetul Keller de pe care cărămizile sînt aranjate pe platforma vagonetelor de la cuptoarele de ardere.

Camerele de uscare Keller pot fi individuale sau asociate în baterii. Capacitatea unei camere este de 4000 - 5000 de cărămizi și 1500 - 2000 de țigle. Calitatea produsului uscat este condiționată în primul rînd de realizarea pe toată suprafața a contactului cu aer de aceeași parametri. În figura 5.31

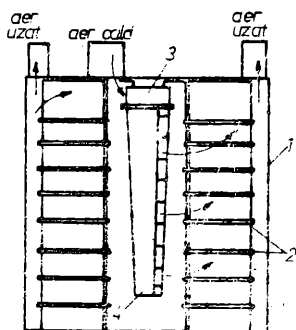


Fig. 5.31.

Camără de uscare sistem Rotomixair:
1 - camără ; 2 - polițe ; 3 - ventilator ; 4 - manta cu jaluzele.

longitudinală cu jaluzele. Mai multe ventilatoare sînt amplasate pe toată adîncimea camerei. Acțiunea curenților de aer paraleli este eficientă pe ambele fețe ale materialului.

este dată schema unei camere Keller alimentată cu aer condiționat de ventilatoare sistem Rotomixair cu acțiune ritmică. Ventilatoarele de acest tip, suspendate în tavanul camerei, refulează aerul în curenți paraleli pe întreaga secțiune a camerei ; curentul de aer este reglat automat prin rotirea lentă a unei mantale metalice care permite ieșirea aerului numai printr-o fantă

5.6.8.2. Uscătoare tunel

Față de camerele de uscare, uscătoarele tunel au avantajul că materialul se deplasează continuu și poate fi pus în contact cu agentul de uscare de parametri corespunzători gradului de uscare realizat ; în acest mod se poate reproduce mai fidel curba de uscare obținută în laborator. Pentru asigurarea parametrilor necesari aerului sau gazului cald se utilizează circulația transversală a gazului față de sensul de mișcare a vagonetelor cu material, recircularea gazelor uzate cu umiditate mare și temperaturi scăzute spre zonele cu gaze mai calde și mai uscate și amestecarea gazelor pe diferite zone.

În figura 5.32 este prezentat un uscător tunel cu circulația aerului pe zone. Materialul este așezat pe vagonete care se deplasează în uscător după un program prestabilit, fiind împinse cu ajutorul unui dispozitiv hidraulic sau mecanic.

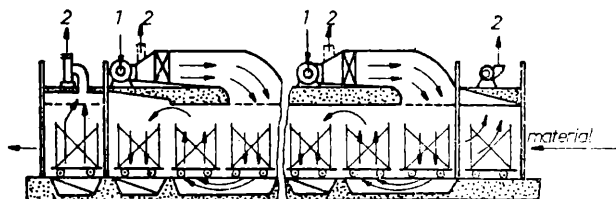


Fig. 5.32.

Uscător tunel : 1 - aspirația aerului proaspăt ;
2 - evacuarea aerului uzat.

Pentru a diminua pierderile de căldură și pentru a evita supraîncălzirile care duc la fisurarea sau deformarea materialului, vagonetul ce urmează a fi introdus în uscător staționează un timp într-o anticameră unde are loc o preîncălzire moderată a materialului. După preîncălzire, vagonetul este introdus în uscătorul propriu-zis unde vine în contact cu aerul care circulă de sus în jos ; printr-un sistem de canale sensul de circulație a aerului este mereu schimbat : astfel, la al doilea vagonet din uscător (v.fig.5.32) aerul circulă de jos în sus. În dreptul celui de-al treilea vagonet, lateral, în partea de jos a uscătorului este un canal prin care aerul este evacuat în exterior ; datorită acestui canal iau naștere în uscător curenți transversali de aer care încălzesc materialul pe fețele superioare și laterale. În celelalte zone circulația aerului se repetă ca mai înainte. Înainte de a ieși din uscător vagonetul staționează din nou într-o cameră unde se răcește înset.

Un uscător tunel are lungimea de 20 - 30 m iar durata uscării este de 8 - 18 ore. Ventilatoarele împreună cu caloriferele se amplasează deasupra uscătorului în dreptul fiecărei zone, ceea ce are ca efect reducerea traseelor, economisirea de abur, de energie și de spațiu.

5.6.8.3. Uscătoare cu bandă transportoare

Uscătoarele cu bandă, în forma lor obișnuită, se aseamănă ca principiu de funcționare cu uscătoarele tunel : materialul alimentat printr-un dozator este purtat continuu prin

uscător de una sau mai multe benzi sau plase transportoare ; agentul de uscare - aerul sau alt gaz cald - circulă pe deasupra materialului în diferite variante (echicurent, contracurent și curent încrucișat).

În fig. 5.33 este reprezentat un uscător cu mai multe benzi transportoare, suprapuse, pe care materialul înaintează

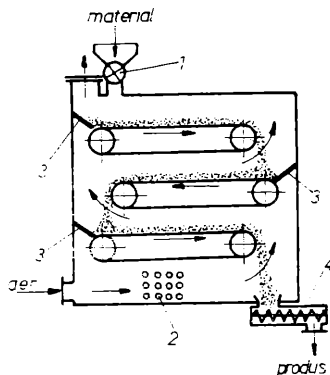


FIG. 5.33.

Uscător cu bandă transportoare.

Uscătoarele cu bandă se folosesc pentru a usca paste, materiale granulare și fibroase. Banzile sînt confecționate din oțel, plase de sîrmă sau cauciuc cu inserție de bumbac. Viteza benzilor este de 0,3 - 0,5 m/min. iar a aerului de 2 - 3 m/s

în contracurent cu aerul. Materialul de uscat ajunge din dozatorul (1) pe prima bandă care îl transportă în strat subțire spre dreapta de unde acesta cade pe banda a doua ș.a.m.d. Aerul este încălzit în caloriferul (2) și datorită tablelor deflecătoare (3) este obligat să circule în contracurent cu materialul. Uscarea se realizează atât la contac-

sau chiar 10 m/s, dacă nu există pericolul antrenării materialului.

5.6.8.4. Uscătoare rotative

În această categorie sînt incluse uscătoarele formate în principal dintr-un cilindru relativ lung, orizontal sau cu o mică înclinație spre unul din capete ; cilindrul se rotește în lungul axei sale și materialul îl parcurge în lungul său datorită rotației și înclinației cilindrului. Materialul se usucă prin contactul cu aerul sau gazele de ardere care circulă în curent paralel, contracurent sau în curent mixt ; uneori, încălzirea se face indirect cu gaze de ardere sau cu abur.

Eficacitatea mare a uscării în uscătoarele rotative rezultă din suprafața mare și mereu reînnoită de contact a materialului cu agentul de uscare. Evitarea mărunțirii materialului și intensificarea reînnoirii suprafeței de contact material - agent de uscare se realizează prin introducerea unor șicane din tablă pe toată lungimea sau numai pe o porțiune a uscătorului. În fig. 5.34 sînt date cîteva tipuri de șicane ; în



Fig. 5.34.

Tipuri constructive de șicane.

timpul rotirii cilindrului, materialul cade de pe o șicană pe

alta și, astfel, este repartizat mai uniform în secțiunea uscătorului.

În fig. 5.35 este reprezentat un uscător rotativ constând din cilindrul (1) prevăzut cu bandajele din oțel (9) prin

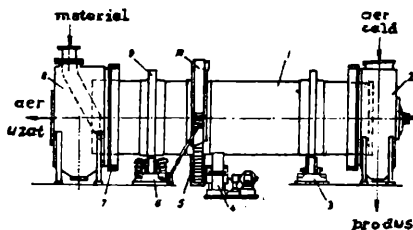


Fig. 5.35.
Uscător rotativ

intermediul cărora cilindrul se sprijină pe rolele (3) și rolele de ghidaj (6). Cilindrul este acționat în rotație de motorul (4) cu reductor de turație și coroana dințată (5) fixată pe cilindru. Puterea electromotorului depinde de dimensiunile geometrice ale uscătorului și poate varia între 1 și 40 kW. Pentru protecție, coroana dințată este acoperită cu o manta din tablă, (10). Viteza de rotație a cilindrului uscătorului este de 1 - 8 rot/min.

Dintr-un alimentator, materialul de uscat cade pe un jgheab înclinat situat în camera (8) și de aici în interiorul cilindrului ; datorită rotației și înclinației cilindrului (cu un unghi de $\sim 6^\circ$) materialul se deplasează spre camera de descărcare (2). Aerul introdus prin camera (2) circulă în contracurent cu materialul și este evacuat prin camera (8) ; pentru a se evita antrenarea materialului, viteza aerului nu

trebuie să depășească 3 m/s. Coeficientul de umplere cu material este de 5 - 25 % din volumul cilindrului. Pentru a mări coeficientul de umplere la ieșirea din cilindru se sudează o tablă de o anumită înălțime peste care deversează materialul ; în felul acesta crește și durata de staționare a materialului în uscător.

La uscătoarele care folosesc gaze de ardere în locul camerei (8) se montează o manta din tablă de construcție specială care se află în legătură directă cu focarul. La ambele capete ale uscătorului se montează sistemele de etanșare (7) pentru a evita ieșirea gazelor în exterior.

Uscătoarele rotative cu cilindru sînt indicate în special pentru uscarea materialelor granulare care curg liber și nu produc mult praf.

5.6.8.5. Uscătoare prin pulverizare

Faza solidă din suspensii lichide ca laptele, detergenții, pigmenții poate fi recuperată folosind uscarea prin pulverizare. Suspensia este dispersată într-o cameră prin care trece un curent de aer cald. Datorită picăturilor extrem de fine ($d = 2 - 200 \mu$) obținute prin pulverizare, se crează o suprafață mare de contact cu agentul de uscare și durata de uscare devine foarte scurtă. În acest fel se pot usca materialele termodegradabile. Pulverizarea lichidului se face prin centrifugare, prin injectarea suspensiei prin duze fine la presiuni ridicate (200 at) și cu ajutorul injectoarelor (pulverizare pneumatică).

În fig. 5.36 este prezentată schișa unui uscător în care pulverizarea suspensiei se face prin centrifugare. Suspensia cade pe discul (1) care se rotește cu o viteză periferică de 100 - 160 m/s și este proiectată la periferia acestuia fiind dispersată în picături fine, aerul cald este introdus în camera de uscare (2) și după uscare trece prin filtrul cu saci (3) unde se separă o parte din praful antrenat. Produsul uscat cade pe vatra uscătorului fiind transportat de dispozitivul cu racleți (4) în jgheabul transportorului elicoidal (5). Tot în jgheabul transportorului cade praful desprins de pe pânza sacilor prin scuturare.

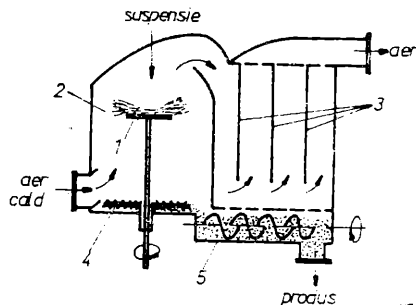


Fig. 5.36.
Uscător prin pulverizare.

5.6.9. Protecția muncii în exploatarea uscătoarelor

Pentru exploatarea în condiții de deplină securitate a uscătoarelor se recomandă respectarea următoarelor norme de protecția muncii:

- spațiul de amplasare a uscătoarelor va fi dotat cu

instalație de ventilație, iar în cazul uscării substanțelor inflamabile echipamentul va fi antiexploziv ;

- deschiderea uscătoarelor se va face numai după eliminarea cu dispozitive de absorbie a noxelor și cu izolarea uscătorului în cazul dispunerii în baterie ;

- în cazul atomizoarelor în funcțiune este interzisă orice intervenție la camera de uscare sau la instalațiile anexe ;

- este, de asemenea, interzisă intervenția la uscătoarele rotative în funcțiune ;

- uscătoarele pneumatice și cu strat fluidizat vor fi dotate cu regulatoare de temperatură și presiune ;

- conductele de evacuare a agentului de uscare vor fi prevăzute cu camere de liniștire și cicloane sau filtre de reținere a materialului antrenat.

Se va verifica : starea conductelor de transport și starea utilajului de comprimare a gazului transportor.

Capitolul 6. OPERATIILE UNITARE
C U T R A N S F E R D E
M A S A

6.1. ADSORBTIA

Adsorbția este operația unitară de transfer de masă prin care un material solid sau lichid - adsorbantul - reține pe suprafața sa substanțe solide, lichide sau gazoase - adsorbitul - dintr-un mediu fluid înconjurător.

În industria chimică și în alte domenii, adsorbția este folosită ca operație de separare, purificare și recuperare. Adsorbantii rețin unul sau mai mulți componenți dintr-un amestec omogen sau heterogen. Operația prin care substanțele adsorbite sînt puse în libertate se numește desorbție. După desorbție, adsorbantul poate fi folosit din nou pentru adsorbție.

Numeroasele aplicații tehnice ale adsorbției derivă din următoarele particularități care deosebesc adsorbția de celelalte operații de separare:

- reținerea particulelor foarte mici (de exemplu coliziilor) ;
- reținerea unor componenți care se găsesc în concentrații extrem de mici într-un amestec (de exemplu impurități care produc miros, gust sau colorații nedorite) ;
- selectivitatea adsorbantilor față de unii componenți ai amestecului.

Adsorbția este aplicată în multe domenii din care se amintesc câteva : rafinarea uleiurilor minerale, vegetale și animale, rafinarea zahărului, decolorarea lichidelor, construirea măștilor contra gazelor nocive, îndepărtarea excesului de clor după sterilizarea apei cu clor, purificarea și dezodorizarea gazelor, condiționarea aerului etc.

6.1.1. Echilibrul de faze în adsorbție

Adsorbția este un proces nestaționar atingând faza finală în momentul în care între substanța care se adsorbe (adsorbitul) și adsorbit s-a stabilit echilibrul termodinamic. Echilibrul depinde de natura celor două faze (adsorbit - adsorbant), de presiunea parțială (sau concentrația) a adsorbitului în fluidul ambiant și de temperatură. Relația cantitativă a echilibrului dintre faza adsorbită și faza ambiantă (lichid, gaz sau vapori) se exprimă de obicei grafic prin izoterma de adsorbție în coordonatele : presiunea parțială (concentrația) adsorbitului în faza ambiantă (abscisa) - cantitatea adsorbită (ordonata). În fig. 6.1 sînt reprezentate cîteva tipuri de izoterme de adsorbție.

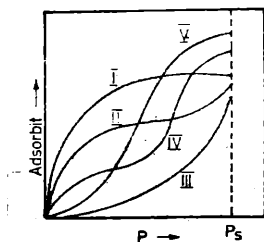


Fig. 6.1.
Izoterme de adsorbție.

Alura acestora variază funcție de sistemul adsorbant - adsorbit și de modul de obținere a adsorbantului. Izosterele de adsorbție se opresc la o presiune de saturație, P_s , care depinde de natura sistemului adsorbant - adsorbit și de temperatură. Alte modalități de exprimare a echilibrului în adsorbție sînt și curbele izobare care descriu variația cantității de substanțe adsorbite funcție de temperatură în condițiile în care presiunea rămîne constantă. Izosterele sînt alte forme ale echilibrului în adsorbție, reprezentînd variația presiunii de echilibru cu temperatura la o cantitate de substanță adsorbită, constantă.

6.1.2. Teorii ale adsorbției

În legătură cu mecanismul procesului de adsorbție trebuie evidențiate două aspecte :

- a) elucidarea naturii forțelor ce intervin între moleculele adsorbantului și ale substanței adsorbite ;
- b) elucidarea formei în care este reținută substanța adsorbită pe suprafața adsorbantului.

După natura forțelor care intervin între moleculele adsorbantului și ale substanței adsorbite se disting următoarele tipuri de adsorbție :

- adsorbția fizică care se realizează ca efect al forțelor de tip van der Waals care determină reținerea substanței adsorbite într-un strat mono- sau polimolecular pe suprafața adsorbantului ;

- adsorbția chimică este determinată de forțe și legături de natură chimică între adsorbant și substanța

adsorbită ;

- persorbția, este un caz particular al adsorbției chimice, constând în reținerea unor substanțe ale căror molecule se adaptează în golurile structurale ale rețelei cristalografice de adsorbant, această rețea avînd efectul unei site moleculare. De exemplu, anumiți alumino - silicați rețin prin persorbție apa, alcoolul metilic și etilic.

Referitor la al doilea aspect se admit o serie de teorii dintre care cele mai importante sînt :

- teoria stratului monomolecular (Langmuir), conform căreia substanța adsorbită formează un strat monomolecular pe suprafața adsorbantului ;

- teoria stratului polimolecular, care admite depunerea succesivă a păturilor cu formarea unui strat polimolecular, în care straturile succesive de molecule sînt legate din ce în ce mai puțin strîns de suprafața adsorbantului ;

- teoria condensării capilare, care admite că adsorbția rezultă din condensarea vaporilor substanței adsorbite prin micșorarea presiunii de saturație în porii cu rază mică ai adsorbantului.

Fiecare din aceste teorii corespunde numai unora din aspectele adsorbției și este nevoie de toate cele trei teorii pentru a explica comportarea adsorbantilor pe întreg domeniul de variație al presiunilor.

Lipsa unei teorii unitare a adsorbției atrage după sine și lipsa unei relații analitice riguroase pentru echilibrul adsorbției. Ecuațiile analitice date de diferiți autori corespund numai anumitor porțiuni ale izotermei de adsorbție. Relația empirică ce dă cea mai bună concordanță cu datele experimentale este de forma :

$$x = \frac{A \cdot p}{1 + A \cdot p} B \quad (6.1)$$

în care :

x - cantitatea de substanță adsorbită (de un gram sau un cm^3 de adsorbant) ;

p - presiunea parțială a adsorbitului în faza gazoasă ;

A și B - constante specifice sistemului.

6.1.3. Cinetica adsorbției

Structura procesului. Adsorbția ca proces unitar implică următoarele procese macroscopice elementare :

- transferul prin difuzie moleculară sau convectivă (după cum faza ambiantă este în mișcare sau în repaus) în volumul principal al mediului ambiant ;

- transferul în filmul dintre faza ambiantă și suprafața exterioară a adsorbantului ;

- procese elementare la interfața adsorbant - adsorbit ;

- transferul în stratul limită solid de la suprafața adsorbantului ;

- transferul în masa adsorbantului.

Primele două etape depind de caracteristicile hidrodinamice ale sistemului iar celelalte depind de constantele fizice ale substanței adsorbite (în special de coeficientul de difuziune) și de natura chimică și starea fizică a adsorbantului.

Viteza procesului de adsorbție este dată de ecuația :

$$\frac{dx}{dz} = K(C - C^x) \quad (6.2)$$

în care :

- x - cantitatea de substanță reținută de adsorbant, Kg/m^3 ;
- z - durata de la începutul adsorbției, s ;
- K - coeficientul global de viteză de adsorbție, s^{-1} ;
- C - concentrația adsorbitului în faza ambiantă, Kg/m^3 ;
- C^x - concentrația adsorbitului în faza ambiantă în echilibru cu cantitatea x , adsorbită, Kg/m^3 .

6.1.4. Materiale adsorbante

Adsorbția avînd loc la suprafața corpurilor solide, ca materiale adsorbante se folosesc substanțe poroase, cu suprafața specifică mare. Caracteristicile unui adsorbant sînt :

- capacitatea de adsorbție, care poate fi statică în cazul în care adsorbantul se găsește în contact staționar cu mediul ambiant, sau dinamică atunci cînd adsorbantul este străbătut continuu de amestecul fluid ;
- selectivitatea, care este proprietatea de a reține numai o substanță sau un grup de substanțe ;
- viteza de adsorbție.

Se dau mai jos caracteristicile celor mai utilizați adsorbanți.

Cărbunele activ. Se obține prin încălzirea la temperaturi înalte în recipiente închise a unor substanțe vegetale cum ar fi lemnul, coji de nucii, simburi de fructe

etc. sau a unor substanțe de origine animală (oase), urmată de activarea lor cu vapori de apă, oxid de carbon, dioxid de carbon, clor, aer etc. Caracteristicile mai importante ale cărbunelui activ sînt :

- densitatea aparentă	700 - 900 Kg/m ³ ;
- porozitatea	50 - 55 % ;
- granulatia	1 - 3 mm ;
- temperatura de adsorbție în strat	7 - 50°C ;
- temperatura de reactivare	104 - 116°C.

Cărbunele activ este utilizat la rafinarea uleiurilor și a grăsimilor, la purificarea și recuperarea solvenților, la rafinarea siropului de zahăr etc.

Silicagelul se obține prin reacția dintre silicatul de sodiu și acid sulfuric, urmată de spălarea gelului rezultat și uscarea produsului în condiții bine controlate. Este un adsorbant selectiv față de vaporii de apă.

Alumina activă se obține prin tratarea termică a oxidului de aluminiu precipitat sau a bauxitei și se întrebuințează în special la uscarea gazelor.

Pământurile decolorante sînt produse naturale sau sintetice formate din silicați cu diferite grade de hidratare, activate prin tratare cu acizi. Sînt folosite la decolorarea, limpezirea și rafinarea produselor petroliere, a grăsimilor, uleiurilor etc.

6.1.5. Aparate de adsorbție

Tehnica de lucru în adsorbție cuprinde trei faze : adsorbția gazelor sau a vaporilor pe suprafața adsorbantului, desorbția (eliminarea substanței adsorbite), răcirea adsorbantului.

După ultima fază operația se reia începând cu prima fază. În faza de adsorbție, gazul sau vaporii străbat stratul de adsorbant. Această fază se consideră terminată atunci când apar în gazul rezidual urme din componentul care trebuie adsorbit. Deoarece în cursul acestei faze are loc o degajare de căldură, ea trebuie eliminată prin răcirea indirectă a stratului de adsorbant.

Desorbția se face, trecând prin stratul de adsorbant vaporii de apă sau un gaz inert sau prin simpla încălzire a stratului.

Ultima fază, răcirea stratului, se realizează de obicei cu un gaz rece, ea fiind necesară pentru pregătirea adsorbantului pentru prima fază a ciclului.

După mai multe cicluri, adsorbantul își pierde din activitate și este necesară reactivarea sa. Aceasta se realizează prin încălzire la temperaturi mai ridicate.

Pentru realizarea adsorbției în sistem continuu sînt necesare mai multe adsorbitoare, care sînt racordate la circuit pe rînd, printr-un sistem de ventile acționate manual sau automat.

În fig. 6.2 este prezentat schematic un adsorber cu

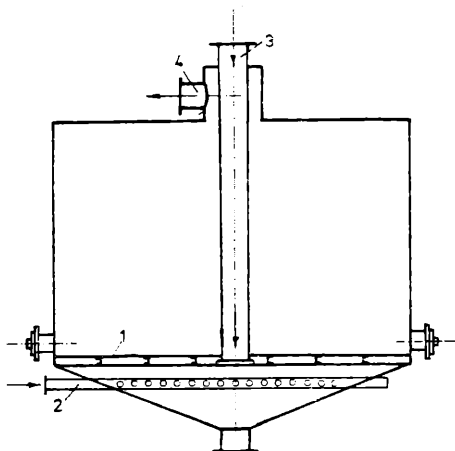


Fig. 6.2.

Adsorber cu cărbune activ.

cărbune activ. El este construit dintr-un vas cilindric prevăzut cu un grătar pentru susținerea straturii de adsorbant (1) ; cu o țeavă perforată pentru introducerea aburului în faza de desorbție sau a aerului în faza de răcire (2).

Fluidul de alimentare este introdus în adsorber prin țeava (3) iar ieșirea gazelor reziduale se face prin racordul (4).

În fig. 6.3 este prezentată o instalație cu trei adsorbere (două adsorbere în producție și unul în regenerare). În această figură, simbolul \otimes reprezintă robinetele închise.

Instalațiile discontinue (cu un singur adsorber) sau cele pseudocontinue (cu trei sau patru adsorbere) au productivități relativ mici, necesită aparate de dimensiuni mari și multă manoperă. În plus, operația nu poate fi contro-

lată sau reglată automat.

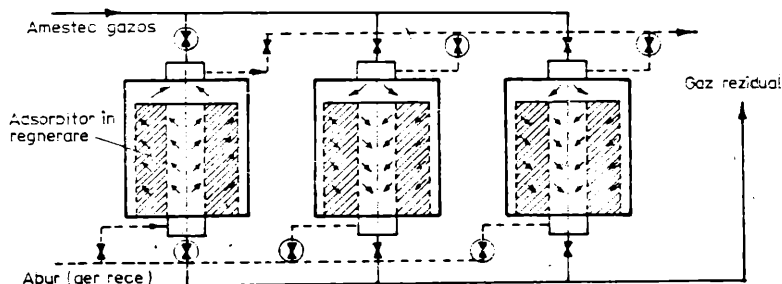


Fig. 6.3.

Instalație de adsorbție cu cărbune activ cu trei adsorbere.

Aceste dezavantaje sînt înlăturate de instalațiile de adsorbție continuă. O astfel de instalație, utilizînd gel de silice ca adsorbant este prezentată în fig. 6.4. Această instalație servește la uscarea aerului. Adsorbantul, sub formă de pulbere, coboară prin adsorber (1) în contracurent cu aerul umed, după care trece în desorberul încălzit (2) în care se eliberează componentul adsorbit, adică vaporii de apă care condensează în răcitorul (4). Adsorbantul este readus în coloana de adsorbție prin transport pneumatic, cu ajutorul unei părți din aerul uscat.

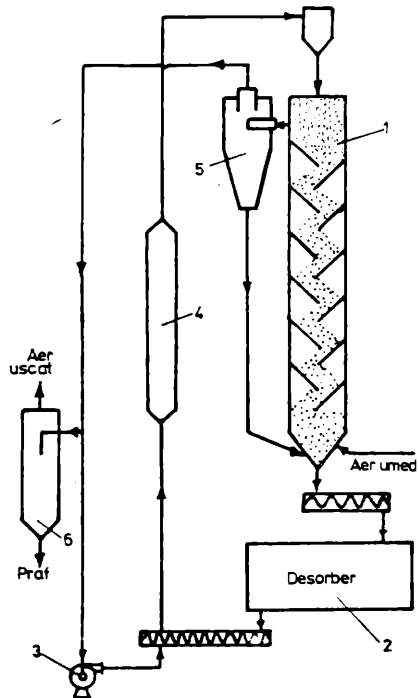


Fig. 6.4.

Instalație de adsorbție continuă cu silicagel.
 1 - adsorber ; 2 - desorber ; 3 - suflantă ;
 4 - racitor ; 5 - ciclon ; 6 - separator de
 praf.

Capitolul 7. OPERATII MECANICE

7.1. MARUNTIREA MATERIALELOR SOLIDE. CONSIDERATII GENERALE

Materialele solide naturale, semifabricate sau produse finite, sînt rareori folosite la dimensiunile cu care rezultă din exploatarea sau tehnologii de fabricație. De cele mai multe ori este necesar ca materialele să fie aduse la dimensiuni impuse de condițiile de utilizare ale acestora, ceea ce se realizează prin operația de mărunțire.

Mărunțirea materialelor constă în divizarea lor de la unități de volum mai mare la unități de volum mai mici sub acțiunea forțelor mecanice.

În industria chimică și în alte ramuri industriale, mărunțirea se face, în special, în vederea măririi suprafeței, deoarece în multe procese care implică sisteme solid - fluid, viteza proceselor fizice sau chimice depinde de aria de contact dintre faze. Astfel, prin mărunțire se intensifică o serie de operații fizice cum ar fi dizolvarea, uscarea etc., se ușurează separarea constituienților unui conglomerat - de exemplu minereuri, se obține o omogenizare mai bună a amestecurilor eterogene etc.

7.1.1. Factorii care influențează operația de mărunțire

În practică, mărunțirea se poate realiza prin lovire (fig. 7.1.a), prin strivire (fig. 7.1.b), prin frecare (fig. 7.1.c) și prin forfecare (fig. 7.1.d).

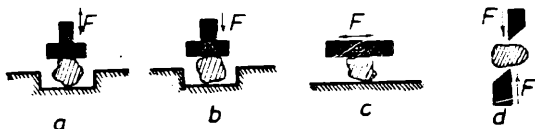


Fig. 7.1.
Metode de mărunțire.

Eficiența operației de mărunțire înseamnă aducerea materialului la dimensiunile dorite cu un consum minim de energie și cu productivitate convenabilă. Materialele solide se caracterizează printr-o serie de mărimi, dintre care cele mai importante pentru mărunțire sînt :

a) Dimensiunea liniară a materialului, care poate fi diametrul, în cazul particulelor sferice sau latura pentru cele cubice sau o anumită dimensiune medie fictivă în cazul formei neregulate a particulei ;

b) Suprafața exterioară a particulelor, care poate fi exprimată în cazul unui sistem polidispers prin suprafața specifică ;

c) Dimensiunea limită a particulelor, prin care se înțelege dimensiunea celor mai mari sau a celor mai mici particule din ansamblu ;

d) Structura materialului, care poate fi omogenă sau neomogenă ;

e) Duritatea este proprietatea prin care se exprimă tăria relativă a solidelor. Clasificarea materialelor se face cu ajutorul scării de duritate Mohs, prezentată în tabelul 7.1.

Tabelul 7.1. Scara mineralogică de duritate (Mohs)

Caracteristica materialului	Gradul de duritate	Mineralul caracteristic.	Alte materiale
Materiale moi	1	Talc	Ceruri, săpunuri, precipitate de la filtre presă.
	2	Gips	Sare gemă, săruri cristalizate, grafit
	3	Calciu	Marmoră, calcar moale, cretă, barită
	4	Fluorină	Fosfați moi, magnezită, calcar
	5	Apatit	Fosfați duri, calcar dur, bauxită, cromită.
Materiale dure	6	Feldspat	Ilmenit, ortoclaz, hornblendă.
	7	Cuart	Granit, gresie
	8	Topaz	
	9	Corindon	Safir, smirghel
	10	Diamant	

f) Distribuția particulelor după dimensiuni. În cazul unui ansamblu de particule se definește o relație funcțională de distribuție a particulelor după dimensiunile lor. În această distribuție există o fracțiune de particule a căror dimensiune apare cu frecvență maximă. Valoarea acestei dimensiuni se numește modă.

Mărunțirea este influențată de o serie de factori cum ar fi :

- Umiditatea materialului în general micșorează productivitatea și mărește consumul de energie. În general o umiditate a materialului mai mare de 5 % duce la o scădere rapidă a productivității utilajelor de mărunțire. De aceea se recomandă ca de fiecare dată să se cerceteze experimental și să se aprecieze eficiența economică a introducerii unei faze de uscare înaintea mărunțirii sau între două trepte de mărunțire. Totuși există și utilaje de mărunțire umedă care, pentru unele materiale, dau rezultate foarte bune la umidități mai mari de 60 %. În fig. 7.2 este prezentată variația productivității în funcție de umiditate pentru câteva materiale uzuale.

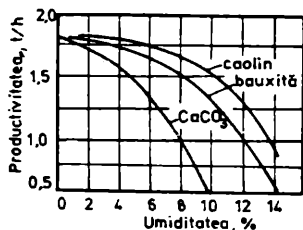


Fig. 7.2.
Influența umidității
asupra productivității
instalației de măcinare.

- Ingrédiente de măcinare. Sînt substanțe care adăuga-te materialului ce trebuie mărunțit, îmbunătățesc operația, fie prin mărirea fineței produsului la o productivitate impusă, fie prin mărirea productivității la o anumită finețe. Acțiunea lor se manifestă prin aceea că împiedică infundarea suprafețelor de mărunțit și micșorează aderența produsului pe subansamblurile utilajului. Ca ingredienți de măcinare se folosesc silicații, fosfații, acizi alchil-aril-sulfonici, săruri de tri-etanol amină, săruri de amoniu, acid oleic, negru de fum de canale etc.

- Gradul de mărunțire. Raportul D/d dintre dimensiunea inițială a materialului D și dimensiunea produsului, d , reprezintă gradul de mărunțire. El depinde de tipul mașinii de mărunțit, de duritatea materialului și de dimensiunea inițială. Valoarea lui influențează foarte mult consumul de energie necesar mărunțirii.

- Finețea pînă la care este mărunțit materialul micșorează productivitatea și mărește consumul de energie.

7.1.2. Energia necesară pentru mărunțire

Datorită numărului mare de factori care influențează mărunțirea și din cauza lipsei unei baze teoretice satisfăcătoare pentru mecanismul mărunțirii, nu există o relație care permită calcularea cu exactitate a energiei consumate. Datele recente arată ca principalii factori care trebuie considerați în explicarea procesului sînt: natura materialului, starea sa inițială, structura sa, viteza și durata efortului mecanic.

Acționind cu o forță de compresiune asupra unui material, atita timp cit forța aplicată este sub limită de elasticitate a materialului, acesta este comprimat și energia consumată se transformă în căldură. La îndepărtarea efortului materialul revine la forma inițială. Mărind treptat forța se ajunge la o valoare cînd se produce ruperea lui. Gradul de utilizare a energiei ar fi maxim dacă ruperea ar continua la valoarea forței în momentul începerii ruperii ; în realitate, datorită suprafeței neregulate a particulelor, forța este concentrată în colțurile materialului care cedează mai întîi în aceste puncte. Îndată ce o mică parte din material s-a sfărîmat, punctul de aplicație al forței se schimbă și, este posibil, ca în noul punct să fie necesară o altă valoare a forței pentru a produce ruperea. Modul exact în care se produce ruperea nu este cunoscut dar el este sugerat de Pirst astfel : forța de compresiune produce fisuri mici în material ; dacă energia depășește o anumită valoare critică, fisurile se măresc rapid și se ramifică producînd sfărîmarea materialului. Prin urmare energia se consumă în proces în două stadii : în primul stadiu pentru a mări fisurile mici existente deja în material și în al doilea, pentru sfărîmarea propriu-zisă. Valoarea efortului și respectiv a energiei de rupere în primul stadiu depinde de starea inițială a materialului, adică de numărul și mărimea fisurilor existente deja în material ; în cel de al doilea stadiu valoarea energiei depinde în principal de structura internă a materialului. În al doilea stadiu se produce un număr mai mare de bucăți de material și de dimensiuni mai mici și, prin urmare, valoarea energiei necesare este mai mare, comparativ cu

primul stadiu.

Primele relații pentru calculul consumului de energie în mărunțire au fost date la sfârșitul secolului al XIX-lea de Kick și Rittinger. Mai târziu, în anul 1952 Bond propune o nouă relație de calcul, dar toate pot fi considerate ca derivând din ecuația diferențială de forma :

$$\frac{dE}{dD} = - C D^n \quad (7.1)$$

Ecuația (7.1) arată că energia dE , necesară pentru a realiza o variație dD a dimensiunii unității de masă de material, este o funcție exponențială de dimensiunea, D a materialului. Constanta C și exponentul n au valori diferite de la caz la caz. Prin integrarea ecuației (7.1) între limitele D (dimensiunea inițială) și d (dimensiunea finală), pentru $n = -1$ se obține :

$$E = C_K \ln \frac{D}{d} \quad (7.2)$$

Relația (7.2) este formularea matematică a legii lui Kick, conform căreia energia necesară mărunțirii este proporțională cu logaritmul gradului de mărunțire. Legea lui Kick dă rezultate satisfăcătoare numai la mărunțirea grosieră

Pentru $n = -2$, prin integrarea ecuației (7.1), între aceleași limite se obține :

$$E = C_R \left(\frac{1}{d} - \frac{1}{D} \right) \quad (7.3)$$

care este formularea matematică a legii lui Rittinger, conform căreia energia necesară mărunțirii este proporțională cu suprafața nou creată prin mărunțire. Ecuația lui Rittinger este verificată în special la măcinarea fină.

Dacă ecuația (7.1) se integrează pentru $n = -3/2$ se obține formularea matematică a legii lui Bond :

$$E = 2 C_B \left(\frac{1}{\sqrt{d}} - \frac{1}{\sqrt{D}} \right) \quad (7.4)$$

7.1.3. Utilaje de mărunțire

Utilajele de mărunțire se clasifică după două criterii și anume, după gradul de mărunțire și după caracteristicile lor constructive. Când gradul de mărunțire necesar este mare operația se execută în două sau mai multe trepte de mărunțire. Clasificarea după gradul de mărunțire împarte mașinile de mărunțire în : concasoare, granulatoare, mori fine, mori coloidale.

În baza aceluiași criteriu, operațiile de mărunțire se clasifică conform tabelului 7.2.

Tabelul 7.2. Operații de mărunțire

Denumirea operației	Caracteristicile materialelor.	Mărimea materialului, mm				Gradul de mărunțire
		La alimentare		Produs		
		Maxim	Minim	Maxim	Minim	
Concasare:						
primară	Dure	1500	300	500	100	3
		500	100	100	25	4
secundară	Dure	100	25	25	5	5
		40	6	5	0,8	7
	Moi	500	100	50	10	5
Măcinare:						
Pulverizare						
- grosieră	Dure	5	0,8	0,6	0,08	10
- fină	Dure	1,2	0,15	0,06	0,01	15
Dezintegrare						
- grosieră	Moi	12,5	1,7	0,6	0,08	20
- fină	Moi	4	0,5	0,1	0,001	50

O clasificare mai riguroasă se poate face după construcția utilajelor de mărunțit, dar acest criteriu are dezavantajul că introduce un număr mare de grupe. Dintre acestea se prezintă următoarele categorii de utilaje de mărunțire :

- concasoare și granulatatoare cu fălci ;
- concasoare și granulatatoare giratoare ;
- concasoare și granulatatoare cu cilindri (valțuri) ;
- concasoare, granulatatoare și mori care acționează prin lovire ;
- granulatatoare și mori cu corpuri rostogolitoare ;
- mori cu jet ;
- mori coloidale.

7.1.3.1. Concasoare și granulatatoare cu fălci

Utilajele de acest tip sînt cele mai răspîndite, folosite în special pentru materiale dure. Subansamblul constructiv de bază îl constituie fălciile care acționează asupra materialului prin frecare. În fig. 7.3.a este prezentată schematic funcționarea concasoarelor și granulatatoarelor cu falca mobilă sprijinită la partea superioară : la o rotație a axului cu excentric (7), biela (8) execută o mișcare de ridicare și de coborîre, cînd excentricul se află în partea superioară biela se ridică și odată cu ea, se ridică și capetele celor două plăci (5), care își modifică poziția apropiindu-se de orizontală. În această poziție distanța dintre capete crește și, cum în partea dreaptă punctul de sprijin al plăcii este fix, capă-

tul din stînga se va deplasa spre stînga. Prin urmare falca mobilă (2), care se sprijină pe axul (6) va fi împinsă cu partea inferioară spre placa fixă (1). Cînd biela (8) se deplasează în jos, întregul sistem execută mișcările inverse, falca mobilă depărtîndu-se de cea fixă. În fig. 7.3.b este redat principiul de funcționare al concasoarelor și granulatorelor cu falca mobilă sprijinită la partea superioară pe un

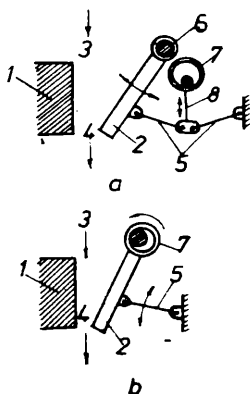


Fig. 7.3.

Funcționarea concasoarelor și granulatorelor cu falci, cu falca mobilă sprijinită la partea superioară :

a - prin arbore de sprijin;

b - prin excentric-suspensie.

relor cu falca mobilă sprijinită la partea inferioară.

excentric suspensie. În acest caz, falca mobilă (2), execută o mișcare complexă : de ridicare și coborîre, datorită arborelui excentric (7) și de îndepărtare și de apropiere de falca fixă (1), datorită plăcii de presiune (5). La ambele concasoare alimentarea (3) cu material se face la partea superioară a spațiului de mărunțire, iar evacuarea (4) a produsului, la partea inferioară.

În fig. 7.4.a și 7.4.b se prezintă schema de funcționare a concasoarelor și granulatorelor cu falca mobilă sprijinită la partea inferioară.

Elementele constructive notate pe figură au aceeași semnificație ca și la tipul precedent și transmiterea se face la fel. Sprijinirea fălci mobile la partea inferioară are avantajul

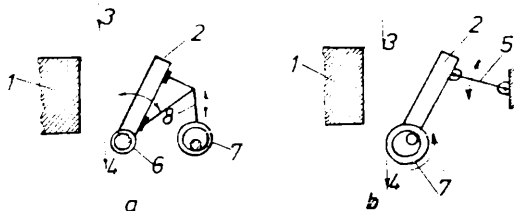


Fig. 7.4.

Funcționarea concasoarelor și granulatoarelor cu fălci, cu falca mobilă sprijinită la partea inferioară : a - prin arbore de sprijin ;
b - prin excentric - suspensie.

că permite o reglare mai precisă a distanței dintre fălci la evacuare și, prin aceasta, se obține un produs cu granulometria mai uniformă.

Unghiul de apucare . Rezultanta forțelor care acționează asupra unui bulgăre de material aflat între fălcile concasorului trebuie să fie orientată spre evacuare. În caz contrar, materialului poate fi expulzat din spațiul de lucru sau poate trece printre fălci fără a fi mărunțit. Din această condiție rezultă valoarea unghiului φ dintre suprafețele de măcinare, numit unghi de apucare. În fig. 7.5 se consideră că bucata de material aflată în zona de lucru al concasorului are formă sferică sau cilindrică. În punctele de contact cu fălcile 1 și 2 ale concasorului acționează :

- forțele de presiune F , datorate apăsărilor exercitate de fălci ;

- forțele de frecare λF , λ fiind coeficientul de frecare dintre fălci și material.

Pentru compunerea forțelor F și λF , punctele lor de aplicație au fost deplasate pe o axă comună (axa de simetrie dintre fălci). Cele două forțe rezultante sînt :

$$F_{B_1} = 2 F \sin \frac{\varphi}{2} \quad \text{și}$$

$$F_{B_2} = 2 \lambda F \cos \frac{\varphi}{2}$$

Din condiția $F_{B_1} < F_{B_2}$ rezultă :

$$\operatorname{tg} \frac{\varphi}{2} \leq \lambda$$

sau dacă se notează unghiul de frecare cu φ_1 ($\operatorname{tg} \varphi_1 = \lambda$) atunci :

$$\operatorname{tg} \frac{\varphi}{2} \leq \operatorname{tg} \varphi_1 \quad \text{de unde : } \varphi \leq 2 \varphi_1 \quad (7.5)$$

Pentru materialele obișnuite coeficientul de frecare este în jur de 0,3, respectiv $\varphi_1 = 17^\circ$. Din relația (7.5) rezultă $\varphi \leq 34^\circ$. În practică concasoarele au unghiul dintre fălci $\varphi = 15 - 25^\circ$.

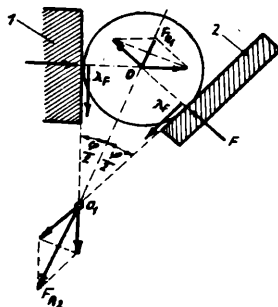


Fig. 7.5. Determinarea unghiului de apucare.

Turația optimă. În timpul unei rotații a arborelui care acționează biela și deci falca mobilă, aceasta din urmă execută o mișcare de apropiere și una de îndepărtare de placa fixă. Frecvența mișcării de apropiere și de îndepărtare este condiționată de posibilitatea îndepărtării materialului din spațiul de sfărîmare. Admițînd că falca mobilă se deplasează paralel cu ea înseși (fig. 7.6) în timpul mișcării spre

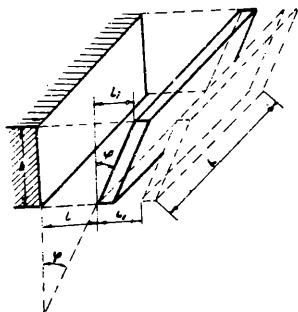


Fig. 7.6.

Determinarea turației optime și a debitului concasorului cu fălci. Din fig. 7.6 se observă că se poate exprima h în funcție de l_1 prin relația :

$$h = \frac{l_1}{\text{tg } \varphi} \quad (7.7)$$

Prin introducerea relației (7.7) în relația (7.6) se obține :

$$t = \sqrt{\frac{2}{g} \cdot \frac{l_1}{\text{tg } \varphi}} \quad (7.8)$$

dreapta materialul trebuie să parcurgă o distanță egală cu înălțimea h a spațiului de sfărîmare. Neglijînd frînarea datorită forțelor de frecare, timpul necesar parcurgerii de către material a distanței h se calculează cu ecuația căderii libere :

$$t = \sqrt{\frac{2h}{g}} \quad (7.6)$$

În acest timp falca mobilă trebuie să parcurgă distan-

ța l_1 . Din fig. 7.6 se

Timpul t de cădere a materialului din spațiul de sfărîmare și de deplasare spre dreapta a fălcii mobile este egal, pe de altă parte, cu jumătate din durata unei rotații a arborelui care acționează biela ; dacă n este numărul de rotații pe secundă atunci :

$$t = \frac{l}{2n} \quad (7.9)$$

Din relațiile (7.8) și (7.9) se obține pentru n :

$$n = 1,11 \sqrt{\frac{t_{\text{ef}} \varphi}{l_1}} \quad (7.10)$$

Dacă turația este mai mică decît cea dată de relația (7.10) frecvența evacuării materialului din spațiul de sfărîmare scade și prin aceasta, scade și productivitatea. Dacă turația este prea mare, frecvența descărcărilor crește în schimb scade h ; înălțimea materialului în spațiul de sfărîmare (h scade proporțional cu $1/n^2$) astfel încît, și în acest caz, productivitatea utilajului scade. Prin urmare valoarea turației dată de relația (7.10) este optimă. În realitate timpul t , de cădere este mult mai mare decît durata căderii libere, din cauza frecării dintre material și fălci și de aceea în practică se lucrează la o turație cu 5 - 10 % mai mică decît cea calculată cu relația (7.10).

Productivitatea concasoarelor cu fălci. Așa cum se observă din fig. 7.6, în timpul deplasării fălcii mobile spre stînga, materialul sfărîmat ocupă o formă de prismă trapezoidală al cărei volum este :

$$V = \frac{l + (l + l_1)}{2} h \cdot L, \text{ m}^3 \quad (7.11)$$

În rig. 7.6 și în relația (7.11), l este distanța minimă între fălci, l_1 - deplasarea fălcii mobile, iar L

descărcare, rezultă, pentru n rotații/secunda, debitul v
 ic :

$$v_s = \frac{2 \bar{l} + l_1}{2} \cdot \frac{l_1}{\text{tg} \varphi} \cdot L \cdot n, \text{ m}^3/\text{s} \quad (7.12)$$

Deoarece dimensiunile extreme ale materialului variază înt
 limitele \bar{l} și $\bar{l} + l_1$, dimensiunea medie este :

$$\bar{l} = \frac{2 \bar{l} + l_1}{2} \quad \text{sau} \quad 2 \bar{l} + l_1 = 2 \bar{l} \quad (7.13)$$

Înlocuind termenul $(2 \bar{l} + l_1)$ în relația (7.12) se obține

$$v_s = \bar{l} \frac{l_1}{\text{tg} \varphi} \cdot L \cdot n \quad (7.14)$$

Debitul real al concasorului se calculează introducî
 în coeficient de umplere ψ , deoarece :

- distanța L dintre pereții laterali ai spați
 ie umplere nu poate fi utilizată complet. Se recomandă ca
 zimea maximă a bucăților de material alimentat, să fie cu
 nai mică decât L ;

- prisma de material descărcat nu este compactă
 are o anumită porozitate.

Practic ψ este cuprins între 0,25 - 0,65, valoarea C
 corespunde cazului cînd produsul obținut prin mărunțire es
 sferic.

Prin urmare debitul volumic al concasorului este :

$$v_s = \bar{l} \frac{l_1}{\text{tg} \varphi} \cdot L \cdot n \cdot \psi, \text{ m}^3/\text{s} \quad (7.15)$$

Puterea necesară pentru acționarea concasoarelor
cu fălci

Puterea necesară se calculează cu relația empirică :

$$P = 125 (\ell + 2 \ell_1) L \quad \text{kW} \quad (7.16)$$

în care ℓ , ℓ_1 și L au semnificația prezentată la relația (7.11).

Construcția concasoarelor și granolatoarelor
cu fălci

Din clasa concasoarelor cu falca mobilă sprijinită la partea superioară, face parte și concasorul Blake (fig. 7.7).

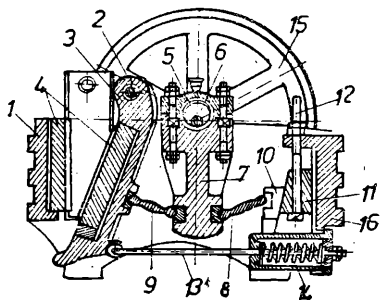


Fig. 7.7.
Concasorul cu fălci tip Blake.

Placa fixă (1) face corp comun cu batiul (16) al concasorului, iar falca mobilă (3) oscilează în jurul axului (2), rezemat pe lagăre fixate pe batiu. Fălcile sînt căptușite cu plăci demontabile (4), confecționate din fontă sau oțel obișnuit, dacă materialele prelevate sînt moi sau casante (pămînt, barită etc.) sau, din oțel dur cu crom și mangan dacă materialele prelucrate sînt dure. Plăcile (4) au suprafața striată, pentru o mai bună aderență cu materialul. Arborele (5), cu excentricul (6) se reazămă pe lagăre fixate de batiu. Excentricul produce mișcarea verticală a bielei (7). Prin mișcarea bielei unghiul dintre plăcile de presiune (8) și (9) variază, determinînd oscilațiile fălcii mobile (3).

Lungimea gurii de descărcare, și deci dimensiunea finală a produsului, se poate modifica deplasînd spre stînga sau spre dreapta pana (10) prin coborîrea sau ridicarea penei (11) fixată cu șuruburile (12). Tija (13) și arcu (14) asigură uniformizarea mișcării de depărtare a fălcii mobile (cursa de mers în gol) și atenuează efectul forțelor de inerție ale fălcii mobile și a plăcilor de presiune. Pentru utilizarea eficientă a puterii transmise în cursa de mers în gol și reducerea încărcării maxime a electromotorului, provocată de intrarea în spațiu de lucru a unor bucăți mai mari sau mai dure, la ambele capete ale arborelui (5) se află volanții (15) dintre care unul este construit ca roată pentru curele de transmisie.

În fig. 7.8 este prezentat concasorul cu fălci tip Dodge.

Falca mobilă (1) a acestui concasor are forma unei pirghii masive care oscilează în jurul arborelui (2) rezemat pe lagăre,

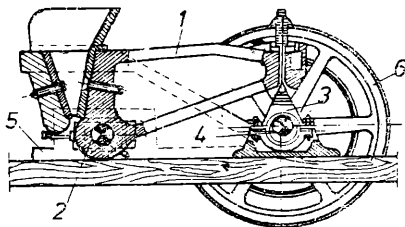


Fig. 7.8.

Concasorul cu fălci tip Dodge.

pe batiul (5). Biela (3), sprijinită pe axul excentric (4), execută o mișcare de ridicare și coborîre și, prin aceasta, provoacă oscilația fălcii mobile a concasorului. Velanții (6) au același rol ca și la concasorul Blake.

Sprijinirea fălcii mobile la partea inferioară face ca deschiderea gurii de evacuare să rămână constantă și astfel să se obțină un material mărunțit mai uniform, ca dimensiuni.

În schimb, materialul mărunțit se poate acumula în concasor provocînd înfundarea lui. Aceste concasoare se folosesc în special pentru productivități mici și pentru materiale de duritate medie.

7.1.3.2. Concasoare și granulatatoare giratoare

Concasoarele cu fălci prezintă dezavantaje dintre care se menționează : mișcarea alternativă face ca mișcarea și deci

forța să fie variabilă în timpul unei oscilații duble ; punerea în mișcare a unor subansamble masive ; trepidații, necesitatea unor fundații masive. Aceste dezavantaje sînt înlăturate de concasoarele giratoare, numite și concasoare rotative.

În plus aceste concasoare prezintă avantajul că materia-lul mărunțit este mai uniform ca dimensiuni, și au producti-vitatea mai mare. Prezintă și o serie de dezavantaje : în cazul prelucrării materialelor plastice, umede (argiloase) se pot infunda, execuția lor e mult mai pretențioasă și nu sînt atît de robuste în exploatare ca și concasoarele cu fălci. Ținînd cont de acestea, la alegerea tipului de concasor pentru o instalație de mărunțire, concasorul girator este de preferat celui cu fălci doar la capacități mari de producție și pentru materiale inaderente la suprafața de mărunțire (minereuri, ma-teriale uscate).

Concasoarele și granulatoarele giratoare constau în prin-cipiu dintr-un con fix - mantaua aparatului (1) și un con mo-bil (2) numit con de sfărîmare, care execută o mișcare gira-torie după schemele din fig. 7.9. Ele se clasifică fie după caracteristicile constructive, fie după modul de descărcare a produsului. După primul criteriu se deosebesc : concasoare și granulatoare giratoare cu arbore vertical fix (fig. 7.9.a); concasoare și granulatoare giratoare cu arbore suspendat (fig. 7.9.b) ; concasoare și granulatoare giratoare cu arbore în consolă (fig. 7.9.c).

După modul de descărcare a produsului se deosebesc : con-casoare și granulatoare giratoare cu descărcare laterală

(fig. 7.9.b) ; concasoare și granulatoare giratoare cu descărcare centrală (fig. 7.9.c).

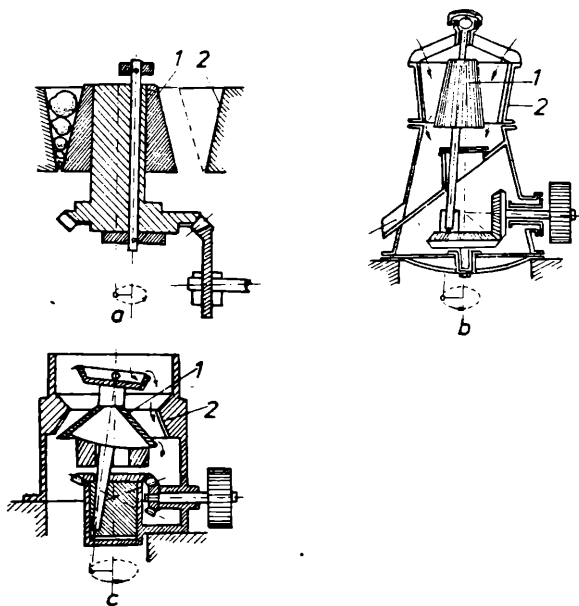


Fig. 7.9.
Concassoare și granulatoare
giratoare.

7.1.3.3. Concasoare și granulatoare cu cilindri (valțuri)

Mașinile de acest tip au o funcționare continuă și mărunțirea are loc prin strivirea materialului între doi cilindri care se rotesc în sensuri opuse sau între un singur cilindru și o suprafață fixă.

Unghiul de apucare φ ^{este unghiul} între tangentele la suprafața cilindrilor, duse în punctele de contact ale acestora cu bulgărele de material ce urmează să fie mărunțit. Se consideră un bulgăre sferic de rază r aflat între cilindrii de rază R situați la distanța $2l$ (fig. 7.10). Neglijând forța de greutate, forțele care acționează asupra bulgărelui în punctele de contact cu cilindrii sunt :

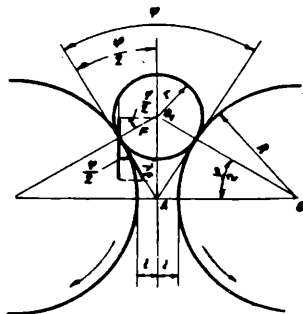


Fig. 7.10. Determinarea unghiului de apucare.

- forța tangențială de frecare λF a cărei componentă pe verticală este $\lambda F \cos \varphi / 2$;

- forța radială de presare F a cărei componentă pe verticală este $F \sin \varphi / 2$.

Condiția ca bulgărele să fie prins între cilindri impune ca :

$\lambda F \cos \varphi / 2 \geq F \sin \varphi / 2$ de unde : $\lambda \geq \tan \varphi / 2$, sau notînd unghiul de frecare cu φ_1 , tangenta unghiului de frecare este tocmai coeficientul de frecare λ și atunci :

$$\tan \varphi_1 \geq \tan \varphi / 2 \text{ sau : } \varphi \leq 2 \varphi_1 \quad (7.17)$$

Pentru granit, minereu de fier, pietriș :

$$\lambda = 0,3 - 0,35, \text{ respectiv } \varphi_1 = 17 - 19^\circ \text{ sau } \varphi = 34 - 38^\circ$$

Pentru materiale umede : $\lambda \approx 0,45$, $\varphi_1 \approx 24^\circ$ sau $\varphi \approx 48^\circ$.

Din triunghiul O_1OA rezultă o relație simplă între raza cilindrilor, dimensiunea bulgărilor de alimentare și distanța dintre cilindri :

$$\cos \varphi / 2 = \frac{R+l}{R+r} \quad (7.18)$$

Pentru $\varphi / 2 = 17^\circ$, $\cos \varphi / 2 = 0,956$ și din relația (7.18) se obține :

$$R = \frac{0,956 - l}{0,044} \quad (7.19)$$

Productivitatea concasoarelor cu cilindri

Volumul de material evacuat la o rotație a cilindrilor este egal cu volumul unei prisme de lungime B , egală cu generatoarea cilindrilor, de grosime $2l$, egală cu distanța dintre cilindri și înălțimea $2\sqrt{R}$ egală cu circumferința unui cerc de rază R :

$$V = B \cdot 2l \cdot 2\sqrt{R} = 4\sqrt{R} B l \quad (7.20)$$

Debitul volumic, teoretic, la turația n , rot/secundă, va fi :

$$V_g = 4 \pi B l R n, \text{ m}^3/\text{s} \quad (7.21)$$

Debitul volumic real al concasoarelor cu cilindri variază între 1/3 și 1/10 din debitul teoretic.

În fig. 7.11 este schițat un concasor cu cilindri. Este

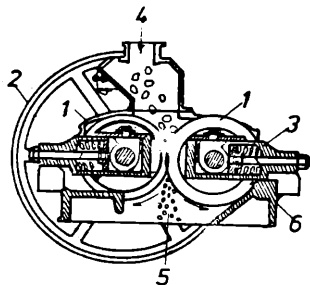


Fig. 7.11.
Concasor cu cilindri.

format din batiul (6), în care sînt montate lagăre puternice pe care se sprijină arborii cilindrilor (1). Pe unul din arbori se află roata de acționare și volantul (2). Vitezele periferice ale cilindrilor pot fi egale sau diferite. Dacă vitezele periferice nu sînt egale, la efectul forței de compresie se adaugă și un efect de for-

fecare, favorabil în special în cazul materialelor moi sau fibroase. Suprafața laterală a cilindrilor poate fi netedă (pentru materiale dure), striată, cu nervuri sau cu dinți : (pentru argile sau minereuri). Pentru a se preveni avarierea concasorului în cazul pătrunderii în spațiul de mărunțire a unor corpuri străine, ca bucăți de metal, lagărele cilindrilor se construiesc astfel încît să poată glisa într-un cadru, fiind readuse la poziția lor de lucru prin intermediul arcurilor (5). Alimentarea cu material se face prin pîlnia (4). Alimentarea trebuie făcută cît mai uniform, de la o înălțime convenabilă astfel încît materialul să ajungă între cilindri cu o viteză egală cu viteza periferică a cilindrilor, pentru a se atenua șocurile și puterea necesară acționării. Materialul mărunțit

este evacuat prin deschiderea (5) dintre cilindri.

7.1.3.4. Concassoare, granulatoare și mori acționând prin lovire

Mașinile din această clasă pot fi :

a) Concassoare, granulatoare și mori cu ciocane
rotative (fig. 7.12), care în principal sînt constituite din

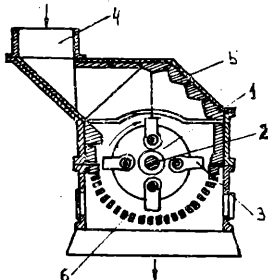


Fig. 7.12.
Concascor cu ciocane.

discul (1) acționat în rotație de arborele (2) și avînd fixate la periferia sa bare pe care sînt suspendate ciocanele (3). Materialul introdus prin pîlnia de alimentare (4) este lovit în căderea sa liberă de ciocane și proiectat pe plăcile de blindaj (5) unde este sfărîmat. De aici materialul cade la partea inferioară a mașinii de unde particulele de mărime

corespunzătoare sînt evacuate prin grătarul (6).

Concassoarele cu ciocane sînt caracterizate prin faptul că mărunțirea are loc în etape succesive : lovirea materialului de ciocanele orientate radial de forța centrifugă, proiectarea materialului pe plăcile de blindaj unde se sfărîmă atît datorită șocului cît și prin lovirea de către ciocane, mărunțirea în continuare a bucăților de material ajunse la partea

b) Concassoare, granuletoare și mori cu impact

Concascorul cu impact, prezentat în fig. 7.13 constă dintr-un disc în rotație (4), pe care sînt fixate rigid ciocanele (5)

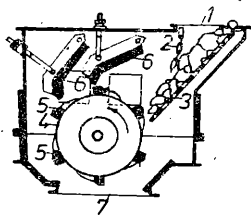


Fig. 7.13.

Concascor cu impact.

Concascorul cu impact. Aceste mașini realizează un grad mare de mărunțire, au turații mari, lucrează fără trepidații mari și au un consum mai mic de energie.

Materialul este preluat de ciocane și proiectat cu viteză mare spre plăcile sau barele de impact (6). Materialul este introdus în concascor prin pîlnia (1). Perdeaua de lanțuri (2) uniformizează alimentarea iar prin ciurul (3) este separat materialul mă-

runt din materialul de alimen-

c) Dezmembratorul funcționează pe un principiu ase-

mănător cu cel al morilor cu ciocane. Schema de principiu este redată în fig. 7.14. Materialul este alimentat prin pîl-

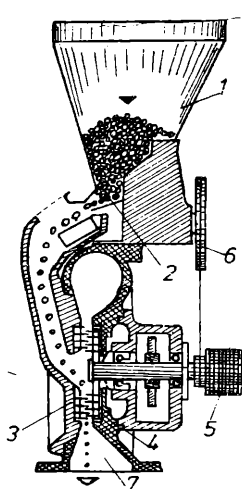


Fig. 7.14.

Dezmembrator.

transmisie cu cureaua acționează roata (6) care comandă închiderea sau deschiderea clapetei de dozare (2).

Există și aparate la care ambele discuri sînt mobile și se rotesc în sensuri opuse, care poartă numele de dezintegrate. La ambele tipuri de aparate viteza periferică a barelor variază între 25 - 40 m/s. Dimensiunile materialului la alimentare trebuie să fie cuprinse între 10 și 100 mm, iar ale produsului sînt între 0,4 - 4 mm. Se utilizează pentru : cărbuni, piatră, lemn, sare, coloranți etc. Principalul lor de-

nia (1), de unde prin intermediul plăcii dozatoare (2) ajunge în zona de măcinare a mașinii. Această zonă este formată dintr-un disc fix (3) și discul rotativ (4), pe care sînt asamblate, pe cercuri concentrice, tije de oțel dur ; asamblarea este astfel făcută încît tijele de pe discul rotativ se rotesc între tijele discului fix. Discul rotativ este acționat de un arbore antrenat în mișcare de o curea. Materialul ajuns între tijele celor două discuri este mărunțit prin lovire și forfecare și este evacuat prin deschiderea (7). O

zavantaj este determinat de uzura rapidă a discurilor și tijelor și de productivitatea relativ mică.

7.1.3.5. Granulatoare și mori cu corpuri rostogolitoare

La aceste tipuri de mașini mărunțirea se face prin acțiunea forțelor de compresiune exercitate asupra materialului de corpuri sub formă de bare, (role), cilindri, sfere, corpuri ovoidale sau elipsoidale etc., care se rostogolesc sau se rotesc pe o suprafață plană sau concavă. La forța de compresiune se adaugă și forța de frecare între material și corpurile rostogolitoare și frecarea dintre bucățile de material. Există mai multe tipuri constructive de granulatoare și mori cu corpuri rostogolitoare, din care se prezintă în continuare pe cele mai reprezentative.

7.1.3.5.1. Colerganguri

Aceste mașini, numite și mori chiliene sau mori cu pietre verticale sînt utilizate din cele mai vechi timpuri. Ele se construiesc în două variante (fig. 7.15) :

- colerganguri la care axul (4) pe care se rotesc cele două pietre de măcinare (5), este fixat rigid pe pivotul central (1) și se rotește solidar cu acesta (fig. 7.15.a) ;
- colerganguri la care axul orizontal al pietrelor

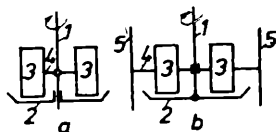


Fig. 7.15.

Schema de funcționare a colergangului : a - cu taler fix ; b - cu taler rotativ.

La ambele variante pietrele se pot ridica sau coborî după necesități. Un sistem de raclete sau pluguri dirijează materialul sub pietrele care-l macină prin presare. Odată cu mișcarea de rotație a pietrelor se produce și o mișcare de alunecare a acestora pe taler. Prin alunecare ia naștere și o forță de forfecare, care produce "destrămarea" materialului. De aceea colergangurile pot fi utilizate ca defibratoare pentru materiale ca azbest, lemn etc.

Colergangurile se folosesc pentru măcinarea uscată sau umedă a materialelor dure sau semidure. Deoarece produsul nu are o granulometrie uniformă, cel mai adesea este trecut în continuare la o măcinare fină.

Morile Loesche (fig. 7.16) și morile pendulare (fig. 7.17) sînt variante perfecționate ale colergangurilor.

La moara Loesche forța de apăsare a pietrelor (1) pe talerul (2) este mărită cu ajutorul arcurilor (3) sau al unor sisteme hidraulice. Morile pendulare macină prin presarea materialelor între suprafața laterală interioară a virolei cilindrice (1) și pietrele (2) care se rotesc în jurul axei lor. Forța de compresie ia naștere din forța centrifugă imprimată

este fixat pe stîlpii de susținere (5) ; la acesta pivotul central este fixat rigid de talerul (2), rotindu-se odată cu el. Sistemul de acționare este plasat deasupra sau dedesubtul talerului.

La ambele variante pietrele

se pot ridica sau coborî după

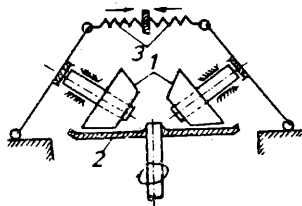


Fig. 7.16.
Moara Loesche.

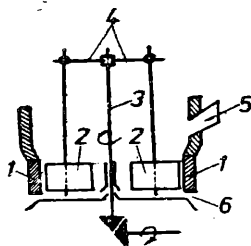


Fig. 7.17.
Moara pendulară.

pietrelor de către arborele principal (3) prin intermediul brațelor pendulare (4) de care sînt articulate axele pietrelor. Alimentarea se face prin deschiderea laterală (5), iar evacuarea produsului prin deschiderea (6).

Moara inelară cu trei cilindri, numita și moara Kent sau moara Maxecon realizează, măcinarea între suprafața laterală a unui inel și trei cilindri (valțuri) - fig. 7.18.

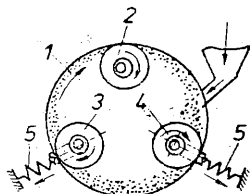


Fig. 7.18.
Moara inelară cu trei cilindri. Inelul (1) este suspendat pe cilindrul (2) antrenat în rotație printr-o curea. Datorită forțelor de frecare inelul (1) se rotește în același sens cu cilindrul (2). Valțurile laterale (3) și (4) sînt presate pe suprafața laterală interioară a inelului de arcurile (5) și sînt antrenate, tot prin frecare, de inelul (1). Materialul măcinat, adus între inel și valțul (4), suferă

Inelul (1) este suspendat pe cilindrul (2) antrenat în rotație printr-o curea. Datorită forțelor de frecare inelul (1) se rotește în același sens cu cilindrul (2). Valțurile laterale (3) și (4) sînt presate pe suprafața laterală

o primă mărunțire prin presare. În continuare datorită forței centrifuge, materialul rămâne proiectat pe fața interioară a inelului și este măcinat, în același mod, între inel și celelalte două valțuri. Produsul este evacuat din moară prin deschideri aplicate în pereții frontali ai carcasei.

Această moară este folosită pentru măcinarea intermediară și fină a cărbunilor, fosfaților, varului, produselor pentru ciment, a produselor refractare etc. Are o funcționare liniștită, fără uzură prea mare a suprafețelor de măcinare și un consum de energie mai mic decât la celelalte tipuri de mori.

7.1.3.5.2. M o r i c u b i l e

Morile cu bile sînt unele din cele mai răspîndite mașini de mărunțit folosite în industria chimică, a materialelor de construcții și în alte ramuri industriale. O moară cu bile constă, în principal, din corpul morii, aflat în mișcare de rotație în jurul axei sale și corpurile de măcinare care, împreună cu materialul supus măcinării, formează încărcătura morii. Drept corpuri de măcinare se folosesc bile de oțel sau alt material dur, role, bare, corpuri ovoidale, elipsoidale sau de alte forme confecționate din oțel, porțelan, silix etc.

Prin rotirea morii, corpurile de umplere sînt ridicate pînă la o înălțime, care depinde de turația morii, cad peste material, sînt ridicate din nou ș.a.m.d. Măcinarea se realizează prin lovirea materialului de corpurile de măcinare și prin frecarea materialului cu corpurile de măcinare și cu corpul

morii. Eficiența mărunțirii și gradul de utilizare al energiei depind pentru o dimensiune dată a bilelor de turația morii. La turații mici (fig. 7.19.a) bilele sînt antrenate pînă la o înălțime mică de unde se rostogolesc spre partea de jos, măcinarea realizîndu-se numai prin frecarea bilelor cu materialul.

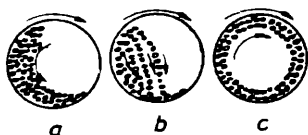


Fig. 7.19.

Mișcarea bilelor în moară : a - turație mică ; b - turație optimă ; c - turație mare.

Mărind turația, înălțimea pînă la care se ridică bilele, crește și o parte din ele cad, lovind materialul (fig. 7.19.b). Turația la care bilele se mai desprind de pereții interiori ai morii și cad se

mențin în contact cu peretele interior al morii și nu mai realizează mărunțirea (fig. 7.19.c).

Turația optimă a morii se determină din echilibrul forțelor care acționează asupra unei bile din moară. Asupra unei bile se exercită forța centrifugă F_c și forța gravitațională F_g (fig. 7.20). Forța de greutate se descompune în componentele $F_g \cos \varphi$ și $F_g \sin \varphi$, unde φ este unghiul de ridicare a bilelor.

Bila nu se desprinde de perete atîta timp cît este îndeplinită condiția :

$$F_c \gg F_g \sin \varphi \quad (7.22) \text{ sau :}$$

$$M\omega^2 R \gg M \cdot g \sin \varphi \quad (7.23)$$

Pentru $\varphi = 90^\circ$, condiția devine :

$$\omega^2 R / g \gg 1 \quad (7.24)$$

Viteza unghiulară calculată din ultima relație se numește critică și la această valoare a ei măcinarea nu se mai realizează.

$$\omega_{cr} = \sqrt{g/R} \quad (7.25)$$

Introducând în relația (7.25)

$$\omega_{cr} = 2\pi n_{cr} \text{ și } R = d_1/2$$

se obține turația critică :

$$n_{cr} = \frac{0,706}{\sqrt{d_1}} \text{ , rot/s} \quad (7.26)$$

Fig. 7.20.

Determinarea turației optime a morii.

în care d_1 este diametrul interior al morii.

Turația optimă a morii se stabilește din condiția ca lucrul mecanic de cădere a bilei să fie maxim. Pentru această unghiul de ridicare este $\varphi = 35^\circ 20'$, respectiv :

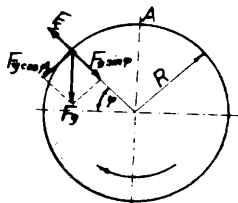
$$n_{opt} = 0,76 \cdot n_{cr} \text{ , rot/s} \quad (7.27)$$

Pentru a se putea împiedica alunecarea bilelor înainte ca ele să atingă unghiul $\varphi = 35^\circ 20'$, pereții interiori ai morii se fac ondulați.

Eficacitatea măcinării depinde, pe lângă de mișcarea bilelor în moară, de diametrul bilelor și de natura materialului supus măcinării cât și de diametrul interior al morii.

Dimensiunea minimă a bilelor, d_{min} , se calculează cu relația:

$$d_{min} = l_{max} \sqrt[3]{\frac{g \cdot c^2}{1,28 R \gamma d_1}} \quad (7.28)$$



în care : l_{\max} este dimensiunea maximă a bucăților de material cu care este alimentată moara ; σ_c - rezistența la comprimare ; E - modulul de elasticitate ; γ - greutatea specifică a materialului bilei, iar d_1 - diametrul interior al morii.

Dimensiunea maximă a bilelor, d_{\max} , se calculează cu relația :

$$d_{\max} \approx \left(\frac{1}{18} - \frac{1}{24} \right) d_1 \quad (7.29)$$

Gradul de umplere, V^0 , a morii este raportul dintre volumul V_b al încărcăturii de bile și volumul total V al morii. În mod obișnuit gradul de umplere se ia între 30 - 35 %.

Productivitatea morilor cu bile se calculează cu ajutorul unei relații semiempirice, stabilită pe baza teoriei similitudinii și a numeroase determinări experimentale :

$$M_n = K \frac{\gamma_b}{g^{0,4}} d_1^{2,4} L \cdot n^{0,8} (V^0)^{0,9}, \text{ t/h} \quad (7.30)$$

În relația (7.30) K este un coeficient care depinde de finețea produsului, de mărimea inițială și de umiditatea materialului, care se determină experimental ; γ_b - greutatea specifică aparentă a bilelor, în t/m^3 ; d_1 - diametrul interior al morii, în m ; L - lungimea morii, în m ; n - turarea morii, în rot/min ; V^0 - gradul de umplere, iar g - constanta accelerației gravitaționale.

Puterea necesară pentru acționarea morilor cu bile se calculează cu relația aproximativă :

$$P = k_1 G_b \sqrt{d_1}, \text{ kW} \quad (7.31)$$

în care k_1 este un coeficient care depinde de gradul de umplere și natura corpurilor de măcinare ; G_b - greutatea

încărcăturii corpurilor de umplere, în KN .

În principal energia se consumă pentru mișcarea bilelor și pentru învingerea frecărilor. Consumul de energie la funcționarea în gol, adică atunci când moara este încărcată numai cu bile, și la funcționarea cu încărcătura de material este practic același. De aici rezultă că exploatarea rațională a morii se poate face, în principal, printr-o dozare corectă a încărcăturii de bile.

Principalele avantaje ale morilor cu bile sînt :

- se pot folosi la măcinarea celor mai diferite materiale ;
- productivitate destul de mare ;
- funcționare sigură și deservire simplă ;
- grad mare de mărunțire și o granulometrie relativ constantă a produsului ;

Morile cu bile prezintă însă și unele dezavantaje cum ar fi :

- volum și masă mare ;
- volumul morii este utilizat doar în proporție de 30 - 35 % ;
- consum ridicat de energie cu un randament de circa 15 % ;
- produc mult zgomot.

Există o gamă extrem de variată de mori cu corpuri de umplere. În fig. 7.21 se prezintă principalele tipuri constructive de mori cu bile.

Dintre numeroasele tipuri de mori cu bile se prezintă în continuare pe cele mai importante :

Mori cu site (fig. 7.22). La aceste mori evacuarea produsului pe măsură ce atinge finețea dorită se face perife-

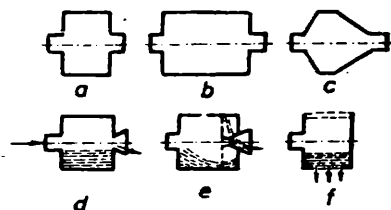


Fig. 7.21.

Tipuri de mori cu bile.

- a - moară cilindrică scurtă ; b - moară tubulară ;
c - moară conică sau cilindro-conică ; d - moară
cu evacuare prin prea plin ; e - moară cu ca-
meră de evacuare ; f - moară cu evacuare
periferică.

ric. Materialul de măcinat este adus în tamburul (1), blin-
dat cu plăci de oțel dur (2), unde este mărunțit de bile și

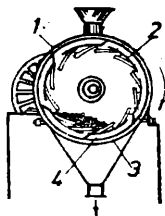


Fig. 7.22.

Moară cu site.

trece prin fantale dintre plăcile
de blindaj din interiorul unui tam-
bur perforat (3). Acesta are rolul de
a proteja sita propriu-zisă (4)
de bucățile de material prea grele
și prea voluminoase. Materialul ca-
re are finețea dorită trece prin si-
tă, iar refuzul ajunge din nou în
spațiul de măcinare.

Morile cu site realizează grade
mici de mărunțire și pot prelucra materiale de duritate dife-
rită, cu condiția să fie uscate.

Mori cilindrice. Se construiesc în două variante;

- a) cu cilindru scurt ;
- b) cu cilindru lung, numite și mori tubulare.

Moara tubulară (fig. 7.23) este formată dintr-un tambur orizontal (1), căptușit cu plăci din oțel dur, terminat cu două fusuri (2) și (3), largi, sprijinite pe lagărele (4).

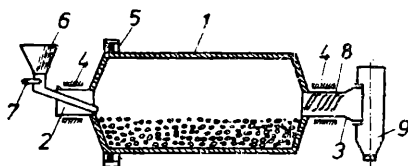


Fig. 7.23.

Moară cu bile tubulară.

Tamburul este acționat prin coroana dințată (5). Alimentarea se face prin pîlnia (6) prin intermediul dozatorului (7), iar evacuarea produsului se face cu transportorul cu șneac (8) în buncărul (9). Morile tubulare pot lucra în regim continuu și pot măcina uscat sau umed. Pentru mărirea fineței, în moară se introduc bile de dimensiuni cît mai mici sau în locul bilelor se folosesc bare.

Moara conică sau moara Hardinge (fig. 7.24) este formată dintr-o parte cilindrică și două părți conice : conul de intrare (scurt), cu un unghi la vîrf de 120° și conul de

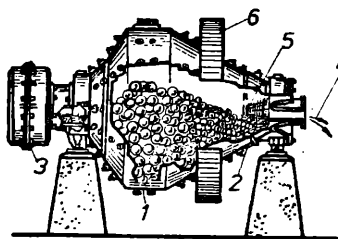


Fig. 7.24.
Moară conică cu bile.

moară prin deschiderea de alimentare (3) este supus acțiunii de măcinare a bilelor mari (1) și a celor mici (2) ; produsul este evacuat prin grătarul (5) și deschiderea (4).

În timpul rotirii bilele se așează, de la sine, după mărime (cele mici spre evacuare) și, drept urmare

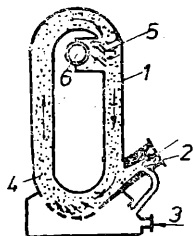
în zona în care măcinarea este aproape terminată energia se consumă pentru mișcarea bilelor de dimensiuni mici într-un spațiu de volum redus. Se realizează în acest fel o proporționare între diametrul bilelor și viteza periferică de rotație a morii cu dimensiunea descrescândă a materialului de prelucrat, având drept consecință utilizarea mai rațională a energiei consumate în măcinare.

Aceste mori pot lucra uscat sau umed ; în cazul când se face o măcinare uscată produsul poate fi evacuat din moară pneumatic.

7.1.3.6. Mori cu jet

Moara cu jet reprezintă un caz particular al morilor cu impact. Un jet puternic de gaze sau vapori imprimă energie cinetică particulelor de dimensiuni diferite. Măcinarea rezultă

mai mult din ciocnirea (impactul) și frecarea dintre particule. In fig. 7.25 este prezată moara cu jet Wheeler. Corpul (1)



este prevăzut cu un injector (2) pentru introducerea materialului în zona de mărunțire (4); aceasta este prevăzută cu ajutoare pentru aer sau abur supraincălzit introdus prin racordul (3). Jaluzelele (5) de la partea superioară fac o clasare a materialului, lăsând să treacă, odată cu gazul, numai particulele care au atins finețea dorită; particulele mai mari

Fig. 7.25.

Moară cu jet.

sînt recirculate de gaz și revin în zona de mărunțire. Finețea produsului poate fi reglată prin poziția jaluzelelor. Morile cu jet permit măcinarea particulelor pînă la dimensiuni finale de $5 - 1 \mu$ și chiar $0,25 \mu$. Morile cu jet se folosesc la măcinarea pigmentilor, a detergenților, în metalurgia pulberilor etc.

7.1.3.7. Mori coloidale

Morile coloidale realizează măcinarea prin intermediul unui fluid. Materialul mărunțit cît mai fin, printr-un alt procedeu de măcinare, este dispersat într-un lichid. Suspensiile obținute se introduc într-un spațiu foarte îngust și deplasată cu viteze foarte mari, ceea ce face ca eforturile de

forfecare, lovire și frecare foarte mari sînt transferate particulelor prin intermediul fazei de dispersie. Morile coloidale se folosesc în prepararea emulsiilor, rășinilor, cerurilor, a cremelor alimentare, cosmetice, farmaceutice etc.

După acțiunea principală de măcinare se deosebesc mori coloidale acționînd prin lovire și mori coloidale acționînd prin frecare. În fig. 7.26 este prezentată schematic o moară coloidală acționînd prin frecare.

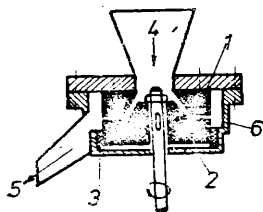


Fig. 7.26.

Moară coloidală

frecțiune (3). Suspensia, introdusă prin pîlnia (4) este aspirată între conuri datorită depresiunii create prin rotirea rotorului. Particulele solide aflate în suspensia care iese din moară prin deschiderea (5), au dimensiuni între 1 și $0,1\mu$.

Dezavantajul morilor coloidale este productivitatea lor mică și consumul de energie foarte ridicat.

Se constă dintr-un rotor tronconic (2), avînd o turație foarte mare (pînă la 15000 rot/min) și un corp tronconic fix (1). Distanța dintre conuri variază între 0,025 și 1 mm și poate fi reglată cu un șurub micrometric. Etanșarea între rotorul tronconic (2) și carcasa (6) a morii se face prin inelul de

7.1.3.8. Exploatarea utilajelor de mărunțire.

Protecția muncii

Exploatarea rațională a utilajelor de mărunțire presupune un control permanent al uzurii, reglării și ungerii utilajelor. Principalele operații ce se efectuează la întreținerea unor tipuri de utilaje de mărunțire sînt prezentate în tabelul 7.3.

Tabelul 7.3.

Utilajul de mărunțire	Operații de întreținere
1	2
Concator cu fâlcii	<ul style="list-style-type: none"> - ungerea lagărelor - strîngerea șuruburilor de fixare sau schimbarea șuruburilor de fixare uzate - controlul uzurii plăcilor de blindaj - verificarea funcționării mecanismului de reglare - controlul fixării de fundație a concatorului
Concator cu cilindri	<ul style="list-style-type: none"> - controlul ungerii lagărelor și a fusurilor cilindrilor - ungerea lagărelor transmisiei - controlul suprafeței de lucru a cilindrilor - verificarea funcționării sistemului de răcire

1	2
Moară cu bile	<ul style="list-style-type: none">- realizarea ungerii conform schemei de ungere- controlul temperaturii redactorului cu roți dințate- verificarea plăcilor de blindaj- controlul stării bilelor și corelarea gradului de ungere cu turatia
Moară cu ciocane	<ul style="list-style-type: none">ungerea lagărelor- verificarea bolțurilor de fixare a ciocanelor pe rotor- controlul șuruburilor de fixare și a blindajelor
Moară coloidală	<ul style="list-style-type: none">- verificarea ungerii- înlăturarea jocurilor și verificarea menținerii lor în limite foarte strânse- verificarea echilibrului (prin zgomet).

În timpul funcționării utilajelor de mărunțire se impune respectarea unor norme de tehnica securității muncii, dintre care se prezintă cele mai importante.

Toate concasoarele, morile și pulverizatoarele, care presupun degajare de praf, vor fi dotate cu echipament etanș, iar spațiul de lucru va fi prevăzut cu ventilație corespunzătoare. Toate părțile în mișcare ale utilajelor de mărunțire vor fi protejate cu apărători corespunzătoare.

Utilajele care lucrează cu substanțe agresive vor fi prevăzute cu dispozitive de alimentare mecanică, dispozitive de absorbție locală și vor fi izolate în boxe etanșe.

Concasoarele, morile și pulverizatoarele vor avea în partea superioară a pîlniei de alimentare un grătar pentru separarea particulelor mai mari decît cele admise la utilajul respectiv.

Concasoarele vor fi prevăzute cu o apărătoare solidă pentru protecția operatorilor împotriva pericolelor datorate materialelor supuse sfărîmării.

Gurile de alimentare ale concasoarelor vor fi protejate cu capace lăsînd liber numai spațiul de alimentare. Gura de alimentare va fi prevăzută cu grătare care să prevină introducerea mîinilor sau căderea operatorilor în concasor.

În cazul morilor cu bile, pe ambele părți ale acestora se vor monta apărători sau balustrade înalte de cel puțin 2,6 m de la pardoseală sau platformă.

7.2. CLASAREA MATERIALELOR SOLIDE

Toate procesele tehnologice în care se prelucurează materiale solide impun fracționări ale amestecurilor granulare și pulverulente rezultate la mărunțire. Scopul fracționării poate fi :

- separarea granulelor care depășesc o dimensiune limită superioară ;
- separarea granulelor care nu ating o dimensiune limită inferioară ;
- separarea particulelor în mai multe fracțiuni

granulometrice (clasare) :

- separarea pe sorturi de constituenți ai unui sistem neomogen, sub aspectul compoziției chimice (sortare).

În continuare vor fi prezentate procedeele de clasare și utilajele folosite în acest scop.

7.2.1. Procedee de clasare

Realizarea clasării unui sistem polidispers se bazează pe diferența între anumite proprietăți fizice ale particulelor din sistem, cum ar fi : dimensiunile, forma, densitatea, umectabilitatea etc. Funcție de aceste proprietăți, pentru separare se utilizează acțiunea forțelor de masă (greutatea, forța de inerție, forța centrifugă) și a forței de presiune.

Clasarea poate să preceadă mărunțirea, poate fi făcută între două trepte de mărunțire sau, poate urma după mărunțire. Sub acest aspect ea se numește clasare primară, intermediară și respectiv finală.

După natura forțelor implicate în proces și după caracteristicile constructive ale mașinilor folosite, se deosebesc: clasarea mecanică, clasarea pneumatică și clasarea hidraulică.

În continuare sînt discutate clasarea mecanică și clasarea pneumatică.

7.2.2. Clasarea mecanică

Prin clasare mecanică separarea în fracții granulometrice se realizează trecînd materialul pe suprafețe avînd deschideri cum ar fi : fante largi dreptunghiulare, orificii circulare sau ochiuri pătrate, de dimensiuni convenabile. În cazul suprafețelor cu deschideri mari, particulele de dimensiuni mai mici, sub acțiunea gravitației, cad libere printre aceste deschideri, iar cele de dimensiuni mai mari rămîn pe suprafața agregatului.

În cazul suprafețelor cu deschideri mai mici, apropiate de dimensiunile particulelor ce le separă, în vederea unei separări mai eficiente este necesar ca materialul să se deplaseze în raport cu suprafața.

Utilajele industriale pentru clasarea mecanică se numesc grătare, ciururi și site iar operația se numește, în mod corespunzător, ciuruire sau cernere.

În cazul grătarelor, suprafața de separare este formată din bare cu secțiunea cilindrică sau trapezoidală, paralele, fixate la distanțe egale pe suporturi, astfel încît să se creeze între ele fante egale.

La ciururi și site, suprafața de separare este formată din table perforate (cu orificii circulare sau dreptunghiulare) sau țesături metalice sau textile cu ochiuri pătrate.

În mod convențional denumirea de sită este dată dispozitivelor de cernut avînd găuri sau ochiuri de diametrul sau latura mai mică decît 1 mm și denumirea de ciururi celor cu

ochiuri avînd diametrul sau latura mai mare de 1 mm (STAS 1077 - 70). Ciururile și sitele sînt notate printr-un număr egal cu lungimea în milimetri a laturii sau diametrului, urmat de indicativul standardului.

Randamentul de separare. Din cantitatea M de material cu care este alimentată sita, o parte, constituită din particule mai mici decît dimensiunile ochiului sitei, trece prin sită și formează cernutul, iar o parte rămîne pe sită și formează refuzul sau reținutul. Refuzul conține pe lîngă particule ale căror dimensiuni sînt mai mari decît dimensiunile ochiului și particule cu dimensiuni mai mici decît ale ochiului. Se numește randament de separare raportul între masa cernutului și masa particulelor, avînd dimensiuni mai mici decît ale ochiului sitei :

$$\eta_s = \frac{M_c}{C_m \cdot M} \cdot 100, \% \quad (7.32)$$

unde : η_s - randamentul de separare ;

M_c - masa cernutului ;

C_m - fracția masică a particulelor din masa totală, avînd dimensiuni mai mici ca ale ochiului sitei.

Randamentul sitelor variază în mod obișnuit între 70 și 75 %, în mod excepțional 90 %. Cînd sita are defecte (ochiuri rupte sau lărgite) sau cînd particulele au formă alungită, vor trece în cernut și particule cu diametrul mediu mai mare decît latura ochiurilor normale ale sitei. În acest caz definiția dată mai înainte pentru randament nu mai este aplicabilă.

Suprafața activă de cernere. Se numește suprafață activă de cernere raportul dintre suprafața liberă, egală cu

aria iantelor sau ochiurilor, și aria totală a grătarului, ciurului sau sitei. De exemplu, pentru o sită din țesătură de sîrmă (fig. 7.27) cu ochiuri pătrate, suprafața activă de cernere este :

$$A = \frac{l^2}{(l+d_s)^2} \quad 100, \% \quad (7.35)$$

unde l - lungimea laturii ochiului iar d_s - diametrul sîrmei. Lungimea totală a sitei, L este :

$$L = n \cdot l + (n+1)d_s \approx n(l+d_s) \quad (7.34)$$

Pentru $L = 1$ rezultă :

$$n = 1/l+d_s \text{ sau, } n \cdot l = 1 - n d_s \quad (7.35)$$

unde n este numărul de ochiuri pe unitatea de lungime a sitei. Pe baza relațiilor (7.34) și (7.35) suprafața activă de cernere se poate calcula cu :

$$A = 100 \cdot l^2 \cdot n^2 = 100(1 - n \cdot d_s)^2 \quad (7.36)$$

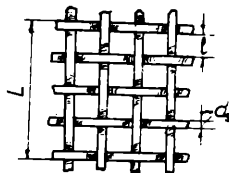


Fig. 7.27.
Caracteristicile unei site.

7.2.2.1. Factorii care influențează cernerea

Efficiența unei instalații de cernere este apreciată prin productivitate, randament de separare, gradul de uzură a suprafeței de separare și prin ușurința de montare și exploatare. Acești indicatori sînt influențați de o serie de factori dintre care cei mai importanți sînt :

a) Cernerea umedă sau uscată. Cel mai frecvent este folosită cernerea uscată. Dacă se face o cernere umedă, materialul este în prealabil stropit cu apă sau se stropește suprafața de cernere la partea ei inferioară. Cernerea umedă se poate aplica numai la separarea particulelor care nu se aglomerează prin umezire și nu se lipesc de suprafața sitei. La cernerea umedă productivitatea și randamentul de separare sînt mai mari ;

b) Forma granulelor. Cel mai ușor se separă particulele de formă sferică. Dacă amestecul care alimentează sita este format din particule de formă diferită crește pericolul de infundare a sitei ;

c) Natura materialului influențează mai puțin cernerea. Excepție fac materialele lipicioase care duc la scăderea productivității și randamentului. Materialele abrazive, cum ar fi nisipul, sticla etc. uzează rapid suprafața de cernere ;

d) Distribuția după dimensiuni a particulelor în materialul ce trebuie separat, este un factor cu influență importantă în cernere. Particulele avînd diametrul mediu

$d_m < 0,7\ell$ trec ușor prin ochiurile sitei și nu influențează randamentul de separare. Particulele cu $d_m > 1,5\ell$ se deplasează ușor pe suprafața sitei și nu influențează trecerea particulelor mai mici prin ochiurile sitei. Granulele cu dimensiuni apropiate de ale laturii sau diametrului ochiului sitei creează principalele dificultăți, prin înfundarea sitei ducând la scăderea productivității și randamentului. Dacă în materialul inițial fracțiunile ce urmează a fi separate sînt apropiate ca dimensiuni, se recomandă să se lucreze cu site avînd ochiurile cu 10 - 15 % mai mari decît dimensiunile fracțiunilor ce urmează să treacă în cernut ;

e) Alimentarea sitei. Un debit de alimentare prea mic scade productivitatea sitei prin neutilizarea ei la întreaga capacitate, în schimb, un debit de alimentare prea mare mărește grosimea stratului de material pe sită și, prin aceasta, este îngreunată deplasarea materialului pe sită, iar randamentul scade ;

f) Suprafața activă de cernere influențează productivitatea și rezistența sitei. Dacă suprafața activă este mare, productivitatea crește, în schimb scade rezistența mecanică a sitei, de aceea sitele folosite la cernerea materialelor abrazive trebuie să aibă suprafața activă mică ;

g) Forma constructivă și dimensiunile sitei. Sitele se construiesc astfel încît drumul parcurs de material pe sită să fie cît mai lung, astfel încît particulele cu dimensiuni mai mici decît laturile ochiului să poată să ajungă la suprafața de cernere. Pentru materiale cu particule sferice se recomandă site cu ochiuri circulare sau pătrate, iar pentru

particule de formă neregulată se recomandă site cu fante alungite, dreptunghiulare ;

h) Mișcarea materialului pe sită depinde de modul de mișcare a sitei. Sita trebuie să imprime materialului o mișcare sacadată și în salturi pentru ca frecvența schimbării pozițiilor dintre particule să fie mare, crescând în acest fel probabilitatea ca particulele cu dimensiuni mici să ajungă la suprafața de cernere. În fig. 7.28 sînt prezentate diferite sisteme de mișcare a sitelor.

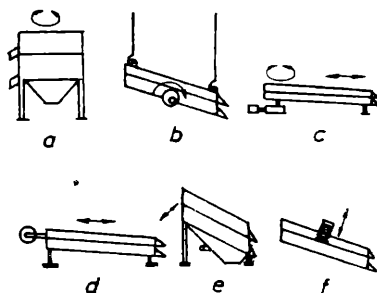


Fig. 7.28.

Scheme de mișcare a sitelor :

- a - mișcare giratoare în plan orizontal ; b - mișcare giratorie în plan vertical ; c - mișcare giratorie în plan orizontal, combinată cu mișcare alternativă în același plan ; d - mișcare alternativă în plan orizontal ; e - mișcare cu un vibrator mecanic ; f - mișcare cu un vibrator electric.

7.2.2.2. Scheme de cernere

În cazul în care sita are ochiuri de aceeași dimensiune pe toată suprafața, cernutul va conține totdeauna particule de dimensiuni mai mici decât dimensiunile ochiurilor iar refuzul va fi format din particule cu diametrul mai mare decât latura sau diametrul ochiurilor sitei și din particule cu diametrul mai mic decât diametrul ochiului, care nu au ajuns la suprafața de cernere.

Dacă este necesară obținerea mai multor fracțiuni granulometrice materialul este trecut, fie printr-o sită cu deschideri de dimensiuni variabile; fie pe serii de site, fiecare având deschideri de anumite dimensiuni. Ordinea în care se obțin fracțiunile poate fi : "de la mare la mic", "de la mic la mare" sau combinat.

Diferitele scheme de cernere sînt prezentate în fig. 7.29.

Cernerea de la mic la mare are avantajul că permite controlul procesului și înlocuirea ușoară a sitelor uzate, dar randamentul este mic.

Cernerea de la mare la mic are un randament de separare mai bun, uzura sitelor este relativ redusă și agregatul de cernere este mai scurt. Dar în acest caz schimbarea sitelor este mai dificilă și înălțimea agregatului este mai mare.

Cernerea combinată se situează, în ceea ce privește avantajele și dezavantajele între celelalte două.

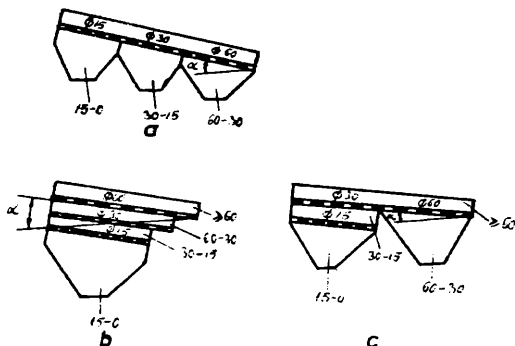


Fig. 7.29.

Scheme de cernere: a - de la mic la mare ; b - de la mare la mic ; c - combinat.

7.2.2.3. Utilaje pentru clasarea mecanică

Grătare cu bare fixe. Aceste utilaje sînt formate din bare metalice fixate pe un cadru înclinat în lungul barelor. Materialele cad pe puntea formată de bare ; bucățile mari se rostogolesc sau alunecă spre gura de descărcare, iar cele mici trec prin deschiderile dintre bare. Barele fiind trapezoidale în secțiune transversală, deschiderea dintre bare este variabilă pe adîncime, crescînd spre partea inferioară. În felul acesta se evită posibilitatea înfundării deschiderilor cu bucăți mici. Distanța dintre bare variază între 50 - 200 mm

iar înclinarea suprafeței de separare poate fi de $20 - 50^\circ$. Grătarele cu bare fixe sînt avantajoase deoarece nu consumă energie și nu sînt scumpe, dar nu se pot folosi decât pentru materiale uscate și care se deplasează ușor pe suprafața de separare.

Grătare cu bare mobile. La aceste utilaje, barele execută o mișcare alternativă fiind acționate de un arbore cotit care realizează deplasarea la un moment dat a barelor de număr par într-un sens iar a barelor de număr impar în sensul opus. În fig. 7.30 este prezentat un grătar format din

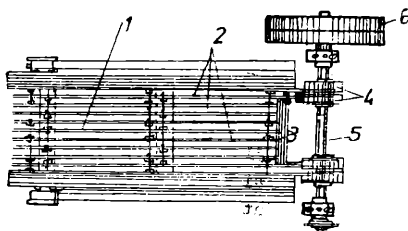


Fig. 7.30.
Grătar cu bare mobile.

barele (1), de ordin impar, din barele (2), de ordin par, din piesele de legătură (3), excentricele (4), arborele de acționare (5) și roata de transmisie (6).

Montarea barelor într-un plan înclinat cu $10 - 15^\circ$ și mișcarea lor alternativă ușurează deplasarea materialului pe suprafața de separare, mărind eficacitatea utilajului.

Ciururi rotative. Aceste ciururi au forma de tambur rotativ cu secțiune circulară sau poligonală. Suprafața de

separare este din tablă perforată sau sîrmă împletită. Tamburul este ușor înclinat față de orizontală. Materialul se deplasează atît în lungul tamburului datorită pantei lui, cît și pe circumferința interioară a tamburului datorită rotației sale. În timpul acestei mișcări a materialului, particulele de diferite dimensiuni trec prin orificiile cu dimensiuni variabile de pe circumferința tamburului, obținîndu-se mai multe fracțiuni granulometrice. Un astfel de ciur este prezentat în fig. 7.31. Există și ciururi rotative cu mai multe tambure

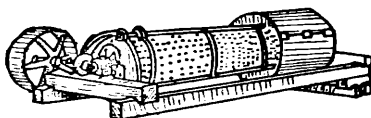


Fig. 7.31.

Ciur rotativ.

or. Aceste aparate sînt mai compacte și au eficacitate mai mare.

coaxiale, fiecare avînd pe suprafața de separare deschideri de o anumită mărime, tamburul cu deschiderile cele mai mari fiind montat cel mai interio-

Ciururi și site oscilante. Sînt construite din una sau mai multe rame dispuse în etaje, de care sînt fixate suprafețele de cernere (table perforate, împletituri de sîrmă sau textile), care execută o mișcare de oscilație. Cea mai mare răspîndire o au ciururile și sitele cu oscilațiile în plan vertical. În fig. 7.32 este prezentată o sită scilantă cu un singur etaj. Pe cadrul (1) sînt montate lagărele (2) ale arborelui cu excentric (3). Pe arborele (3) este suspendată rama (4) a sitei (5). La extremități rama (4) este suspendată lateral pe arcurile elicoidale (6). Arborele cu excentric este acționat de motorul electric (7), prin intermediul unei transmisii cu

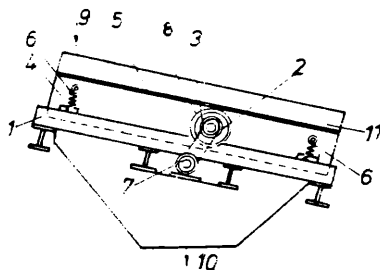


Fig. 7.32.
Ciur oscilant.

curile trapezoidale. Pe volantul (8) pot fi montate contragreutăți pentru echilibrarea forței centrifuge și atenuarea vibrațiilor cadrului fix. Materialul, introdus la capătul mai ridicat al ramei (4), se deplasează în șalturi pe suprafața sitei. Particulele cu dimensiuni mai mici ajung la ochiurile sitei și trec prin acestea, obținându-se produsul (10), iar cele ce nu trec prin ochiuri sunt evacuate prin deschiderea (11) de la capătul mai coborât al sitei. Ciururile și sitele oscilante au lungimi cuprinse între 1,5 - 6 m, lățimi între 0,5 - 2 m, un număr de oscilații de 60 - 400 curse/minut ; lungimea cursei 50 - 225 mm ; puterea consumată 0,005 - 0,01 kW/m² suprafață de cernere, productivitatea specifică 0,5 - 2 t/hm² suprafață de cernere cu deschiderea de 1 mm.

Avantajele ciururilor și siteilor oscilante față de cele rotative sînt : gradul de utilizare a suprafeței de cernere

este mai mare, reparații ușoare, spațiul de montaj mai redus. Principalul lor dezavantaj este determinat de vibrațiile mari care se produc, fapt ce impune fundații independente de ale clădirii în care se amplasează.

Există și ciururi și site vibratoare care se deosebesc de cele oscilante prin aceea că sita execută vibrații pe direcția normală la suprafața de cernere. Vibrațiile pot fi produse mecanic sau electromagnetic. Acestea au productivitate mai mare decât ciururile și sitele oscilante și consum de energie mai mic. Pentru deplasarea materialului pe sită, ramele au o înclinație mai mare, de $30 - 40^{\circ}$ față de $10 - 15^{\circ}$ la ciururile și sitele oscilante.

7.2.3. Clasarea pneumatică

Se folosește atunci când materialul conține, alături de particule mai mari și particule extrem de fine (pulbere). În această situație este preferabilă clasarea pneumatică care se bazează pe antrenarea diferențiată a particulelor într-un curent de aer. Utilajele pentru clasarea pneumatică se numesc separatoare pneumatice și sînt de diferite tipuri :

- separatoare pneumatice cu recirculare de aer ;
- separatoare pneumatice cu trecere directă a aerului ;
- separatoare pneumatice în zig-zag.

În fig. 7.33 este prezentat separatorul pneumatic cu recirculare de aer. Materialul este alimentat prin pîlnia (1)

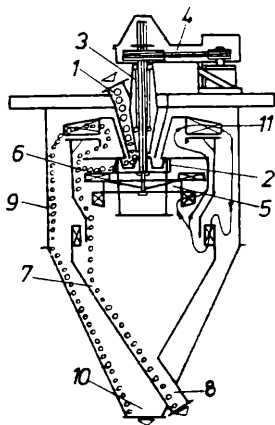


Fig. 7.33.

Separator pneumatic cu recirculare de aer.

și cade pe discul rotativ (2) fixat pe un arbore vertical (3), acționat în rotație prin transmisia cu curea trapezoidală (4). Tot pe arborele (3), sub discul (2) este montat un sistem de palete (5), care acționează ca un ventilator.

Forța centrifugă, creată prin rotirea discului, antrenează materialul și îl proiectează spre peretele părții cilindrice (6); particulele grosiere prin ciocnirea cu peretele pierd energia lor cinetică și nu

mai pot fi antrenate de aer, căzând la partea inferioară a conului (7), de unde sînt evacuate prin deschiderea (8). Particulele fine, antrenate de curentul de aer refulat de ventilator, ajung în spațiul dintre cilindrii (6) și (9), unde viteza aerului scade și fracțiunea fină cade spre deschiderea de evacuare (10). Aerul din spațiul inelar este aspirat de ventilatorul (5) și recirculat. Gradul de separare al aparatului poate fi modificat prin reglarea paletelor (11). Dimensiunile particulelor fine separate sînt cuprinse între $35 - 220 \mu$.

În fig. 7.34 este prezentat separatorul pneumatic în zig-zag. Materialul este introdus în separator prin pîlnia (1),

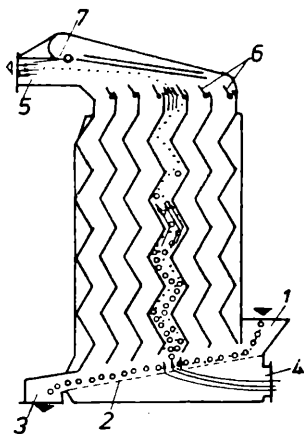


Fig. 7.34.

Separator pneumatic în zig-zag . Gradul de separare al aparatului poate fi modificat prin reglarea jaluzelilor (6), iar viteza aerului în aparat se reglează cu ajutorul clapetei (7).

Separatorul pneumatic în zig-zag are o construcție robustă, compactă și prezintă multă siguranță în exploatare.

7.2.4. Exploatarea separatoarelor. Protecția muncii

Exploatarea în bune condiții a utilajelor de separare presupune verificarea permanentă a funcționării acestora fără șocuri sau vibrații ; verificarea fixării utilajului pe fundație și verificarea ungerii și a nivelului de ulei în cutia de

de ungere.

Pentru evitarea accidentelor de muncă în exploatarea separatoarelor în timpul funcționării acestora se vor respecta o serie de măsuri de protecție.

Cernerea substanțelor toxice și a celor puternic agresive sau colorate se va realiza în boxe etanșe cu alimentare și comandă din exterior. Sitele vor fi alimentate direct de la moară.

Este interzisă manipularea manuală a substanțelor toxice, iritante, inflamabile sau explozive.

Camerele de cernere vor avea pardoseli sclivisite, pereți vopsiți cu vopsele ce se pot spăla cu apă și vor avea instalații de absorbție locală a prafului și instalații de ventilație locală și generală eficientă.

7.3. TRANSPORTUL MATERIALELOR SOLIDE

7.3.1. Considerații generale

Transportul materialelor solide într-o unitate industrială cuprinde două aspecte: a) transportul extern, care presupune aprovizionarea depozitelor întreprinderii cu materii prime din exterior, și b) transportul intern, care se referă la deplasarea materialelor între secțiile de fabricație sau în interiorul unei singure secții.

Transportul exterior și între secții este, cel mai adesea, discontinuu și el se face în conformitate cu graficul de aprovizionare al întreprinderii și secțiilor.

Transportul în interiorul unei secții poate fi continuu sau discontinuu și el constituie o fază a procesului tehnologic.

În acest capitol se tratează acest ultim aspect al transportului materialelor solide.

7.3.2. Alegerea tipului de transportor

Alegerea utilajului de transport este de cele mai multe ori problema cheie în eficiența transportului, cu consecințe importante asupra prețului de cost. Decizia în privința alegerii tipului de transportor se ia în funcție de o serie de factori, cum ar fi : debitul de material, lungimea și înălțimea pe care se face transportul, caracteristicile materialului și condițiile de transport. Corelarea corectă a factorilor

menționați face ca alegerea tipului adecvat de transportor să implice o experiență îndelungată.

În continuare se prezintă principalii factori de care trebuie să se țină seama la alegerea tipului de utilaj de transport.

a) Debitul de material. Acesta poate varia în limite foarte largi. Un registru larg de capacități de transport îl au transportoarele cu bandă care se construiesc de dimensiuni și viteze de mișcare diferite. La polul opus se situează transportoarele elicoidale care au capacități de transport limitate.

b) Distanța pe care se face transportul. Cu cât distanța este mai mare, cu atât este mai limitat tipul de transportoare care pot fi folosite. De exemplu, transportoarele cu bandă pot fi folosite până la distanțe de câțiva kilometri, cele pneumatice pe distanțe de câteva sute de metri, iar cele vibratoare până la câteva zeci de metri.

c) Înălțimea pe care se face transportul limitează, de asemenea, tipurile de transportoare care pot fi utilizate. Cel mai economic tip de transportor pentru ridicarea materialelor este elevatorul cu cupe.

d) Caracteristicile materialelor. Cel mai frecvent, materialele transportate în flux continuu sînt materialele vărsate. Din acest motiv în continuare se vor prezenta principalele caracteristici ale acestor materiale și modul cum acestea influențează alegerea tipului de transportor.

1. Granulația. Un material vărsat este format din granule de diferite forme și dimensiuni. În general fiecare

granulă are o formă neregulată, dimensiunile ei fiind caracterizate prin lungime, lăţime şi înălţime. Uneori granula poate fi caracterizată prin dimensiunea sa maximă. Se consideră un material format din granule de formă paralelipipedică dar de dimensiuni diferite (fig. 7.35).

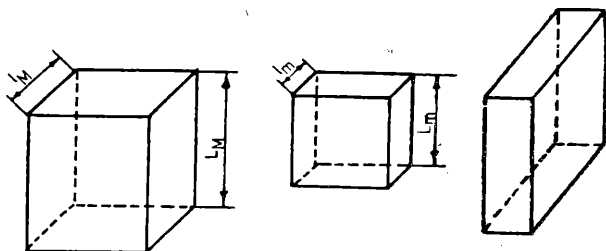


Fig. 7.35.

În fig.7.35., L_M este dimensiunea cea mai mare a granulei mari, l_m este dimensiunea ei cea mai mică, L_m este dimensiunea cea mai mare iar l_M dimensiunea cea mai mică a granulelor mici.

Un material conţinînd granule care îndeplinesc condiţia $L_M/l_m < 2,5$ se numeşte clasat. La materialele clasate granulaţia caracteristică, G_r , este dată de relaţia :

$$G_r = \frac{L_M + l_m}{2} \quad (7.37)$$

Cînd materialul este format din granule la care raportul $L_M/l_m > 2,5$, el se zice că este amestecat.

La materialele amestecate, granulaţia caracteristică este dată de dimensiunea maximă a granulelor L_M , dacă aceasta reprezintă peste 10 % din masa totală a materialului sau $0,6L_M$ dacă granulele mari reprezintă mai puţin de 10 % din masa

totală a materialului.

După mărimea granulației caracteristice, materialele vărsate se clasifică astfel :

- bulgări, când $G_r > 160 \text{ mm}$;
- bucăți mijlocii, pentru : $60 < G_r < 160 \text{ mm}$;
- mărunț, pentru : $10 < G_r < 60 \text{ mm}$;
- fin, pentru : $0,5 < G_r < 10 \text{ mm}$;
- pulbere, pentru : $G_r < 0,5 \text{ mm}$.

Granulația influențează în special proprietățile de curgere ale materialelor prin alimentatoarele transportoarelor și, de asemenea, tipul suprafeței de transport : bandă plană, bandă în formă de jgheab etc.

2. Densitatea și densitatea volumetrică, determină în special dispozitivele de susținere a organului de transport (de exemplu dimensiunile roților de susținere și distanța dintre acestea la transportoarele cu bandă).

3. Unghiul de taluz natural. Este unghiul pe care îl face panta unui material așezat ușor, cu o suprafață orizontală. El determină în special forma pe care o ia materialul pe suprafața transportoare. Când aceasta din urmă este în mișcare, unghiul de taluz natural este circa 0,7 din cel în repaus. Unghiul de taluz natural condiționează, de asemenea, înclinația planului suprafeței de transport.

4. Coeficientul de frecare al unui material pe o suprafață din oțel, cauciuc, lemn etc., este tangenta unghiului pe care îl face planul suprafeței cu orizontala când materialul începe să alunece de pe suprafață. Valoarea unghiului în această situație se numește unghi de frecare. Unghiul de frecare, de-

termină, împreună cu unghiul de taluz natural, înclinația suprafeței transportoare.

În afară de caracteristicile amintite, alegerea unui transportor mai poate fi influențată și de alte proprietăți ale materialului transportat, cum ar fi : abrazivitatea, tendința de aglomerare sau de aderare la suprafața transportoare, agresivitatea chimică, temperatura etc.

7.3.3. Tipuri de utilaje pentru transport

Clasificarea utilajelor de transport se face în general în baza următoarelor criterii :

- regimul de lucru (acțiune continuă sau discontinuă) ;
- direcția de deplasare a materialului (pe orizontală, pe verticală, combinat etc.) ;
- tipuri constructive.

Un criteriu unic de clasificare nu se poate utiliza, totuși cel mai adesea, clasificarea se face după modul de lucru, în următoarele categorii :

A). Transportoare cu organ flexibil de tracțiune din care fac parte :

- transportoare cu bandă ;
- transportoare cu plăci ;
- transportoare cu racleți ;
- elevatoare.

B). Transportoare fără organ flexibil de tracțiune din care fac parte :

- transportoare elicoidale sau cu șnec ;
- transportoare oscilante ;
- transportoare vibratoare ;
- transportoare pneumatice ;
- rigole pneumatice.

Toate tipurile menționate servesc pentru transportul continuu al materialelor. Pentru transportul discontinuu se folosesc utilaje cu sau fără șină ca : vagonete, cărucioare, electrocare, etc.

7.3.3.1. Transportoare cu bandă

Aceste transportoare (fig. 7.36) au o bandă flexibilă fără sfârșit, confecționată din materiale textile impregnate, cauciuc cu inserții de bumbac, materiale plastice, împletituri de sîrmă, benzi de oțel etc. Banda este întinsă pe două tambure dintre care cel amplasat în față (în sensul de înaintare al benzii) se numește tambur de antrenare (acționare) iar celălalt, aflat la capătul din spate, se numește tambur de întindere. Pentru a se evita deformarea, sub greutatea materialului, banda este susținută pe role.

Prin acționarea în rotație a tamburului de antrenare, banda este pusă în mișcare și transportă materialul dinspre capătul din spate spre tamburul de antrenare, descărcarea făcîndu-se în puncte prestabilite cu dispozitive speciale sau prin cădere liberă la capătul din față. Transportorul mai este prevăzut cu dispozitive de întindere și de frînare a benzii,

dispozitive de modificare a unghiului de înclinație a benzii și unul sau două tambure auxiliare servind pentru mărirea unghiului de înfășurare a benzii pe tamburul de antrenare.

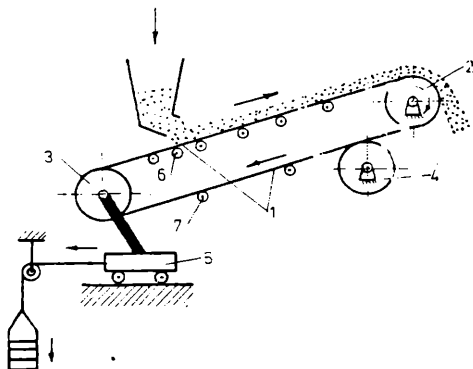


Fig. 7.36.

Transportor cu bandă.

- 1 - bandă transportoare ; 2 - tambur de antrenare ;
- 3 - tambur de întindere ; 4. tambur auxiliar ;
- 5 - dispozitiv cu contragreutate pentru întinderea benzii ; 6,7 - role de susținere a benzii.

Transportoarele cu bandă au o utilizare extrem de variată: pot transporta materiale în unități distincte (colete, bulgări, cărămizi etc.), materiale granulare sau pulverulente, pe distanțe variind de la câțiva metri până la 10 Km ; productivitatea lor ajunge până la 5000 t/h, iar viteza de înaintare a benzii până la 5 m/s. Pot transporta materiale în planuri diferite când banda este înclinată, obișnuit la $18 - 20^\circ$ și, maxim, la 30° . Au o funcționare liniștită și deservire ușoară.

Costul de investiții al transportoarelor cu bandă este în general ridicat și numai o exploatare rațională îl poate face eficient.

Principalele dezavantaje ale transportoarelor cu bandă sînt :

- temperatura materialului transportat nu poate depăși 100°C în cazul benzilor nemetalice ;
- nu pot fi adaptate (decît în cazuri speciale) pentru unele operații ca : răcirea, încălzirea, uscarea, amestecarea materialului, concomitent cu transportul.

7.3.3.1.1. Caracteristici constructive și recomandări privind exploatarea transportoarelor cu bandă

Banda transportoare se alege ținînd cont de caracteristicile de transport ale materialului (densitate, densitate volumică, granulație, abraziune, tendința de aderare la bandă etc.). Benzile de bumbac și cîneapă sînt ieftine dar se folosesc pentru materiale uscare și uscate. În încăperi umede sau pentru materiale umede se aleg benzi de balata sau de cauciuc. Pentru a-i mări rezistența la întindere și durata de funcționare, banda de cauciuc se execută cu inserții din fire de bumbac sau fire sintetice. Inserția se prezintă ca o țesătură suprapusă în straturi și avînd intercalate straturi de

cauciuc de diferite grosimi. Grosimea stratului de cauciuc pe fața benzii în contact cu materialul este mai mare decât pe fața opusă și se ia funcție de granulația și abrazivitatea materialului transportat. Valorile acestei grosimi sînt cuprinse între 1,5 - 4 mm. Pentru materiale dure, materiale cu muchii ascuțite sau materiale cu temperatură ridicată se aleg benzi din oțel de 0,8 - 1 mm grosime.

Lățimea benzilor este standardizată și variază între 400 - 2000 mm.

Capul de antrenare constă din tamburul de antrenare (acționare) și sistemul de transmitere a mișcării : motor - reductor - transmisie cu lanț sau curele trapezoidale. Tamburul de antrenare se confecționează din oțel sau fontă și se montează prin pană pe un arbore care lucrează în două lagăre fixe, pe scheletul metalic al corpului de antrenare. Pentru a mări aderența dintre bandă și tambur, acesta din urmă este de obicei acoperit cu piele, cauciuc sau lemn. Unghiul de înfășurare a benzii pe tamburul de acționare se ia, de obicei, puțin mai mare de 180° la transportoarele scurte și de 210° - 270° la transportoarele lungi. Pentru a mări unghiul de înfășurare a benzii se folosesc unul sau două tambure auxiliare.

Capul de întoarcere sau de întindere este compus dintr-un tambur asemănător cu cel de acționare, cu deosebirea că este montat pe un arbore iar acesta la rîndul său este montat pe doi suportți care glisează într-un cadru, sau pe un cărucior puș în legătură cu un sistem de contragreutăți. Dacă din anumite motive întinderea benzii nu se poate face la capătul ei din spate, sistemul de întindere este amplasat spre tamburul

antrenare pe porțiunea de întoarcere a benzii. În acest caz banda este întinsă pe verticală.

Rolele de susținere sînt elemente de susținere a benzii între cele două tambure. Partea benzii purtătoare de material este susținută pe role care pot fi drepte sau - pentru a mări productivitatea transportorului și pentru a evita pierderile de material - astfel așezate, încît banda să formeze un jgheab (v. fig. 7.37). Partea inferioară a benzii (de întoarcere) este menținută pe role drepte.

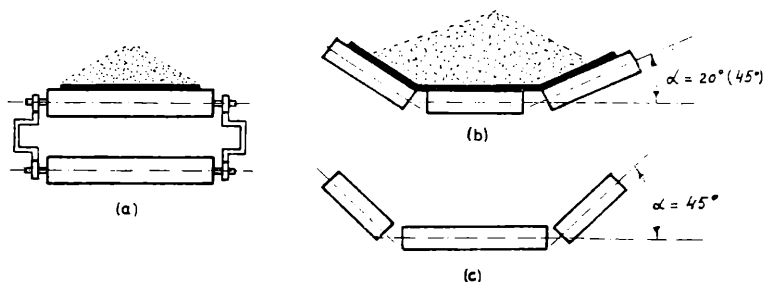


Fig. 7.37.

Sisteme de role de susținere.

- a - rolă dreaptă ; b - role egale înclinate la 20° sau la 45° ;
- c - role inegale, înclinate la 45° .

În general lățimea benzii este mai mică decît lățimea ro-
lelor dar, la benzile din oțel care sînt suficient de rigide,
raportul poate fi inversat. La acestea din urmă este posibilă
descărcarea completă a benzii de materialul umed sau lipicios,
cu un răzuitor simplu sau dublu de forma unui fier de plug.

Distanța dintre rolele care susțin partea purtătoare a benzii se alege în funcție de caracteristicile materialului transportat (în special dimensiunile și densitatea). Se recomandă ca în dreptul alimentării distanța dintre role să fie cât mai mică (400 - 600 mm) și mai mare dar egală pentru restul porțiunii de bandă. Distanța dintre rolele care susțin porțiunea de întoarcere este mai mare (se ia de obicei de două ori mai mare decât distanța dintre rolele superioare).

Dispozitive de încărcare. Servesc pentru aducerea materialului pe bandă. Sînt pîlnii sau buncăre confecționate din tablă, lemn sau beton, fixe sau care se deplasează pe cărucioare de-a lungul benzii. Între pîlnie și bandă se pun ghidaje din tablă sau lemn, prevăzute cu șorțuri de cauciuc. Ghidajele și șorțurile contribuie la curgerea liniștită a materialului pe bandă evitînd pierderile și atenuînd șocurile materialului cu banda. Șocurile, în special în cazul materialelor abrazive, provoacă uzura rapidă a benzii. Ghidajele sînt astfel orientate, încît să imprime materialului mișcarea în sensul de deplasare a benzii ; ideal ar fi ca materialul să ajungă pe bandă în sensul și cu o viteză egală cu aceea de mișcare a benzii. Tot pentru a se evita șocurile provocate de bucășile mari de material, este de dorit ca acestea să nu cadă direct pe bandă ci, pe un strat de material mai mărunț. Acest deziderat se poate realiza prin amplasarea la gura alimentatorului a unui ciur sau a unui grătar ; prin ciur sau prin grătar vor curge mai întîi particulele mai mici și în final cele mai mari. Uneori același efect îl are simpla creștere a gurii dispozitivului de alimentare.

Dispozitive de descărcare. Acestea pot fi fixe sau mobile. Dispozitivele fixe au în general forma unui plug, simplu sau dublu ; cele mobile pot fi tot în formă de plug care este însă montat pe un cărucior mobil. Uneori, în locul plugurilor, pe căruciorul mobil sînt amplasate două tambure care obligă banda să facă o întoarcere. În acest fel materialul cade liber într-o pîlnie, de unde prin două conducte largi (burlane) ajunge de o parte și de alta a benzii. Deplasînd căruciorul, materialul poate fi descărcat în puncte prestabilite. Sistemul descărcării controlate este necesar mai ales în cazul materialelor a căror înălțime de depozitare este limitată de proprietățile materialului. De exemplu, în cazul piritei măci-nate poate apărea compactizarea, tasarea, degradarea sub acțiunea greutateii proprii. În industria materialelor de construcții se folosește atît sistemul descărcării controlate cît și acela prin cădere liberă, la capătul benzii.

În afara părților principale menționate, transportoarele cu bandă mai au curățitoare care îndepărtează materialul ce se lipește de bandă și dispozitive de frînare, care au drept scop evitarea schimbării sensului de mișcare a benzii înclinată în cazul în care se oprește motorul.

Pornirea transportorului cu bandă trebuie să se facă în gol, alimentarea se face după intrarea în regim normal de mișcare : oprirea se face după ce se întrerupe alimentarea cu material și transportorul este complet gol.

7.3.3.1.2. Puterea necesară
pentru acționarea
transportoarelor cu
bandă

Puterea necesară acționării transportorului cu bandă se calculează cu relații semiempirice ca sumă a următoarelor puteri :

$$P_a = f(L + L_o) M \cdot g \cdot w \quad (7.38)$$

$$P_b = f(L + L_o) M_m \cdot g \quad (7.39)$$

$$P_c = M_m \cdot g \cdot \Delta h \quad (7.40)$$

$$\text{Deci : } P = P_a + P_b + P_c = f \cdot g \cdot (L + L_o) (M \cdot w + M_m) + M_m \cdot g \cdot \Delta h \quad (7.41)$$

În relațiile (7.38 - 7.41) mărimile au următoarele semnificații:

P - puterea necesară pentru acționarea transportorului ;

P_a - puterea necesară pentru acționarea benzii fără material ;

P_b - puterea necesară pentru transportul orizontal al materialului ;

P_c - puterea necesară ridicării materialului la o diferență de înălțime Δh ;

f - factor de frecare ($f = 0,05$ pentru lagăre paliere și

$f = 0,03$ pentru lagăre cu bile) ;

g - constanta accelerației gravitaționale ;

L - lungimea transportorului între axele tamburelor extreme ;

L_o - constantă ce ține cont de frecarea în lagăre ($L_o = 30$, pentru lagăre paliere și $L_o = 45$ pentru cele cu bile) ;

M - masa pieselor în mișcare (inclusiv banda și rolele purtătoare) raportată la distanța L dintre tamburele extreme ;

w - viteza benzii ;

M_m debitul masic de material transportat.

În relațiile prezentate P , P_a , P_b și P_c sînt exprimate în Watt ; h , L și L_0 în m ; M în Kg/m ; w în m/s iar M_m în Kg/s.

7.3.3.2. Transportoare cu plăci

Aceste transportoare se aseamănă constructiv și funcțional cu transportoarele cu bandă, deosebindu-se de acestea prin aceea că banda este formată din plăci metalice sau din lemn montate pe două lanțuri articulate. Pentru materialele ușoare, plăcile sînt fixate pe un singur lanț. Fixarea plăcilor metalice sau din lemn, pe lanțuri se face prin intermediul unei eclise sau a unei zale speciale. Acționarea și întinderea lanțurilor de tracțiune se face prin intermediul unor roți dințate fixate pe arborele de acționare și pe cel de întindere. Susținerea lanțurilor cu banda, de-a lungul transportului, se face pe role care lucrează pe căi de rulare (șine) fixate pe scheletul metalic al transportorului).

Transportoarele cu plăci se construiesc în trei variante:

- cu borduri fixe ;
- cu borduri mobile ;
- fără borduri.

Bordura are rolul de a se evita căderea materialelor de pe

bandă.

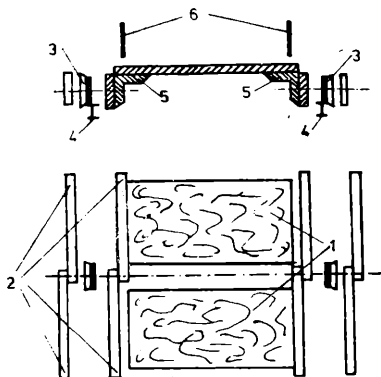


Fig. 7.38.

Transportor cu plăci.

- 1 - plăci ; 2 - eclise ; 3 - role de sprijin ;
4 - șină ; 5 - colțare de fixare a plăcii de
eclisă ; 6 - bordură fixă.

Dispozitivele de încărcare sînt similare cu cele de la transportoarele cu bandă continuă.

Dispozitivele de descărcare în puncte prestabilite se folosesc numai la cele fără bordură ; la transportoarele cu bordură descărcarea se face numai la capăt.

Datorită construcției relativ complicate, a consumului mare de material necesar construcției și a unui consum mare de energie, transportoarele cu plăci se utilizează în special în condițiile unui regim de lucru greu.

7.3.3.3. Transportoare cu raclete

Un transportor cu raclete constă din unul sau mai multe lanțuri fără sfârșit de care sînt fixate la intervale egale niște plăci numite raclete. Materialul se toarnă printr-o gură de alimentare într-un jgheab prin care racletele îl împing spre punctele de descărcare (vane de fund sau capace deschise la fundul jgheabului). Racletele pot fi montate deasupra, la mijlocul sau sub lanțul transportorului. Cînd sînt montate deasupra lanțului ele au formă dreptunghiulară iar cînd sînt montate la mijloc sau sub lanț, racletele sînt rotunjite sau decupate după forma jgheabului, acesta din urmă poate fi de formă dreptunghiulară, trapezoidală sau semirodundă.

Racletele pot avea suprafața dreaptă sau puțin concavă. Marginile lor sînt întărite, constructiv, pentru a rezista la uzura prin frecare cu materialul ; în același scop, uneori, marginile sînt subansamble speciale din materiale dure sau din cauciuc care se pot schimba după uzare. Între palete și jgheab se lasă un joc de 3 - 6 mm. Viteza de înaintare a lanțului este de 0,2 - 1 m/s.

Transportorul cu raclete sau palete este economic pentru debite de 8 - 15 t/h și pe distanțe scurte (15 - 30 m). Prezintă următoarele avantaje : construcție economică, încărcare și descărcare ușoară, schimbare ușoară a direcției de transport. Are însă și mari dezavantaje : consum mare de energie, uzură mare, funcționare cu zgomot, degradarea materialului

transportat prin frecare și strivire între palete și jgheab.

7.3.3.4. Transportoare elicoidale (cu șnec)

Sînt transportoarele cele mai vechi și mai variate din punct de vedere constructiv. Un asemenea transportor constă dintr-un șurub elicoidal (șnec) care se rotește între-un jgheab aproximativ semieliptic în secțiune.

Șurubul elicoidal este realizat prin unul din următoarele procedee (fig. 7.39):

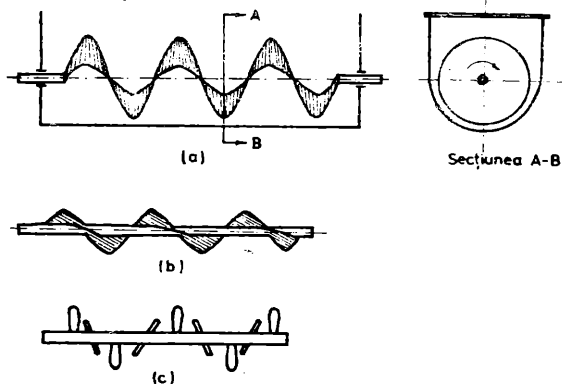


Fig. 7.39.

Transportoare cu șnec.

- a - bandă torsionată ; b - bandă spiralată pe arbore sau țevă ; c - palete (raclete) dispuse în formă de elice.

- o bandă din oțel este torsionată obținându-se o spirală ;
- pe o țeavă sau pe un arbore sînt asamblate o serie de raclete (în acest caz spirala este discontinuă) ;
- pe țeavă sau pe arbore se înfășoară în formă de spirală o bandă continuă sau discontinuă din oțel.

Arborele transportorului este susținut de palieri așezate la distanțe de 2,5 - 3,5 m. Șnecul este acționat la unul din capete de o curea cu roată fixă sau de un angrenaj cu roți conice.

Materialul este adus în jgheabul șnecului și este preluat de spirele acestuia. Descărcarea se face tot de către spirele șnecului unei deschideri.

Productivitatea unui transportor cu șneclă nu depășește, în general, 300 m³/h și depinde de diametrul spirei, D, de pasul acesteia, s, de turația n, și de coeficientul de umplere φ :

$$V_s = \frac{\pi D^2}{4} s \cdot n \cdot \varphi \quad , \text{ m}^3/\text{s} \quad (7.42)$$

sau :

$$G_s = \rho \frac{\pi D^2}{4} s \cdot n \cdot \varphi \quad , \text{ Kg/s} \quad (7.43)$$

unde ρ este densitatea materialului în Kg/m³.

Pe lângă rolul de transportor, șneclă poate fi adaptat și pentru alte operații ca : amestecare, încălzire, răcire, uscare etc. În vederea răcirii sau încălzirii, agenții termici circulă fie prin interiorul arborelui (gel în interior) fie printr-o manta cu care este prevăzut jgheabul.

Șneclă cu pas mic poate fi utilizat și pentru transportul înclinat sau pe verticală. Dacă racletele sînt cu pas variabil sau cu diametru variabil (mai mic în zona de alimentare),

șnecul poate servi și ca dozator atunci când este necesar un control riguros al debitului de material.

Transportorul cu melo poate fi ușor izolat de atmosfera înconjurătoare, când este necesar un climat deosebit pentru transport, poate lucra la vid, la presiune, la temperatură ridicată sau coborâtă.

În exploatarea transportoarelor cu șnecc o atenție deosebită trebuie acordată încărcării jgheabului, de exemplu, când se lucrează cu materiale dificile, încărcarea jgheabului trebuie menținută la un nivel mic (φ mic) pentru a se evita blocarea lagărelor de susținere a arborelui șnecului.

Dacă șnecul are turaj mică și viteza periferică a racletelor este mică, la turajii mari apar însă eforturi mari care uzează racletele. Încôvenientul este atenuat prin întărirea marginilor racletelor. Aceasta se realizează prin aplicarea pe muchii a unor segmente dure, detașabile, prin acoperire cu cauciuc sau prin executarea paletelor din oțeluri speciale, rezistente.

Puterea necesară pentru transport este dată de două componente : cea necesară pentru mers în gol și aceea pentru deplasarea materialului. Prima componentă depinde de lungimea transportorului, viteza de rotație și frecarea în lagăre; a doua componentă depinde de debitul masiv de material, lungimea de transport, coeficientul de umplere a jgheabului, frecarea internă și frecarea cu subansamblele transportorului.

Pentru calcule aproximative se poate folosi pentru puterea necesară relația :

$$P = \frac{G_s \cdot g \cdot L \cdot k_0}{\eta_n} , w \quad (7.44)$$

În relația (7.44) mărimile au următoarea semnificație :

P - puterea necesară ;

G_s - debitul masic de material, în Kg/s ;

g - constanta accelerației gravitaționale, în m/s^2 ;

L - lungimea transportorului, în m ;

k_0 - coeficient global de rezistență ($k_0 = 2,5$ pentru cărbune, ciment, sare etc. și $k_0 = 4$, pentru cenușă, nisip etc.);

η_n - randamentul transmisiei.

Transportoarele cu șnec au o construcție relativ simplă și permit descărcarea ușoară a materialului, ceea ce determină un cost redus al instalării și supravegherii. Dezavantajele acestor transportoare sînt : consum mare de energie datorită frecărilor interioare și a frecărilor materialului cu jgheabul și degradarea materialului prin mărunțire în timpul transportului.

7.3.3.5. Elevatoare cu cupe

Un elevator este format din unul sau două lanțuri fără sfîrșit pe care sînt fixate cupe. Antrenarea se face printr-o roată dințată de antrenare ; transportorul este ținut întins printr-o roată dințată de întindere montată, de obicei, în partea de jos. Întreg ansamblul este închis într-o carcasă pentru a se evita răspîndirea prafului.

Cupele iau materialul dintr-un jgheab de la capătul

inferior și îl ridică spre partea superioară unde se face descărcarea. Înălțimea de transport este cuprinsă între 5 și 25 m ; viteza de lucru este de 0,4 - 2,5 m/s, iar debitul de 10 - 120 tone/oră.

Elevatoarele cu cupe se construiesc în trei variante : cu descărcare centrifugă, cu descărcare gravitațională și cu descărcare continuă (fig. 7.40).

7.3.3.5.1. Elevatoare cu descărcare centrifugă

Aceste elevatoare au cupele destul de distanțate între ele și viteza de ridicare destul de mare, pentru a da posibilitatea descărcării materialului sub acțiunea forței centrifuge atunci când cupa se întoarce la partea superioară (fig. 7.40 a). Elevatorul cu descărcare centrifugă este ieftin dar are debite mici și servește pentru materiale pulverulente sau granulare fiind contraindicate pentru materiale viscoase, lipicioase și abrazive.

7.3.3.5.2. Elevatoare cu descărcare gravitațională

La aceste transportoare descărcarea se face prin răsturnarea completă a cupelor prin montarea sub roata superioară a

unei a doua roți de ghidare (fig. 7.40.b). Ele servesc pentru materiale care curg greu.

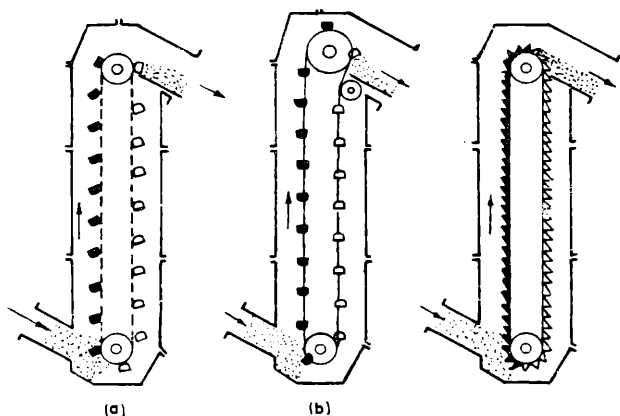


Fig. 7.40.

Elevatoare cu cupe.

a - cu descărcare centrifugă ; b - cu descărcare gravitațională ; c - cu descărcare continuă.

7.3.3.5.3. Elevatoare cu descărcare continuă

Aceste transportoare (fig. 7.40.c) sînt folosite pentru debite mari și pentru materiale rragile. Cupele sînt fixate una lîngă alta și sînt astfel confecționate încît materialul

care se descarcă dintr-o cupă alunecă pe fața exterioară a cupei precedente. Descărcarea se face în mod continuu și fixarea cupelor una lângă alta asigură productivități mari chiar la viteze mici de deplasare.

7.3.3.6. Transportoare oscilante și vibratoare

Partea principală a transportoarelor din această categorie o constituie jgheabul căruia i se imprimă prin mecanismul de acționare o mișcare oscilantă sau vibratoare.

Deplasarea materialului pe jgheab se realizează astfel : la mișcarea jgheabului într-un sens, forța de aderență dintre material și acesta este mai mare decât forța rezistentă, iar la mișcarea în sens opus, forța de aderență devine insuficientă pentru a menține materialul în contact cu suprafața, și materialul alunecă pe jgheab deplasându-se în virtutea inerției de la alimentare spre evacuare.

În fig. (7.41) este prezentat schematic un astfel de transportor. Jgheabul (1) este fixat pe suportii elastici (2) și este acționat în mișcare printr-un mecanism bielă - manivelă (3). Raza manivelei este mică (de 10 - 20 mm), numărul de oscilații este de 300 - 400 / minut.

Se consideră corpul M, de masă, m, care se află pe jgheab. Atâta timp cât corpul nu se deplasează în raport cu jgheabul, el se mișcă solidar cu acesta cu accelerația a . În consecință când nu există mișcare relativă a corpului pe

jgheab se poate aplica acestuia forța de inerție, m.a. Această forță se execută perpendicular pe suportii elastici care fac cu verticala unghiul β . Proiecția pe orizontală a forței de inerție este echilibrată de forța de aderență ($R_1.f$). La un moment dat accelerația jgheabului poate fi atât de mare, încît forța de aderență nu mai poate reține corpul pe suprafață și el alunecă pe jgheab.

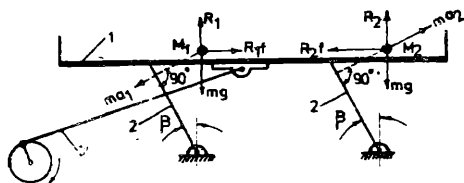


Fig. 7.41.

Transportor oscilant.

Valoarea accelerației la care începe alunecarea corpului pe jgheab se determină din sumarea forțelor ce acționează asupra lui.

a) Jgheabul se deplasează spre dreapta

Proiectînd pe orizontală forțele care acționează asupra corpului M_1 rezultă :

$$R_1.f = m.a_1.\cos\beta \quad (7.45)$$

Din proiecția pe verticală se obține :

$$R_1 - m.g - m.a_1.\sin\beta = 0 \quad (7.46)$$

și eliminînd pe R_1 din relațiile (7.45 și 7.46) rezultă :

$$m.g.f + m.a_1.\sin\beta f - m.a_1.\cos\beta = 0 \quad (7.47)$$

de unde :

$$a_1 = \frac{g \cdot f}{\cos \beta - f \sin \beta} \quad (7.48)$$

În relația (7.48) a_1 este accelerația jgheabului la care începe alunecarea spre stînga a corpului M_1 ; f este coeficientul de alunecare statică dintre particulă și jgheab.

b) Jgheabul se deplasează spre stînga

Printr-un calcul similar se obține :

$$a_2 = \frac{g \cdot f}{\cos \beta + f \sin \beta} \quad (7.49)$$

unde a_2 este accelerația jgheabului la care corpul alunecă spre dreapta.

Din relațiile (7.48) și (7.49) se observă că $a_1 > a_2$, deoarece $\beta > 0$.

Pentru ca corpul să se deplaseze spre dreapta este necesar ca jgheabul să se deplaseze astfel :

- spre dreapta cu o accelerație mai mică decît a_1 (corpul nu va aluneca) ;

- spre stînga cu o accelerație mai mare decît a_2 (corpul va aluneca spre dreapta).

Transportoarele care lucrează după schema din figura (7.41) se numesc cu oscilații verticale.

Într-o serie de construcții, pentru a obține viteze mai mari, se admite alunecarea materialului în ambele sensuri, dar în așa fel încît drumul parcurs de material la deplasarea jgheabului într-un sens (de exemplu spre dreapta) să fie mai mic decît drumul parcurs la deplasarea jgheabului în sens opus.

În acest mod funcționează și transportorul din fig. 7.42, numit transportor cu oscilații longitudinale. Jgheabul (1)

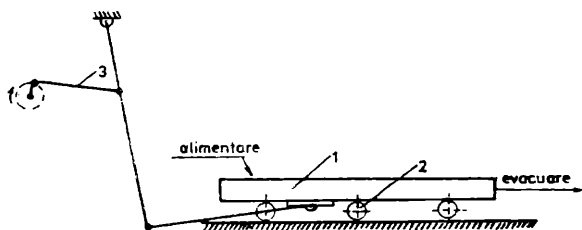


Fig. 7.42.

Transportor cu oscilații longitudinale.

alunecă pe roțile (2). Mișcarea este transmisă prin mecanismul bielă - manivelă (3), de construcție specială. Accelerațiile jgheabului la cele două curse, se calculează cu relațiile (7.48) și (7.49) în care $\beta = 0$. În consecință :

$$|a_1| = |a_2| = g \cdot f \quad (7.50)$$

Transportoarele vibratoare reprezintă un caz particular al transportoarelor cu oscilații verticale, deosebindu-se de acestea prin numărul mai mare de oscilații ($n = 1500 - 3000$ rot/min) și prin amplitudinea mică a mișcării (uneori sub 1 mm).

Dispozitivele care imprimă mișcarea vibratorie pot fi mecanice sau electromagnetice.

Transportoarele oscilante și vibratoare servesc pentru transportul materialelor vărsate. Au ca avantaje : construcție simplă, cost de investiție mic. Prezintă și dezavantaje : apariția unor forțe dinamice considerabile care provoacă vibrații în sistemele de sprijin ; productivitate relativ mică (câteva zeci de tone/oră) ; consum de energie mai mare decât

la transportoarele cu bandă ; imposibilitatea transportului sub un unghi față de orizontală.

7.3.4. Transportul pneumatic

Principiul transportului pneumatic constă în introducerea materialului într-un curent de gaz care-l transportă pînă la locul destinat, unde gazul se separă de material. Deplasarea materialului de către gaz se realizează prin conducte, cu o anumită viteză care poate fi aleasă ținînd seama de următoarele considerații :

- se presupune că gazul se deplasează de jos în sus într-o țevă verticală, în care se introduce o particulă de material. Asupra particulei acționează forța de gravitație G și forța de presiune dinamică a gazului F_p . În funcție de valoarea acestor forțe sînt posibile trei situații :

a) la viteze mici ale gazului $F_p \ll G$ și particula cade sub acțiunea greutății proprii ;

b) la viteze mari ale gazului $F_p \gg G$ și particula capătă o mișcare ascendentă ;

c) la o anumită viteză a curentului $F_p \approx G$ și particula se aibă într-o stare de planare (plutire). Viteza gazului corespunzătoare acestei situații se numește "viteza de planare" și valoarea ei depinde de natura materialului, de dimensiunile și forma particulelor și de interacțiunile dintre particule. Viteza de planare pentru un ansamblu de particule se determină experimental. Pentru realizarea transportului

pneumatic este necesar ca viteza gazului prin conductă să fie cam de două ori mai mare decât viteza de planare. Ea se alege, de obicei, între 15 și 30 m/s. Viteza gazului transportor se obține prin realizarea unei diferențe de presiune între punctul de intrare și ieșire. Diferența de presiune poate fi astfel creată încât presiunea la punctul de ieșire să fie mai mare sau mai mică decât în punctul de intrare. În funcție de aceasta există trei tipuri de instalații pentru transportul pneumatic:

- - instalații cu aspirație
- instalații cu presiune
- instalații mixte.

7.3.4.1. Instalații de transport pneumatic cu aspirație

O instalație de acest tip se compune dintr-un ajutoraj (1), montat la un capăt al conductei de transport, din spațiul de descărcare care constă din rezervorul (2), dispozitivul de descărcare (3), separatorul centrifugal (4), filtrul umed (5), separatorul de picături (6) și suflanta (7) - fig. 7.43).

Aerul aspirat prin ajutoraj antrenează particulele de material în spațiul de descărcare, unde, din cauza micșorării brusce a vitezei, materialul se depune. Din rezervorul de descărcare aerul cu praf intră în separatorul centrifugal unde se mai separă o parte din materialul solid, apoi ajunge în

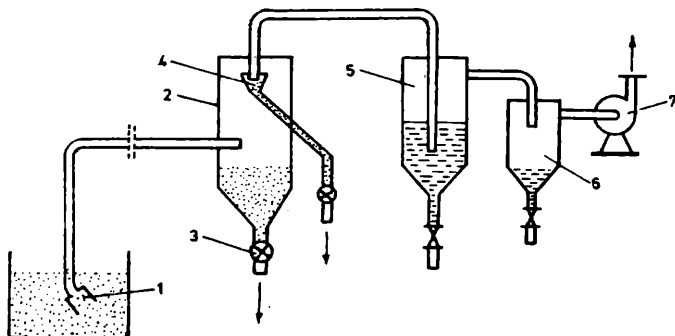


Fig. 7.43.

Instalație de transport pneumatic cu aspirație.

filtrul umed. Aici, prin barbotare în apă se realizează spălarea aerului de praful pe care-l mai conține. Din filtrul umed aerul trece în separatorul de picături și de aici este aspirat de ventilator și refulat în atmosferă.

La unele instalații, când nu este necesară purificarea aerului, lipsesc spălătoarele de aer și separatorul de picături.

7.3.4.2. Instalații de transport pneumatic cu presiune

La aceste instalații (fig. 7.44) aerul refulat de o mașină de transportat gaze (1), trece prin vasul tampon (2) în

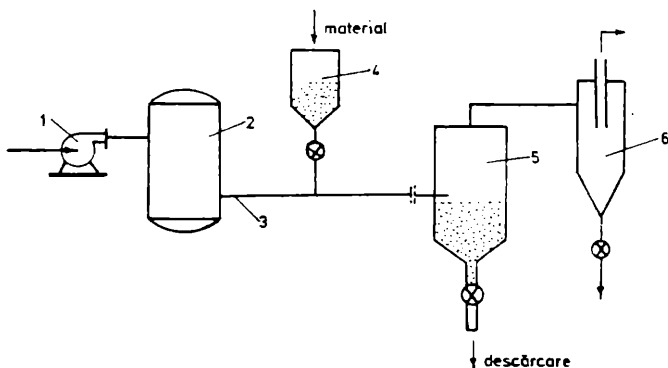


Fig. 7.44.

Instalație de transport pneumatic cu aspirație.

conducta de transport (3) pusă în legătură cu alimentatorul special (4). Materialul preluat de aer este transportat în vasul de descărcare (5). Din vasul (5) aerul trece printr-un sistem de separare a prafului (6) (ciclone, filtru etc.).

Sistemul cu presiune permite să se creeze diferențe de presiuni mari și viteze mari de deplasare ale aerului prin conductă. De aici rezultă posibilitatea de a transporta cantități mai mari de materiale, cu densități relativ mari și pe distanțe mai lungi decât la sistemele prin aspirație.

Dar, spre deosebire de sistemul cu aspirație, la care alimentarea în conductă se face prin ajutor direct din grămadă, la sistemul cu presiune este necesară utilizarea unui alimentator special.

Atunci când distanța de transport este prea mare și când materialul trebuie încărcat din grămadă se utilizează sistemul

mixt, la care instalația cu aspirație și cea cu presiune sînt amplasate succesiv.

7.3.4.3. Calculul hidrodinamic al instalațiilor de transport pneumatic

Pentru calculul unei instalații de transport pneumatic se determină viteza de planare după care se admite viteza de antrenare (de obicei aceasta este dublul vitezei de planare). Se adoptă o densitate de încărcare, care reprezintă debitul de material transportat raportat la unitatea de secțiune a conductei. Adoptînd densitatea de încărcare, din debitul de material ce trebuie transportat rezultă secțiunea conductei și deci diametrul ei. Se admite un coeficient de amestec, definit ca raportul dintre masa materialului transportat și masa gazului utilizat pentru transport. Cu acest coeficient se calculează debitul volumic de gaz. Se întocmește schema instalației de transport și apoi se face calculul hidrodinamic al sistemului.

Se calculează următoarele căderi de presiune :

- Δp_m - căderea de presiune pentru deplasarea materialului pe porțiunile drepte ale conductei ;

- Δp_i - pierderile de presiune pentru introducerea materialului în conductă și pentru imprimarea vitezei de antrenare ;

- Δp_c - căderea de presiune în coturi, ramificații, schimbări de direcție etc. ;

- Δp_h - căderea de presiune pentru ridicarea materialului pe porțiunile verticale ;

- Δp_s - pierderea de presiune în separatoarele material - gaz (ciclon, filtru etc.).

În continuare se prezintă relațiile de calcul pentru căderile de presiune menționate :

1. Experimental s-a găsit că :

$$\Delta p_m = k_1 \cdot \Delta p_a \quad (7.51)$$

în care Δp_a reprezintă căderea de presiune la circulația prin conductă a gazului fără material, iar :

$$k_1 = 1 + k_2 \operatorname{tg} \alpha \quad (7.52)$$

unde : $\operatorname{tg} \alpha$ este funcție de viteza aerului, de concentrația amestecului și de alte mărimi. În literatura de specialitate sînt trasate grafice, care dau dependența lui $\operatorname{tg} \alpha$ de viteza aerului, de forma celor din fig. 7.45 ;

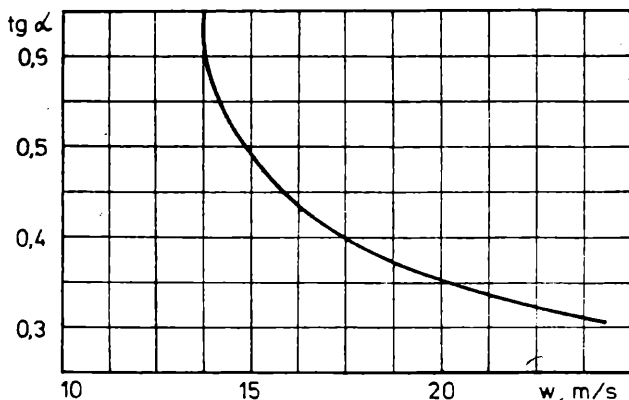


Fig. 7.45.

k_2 este un coeficient care depinde de materialul transportat și de concentrația amestecului. Pentru ciment, de exemplu, $k_2 = 22,5 - 60$, când transportul se face pe o distanță de 100 - 600 m într-o instalație alimentată cu șnec și $h_2 = 16 - 45$, la transportul cimentului pe o distanță de 100 - 600 m, cu alimentator celular.

Pentru instalațiile de transport pentru distanțe de 20 - 200 m se ia $k_2 = 10 - 35$.

$$2. \Delta p_1 = (k_3 + k_2 \cdot k_4^2) \rho_a \frac{w_a^2}{2} \quad (7.53)$$

În relația (7.53), $k_3 = 4 \div 14$ (limita superioară se ia pentru valori mici ale lui k_2), iar $k_4 = w_m/w_a = 0,65 - 0,85$, w_m fiind viteza amestecului material - aer, iar w_a viteza aerului. Viteza amestecului se ia de 5 m/s la transportul pe orizontală și de 6 - 10 m/s la transportul pe verticală.

$$3. \Delta p_c = G_s (1 - k_5 n) \frac{w_c}{2} \quad (7.54)$$

unde : k_5 reprezintă un coeficient de scădere a vitezei prin șocuri ($k_5 \approx 0,7$), n este numărul teoretic de șocuri în coturi, w_c este viteza la intrarea în cot, iar G_s este debitul de material.

$$4. \Delta p_h = \rho_m \cdot g(1+k_2)h + \Delta p_a(1+k_6) \quad (7.55)$$

în care :

ρ_m - densitatea materialului ;

g - constanta accelerației gravitaționale ;

h - înălțimea porțiunii verticale ;

Δp_a - pierderea de presiune pe verticală pentru gaz, fără material solid ;

$$k_6 = 0,1 - 0,15.$$

5. Δp_g se adoptă între 150 - 300 mm H_2O .

Instalațiile de transport pneumatic se execută fixe sau mobile. Avantajele lor sînt : transport complet automatizat, cheltuieli mici de deservire și supraveghere ; spațiu necesar mic și posibilitatea de exploatare pe orice vreme. Cheltuielile de investiții sînt însă mari, ele pot fi reduse adoptînd diametre mici ale conductei, dar în acest caz crește consumul de energie.

7.3.5. Exploatarea transportoarelor

Pentru fiecare tip de transportor exploatarea și operațiile de întreținere sînt specifice, ele vizînd o serie de elemente ca : organul de transport, sistemele de antrenare, de alimentare și descărcare.

În cazul transportoarelor cu bandă se verifică paralelismul roților și al tamburului de capăt pentru a evita deplasarea benzii de pe role și tambur. Trebuie, de asemenea, verificată ungerea tamburilor de capăt, starea dispozitivului de curățare al benzii pentru a evita deteriorarea sau chiar rupe-rea benzii transportoare.

Întreținerea transportoarelor cu plăci este condiționată în special de buna funcționare a lanțului de antrenare. Se va verifica : rotirea ușoară a roților prin intermediul cărora plăcile se reazămă pe calea de rulare ; uzura plăcilor și îmbinarea acestora cu lanțul transportorului.

Transportoare cu racleti necesită următoarele operații de întreținere în timpul exploatării acestuia :

- verificarea stării racleților ;
- verificarea sistemelor de antrenare și întindere a lanțului ;
- urmărirea uzurii jgheabului ;
- verificarea stării roților de lanț.

Întreținerea elevatoarelor cuprinde în principal :

- verificarea stării cupelor și a lanțului purtător ;
- verificarea și reglarea dispozitivului de întindere
- verificarea alimentării pentru evitarea scăderii randamentului elevatorului.

Defecțiunile frecvente ale elevatoarelor se datoresc funcționării defectuoase a dispozitivului de descărcare, fapt ce determină uzuri rapide ale lanțului și carcasei elevatorului,

Întreținerea transportoarelor elicoidale ține seama în special, de abrazivitatea și agresivitatea materialului transportat. Se va verifica : respectarea distanței între transportor și jgheab pe toată lungimea lui, protecția lagărelor contra prafului și protecția jgheabului în special pentru transportoarele care lucrează cu materiale puternic corosive.

Exploatarea corectă a transportoarelor oscilante și vibratoare necesită reglarea periodică a părții de producere a oscilațiilor sau vibrațiilor.

Întreținerea transportoarelor pneumatice este simplificată de faptul că acestea nu au piese în mișcare.